



การศึกษาพลูตองคลิว จังหวัดสงขลา ด้วยวิธีธรณีฟิสิกส์

A Study of Liwong Pluton in Changwat Songkhla with the Geophysical Method

พวงทิพย์ ร่างเล็ก

Pungtip Ranglek

วิทยานิพนธ์วิทยาศาสตรมหาบัณฑิต สาขาวิชาฟิสิกส์

มหาวิทยาลัยสงขลานครินทร์

Master of Science Thesis in Physics

Prince of Songkla University

2538

ผู้เขียน (ชื่อ-นามสกุล) : พวงทิพย์ ร่างเล็ก

Bib Key : 1811

(1)

ชื่อวิทยานิพนธ์ การศึกษาภูมอนลิว จังหวัดสงขลา ศิวิวิธีธารณีฟิสิกส์
ผู้เขียน นางสาวพวงทิพย์ ร่างเด็ก
สาขาวิชา ฟิสิกส์

คณะกรรมการที่ปรึกษา

(ดร. วรุณี โลหะวิจารณ์)
ประธานกรรมการ

(รองศาสตราจารย์ ทรงชัย พึงรัตน์)

คณะกรรมการสอบ

(ดร. วรุณี โลหะวิจารณ์)
ประธานกรรมการ

(รองศาสตราจารย์ ทรงชัย พึงรัตน์)

(ผู้ช่วยศาสตราจารย์ ดร. ธรรม ชิตตระการ)

(ผู้ช่วยศาสตราจารย์ ดร. ธรรม ชิตตระการ)

(รองศาสตราจารย์ ดร. กิตติชัย วัฒนานนิก)

(ผู้ช่วยศาสตราจารย์ ดร. สุรพล อารีย์กุล)

บัณฑิตวิทยาลัย มหาวิทยาลัยสงขลานครินทร์ อนุมัติให้นักวิทยานิพนธ์จบบัณฑิต
นี้เป็นส่วนหนึ่งของการศึกษา ตามหลักสูตรวิทยาศาสตร์รัมนาบัณฑิต สาขาวิชาฟิสิกส์

(ดร. ไพรัตน์ สงวนไทร)

คณบดีบัณฑิตวิทยาลัย

ชื่อวิทยานิพนธ์ การศึกษาพญาภูตตอนลิวง จังหวัดสงขลา ด้วยวิธีปรัชีฟิสิกส์
ผู้เขียน นางสาวพวงพิพิญ ร่างเล็ก
สาขาวิชา พิสิกส์
ปีการศึกษา 2537

บทคัดย่อ

ได้ทำการศึกษาพญาภูตตอนลิวง โดยการวัดค่าความถ่วงของโลก และการวิเคราะห์ค่าสนามแม่เหล็ก และความเข้มกัมมันตภาพรังสีที่ได้จากการบินสำรวจในพื้นที่ของอำเภอจะนะ อําเภอเทพา อําเภอนากาด และอําเภอสะบ้าย้อย จังหวัดสงขลา หรือระหว่างละติจูด $6^{\circ}42'N$ - $6^{\circ}57'N$ และลองจิจูด $100^{\circ}42'E$ - $100^{\circ}58'E$ โดยมีวัตถุประสงค์เพื่อกำหนดขอบเขตของพญาภูตตอนลิวง

ผลจากการศึกษาแสดงว่าขอบเขตของพญาภูตตอนลิวงสามารถกำหนดได้จากการวิเคราะห์ และสร้างแบบจำลองของพญาภูตตอนลิวงจากแผนที่ความถ่วง แผนที่สนามแม่เหล็ก และแผนที่กัมมันตภาพรังสีจากการบินสำรวจ โดยพบว่าพญาภูตตอนลิวงมีความถึกต่อเนื่องลงไปถึงระดับความลึกประมาณ 450 เมตร ซึ่งในการสร้างแบบจำลองของพญาภูตตอนลิวงนี้ ได้กำหนดให้หินฐานเป็นหินแกรนิตอิกซูลนนิ่ง ที่มีความหนาแน่นมากกว่า แต่มีค่าสภาคูณ์ไว้ได้ทางแม่เหล็กน้อยกว่าแกรนิตของพญาภูตตอนลิวง

Thesis Title A Study of Liwong Pluton in Changwat Songkhla
 with the Geophysical Method

Author Miss.Pungtip Ranglek

Major Program Physics

Academic Year 1994

ABSTRACT

The Liwong Pluton was studied by analyzing the gravity map, aero-magnetic map and aero-radioactivity map. The study area covers Amphoe Chana, Thepha , Na Thawi and Saba Yoi in Changwat Songkhla, between latitude $6^{\circ}42'N$ - $6^{\circ}57'N$ and longitude $100^{\circ}42'E$ - $100^{\circ}58'E$. The objective of this study was to determine the boundaries of the Liwong Pluton.

The results showed that boundaries of Liwong Pluton can be determined by using gravity map, magnetic map and radioactivity map obtained from aero-surveying. Geophysical modelling of gravity and magnetic profiles showed that the maximum depth of Liwong Pluton was about 450 m. Higher density and lower susceptibility (than Liwong Pluton) granite rock was assigned as a basement rock underlain the Liwong Pluton .

กิตติกรรมประกาศ

ขอขอบคุณหน่วยงานต่างๆ ดังต่อไปนี้ คณะวิทยาศาสตร์และเทคโนโลยี มหาวิทยาลัย
สงขลานครินทร์ วิทยาเขตปัตตานี ที่สนับสนุนด้านทุนการศึกษา บัณฑิตวิทยาลัย และภาค
วิชาพิสิกส์ คณะวิทยาศาสตร์ มหาวิทยาลัยสงขลานครินทร์ ซึ่งสนับสนุนด้านทุนวิจัย
กรมทรัพยากรรัฐ์ ในด้านข้อมูลการบินสำรวจธรรมชาติพิสิกส์ทางอากาศ และสถาบัน IPPS
มหาวิทยาลัย Uppsala ประเทศสวีเดน สำหรับเครื่องมือวิจัย

ขอขอบคุณ ดร.วรรณี โลแหะวิจารณ์ พศ.คร.ดร.ดร.วชิร ชิตตระการ รศ.ดร.ชัย พึงรักษ์
อาจารย์ไตรภพ ผ่องสุวรรณ อาจารย์สุขสวัสดิ์ ศิริราษฎร์ ครุสมัย วิชชุวัฒน์ คุณพิพัฒน์
เหล่าวนบัณฑิต คุณโภกสุนทร์ สืบจากปีองค์ คุณเชชา ปัตรวรรณ คุณสุรศักดิ์ แก้วอ่อน
คุณสุวิทย์ เพชรหัวใจลึก คุณธนพงศ์ พันธุ์ทองและคุณปียะวัชร์ จุนศิริ สำหรับคำแนะนำทาง
วิชาการ งานสนามและงานในห้องปฏิบัติการ

ขอกราบขอบพระคุณ คุณพ่อ คุณแม่ และพี่ๆ ที่สนับสนุนด้านทุนการศึกษาและให้กำ
ลังใจตลอดมา จนกระทั่งประสบความสำเร็จในวันนี้

พวงพิพัฒน์ ร่างเล็ก

สารบัญ

	หน้า
บทคัดย่อ	(3)
Abstract	(4)
กิตติกรรมประกาศ	(5)
สารบัญ	(6)
รายการตาราง	(7)
รายการภาพประกอบ	(8)
บทที่	
1. บทนำ	1
บทนำต้นเรื่อง	1
การตรวจเอกสาร	5
วัตถุประสงค์	17
2. วิธีการวิจัย	19
วัสดุ	19
อุปกรณ์	20
วิธีดำเนินการ	27
3. ผลและอภิปรายผล	46
4. บทวิจารณ์และสรุป	86
บรรณานุกรม	90
ภาคผนวก	94
ประวัติผู้เขียน	153

รายการตาราง

ตาราง	หน้า
1. ตัวอย่างตารางบันทึกข้อมูลความถ่วงและความสูง ในภาคสนาม	29
2. ตัวอย่างการปรับแก้ค่าคริฟท์ของความถ่วง	35
3. ขอบเขตของโชนและจำนวนห้องในแต่ละโชนของ แผนภูมิแฮมเมอร์	38
4. ค่าสภาพรับไว้ได้ทางแม่เหล็กและค่าความหนาแน่น เคลื่อนที่ในพื้นที่ศึกษา	43
5. ค่าสภาพรับไว้ได้ทางแม่เหล็กและค่าความหนาแน่นเคลื่อนที่ไว้ ปรับปรุงและนำไปใช้ในการสร้างแบบจำลองพลุตอนลิวิ่ง	44
6. การเปรียบเทียบความสูงที่ได้จากการวัดด้วยมาตรระดับ ความสูง และการทำรังวัด	47
7. ค่าความหนาแน่นเคลื่อนที่ในพื้นที่ศึกษาวิจัย	50
8. ความแรงรังสีและปริมาณความเข้มข้นของโพแทสเซียม ยูเรเนียมสมมูล และทองเรียมสมมูล ในหินแกรนิต	78
9. ความแรงรังสีและปริมาณความเข้มข้นของโพแทสเซียม ยูเรเนียมสมมูล และทองเรียมสมมูล ในหินอ่อนเชิร์ค	79
10. ความแรงรังสีและปริมาณความเข้มข้นของโพแทสเซียม ยูเรเนียมสมมูล และทองเรียมสมมูล ในหินแกรนิต	80

รายการภาพประกอบ

ภาพประกอบ	หน้า
1. ตำแหน่งของพื้นที่ศึกษาวิจัย	2
2. ลักษณะภูมิประเทศของพื้นที่ศึกษาวิจัย	3
3. หินอัคนีแทรกซ่อนชนิดต่างๆ	4
4. กาบสมุทรไทย	6
5. แผนที่แนวการกระจายตัวของหินแกรนิตในประเทศไทย	7
6. แผนที่ธรณีวิทยาของพื้นที่ศึกษาวิจัย	10
7. โครงสร้างทางธรณีวิทยาของพื้นที่ศึกษาวิจัย	11
8. ตำแหน่งเมืองแร่	14
9. แกรนิตมิเตอร์แบบลาคอสท์และรอมเบิร์ก	21
10. เก้าโกรงของแกรนิตมิเตอร์แบบลาคอสท์และรอมเบิร์ก	22
11. มาตรระดับความสูงชนิดความดัน	23
12. เก้าโกรงหัววัดเยือนานเนียมบริสุทธิ์สูง(HPGe)	24
13. การต่ออุปกรณ์เพื่อวิเคราะห์ปริมาณธาตุกัมมันตรังสี	25
14. แคปปามิเตอร์(KT-5)	26
15. ตำแหน่งวัดความถ่วงและความสูง	28
16. หัวอย่างวงรอบของการวัดความถ่วงและความสูง	29
17. หน้าปัดแคปปามิเตอร์ KT-5	30
18. การปรับแก้ญูเกอร์ที่จุดวัด	36
19. ลักษณะภูมิประเทศ	37
20. แผนภูมิแม่mor	38
21. แผนที่ธรณีวิทยาทั่วไปของพื้นที่ไกส์เลียงกับพื้นที่ศึกษา	45
22. คลาดเคลื่อนของความสูงจากการวัดค่าความถ่วงมาตราส่วนความสูง	47
23. เปรียบเทียบความถ่วงผิดปกติสัมบูรณ์ที่ได้จากการวัด ความสูงค่าวัดและมาตราส่วนความสูง	48
24. ตำแหน่งของหัวอย่างหิน	49

รายการภาพประกอบ(ต่อ)

ภาพประกอบ	หน้า
25. ความหนาแน่นของตัวอย่างหิน	51
26. การกระจายของความหนาแน่นของตัวอย่างหิน	52
27. แผนที่ค่อนทั่วคร่าผิดปกติบุกอร์สัมบูรณ์ในหน่วย gu ซ้อนทับบนแผนที่ธรณีวิทยาของพื้นที่ศึกษา	54
28. แผนที่ค่อนทั่วคร่าผิดปกติของสถานแม่เหล็กโลกรวม (Survey A) ในหน่วย mT ซ้อนทับบนแผนที่ธรณีวิทยาของพื้นที่ศึกษา	56
29. แผนที่ค่อนทั่วคร่าผิดปกติของสถานแม่เหล็กโลกรวม(Survey C) ในหน่วย nT ซ้อนทับบนแผนที่ธรณีวิทยาของพื้นที่ศึกษา	57
30. ភាសาพรับไว้ได้ทางแม่เหล็กของหินตัวอย่างในพื้นที่ศึกษาวิจัย	58
31. ภาคตัดขวางทางธรณีวิทยาในแนว AB	59
32. แบบจำลอง "พลุตอนลิวิ่งเคลิง" ในแนว AB	61
33. แบบจำลอง "พลุตอนลิวิ่ง 1" ในแนว AB	63
34. แบบจำลอง " พลุตอนลิวิ่ง 2 " ในแนว AB	65
35. แบบจำลอง " พลุตอนลิวิ่ง 2 " ในแนว CD"	66
36. แบบจำลอง " พลุตอนลิวิ่ง 2 " ในแนว EF"	68
37. แบบจำลอง " พลุตอนลิวิ่ง 2 " ในแนว GH"	69
38. แบบจำลอง " พลุตอนลิวิ่ง 2 " ในแนว IM"	71
39. แผนที่ค่อนทั่วคร่าวความลึกของพลุตอนลิวิ่งในหน่วย m ซ้อนทับ บนแผนที่ธรณีวิทยาของพื้นที่ศึกษา	72
40. แผนที่ค่อนทั่วคร่าวความลึกของแกรนิตสูงคลานในหน่วย m ซ้อนทับบนแผนที่ธรณีวิทยาของพื้นที่ศึกษา	73
41. แผนที่ค่อนทั่วคร่าวไฟแทสเซียม (K) ในหน่วยร้อยละซ้อนทับ แผนที่ธรณีวิทยาของพื้นที่ศึกษา	75
42. แผนที่ค่อนทั่วคร่าวเรเนียมสมมูล (Ce) ในหน่วย ppm ซ้อนทับ แผนที่ธรณีวิทยาของพื้นที่ศึกษา	76

รายการภาพประกอบ(ต่อ)

ภาพประกอบ	หน้า
43. แผนที่ตอนทั่วทุกเรียนสมบูรณ์ (eTh) ในหน่วย ppm ซ่อนทับแผนที่ธารณีวิทยาของพื้นที่ศึกษา	77
44. ค่าความเข้มข้นของ K ในตัวอย่างหินจากการวิเคราะห์ ด้วยสเปกโตรมิเตอร์รังสีแกมมา	83
45. ค่าความเข้มข้นของ Pb ในตัวอย่างหินจากการวิเคราะห์ ด้วยสเปกโตรมิเตอร์รังสีแกมมา	84
46. ค่าความเข้มข้นของ eTh ในตัวอย่างหินจากการวิเคราะห์ ด้วยสเปกโตรมิเตอร์รังสีแกมมา	85

บทที่ 1

บทนำ

ธรณีฟิสิกส์(Geophysics) เป็นวิชาที่ว่าด้วยการศึกษาลักษณะของกระบวนการภายในโลกที่เกิดขึ้นจนเป็นที่สังเกตได้บนผิวโลก ลักษณะการสำรวจธรณีฟิสิกส์ประกอบด้วย การวัดปริมาณอันเนื่องมาจากสมบัติทางฟิสิกส์ได้ผิวโลก ณ บริเวณที่สำรวจ การศึกษาระบบฟิสิกส์อาศัยความแตกต่างกันในสมบัติทางฟิสิกส์อย่างใดอย่างหนึ่งของชั้นหิน และสินแร่ได้ผิวโลก เช่น ความยืดหยุ่น(elasticity) ความหนาแน่น(density) สภาพความเป็นแม่เหล็ก(magnetization) ลักษณะทางไฟฟ้า(electrical characteristic) ระดับกัมมันตภาพรังสี(radioactivity levels) เป็นต้น ปัจจุบันมีการนำวิชาธรณีฟิสิกส์มาประยุกต์ใช้อย่างกว้างขวางเพื่อการสำรวจหาวัตถุที่อยู่ใต้ผิวโลก เช่นสภาระรัฐ์โครงสร้าง สินแร่ ตลอดจนสมบัติของหินฐานราก ฯลฯ ในการศึกษาพฤติกรรมลักษณะการเปลี่ยนแปลงสถานะความถ่วงของโลก การเปลี่ยนแปลงความเข้มสถานะแม่เหล็กโลก และการเปลี่ยนแปลงกัมมันตภาพรังสีเพื่อกำหนดขอบเขตของพฤติกรรมลักษณะ

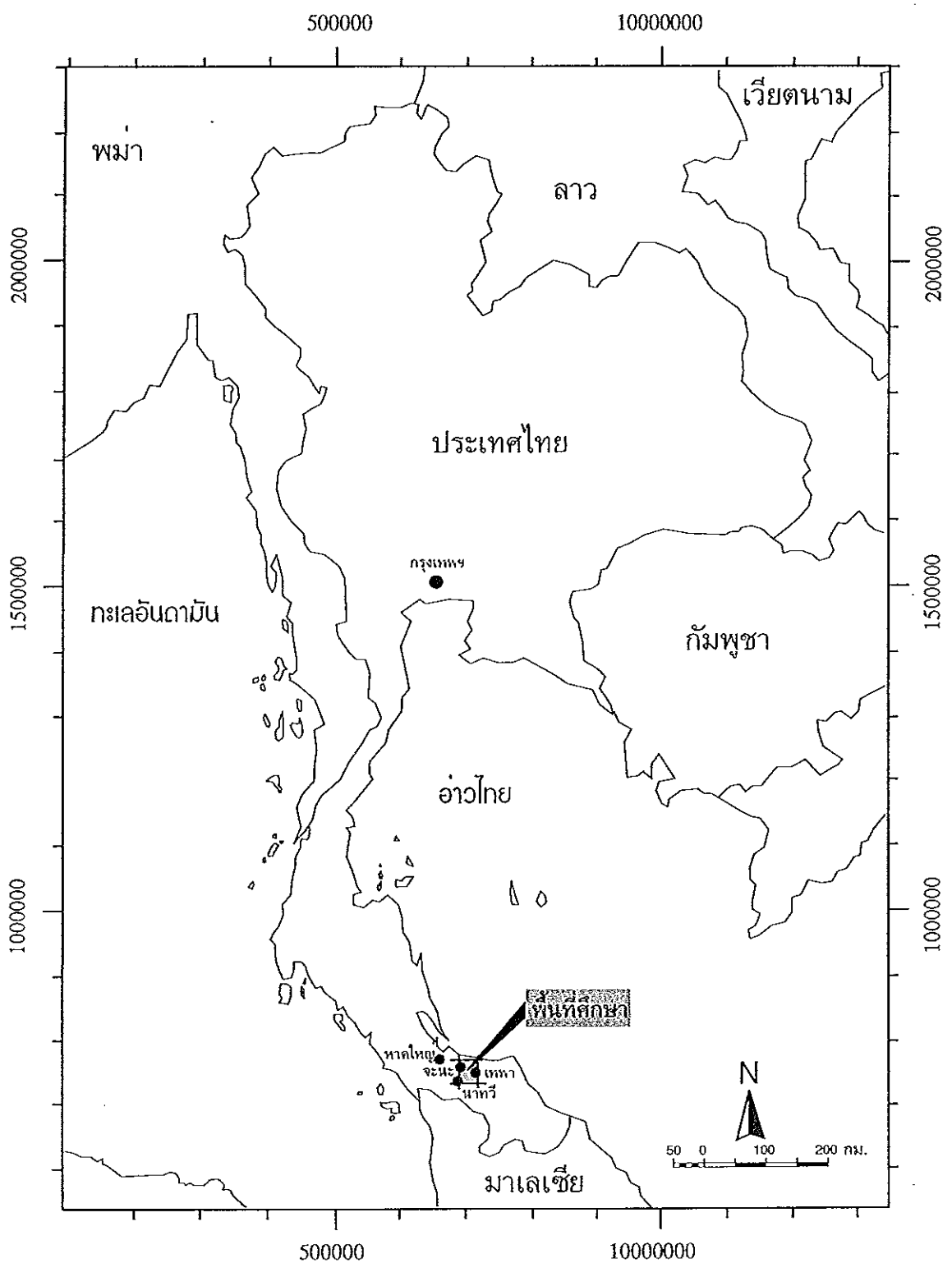
บทนำต้นเรื่อง

พื้นที่ที่ทำการศึกษาอยู่ในเขตอำเภอ อำเภอเทพา อำเภอนาหวี และอำเภอสะบ้าย้อย จังหวัดสงขลา หรือระหว่างละติจูด $6^{\circ}42'N$ - $6^{\circ}57'N$ (740000-773000) และ ลองจิจูด $100^{\circ}42'E$ - $100^{\circ}58'E$ (687000-720000) ครอบคลุมเนื้อที่ประมาณ 600 ตารางกิโลเมตร (ภาพประกอบ 1)

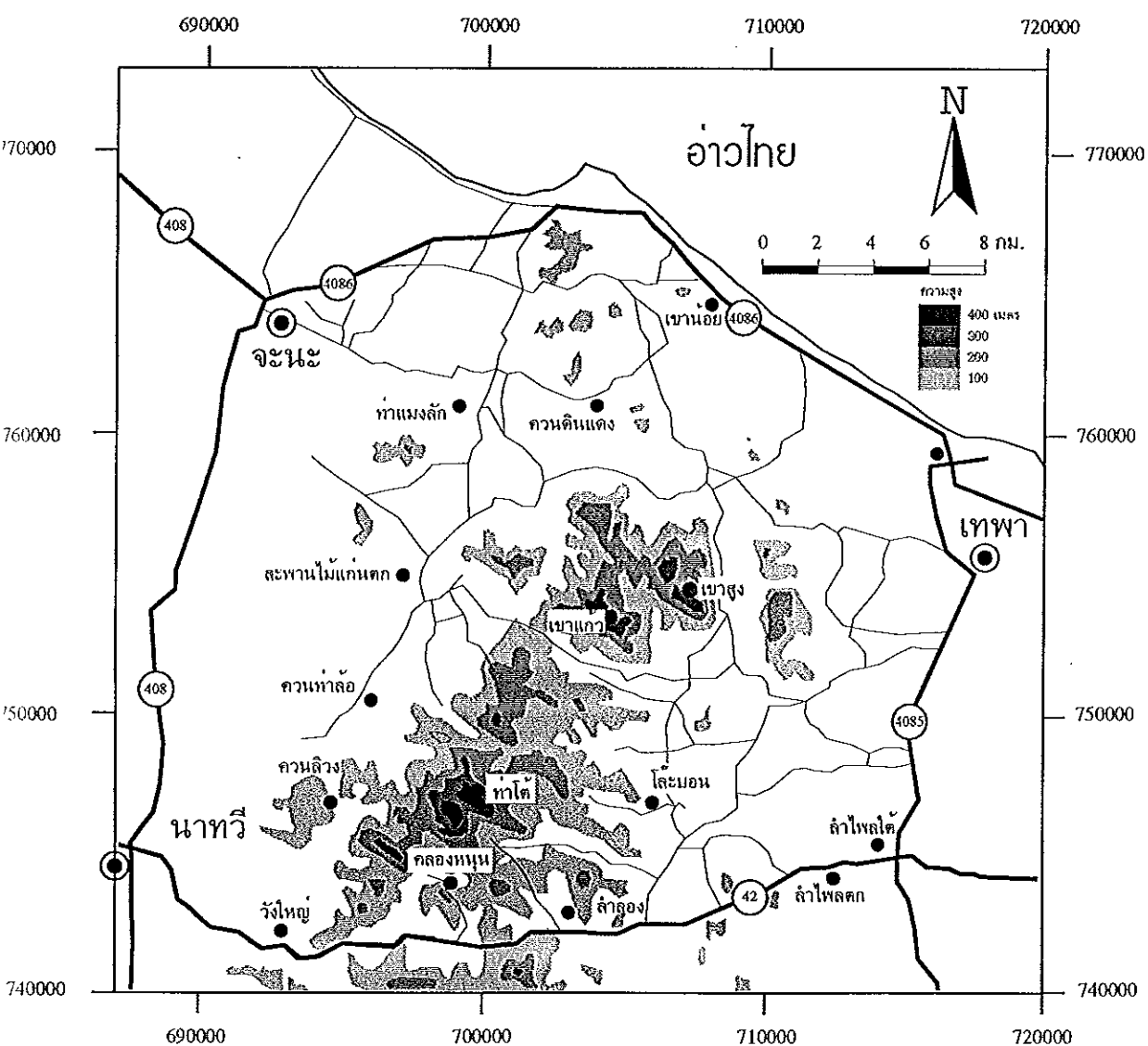
ลักษณะภูมิประเทศของพื้นที่ทำการศึกษาส่วนใหญ่เป็นที่ราบ ได้แก่ที่ราบชายฝั่งทะเล ที่ราบริมฝั่งแม่น้ำ และที่ราบหุบเขา พื้นที่ที่เป็นเขตบ่ออยู่กลางพื้นที่ศึกษานี้แนวประมาณ NNE ครอบคลุมเนื้อที่ 225 ตร.กม. มียอดสูงที่สุดประมาณ 480 เมตร (ภาพประกอบ 2)

พฤติกรรมลักษณะหรือการนิตรลักษณะเป็นชื่อเรียกที่นิยมแพร่หลายในพื้นที่วิจัยทั้งหมด (วงษ์ พึงรัศมี, 2535) มีเนื้อที่ประมาณ 60 ตารางกิโลเมตร มีเส้นผ่าศูนย์กลางประมาณ

ภาพประกอบ 1 ตำแหน่งของพื้นที่ศึกษาวิจัย



ภาคประกอน 2 ลักษณะภูมิประเทศของพื้นที่ศึกษาวิจัย



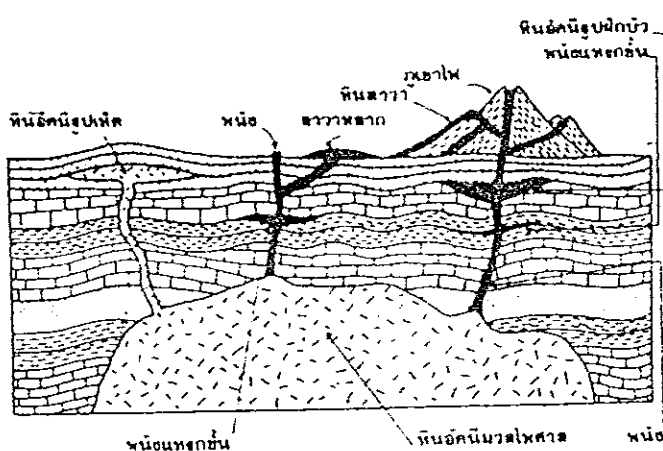
9 กิโลเมตรปรากฏอยู่ระหว่างละติจูด $6^{\circ}45.3'N$ - $6^{\circ}46'N$ (743700-753000) และลองจิจูด $100^{\circ}5.4'E$ - $100^{\circ}46'E$ (695750-705000)

พลูโตน(pluton) หมายถึงมวลหินอัคนีที่เกิดจากการเย็นตัวของหินหนึบ(magma) ภายใต้ผิวโลกหรือมวลหินที่เกิดจากการหินเดิมซึ่งแปรสภาพโดยการแทนที่(metasomatism)

พลูโตนแบ่งเป็น 2 ชนิดคือ (1) พลูโตนแบบร่วมแนว (concordant pluton) คือ มวลหินอัคนีแทรกซ่อนที่มีแนวนานาไปกับแนวชั้นหินท้องที่ เช่น พังแทรกชั้น(sill) หินอัคนีรูปเหลี่ยม(laccolith) หินอัคนีรูปฝักบัว(lobolith) (2) พลูโตนแบบไม่ร่วมแนว (discordant pluton) คือมวลหินอัคนีแทรกซ่อนที่ตัดผ่านแนวของชั้นหินท้องที่ เช่น พัง(dike) หินอัคนี ไฟฟ้าคลื่น(batholith) ซึ่งมีพื้นที่ผิวโลกให้เห็นมากกว่า 100 ตารางกิโลเมตร แต่ถ้ามีพื้นที่ผิวโลกเล็กน้อยกว่า 100 ตารางกิโลเมตรจะเรียกว่าสำาหินอัคนี(stock) โดยมากหินอัคนีมวลไฟฟ้าคลื่นเป็นหินชนิดหินแกรนิต(granitic rock) ซึ่งหินแกรนิตเป็นส่วนประกอบของทวีปประมาณ 95 เปอร์เซ็นต์ (คงษัย พึงรัศมี, 2531)

ภาพประกอบ 3 หินอัคนีแทรกซ่อนชนิดต่างๆ

(ที่มา: พจนานุกรมศัพท์ธรรมวิทยา, 2530)



การตรวจสอบสาร

Bunopas (1982) ได้รายงานไว้ว่า cabin smutthai ไทยมีรูปร่างแคน มีความยาวประมาณ 1000 กิโลเมตรจากออกอดกระลึง cabin smutthai มาเลเซีย ตั้งแต่ออกอดกระลงมาตอนใต้ ได้แบ่ง cabin smutthai โดยอาศัย cabin smutthai ที่ทางภูมิศาสตร์และธรณีวิทยาออกเป็น cabin smutthai ไทยตอนกลาง cabin smutthai ไทยตอนใต้ cabin smutthai ไทยตอนกลางมีรูปร่างเป็นครึ่งหนึ่งของสี่เหลี่ยมขนมเปียกปูน ซึ่งมีจังหวัดประจวบคีรีขันธ์ ชุมพร สุราษฎร์ธานี ยะลา และระนอง ประกอบเป็น หมู่ทั้งสี่ ส่วน cabin smutthai ไทยตอนใต้หมายรวมถึงตั้งแต่ทางตะวันออกเฉียงใต้ของประเทศไทยและสุราษฎร์ธานีไปจนถึงมาเลเซีย ซึ่งอยู่ทางตอนใต้ของสงขลาและนราธิวาส (ภาพประกอบ 4)

การศึกษาทางด้านธรณีวิทยาของประเทศไทยในระหว่างปี พ.ศ. 2483-2494 พบว่า มวลหินอ่อนนิมวลไฟฟ้า (batholithes) ปรากฏอยู่บริเวณในภูเขาทางตะวันตกและ cabin smutthai ไทย และสำหรับหินอัคนี (stock) ปรากฏอยู่ทางตอนเหนือและตอนกลางของไทย และอ่าวไทย ตะวันออก (Bunopas, 1982)

ปัญญา จาชติร และคณะ (2534) ได้รายงานไว้ว่าหินแกรนิตมีอยู่เกือบทั่วประเทศ ไทย ยกเว้นบริเวณที่ราบสูง โคราช แนวหินแกรนิตแบบภูมิภาคนี้เป็นที่ทราบกันดีว่าเป็นถิ่นกำเนิดแหล่งแร่ดีบุกที่ใหญ่ที่สุดแห่งหนึ่งของโลก ประมาณว่าแร่ดีบุกที่ผลิตจากภูมิภาคนี้มี ประมาณสามในสี่ของการผลิตจากทั่วโลก

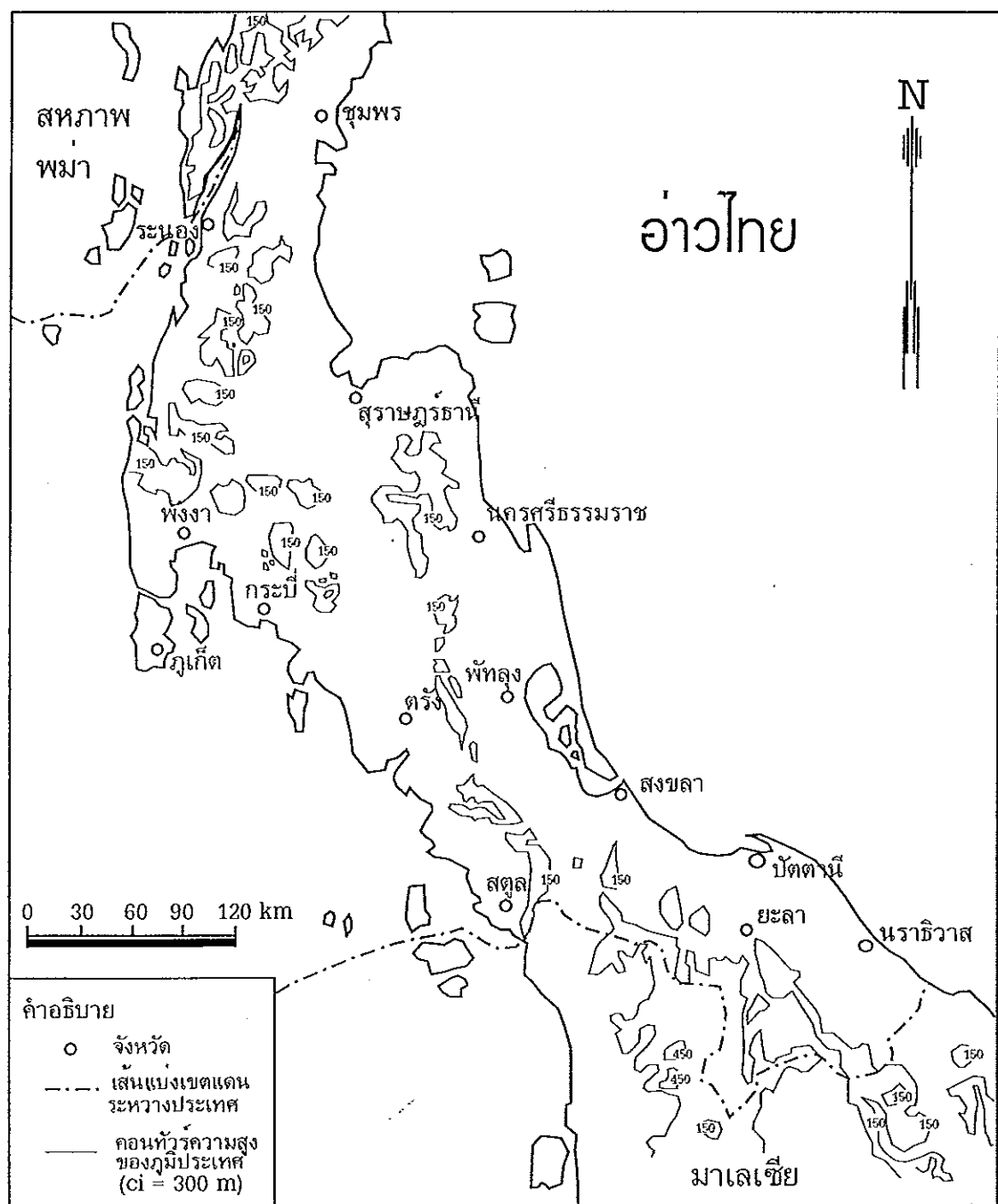
แนวหินแกรนิตของประเทศไทยและของเอเชียตะวันออกเฉียงใต้แบ่งออกได้เป็น 3 แนว โดยอาศัยความแตกต่างของสภาพแวดล้อมทางธรณีวิทยา ลักษณะสภาพหินแกรนิต และอายุหินแกรนิต ซึ่งได้แก่ แนวตะวันตก แนวตะวันออกและแนวกลาง (ภาพประกอบ 5)

หินแกรนิตแนวตะวันออก หินแกรนิตในแนวนี้เริ่มต้นจากเกาะบิลลิตัน ประเทศ อินโดนีเซียผ่านภาคตะวันออกของมาเลเซีย ไปยังภาคตะวันออกของไทยนานาไปตามขอบของที่ราบสูง โคราช ไปสิ้นสุดที่ลาว และทางตอนใต้ของประเทศไทย หินแกรนิตในแนวนี้ ประทุขึ้นมาในหินตะกอน และหินตะกอนภูเขาไฟ การประทุของหินแกรนิตนี้เกิดขึ้นพร้อมๆ กับการระเบิดของภูเขาไฟ ในช่วงอาณาจักรบันนีเฟอร์ส ถึง ยุคไทรแอสซิก บริเวณที่มีหินแกรนิตแนวนี้อยู่มากคือที่จังหวัดตาก แพร่ น่าน ลำปาง เลย จันทบุรี และจังหวัดนราธิวาส

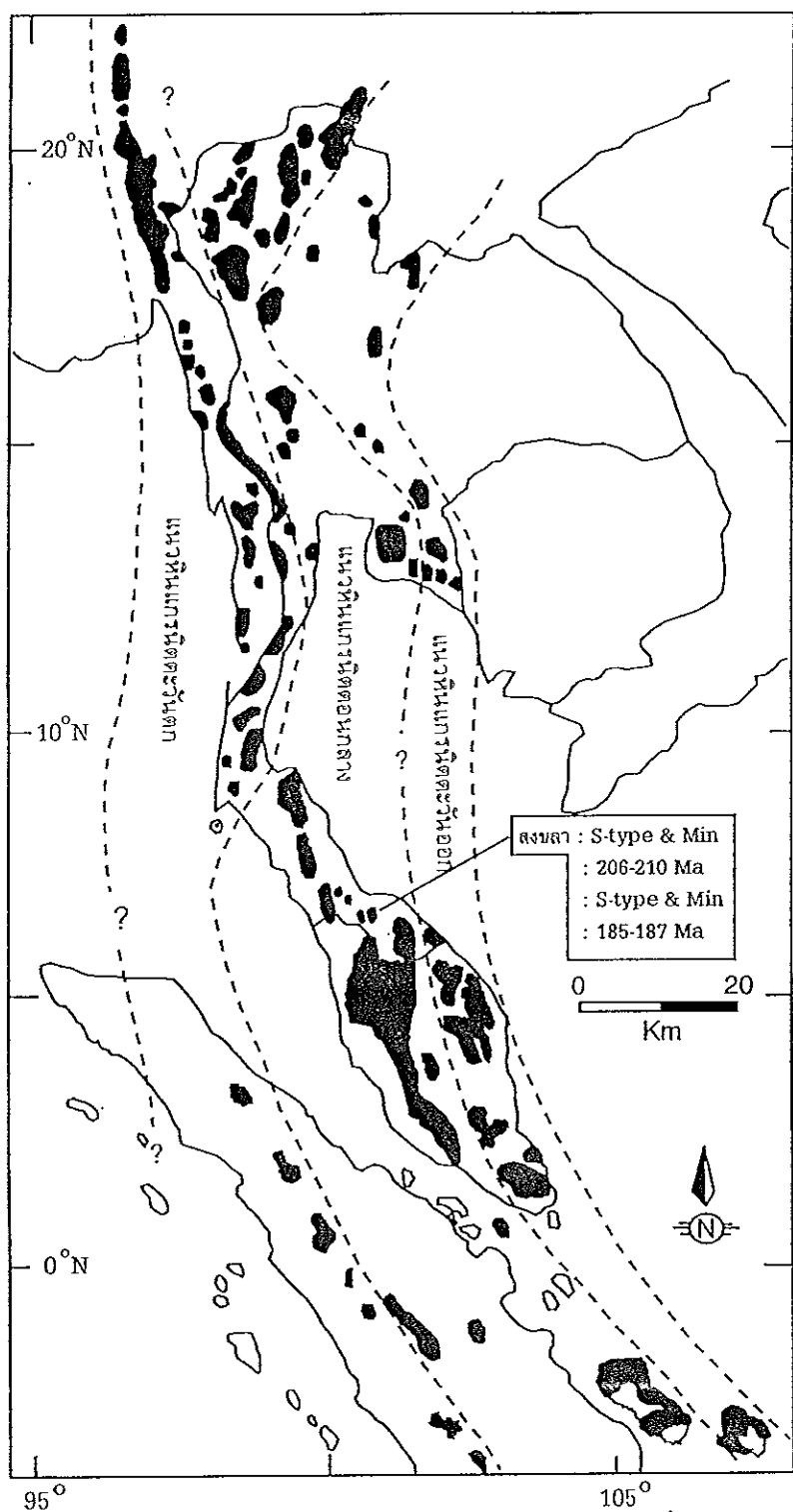
หินแกรนิตที่กระจายตัวอยู่ในแนวตะวันออกนี้มักแสดงการเปลี่ยนแปลงของหิน เป็นแนวๆ (zones) มีตั้งแต่หินแกรนิต "จริงๆ" (true granites) ซึ่งมักอยู่ส่วนกลางของมวลหินอ่อนประสิบลีต(plutons) ไปจนถึงพากที่มีแร่เม菲尔(mafic) มากกว่าซึ่งอยู่ติดกับขอบของ

ภาพประกอบ 4 กานสมุนไพรไทย

(ที่มา: Lohawijarn, 1992)



ภาพประกอบ ๕ แผนที่แนวการกระจายตัวของหินแกรนิตในประเทศไทย
 (ที่มา: ปัญญา จารุศิริ และคณะ, ๒๕๓๔)



มวลหิน เช่น หินควอตซ์ไคลอไรต์(quartz diorite) และหินแกรนิตไคลอไรต์ (granodiorite) หินแกรนิตในแนวนี้จัดอยู่ในประเภทที่เกิดจากการหล่อหลักลักษณะส่วน การหลอมละลายบางส่วนจากหินหนึ่ง(magma)ซึ่งเรียกว่า I-type และจัดอยู่ในหินแกรนิตประเภทที่มีแร่แมกนีไทต์อยู่ ที่เรียกว่า Magnetite-Series อายุของหินแกรนิตในแนวตะวันออกนี้โดยวิธี $^{40}\text{Ar}/^{39}\text{Ar}$ พบร่วมอยู่ระหว่าง 210-245 ล้านปี (ยุคไทรแอสซิก-ยุคเพอร์เมียน) (ปัญญา ชาครศิริ และคณะ, 2534)

แนวหินแกรนิตตอนกลาง หินแกรนิตในแนวนี้วางตัวเกือบจะขนานกับแนวแรกและแผ่ไปคลุมประเทศไทยตั้งแต่เหนือจรดใต้ นับได้ว่าครอบคลุมเนื้อที่ประเทศไทยมากที่สุด โดยเริ่มตั้งแต่บริเวณภาคเหนือของประเทศไทยเกือบทั้งหมดยกเว้นทางทิศตะวันตกของภาคผ่านเรือยังมาทางตอนกลางของประเทศไทย และต่อเลี้ยวไปจนถึงภาคสมุทรไทย-มาเลเซียผ่านภาคใต้ของประเทศไทยและทางตะวันตกของประเทศไทยมาเลเซีย และต่อไปจนสุดที่ตอนเหนือและตอนกลางของภาคสูมารา ครอบคลุมพื้นที่จังหวัดเชียงราย เชียงใหม่ ลำปาง ลำพูน ชลบุรี ระยอง สุราษฎร์ธานี นครศรีธรรมราช สงขลา และจังหวัดยะลา แนวแกรนิตนี้แตกต่างจากแนวแกรนิตตะวันออกทั้งในเรื่องการเกิดและสภาพแวดล้อมทางธรณีวิทยาลักษณะหินแกรนิตแนวนี้ค่อนข้างอยู่ในหินตะกอนเนื้อหิน หินแกรนิตในแนวนี้ประมาณมากกว่า 90 เปอร์เซ็นต์จะเป็นหินที่แสดงลักษณะและส่วนประกอบที่จัดว่าเป็นแกรนิตจริงๆ ดังนั้นโดยทั่วไปจึงมีส่วนประกอบของแร่เมฟิก(mafic) เช่นแร่กรองเบลนด์และแร่ในโอไกต์อยู่ไม่มากนักเนื่องจากหินแกรนิตในแนวตะวันออก โดยเฉพาะอย่างเบลนด์แทนไม่พบเลย ส่วนแร่มัสโคโวิตจะมีปริมาณเพิ่มมากขึ้น จากการศึกษาทางธรณีเคมีของหินแกรนิตในแนวนี้ พบว่าส่วนใหญ่เกิดจากการหลอมละลายบางส่วนของหินที่สะสมตัวอยู่คิ่มในเปลือกโลกหรือที่เรียกว่า S-type และจัดอยู่ในพวกหินแกรนิตที่มีแร่อิลเมนิต(Illmenite Series) ตามวิธีที่จำแนกของ Ishihara et al.(1980) จากการศึกษาอายุของหินแกรนิตในแนวนี้โดยวิธี $^{40}\text{Ar}/^{39}\text{Ar}$ มีอายุอยู่ระหว่าง 180-220 ล้านปี(ด้วยกลุ่มแรสซิก-ปลายยุคไทรแอสซิก) (ปัญญา ชาครศิริ และคณะ, 2534)

หินแกรนิตแนวตะวันตก หินแกรนิตในแนวนี้มีลักษณะการวางตัวอยู่ในทิศเหนือ-ใต้ และวางตัวเกือบขนานกับแนวแรกแนวอื่นๆ พบร่วมในประเทศไทยพม่าเป็นส่วนใหญ่ในพบร่วมในประเทศไทยและเมืองพะพงทางตะวันตกของภาคสูมารา ส่วนในประเทศไทยพบในແນບແມ່ລາມາ จังหวัดแม่ฮ่องสอน ทางตอนเหนือ ແນບປັບປຸງจังหวัดกาญจนบุรี ทางตอนกลางในประเทศไทย และตั้งแต่ร่องดึงภูเก็ตทางตอนใต้ของประเทศไทย หินแกรนิตแนวนี้ในประเทศไทยจะ

คันตัวซึ่นมาอยู่กับหินซึ่งเคียงข้างหัวหินตะกอนเนื้อผสม ไม่พบประปันอยู่กับหินภูเขาไฟหรือหินตะกอนภูเขาไฟ ซึ่งเหมือนกับแกรนิตในแนวกลางของประเทศไทย หินแกรนิตในแนวนี้เหมือนกับหินแกรนิตในแนวกลางคือมีแร่อิร์นแบลนค์อยมาก แต่จะพบแร่ในโอไทร์และมัสโคไว์ตามากนาย ปริมาณของแร่ควอตซ์และแร่เฟลค์สปาร์ก็มากนัยเช่นกัน จากการศึกษาทางธรณีเคมีของหินแกรนิตในแนวนี้พบว่า 98 เปอร์เซ็นต์ของหินแกรนิตในแนวนี้เป็นแกรนิตประเภท S-type หรือ Ilmenite-series เป็นส่วนใหญ่ ส่วนร้อยละของหินแกรนิตในแนวนี้โดยวิธี $^{40}\text{Ar}/^{39}\text{Ar}$ มีอายุประมาณ 55-80 ล้านปี (ปลายยุคคริเทเชียส-ต้นยุคเทอร์เชียร์) จากการศึกษาเชื่อว่าหินแกรนิตในแนวนี้ส่วนใหญ่มีผลเนื่องมาจากการหลอมละลายของหินดังเดิมในชั้นเปลือกโลกส่วนทวีป

Sano et al. (1985) ได้ทำการศึกษาหินแกรนิตบริเวณทางภาคใต้ของไทย พบว่ามีค่าสกัดหินไว้ได้ทางแม่เหล็กน้อยกว่า 6.3×10^{-4} SI ความหนาแน่นเฉลี่ยของหินแกรนิตบริเวณนี้ประมาณ $2.6 \times 10^3 \text{ kg/m}^3$ และมีปริมาณกัมมันตภารังสีสูงซึ่งได้แก่ปริมาณโพแทสเซียมสูงเนื่อง และทองเรียมมีค่าเฉลี่ยเป็น 5.7 % 46 ppm และ 91 ppm ตามลำดับ

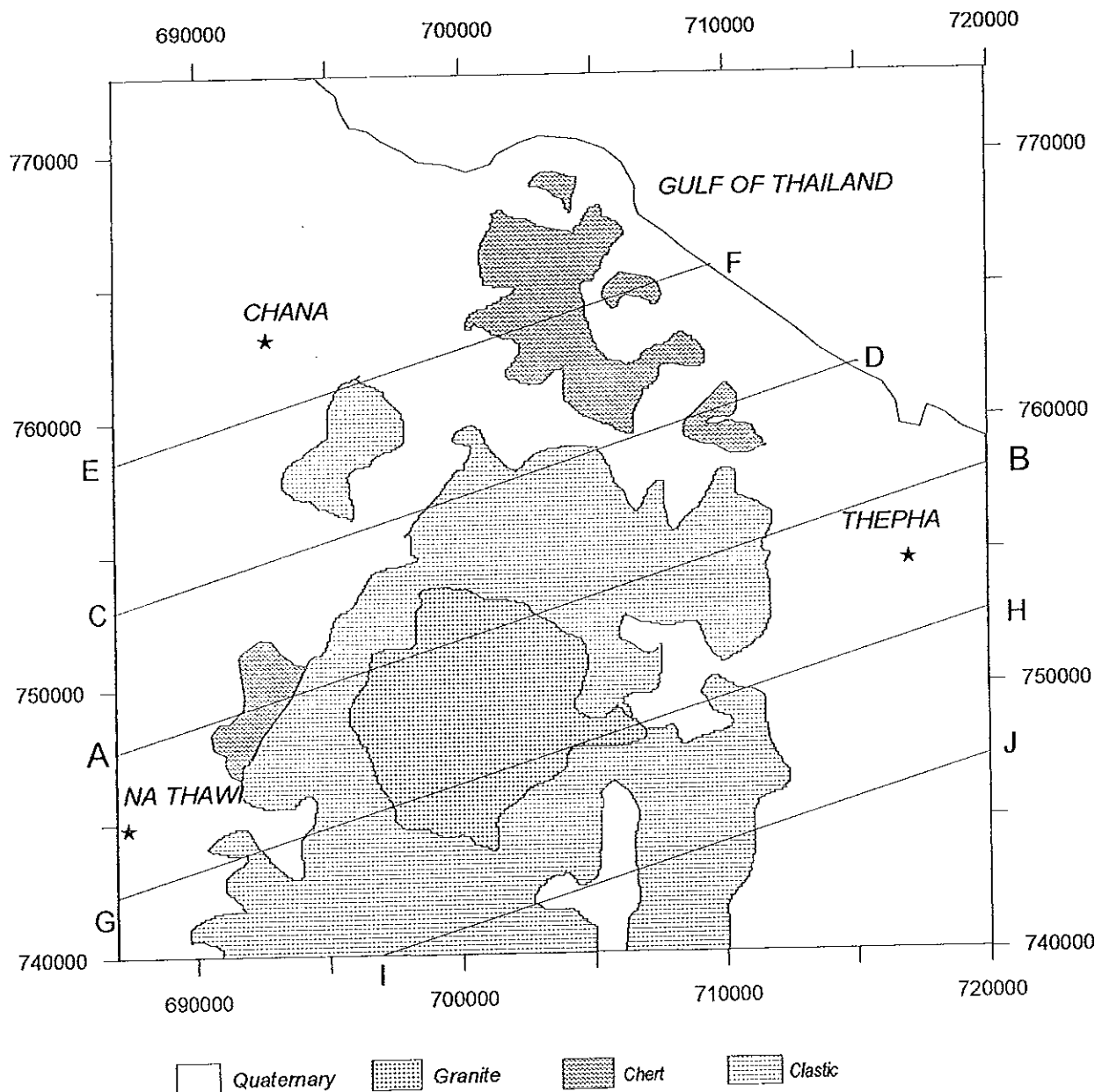
Ishihara et al (1979) รายงานว่าหินแกรนิตในคาบสมุทรไทยมีส่วนประกอบส่วนมากเป็น ilmenite ถึง 91 %

ชงชัย พึงรักษ์ (2535) ได้ทำการศึกษาทางธรณีวิทยาของหินแกรนิตลิว พบว่าหินแกรนิตในบริเวณนี้แบ่งออกเป็น 2 กลุ่มคือ (1) หินแกรนิตเนื้อคลอกที่ประกอบด้วยแร่คลอก (phenocrysts) ได้แก่แร่เฟลค์สปาร์ และเนื้อพื้น(ground mass) ซึ่งได้แก่ควอตซ์ โพแทสเซียมเฟลค์สปาร์ แผลงิโอเกลส์เฟลค์สปาร์ ในโอไทร์เซอร์ค่อน อะพาไทต์ หัวมาลีน และมัสโคไว์ ลักษณะของหินแกรนิตเนื้อคลอกนี้มีสีอ่อน(leucocratic) (2) หินแกรนิตเนื้อเทา ส่วนประกอบทางแร่เหมือนกับเนื้อคลอกต่างกันตรงเนื้อหิน โดยทั่วไปมีลักษณะเป็นหินแกรนิตเนื้อเทาพบโดยล่ออยู่ 2 บริเวณ แทรกซ้อนเข้าไปในหมู่หินเคลชันของหินตะกอนยุคไทรแอสซิก ที่อ่าวเตยคำและที่บ้านคล่องใหญ่ (ภาพประกอบ 6)

หินแกรนิตลิวมีอายุอยู่ในยุคปลายไทรแอสซิกถึงยุคต้นยุคราสเซอร์ก่อนเข้าไปในหินตะกอนซึ่งประกอบด้วยหินทราย หินทรายเป็น หินดินดาน หินโคลน หินเซร์ต และหินกรวรมน ที่มีอายุประมาณช่วงกลางถึงช่วงปลายไทรแอสซิกทำให้เกิดเป็นหินแปรในบริเวณใกล้ร่องสัมผัส หินตะกอนซึ่งจัดอยู่ในหมวดหินนาที ประกอบด้วยหินเซร์ต(chert) และหมู่หินเคลชัน(clastic rock) รอยสัมผัสระหว่างหมู่หินเป็นรอยเลื่อน ชั้นหินเซร์ตในหมู่หินเซร์ตมีลักษณะเด่นคือ กดໄก์ดั้งแต่คอดักกดแบบพับผ้าถึงนอนทับ ส่วนหมู่หิน

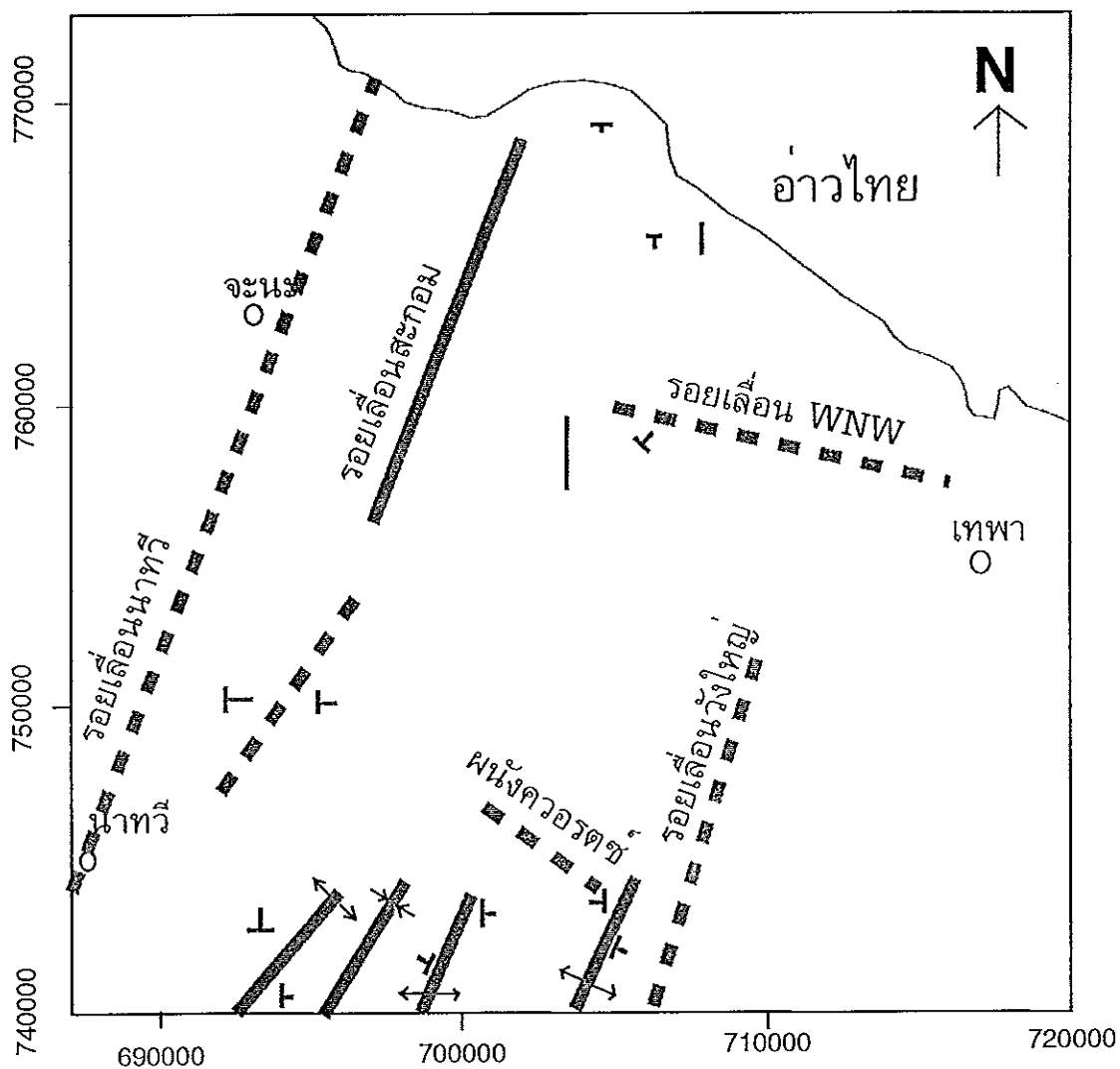
ภาพประกอบ ๖ แผนที่ธรณีวิทยาของพื้นที่ศึกษาวิจัย

(ที่มา : สงขัย พึงรัศมี, ๒๕๓๕)



ภาพประกอบ 7 โครงสร้างทางธรณีวิทยาของพื้นที่ศึกษาวิจัย

(ที่มา : คัดแปลงจาก ราชชย พิ่งรัศมี, 2535)



- ↑↓ ชั้นหินโถ้งรูปประทุน (anticline)
- * ชั้นหินโถ้งรูปประทุนงาย (syncline)
- รอยเลื่อน เส้นประ-โดยประมาณหรือที่คาด
- แนวระดับและการเทอนชั้นหิน

ເຫັນຈີ່ນີ້ເກົ່າຄົດໂຄງຮູປປະຖນແລະຮູປປະຖນທີ່ມີພິບສະນາມາດ

ธงชัย พึ่งรัศมี (2535) ได้กำหนดครอยเดือนเด่น 3 ทิศทาง คือ NNE , N-S และ WNW (ภาพประกอบ 7)

1. รอยเลื่อน NNE เป็นรอยเลื่อนใหม่มี 3 บริเวณ

1.1 รายเดือนนาทวี อยู่ที่ศูนย์วันตุกของพื้นที่ศึกษา ผ่านจ่าภอนนาทวี ที่รับผู้อุ่นน้ำนาทวี-
จ่าภอนจะนะ ออกรถสู่อ่าวไทยมีความยาวประมาณ 35 กิโลเมตร

1.2 ทางหลวงหมายเลข 23 (กรีด 693500,749000) ผ่านตะวันออกของควนคาน (กรีด 696500,756000)-ควนจำศิล (กรีด 698500,759500)-บ้านปากบางเทพา (กรีด 702100, 768200) ออกสู่อ่าวไทยมีความยาวประมาณ 23 กิโลเมตร

1.3 รายเลื่อนวังใหญ่ ทางตะวันออกของกรุงเทพมหานคร (กรีด 706500,742700)-บ้านวังใหญ่ (กรีด 706500,744700)-บ้านโล้ะบอน (กรีด 706600,746900)-บ้านใหม่เหนือ (กรีด 706800, 750700) มีความยาวประมาณ 15 กิโลเมตร

2. ร้อยเลื่อนทิศทาง N-S เป็นร้อยเลื่อนขนาดเล็กพบอยู่ 3 บริเวณ

2.1 บ้านเลข (กรีด 701600,757500) ระยะเดือนมีความยาวประมาณ 1 เมตรพบในหิน
เชือกทุกครั้งสลับหินทรายเม็ดเล็ก

2.2 คุณบุรา (กรีด 707700,764800) พมในหินเชิร์ตสลับหินโกลน

2.3 กรณีลิว (กรีก 695100,748700) พบรainชั้นหนึ่งทรายสลับกับหินดินดาน

3. รอยเลื่อนทิศทาง WNW เริ่มจากบริเวณบ้านทุ่งเนียด (กรีด 710400,759100) ไปควนวังพัง (กรีด 702200,763100) มีความยาวประมาณ 13 กิโลเมตร

ยงยุทธ ทรงคุณราร (2523) รายงานว่าเรื่องในช่วงภายหลังที่นิเกรนิตเข้าสู่หัวหรือกำลังเข้าสู่หัวโดยสารคล้ายร้อนหรือแก๊สที่เหลืออยู่ซึ่งมีราศีดีบุกและวุลแฟร์นรวมอยู่ด้วยถูกนำไปใช้ตามรอยแตกของหินที่เข้าสู่หัวแล้ว ราศีที่อยู่ในสภาพแก๊สหรือสารคล้ายร้อนนั้นบางส่วนก็ถูกผ่านหินนิเกรนิตเข้าไปปกคลุมเป็นสายควรต์ส่วนๆ และสายควรต์ที่มีแร่ดีบุกหรือปูนกับวุลแฟร์นอยู่ในรอยแตกของหินข้างเคียง ซึ่งส่วนใหญ่เป็นหินกราย หรือหินควรต์ไชต์ในส่วนที่ถูกแปรสภาพโดยความร้อนจากหินนิเกรนิต แต่เรื่องดีบุกและวุลแฟร์นบางส่วนจะเกิดร่วมกับสายควรต์ หรือเกิดฝังประในหินนิเกรนิต ต่อมานี้เมื่อหินข้างเคียงหรือหินนิเกรนิตที่มีแร่ดีบุกและวุลแฟร์นเกิดการพุพังถูกทำลายไป สายควรต์ที่มีแร่ ซึ่งมีความทนต่อการพุพังได้ดีกว่าหินที่มันแทรกตัวอยู่ก็จะคงหลุดออกมากจากสายควรต์ แต่บางส่วนของแร่ดีบุกและวุลแฟร์นจะแตกหลุดออกจากสายควรต์ พอกแร่และหินเหล่านี้จะ

ถูกพัดพาไปสู่ที่ต่ำกว่า เกิดเป็นแหล่งแร่พัลต์ตามท้องห้วยในที่ใกล้ๆ ดันกำเนิดแกรนิตลิว แทรกซ่อนเข้าไปในหินตะกอน ทำให้เกิดหินแปรในบริเวณใกล้ร่องรอยสัมผัสหินตะกอน

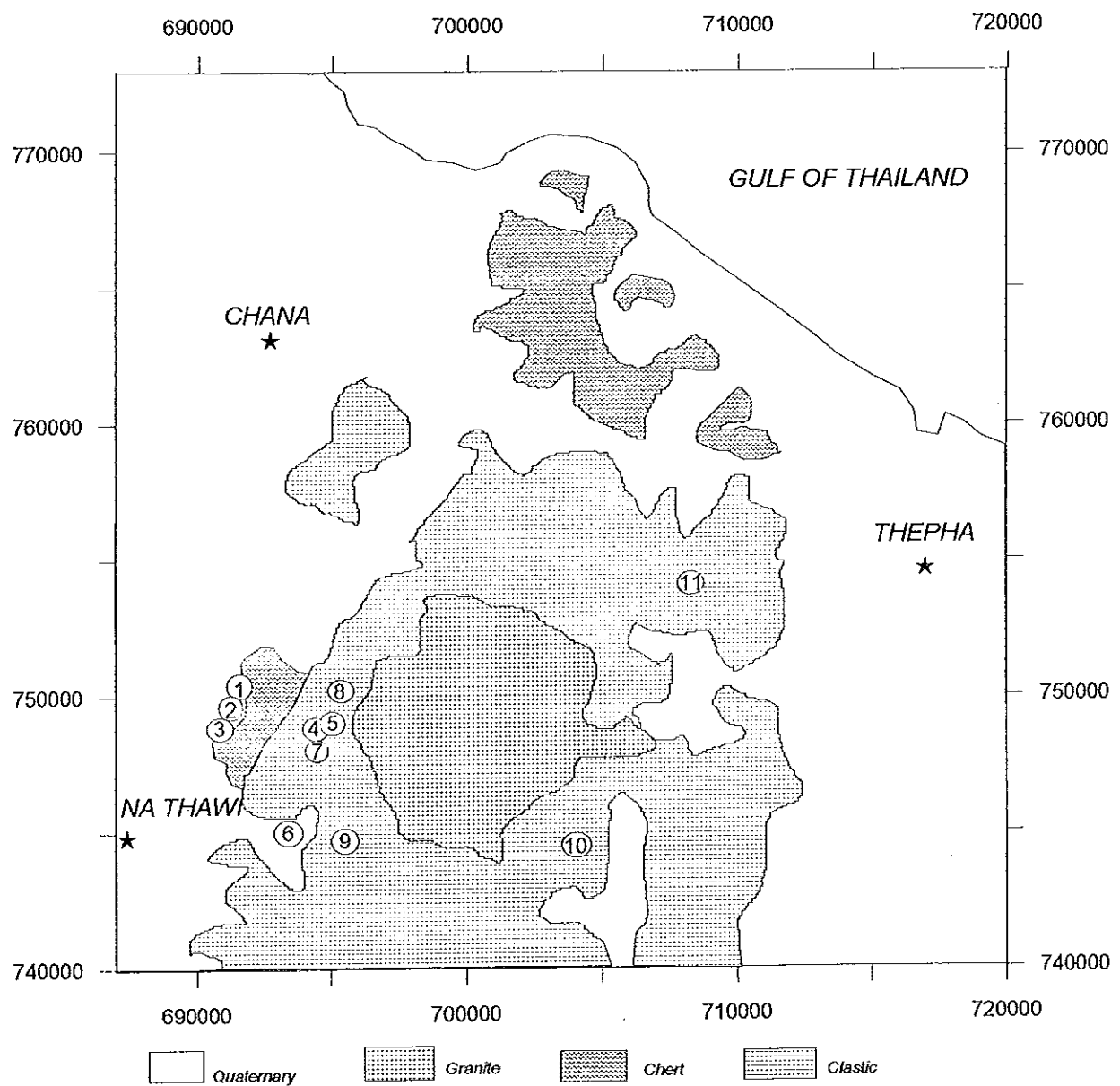
ทรงชัย พึงรักษ์ (2535) รายงานว่าจังหวัดสงขลา มีผลผลิตแร่คีบุกจัคคอย์ใน 10 อันดับแรกของประเทศไทย บริเวณที่มีการทำแร่คีบุกในจังหวัดสงขลามากที่สุดคือบริเวณเทือกแกรนิตลิวหรือพญานาค ซึ่งผลิตได้คิดเป็นร้อยละ 35 ของผลผลิตแร่คีบุกในจังหวัดสงขลา ผลผลิตของแร่คีบุกและวุลฟ์เรน ในปี พ.ศ. 2518-2534 จำนวน 6,406 เมตริกตัน หรือ 106,766 หาย และมีมูลค่าไม่น้อยกว่าหนึ่งพันล้านบาท เมืองแร่คีบุกในบริเวณพญานาค ผลิตแร่จากแหล่งแร่คีบุกที่เกิดแบบทุติยภูมิที่เรียกว่าลานแร่ถุน้ำ (alluvial placer) และแบบปฐมภูมิ ที่เรียกว่าทางแร่หรือสายแร่ แหล่งลานแร่คีบุกบริเวณตะวันตกเฉียงใต้และตะวันออกเฉียงใต้ของพญานาค เกิดจากการสะสมของแร่คีบุกที่หลุดจากสายแร่ควอตซ์ที่แทรกซ่อนทึ่งในหินแกรนิตส่วนบนของพญานาค และหินตะกอนหินท้องที่ดึงเดินซึ่งถูกพญานาคดันแทรก การผุพัง-กัดกร่อน ซึ่งกระทำต่อหินในบริเวณนี้เป็นระยะเวลาอันยาวนาน แร่คีบุกถูกพัดพาสะสมในบริเวณชารน้ำในอัคติกา หรือชารน้ำที่ปะปนในชั้นทราย-กรวด-ก้อนหินมน เล็ก-ใหญ่ สถาบันกับทรายแป้งและดินเคลื่อน เป็นรูปเลนส์ สะสมตามกระบวนการกัดกร่อนของน้ำ จากการศึกษาที่ผ่านมาพบว่าแหล่งแร่อยู่ห่างจากพญานาคเป็นระยะทางประมาณ 1-5 กิโลเมตร นอกจากจะมีแหล่งแร่คีบุกแบบลานแร่ยังมีแหล่งจากทางแร่ ซึ่งเป็นแหล่งแร่แบบน้ำร้อน(hydrothermal) โดยแร่คีบุกเกิดอยู่ในสายแร่ควอตซ์แทรกขึ้นมาในหินตะกอน จากการศึกษาที่ผ่านมาพบว่าบริเวณด้านตะวันตกของพญานาค มีการพูนแหล่งแร่คีบุกมากที่สุด (ภาพประกอบ 8) แหล่งแร่แบบน้ำร้อน เกิดขึ้นได้โดยการที่น้ำแร่เข้าไปบรรจุหานช่องว่าง โพรงหรือรอยแตก (open-cavity or fissure filling) และโดยการแทนที่หินในบริเวณที่มีรอยแตก(replacement) ซึ่งเกิดจากการเปลี่ยนแปลงในหินเดิม ดังนั้นจึงเป็นแหล่งแร่ที่กำเนิดขึ้นภายในหันหินที่ล้อมรอบ(epigenetic deposit) ลักษณะหัวใจเป็นสาย(vein)

ทรงชัย พึงรักษ์ (2527) ได้อธิบายไว้ว่าแหล่งแร่แบบน้ำร้อน มีอุณหภูมิของการเกิดระหว่าง 500-50 องศาเซลเซียส และความดันประมาณ 10 กิโลเมตรถึงระดับความดันใกล้ผิวโลก

เนื่องจากหินแกรนิตเป็นดันกำเนิดของแร่คีบุก ดังนั้นการทราบของเขตที่แน่นอนของพญานาค จะทำให้สามารถประเมินตำแหน่งสะสมตัวของแหล่งแร่คีบุกได้ถูกต้องได้ เนื่องจากการศึกษาแกรนิตพญานาคแล้วหลายวิธี ได้แก่ การศึกษาทางค้านธารภูมิวิทยา (ทรงชัย พึงรักษ์, 2535) การบินวัดปริมาณกัมมันตภาพรังสีทางอากาศ การบินสำรวจความ

ภาพประกอน 8 ตำแหน่งเหมืองแร่

(ที่มา : ชงชัย พิ่งรัศมี, 2535)



- | | |
|-----------------------------------|-------------------------|
| ① เหมืองแร่ควนเสี้ง | ⑦ เหมืองแร่กิจของ |
| ② เหมืององค์การเหมืองแร่-ควนเสี้ง | ⑧ เหมืองแร่สิริอันนันต์ |
| ③ เหมืองแร่ควนกรด | ⑨ เหมืองแร่ลหะผล |
| ④ เหมืององค์การเหมืองแร่-ลิววิ่ง | ⑩ เหมืองแร่รังไนใหญ่ |
| ⑤ เหมืองแร่นิพัทธ์และบุตร | ⑪ เหมืองแร่เกาะสะหว้า |
| ⑥. เหมืองแร่ไฟศาลนาโนวี | |

เข้มรวมของสารแม่เหล็กโลหะ(กรรมทรัพยากรชั้นที่ 2, 2532) พบว่าสามารถก่อให้เกิดการดูดซึ�บของพลาสติกในแนวราบได้

Bott and Smithson(1967) กล่าวว่าเนื่องจากหินแกรนิตมีความหนาแน่นแตกต่างจากหินอื่นๆ โดยทั่วไป จึงทำให้เกิดค่าผิวคลุมตัวของความถ่วงในขนาดปานกลางถึงขนาดใหญ่ซึ่งนำไปอธิบายเพื่อประมาณขนาดรุ่งขึ้นได้ จากค่าผิวคลุมตัวของความถ่วงจะทำให้ทราบถึงแกรนิตสีกろงไปอีก 10 กิโลเมตร ซึ่งเคลื่อน 1 ใน 3 ของชั้นความหนาของชั้นเปลือกโลก คุณสมบัติของแกรนิต มีส่วนประกอบภายนอกในแข็งแรง มีความหนาแน่นต่างๆ มากตาม การเปลี่ยนผิวคลุมตัวของความถ่วงพบว่า แกรนิตพลาสติกในขนาดใหญ่บางส่วนหนา บางส่วนบาง บางส่วนสัน พันธุ์อยู่กับหินที่มีรากฐานหลักและแมกนีเซียมประกอบอยู่ การเปลี่ยนผิวคลุมตัวของความถ่วงมีความจำเป็นสำหรับการศึกษาโครงสร้างหินและปริมาณของหินได้

สำหรับการศึกษาทางด้านความถ่วง เพื่อกำหนดขอบเขตหินแกรนิตแทรกซ้อน (intrusion granite) นั้น ได้เคยมีการทำการศึกษามาแล้ว เช่น

Enmark (1980) ได้ศึกษาแกรนิตบนบริเวณอาวิคจาร์(Arvidsjaur) ซึ่งอยู่ทางตอนเหนือของประเทศสวีเดน ลักษณะพื้นผิวทางธรรพ์วิทยาของบริเวณนี้ เป็นตะกอนภูเขาไฟและหินแกรนิต หินตะกอนบริเวณอาวิคจาร์มีค่าสภาพรับไว้ได้ทางแม่เหล็กสูง จึงเป็นไปได้ที่จะใช้แผนที่การบินสำรวจความเข้มสนานแม่เหล็กโลหะในการก่อให้เกิดการดูดซึ่งของหินตะกอนภูเขาไฟและหินแกรนิต และกำหนดความลึก จากการศึกษาโครงสร้างทางธรรพ์วิทยา พบว่ามีเส้นผ่าศูนย์กลางประมาณ 25 กิโลเมตรและมีหินแกรนิตอยู่ตรงกลางของโครงสร้างนี้ รุ่งขึ้นของหินแกรนิตมีลักษณะคล้ายภูเขาร่องร่อง แต่จากการศึกษาข้อมูลทางธรรพ์ฟิสิกส์ ได้แก่ การวัดค่าความถ่วง ความเข้มสนานแม่เหล็กโลหะและศีลามิสิกส์พบว่าแกรนิตมีความลึกบริเวณศูนย์กลางมากกว่า มีรุ่งขึ้นตรงกลาง ไปและยังสามารถกำหนดครอยเดือนที่เกิดขึ้นอยู่ในแนวเฉียงและอยู่ห่างไปจากตำแหน่งเดิมประมาณ 2-3 กิโลเมตร

Enmark and Parasnis(1980) ศึกษาโครงสร้างบริเวณจอร์นบัสตุตรา (Jorn-Bastutras) ซึ่งอยู่ทางเหนือของสวีเดน บริเวณนี้มีแกรนิต 2 ชนิดคือแกรนิตจอร์น(Jorn Granite) มีความหนาแน่น 2680 kg/m^3 และแกรนิตเรียปชัน(Revsund Granite) มีความหนาแน่น 2660 kg/m^3 โดยแกรนิตจอร์นมีอ่ายมากกว่าแกรนิตเรียปชัน โครงสร้างทางธรรพ์วิทยาในพื้นที่นี้ มีความลึกมากกว่า 200-300 เมตร จากการศึกษาข้อมูลทางธรรพ์ฟิสิกส์โดยการวัดค่าความถ่วงและนำมาสร้างแบบจำลองของแกรนิตมีห้องห้อง 4 แบบซึ่งสอดคล้องกับแบบจำลองที่ได้จากการศึกษาข้อมูลทางธรรพ์วิทยา

Al-Rawi and Brooks(1992) ได้ศึกษาความลึกของชั้นเปลือกโลก ซึ่งอยู่ท่ามกลางวัตถุที่ดินและหินที่มีลักษณะทางธรณีวิทยาที่แตกต่างกัน หินตะกอนภูเขาไฟบริเวณนี้อาจมีอายุมากกว่า 10 ล้านปี มีหินแกรนิตพุท่องบุกปะลายของภาร์บอนิฟอรัสซึ่งมีลักษณะแคนและลักษณะทางธรณีที่มีลักษณะเดียวกันในตะกอนนี้ คาดหมายว่าหินแกรนิตนี้หันมาประมาณ 10-15 กิโลเมตร อยู่ลึกประมาณ 13-15 กิโลเมตร จากการศึกษาทางธรณีฟิสิกส์โดยการวัดค่าความถ่วงและความเข้มสนามแม่เหล็กโลกพบว่ามีความหนาประมาณ 6 กิโลเมตร และอยู่ลึก 24-30 กิโลเมตร

Enmark and Nisca(1982) ได้ศึกษาริเวณแกรนิตเกลลีจาร์ (Gallejaur granite) ซึ่งอยู่ทางตอนเหนือของประเทศไทย จากข้อมูลทางธรณีวิทยาริเวณแกรนิตเกลลีจาร์นี้ หินแกรนิตจัดอยู่ในมหาภูมิประเทศเบรย์ รูปร่างค่อนข้างกลมมีเส้นผ่าศูนย์กลางประมาณ 10-12 กิโลเมตร รอบๆแกรนิตเกลลีจาร์เป็นหินแคน โบราณเรียกว่า เกลลีจาร์แกน โบร(Gallejaur gabbro) จากการศึกษาทางธรณีวิทยาแสดงว่าแกรนิตมีความลึกประมาณ 1 กิโลเมตร มีหินภูเขาไฟชนิดเบสิก(basic volcanics) เป็นฐานมารองรับหินแกรนิตนี้สำหรับด้านข้างลึกลงไป ได้คืนเป็นหินภูเขาไฟชนิดไโรโลลิติก-แอนเดซิติก(Rhyolitic-andesitic volcanics) จากการศึกษาทางด้านธรณีฟิสิกส์ได้แก่การวัดความถ่วงและความเข้มสนามแม่เหล็กโลก และการสร้างแบบจำลองพบว่ามีลักษณะเช่นเดียวกับแบบจำลองของข้อมูลทางธรณีวิทยา กล่าวก็อ้มว่ามีลักษณะเป็นรูปหัวใจใหญ่ มีแร่เหล็กและแมกนีเซียมเป็นส่วนประกอบที่สำคัญ ส่วนสูงที่สุดมีลักษณะเป็นรูปหมวกแคนบานมีแร่ไนโตรอิโซอิกเป็นส่วนประกอบ ความลึกมากที่สุดของโครงสร้างนี้ประมาณ 3.5-4.5 กิโลเมตร แกรนิตอยู่ในระดับดินก่อสร้างประมาณ 250 เมตร มีหินภูเขาไฟชนิดเบสิก(basic volcanics) และมีหินไโรโลลิติก-แอนเดซิติกมารองรับเป็นฐานอีกชั้นหนึ่งและต่อลึกลงไปข้างใต้

Enmark et al.(1980) ได้ศึกษาหินแคน โบร ซึ่งอยู่ใกล้เมือง โบเดน(Boden) ทางตอนเหนือของประเทศไทย มีลักษณะโครงสร้างเป็นรูปไข่ครอบคลุมเนื้อที่ประมาณ 20 ตารางกิโลเมตร ส่วนนอกสุดเป็นหินไโรติ(torite) ซึ่งเชื่อมต่อ กับตะกอนอาชุมากและหินแกรนิตอาชุมาก ในหินน้อยไโรติพบแร่แมกนีไทต์ ถัดจากน้อยไโรติเข้าไปเป็นหินแคน โบรซึ่งมีลักษณะเป็นวงแหวนถัดจากหินแคน โบรเข้าไปเป็น leuco gabbro-olivine gabbro จากการศึกษาทางธรณีฟิสิกส์โดยการวัดค่าความถ่วงและความเข้มสนามแม่เหล็กโลกพบว่าโครงสร้างนี้มีลักษณะเป็นกรวยหรือปล่องลงไป และมีความลึกประมาณ 2 กิโลเมตร

นอกจากนี้การบินสำรวจปริมาณกัมมันตภาพรังสีก็เป็นอีกวิธีหนึ่งซึ่งสามารถใช้กำหนดขอบเขตของแกรนิตดังตัวอย่างต่อไปนี้

Tulyatid(1992) ได้ศึกษาบริเวณหัวหิน-ปราณบุรี ซึ่งอยู่ทางภาคใต้ของประเทศไทยห่างจากกรุงเทพประมาณ 170-230 กิโลเมตร อยู่ในจังหวัดประจวบคีรีขันธ์และเพชรบุรี หรือวิทยาของพื้นที่ศึกษา ประกอบด้วยหินแปรและหินแกรนิต มีหินตะกอนอายุ Silurian-Permian วางอยู่บนหินตะกอนยุคไทรแอฟซิกและมหา yokพรีแคมเบรียน หินแกรนิตแบ่งเป็น 2 กลุ่มคือ หินแกรนิตที่แปรไปเป็นหินในสีซึ่งมีลักษณะเป็นริ้วขนาด(foliated granite) และแกรนิตที่มีลักษณะไม่เป็นริ้วขนาด(non foliated granite) หินแกรนิตที่มีลักษณะเป็นริ้วขนาด มี 3 กลุ่มคือ กลุ่มหุบกะพง(Hub kapong) กลุ่มหัวหิน(Hua Hin)และกลุ่มปราณบุรี (Pran Buri) กลุ่มหัวหินและหุบกะพงเป็นชนิด S-type กลุ่มปราณบุรีเป็นชนิด I-type ส่วนหินแกรนิตที่มีลักษณะไม่เป็นริ้วนี้อยู่ทางตะวันตกของแกรนิตพุกตุน เกิดขึ้นจากลำหินอัคนีขนาดเล็ก(stock) รอยเดือนในแนว N-S ปรากฏอยู่ทางด้านขวาของพื้นที่ศึกษา ซึ่งอาจเกิดจากเกิดรอยแตกของรอยเดือน ระยะห่าง-คลองมะรุยและรอยเดือนพาโภค แหล่งแร่ส้มพันธ์อยู่กับหินแกรนิตที่มีลักษณะไม่เป็นริ้วนี้ พนอยู่ทางตะวันตกเฉียงเหนือ เช่นคีบุกและห้วยสุนท่อนที่ขอบของพุกตุนหุบกะพง นอกจากนี้ข้อมูลความเข้มสนานแม่เหล็ก ได้แสดงรอยเดือน คือปรากฏความเข้มแม่เหล็กศักดิ์ปกติเล็กๆไปตามยาวรอยเดือนในแนว N-S การเปลี่ยนสภาพแบบน้ำร้อน (hydrothermal alteration) ทำให้มีปริมาณ K สูง บริเวณที่ K สูงจะมี U และ Th ปริมาณต่ำถึงปานกลาง อัตราส่วนของ eTh/K ต่ำมากและเป็นไปได้ว่า eU/eTh มีปริมาณปานกลางถึงสูง ผลการศึกษานี้ชี้อ่วกว่าการเปลี่ยนแปลงของน้ำร้อนส้มพันธ์กับแกรนิตคลิวโกหง ตอนเหนือของพุกตุนหุบกะพง ซึ่งมีศักดิ์ภาพสูงในการเกิดแร่ ผลกระทบการศึกษาข้อมูลรังสีสามารถจำแนกเพื่อของหินแกรนิตได้ และพบว่าแหล่งแร่ส้มพันธ์กับแกรนิตที่มีลักษณะไม่เป็นริ้วขนาด และนอกจากสามารถจำแนกความแตกต่างในหินแกรนิตแล้วยังสามารถจำแนกความแตกต่างระหว่างมีแร่และไม่มีแร่ได้ด้วย

วัตถุประสงค์

- เพื่อหาขอบเขตของพุกตุนหุบกะพง ซึ่งเป็นต้นกำเนิดของแร่คีบุกและแร่ที่มีคุณค่าทางเศรษฐกิจอื่น ๆ โดยวิธีการวัดค่าความถ่วง
- เพื่อเปรียบเทียบผลการศึกษาโดยวิธีวัดค่าความถ่วงกับวิธีวัดกัมมันตภาพรังสี

วิถีสันນະแม่เหล็กโลก และสารภีวิทยา

3. เพื่อปรับปรุงข้อมูลค้านธารณีวิทยาของพื้นที่ทำการศึกษา

บทที่ 2

วิธีการวิจัย

การวิจัยเพื่อศึกษาพฤติอนลิว บริเวณจังหวัดสงขลา โดยใช้วิธีทางธรณีฟิสิกส์ต้องใช้วัสดุ อุปกรณ์และวิธีดำเนินการ โดยมีรายละเอียดดังต่อไปนี้

วัสดุ

วัสดุที่ใช้ในการศึกษาพฤติอนลิวในบริเวณจังหวัดสงขลา โดยใช้วิธีทางธรณีฟิสิกส์ จะแบ่งตามหัวข้อที่ทำการศึกษาดังต่อไปนี้

1. วัสดุที่ต้องใช้สำหรับศึกษาความหนาแน่นของหิน ประกอบไปด้วยสิ่งต่อไปนี้
 - 1.1 หินตัวอย่างซึ่งเก็บมาจากพื้นที่ที่ทำการศึกษา มีมวลประมาณ 2 กิโลกรัม
 - 1.2 น้ำเปล่าสำหรับใช้ในการเช่นหินจากข้อ 1.1.1 เพื่อทำให้หินอ่อนตัวด้วยน้ำ
2. วัสดุที่ต้องใช้สำหรับศึกษาค่าความถ่วง ประกอบไปด้วยสิ่งต่อไปนี้
 - 2.1 เชือกพลาสติกฟางยาวประมาณ 5 เมตร
 - 2.2 สีน้ำมัน / สีพลาสติก (สีแดงและสีขาว)
 - 2.3 ฝาขวดน้ำอัดลม
 - 2.4 ตะปูงนาด 3 เมตร ซึ่งมีฝาน้ำอัดลมและเชือกพลาสติกฟางติดอยู่ เพื่อใช้เป็นสัญลักษณ์แสดงตำแหน่ง ที่ทำการวัดค่าความถ่วงและความสูง
 - 2.5 ท่อนไม้ขนาดเส้นผ่าศูนย์กลางประมาณ 0.5-1 เมตรยาวประมาณ 12-15 เมตร ซึ่งเขียนรหัสตำแหน่งติดไว้เพื่อใช้เป็นสัญลักษณ์แสดงตำแหน่งที่ทำการวัดค่าความถ่วงและความสูง
3. วัสดุที่ต้องใช้สำหรับศึกษาความสูงของพื้นที่ที่ทำการศึกษา เมื่อจากการศึกษาความสูงอยู่ที่ตำแหน่งเดียวกับการศึกษาค่าความถ่วง ดังนั้นจึงใช้วัสดุต่าง ๆ ที่ใช้ในการศึกษาค่าความถ่วงนั้นเอง

ភ្នំពេជ្រិក

4 วัสดุที่ต้องใช้สำหรับวิเคราะห์ปริมาณ eU, eTh และ K ประกอบไปด้วย

- 4.1 หินตัวอย่างซึ่งเก็บมาจากพื้นที่ที่ทำการศึกษา มีมวลประมาณ 20 กรัม
 - 4.2 กล่องพลาสติก สำหรับใส่หินตัวอย่างและสารมาตรฐานที่บดแล้วในข้อ 1.4.1 ซึ่งบรรจุหัสแสดงตำแหน่งที่ทำการเก็บหินตัวอย่างข้างกล่องไว้เรียบร้อยแล้ว
 - 4.3 สารมาตรฐานรหัส RG K-1, RG Th-1 และ RG U-1
 - 4.4 ราดูร์กัมมันตรังสีตัวอย่าง ในที่นี่ใช้ Co-60

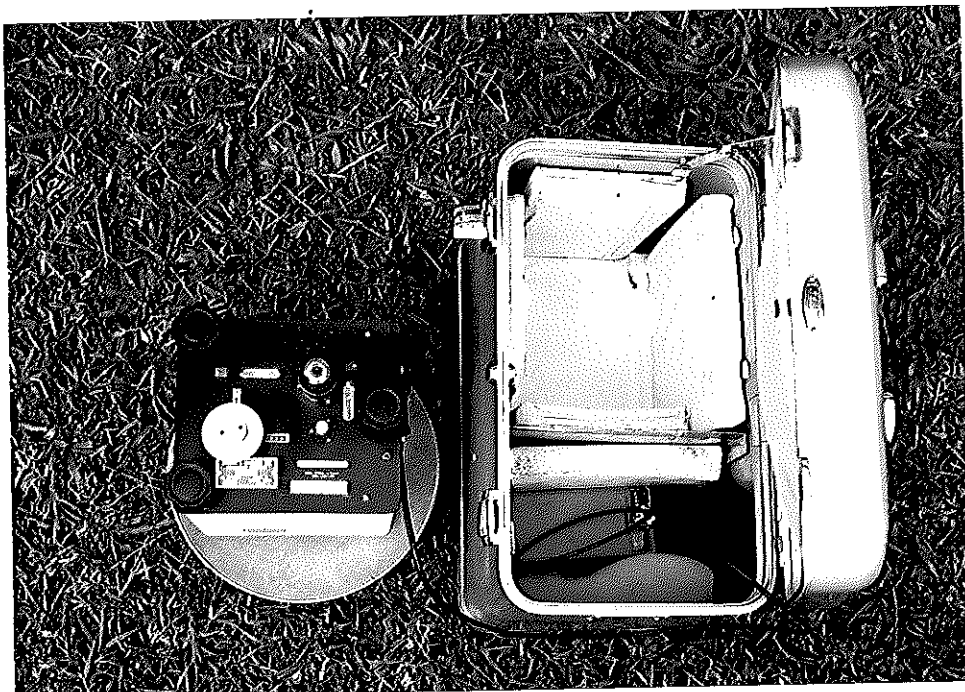
อุปกรณ์

อุปกรณ์ที่จำเป็นต้องใช้สำหรับการศึกษาในครั้งนี้ โดยแบ่งตามหัวข้อการศึกษา ได้
ดังนี้

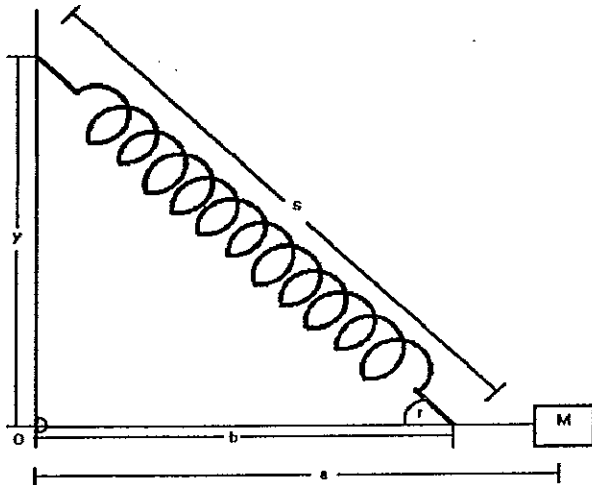
1. อุปกรณ์ที่จำเป็นสำหรับการศึกษาความหนาแน่นของหิน ประกอบไปด้วยสิ่งต่าง ๆ ดังต่อไปนี้
 - 1.1 เครื่องชั่งอิเล็กทรอนิกส์ยี่ห้อ METTLER รุ่น BB3000 ซึ่งสามารถชั่งมวลได้ขนาดไม่เกิน 3000 g สามารถตัดเปลี่ยนให้ชั่งมวลของวัตถุในน้ำได้โดยมีตะขอสำหรับเก็บสารแห้งที่ใส่ตัวอย่างซึ่งในขณะเดียวกันก็เชือยู่ในการชนะบรรจุน้ำ
 - 1.2 ภาชนะบรรจุน้ำขนาด 16 ลิตร
 - 1.3 เตาอบไฟฟ้าผลิตโดยบริษัท GmbH Co.KG 8540 Schwabach W-Germany ยี่ห้อ Memmert รุ่น Um400 เพื่อใช้อบໄล์ความชื้นออกจากตัวอย่างหิน ซึ่งสามารถเดือดอุณหภูมิได้ตั้งแต่ 30- 230 องศาเซลเซียส และสามารถตั้งเวลาได้
 - 1.4 ผ้าสำหรับใช้ชับให้ผิวของหินตัวอย่างแห้ง หลังจากที่หินถูกแช่ในน้ำอุ่นประมาณ 12 ชั่วโมง
 - 1.5 ฝ้อนสำหรับใช้เคลือบหินจากก้อนมวลขนาดใหญ่ ตามแน่นที่เก็บ เพื่อนำมาเป็นตัวอย่างวัดความหนาแน่น
 - 1.6 สกัด สำหรับเจาะจัดหินออกจากก้อนมวลขนาดใหญ่
 2. อุปกรณ์ที่จำเป็นต้องใช้สำหรับวัดค่าความถ่วง
 - 2.1 เครื่องแกรเวซิมิเตอร์(gravity meter) แบบไม่เสียงยี่ห้อ Lacoste Romberg และรอมเบิร์ก (Lacoste and Romberg) มีความแม่นยำถึง 0.01 มิลลิเกรด เพื่อใช้วัดค่าความถ่วงสัมพัทธ์

ระหว่างจุดวัด ผลิตโดยบริษัท Lacoste & Romberge, inc. Austin, Texan, U.S.A. รุ่น G-490 (ภาพประกอบ 9) ซึ่งมีโครงสร้างภายในประกอบด้วยก้อนมวลติดอยู่ที่ปลายของคานอันหนึ่ง คานนี้ถูกดึงด้วยสปริงให้อยู่ในแนวระดับโดยประมาณ โดยที่ปลายอีกด้านหนึ่งของคานจะ กับกรอบและทำให้เป็นจุดหมุน เมื่อเกิดการเปลี่ยนแปลงแรงนื้องจากความถ่วงที่กระทำ ต่อ ก้อนมวล คานจะเคลื่อนที่ซึ่งทำให้เกิดการเปลี่ยนมุมระหว่างคานกับสปริง นั่นคือเกิด การเปลี่ยนโหมดน์ของสปริงที่ดึงคาน ทำให้คานเคลื่อนที่มากขึ้นไปอีก เป็นการเพิ่มปริมาณ กระจัคให้แก่คานเนื่องจากการเปลี่ยนแปลงของค่าความถ่วง (ภาพประกอบ 10)

ภาพประกอบ 9 แกรวิติเมเตอร์แบบลากอสท์และรอมเบิร์ก



ภาพประกอบ 10 เค้าโครงของแกรวิติเมเตอร์แบบลากอสท์และรอมเบิร์ก



(ที่มา : กิตติชัย วัฒนานนิกร, 2524.)

$k(s-z)$ แทนแรงดึงของสปริง

k แทนค่าคงที่ของสปริง

s แทนความยาวของสปริงเมื่อมีแรงกดจากกระทำ

z แทนความยาวของสปริงเมื่อไม่มีแรงกดจากกระทำ

เขียนแทนความสัมพันธ์ได้ดังนี้

$$Mga = k(s-z)b \sin r$$

2.2 แผนที่ภูมิประเทศมาตราส่วน 1 : 50,000 ระหว่าง อำเภอเทพฯ 5122 I อำเภอสะบ้าย้อย 5122 II อำเภอหาดวี 5122 III และอำเภอจะนะ 5122 IV เพื่อใช้สำหรับการศึกษาลักษณะภูมิประเทศและเส้นทางที่เข้าไปทำการศึกษาในครั้งนี้

2.3 นาฬิกาใช้สำหรับอ่านเวลาขณะที่ทำการวัดค่าความถ่วง เพื่อนำไปปรับแก้ไขค่าคริฟท์

2.4 โปรแกรมคอมพิวเตอร์ที่นำมาใช้วัดค่าความถ่วง

2.4.1 โปรแกรมกราฟเฟอร์ (Grapher) เวอร์ชัน 1.79 สำหรับเขียนกราฟ

2.4.2 โปรแกรมเซอร์เฟอร์ (Surfer) เวอร์ชัน 4.13 สำหรับเขียนคอนทัวร์ค่าความถ่วง ความลึก ก้มขั้นตอนทางเรขาคณิตและสนับสนุนแม่เหล็กโลก

2.4.3 โปรแกรม GMM(gravity magnetic modeling) version 1.31 สำหรับสร้างแบบจำลองวัตถุภูมิภาคติดต่อโลก ซึ่งก่อให้เกิดค่าภูมิภาคติดของความถ่วงและค่าภูมิภาคของ

สาระแม่เหล็กโลกรวม

2.4.4 โปรแกรมโลตัส 1-2-3 (lotus 1-2-3)สำหรับประเมินข้อมูลความถ่วงและอื่นๆ

3. อุปกรณ์ที่จำเป็นต้องใช้ ในการศึกษาความสูงของจุดวัด ประกอบไปด้วยรายการดังต่อไปนี้

3.1 มาตรระดับความสูง(Altimeter) ประเภทความดันบรรยายกาศสำหรับวัดระดับความสูงของจุดวัดค่าความถ่วงเพื่อนำมาปรับแก้ค่าความถ่วง ผลิตใน U.S.A. โดยบริษัท American Paulin system, Los Angles, California รุ่น M-2, 10,000 feet, 2-feet

ภาพประกอบ 11 มาตรระดับความสูงชนิดความดัน



3.2 แผนที่ภูมิประเทศในสเกล 1: 50,000 ซึ่งแสดงเส้นทางคมนาคมซึ่งใช้รวมกับแผนที่ภูมิประเทศที่ใช้ศึกษาความถ่วงเนื่องจากจุดวัดเดียวกัน

3.3 เทอร์โนมิเตอร์วัดอุณหภูมิของบรรยายกาศขณะทำการวัด

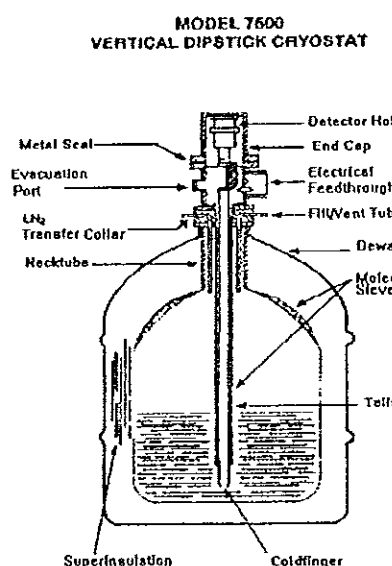
3.4 นาฬิกาสำหรับอ่านเวลาที่ทำการวัด

4. อุปกรณ์ที่จำเป็นต้องใช้ในการศึกษาความเข้มรังสี มีดังต่อไปนี้

4.1 อุปกรณ์ ที่จำเป็นต้องใช้สำหรับวิเคราะห์หาปริมาณ eU ,eTh และ K ประกอบด้วย รายการดังต่อไปนี้

4.1.1 หัววัดรังสีแบบเยื่อมาเนียมบริสุทธิ์ (High purity Ge :HPGe) เป็นอุปกรณ์ สำหรับตรวจจับรังสี รุ่น Ge1319 เส้นผ่าศูนย์กลาง 44.5 มม. ความยาว 40.5 mm ปริมาตรหัววัด (Active Volume) 59.5 cm³ หัววัดเป็นรูปแบบร่วมแกนปลายปิด (closed ended coaxial) ค่าประสิทธิภาพสัมพัทธ์ 13% FWHM ที่ 1.33 MeV เป็น 1.75 keV พร้อม Cryostat รุ่น 7500 (vertical dipstick cryostat)

ภาชนะประกอบ 12 เก้าโกรงหัววัดเยื่อมาเนียมบริสุทธิ์สูง (HPGe)



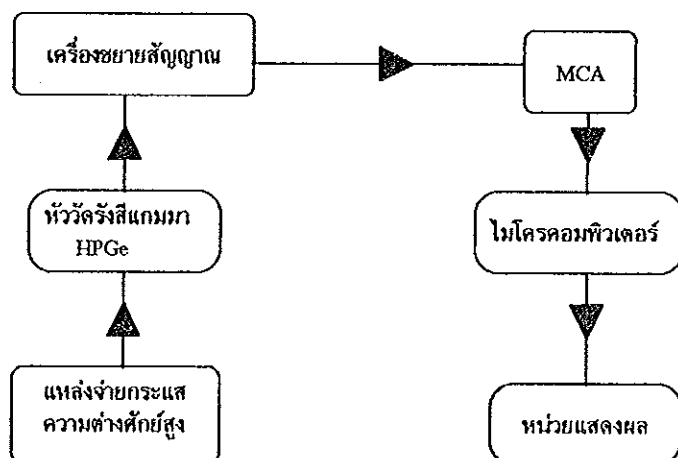
(ที่มา : Germanium detector User's Manual)

4.1.2 เครื่องวิเคราะห์สัญญาณแบบหลายช่อง(เอ็มซีเอ) ทำงานที่ 4,000 โวลต์ ผลิตโดยบริษัท Canberra Industries, Inc., ชิ้นส่วน Canberra รุ่น Series 35 plus

4.1.3 หน่วยจ่ายไฟฟ้ากำลังสูง Canberra รุ่น 4261A

- 4.1.4 เครื่องขยายสัญญาณ
- 4.1.5 เครื่องคอมพิวเตอร์และแผ่นแม่เหล็กบันทึกข้อมูล
- 4.1.6 โปรแกรม PC UTIL สำหรับวิเคราะห์ข้อมูล
- 4.1.7 อุปกรณ์อิเล็กทรอนิกส์ที่เกี่ยวข้อง
- 4.1.8 เครื่องซั่งหินตัวอย่าง
- 4.1.9 เครื่องบดหิน ยี่ห้อ Denver Equipment ผลิตโดยบริษัท Joy Manufacturing U.S.A.
- 4.1.10 ผ้าเทปพันสายไฟ

ภาพประกอบ 13 การต่ออุปกรณ์เพื่อวิเคราะห์ปริมาณธาตุกัมมันตรังสี



4.2 ข้อมูลรังสีจากการบินสำรวจ ได้แก่ โพแทสเซียม (K) ยูเรเนียมสมมูล (eU) และ โทเรียมสมมูล (eTh) ของกรมทรัพยากรธรณี พ.ศ. 2532 ซึ่งถูกบันทึกลงในแผ่นบันทึกข้อมูลแม่เหล็ก

4.3 แผนที่ความเข้มกัมมันตรังสีในสเกล 1:250,000 (กรมทรัพยากรธรณี ,2532)

5. อุปกรณ์ที่จำเป็นต้องใช้ในการศึกษาสนามแม่เหล็ก มีดังต่อไปนี้

5.1 ข้อมูลแม่เหล็กจากการบินสำรวจที่ระยะ 400 ฟุต และ 5,000 ฟุต จากระดับน้ำปานกลางของกรมทรัพยากรธรณี ปี พ.ศ. 2532 ซึ่งบันทึกไว้ในแผ่นบันทึกข้อมูลแม่เหล็ก

5.2 แผนที่แม่เหล็ก (survey C) สเกล 1: 50,000 ระหว่าง อำเภอเทพา 5122 I อำเภอ

สะบ้าย้อย 5122 II สำเภานาทวี 5122 III และสำเภาจะนะ 5122 IV

5.3 แผนที่แม่เหล็ก (survey A) สเกล 1:50,000 ระหว่างสำเภาเทพา 5122 I สำเภา
สะบ้าย้อย 5122 II สำเภานาทวี 5122 III และสำเภาจะนะ 5122 IV

5.4 แคปปามิเตอร์(kapameter)ผลิตโดยบริษัท Geofyzika Brno,Czecholovakia รุ่น KT-
5 สำหรับวัดค่าสภาพรับไว้ได้ทางแม่เหล็ก (magnetic susceptibility) ของหินโ碌

ภาพประกอบ 14 แคปปามิเตอร์ KT-5



วิธีดำเนินการ

ในการดำเนินการวิจัยครั้งนี้ ได้แบ่งการศึกษาออกเป็น 2 ตอนคือ^{กับกันคือ}
ตอนที่ 1 การศึกษาในภาคสนาม
ตอนที่ 2 การศึกษาในห้องปฏิบัติการ

ตอนที่ 1 การศึกษาในภาคส่วน

การศึกษาวิจัยทางธรณีฟิสิกส์ประกอบด้วย การเก็บรวบรวมข้อมูลในพื้นที่ศึกษา วิจัย และการวิเคราะห์ข้อมูลในห้องปฏิบัติการ การศึกษาในภาคสนามมีการค้นเนินการดังนี้คือ

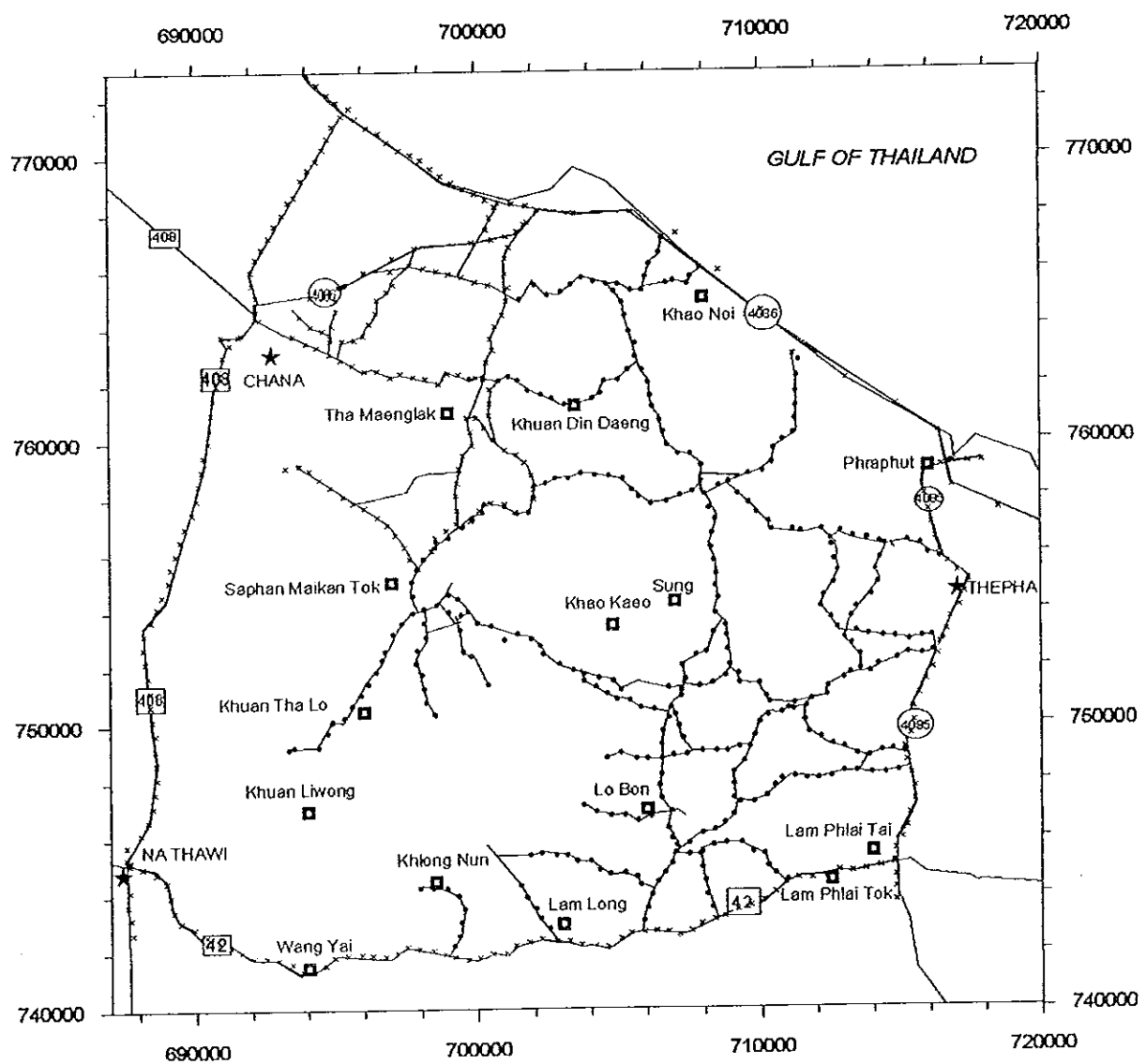
1. วางแผนและกำหนดจุดวัดค่าความถ่วง และค่าความสูงลงบนแผนที่ภูมิประเทศตามเส้นทางคมนาคมที่มีอยู่เดิมในพื้นที่ศึกษา การศึกษารั้งนี้ได้กำหนดให้ระยะห่างระหว่างจุดวัดเท่ากับ 500 เมตร ได้จำนวนจุดวัดรวม 352 จุดและมีข้อมูลเดิมบางส่วนระยะห่างระหว่างจุดวัดเท่ากับ 0.5 กิโลเมตร และ 2 กิโลเมตร(Lohawijarn ,1992) อีก 335 จุดรวมจุดทั้งหมด 687 จุด คั่งภาพประกอบ 15

2. วางแผนเครื่องแกรเวติมิเตอร์ลงบนงานรอง ณ จุดวัด แล้วปรับให้เครื่องมืออยู่ในระดับ ทั้งนี้โดยการปรับให้ถูกกับระดับหัว 2 ตำแหน่งอยู่ตรงกันกลาง ปล่อยตัวจับยีค (clamp) ที่เครื่องมือ จากนั้นหมุนให้ตำแหน่งของเข็มบนหน้าปืนมีไปอยู่ ณ ตำแหน่ง reading line แล้วอ่านข้อมูลบนหน้าปืนมีและบันทึกผลเป็น g(read) เสร็จแล้วหมุนตัวจับยีคกลับที่เดิมเพื่อ ยีคกลไกต่าง ๆ ของแกรเวติมิเตอร์ไว้เพื่อกันการกระแทก และนำเครื่องมือไปเก็บไว้ในกล่อง สำหรับบรรจุเพื่อกันการกระแทกก่อนนำไปทำการบันทึกจุดวัดอีกครั้งหนึ่ง ไปทั้งนี้การกำหนดจุดวัด ต่อไปใช้วิธีการวัดระยะทางบนหน้าปืนยานพาหนะ ซึ่งระยะทางที่ใช้ 500 เมตร

3. วัดระดับความสูงของจุกวัสดุ โดยการวางมาตรฐานระดับความสูงบนงานรองที่ใช้วางเครื่องแกร์วิตมิเตอร์ในข้อ 2 ปรับเครื่องมือให้ตั้งตรงในระดับ เสรีจแล้วอ่านสเกลบนหน้าปั๊มน้ำที่ผลเป็น Height ในหน่วยฟุตเสรีจแล้วเก็บอุปกรณ์เข้าที่

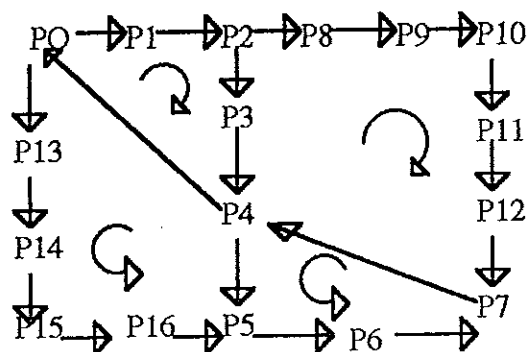
4. เมื่อคำนวณการซื้อ 2 และ 3 เสรีจแล้ว งานนี้ก็มันทีกเวลา และอุณหภูมิของบรรยากาศเป็นองค์ประกอบเชิงลบ โดยกำหนดให้จุดแรกเป็นสถานีฐาน ทำซ้ำข้อ 2,3,4 สำหรับทุกๆ จุดวัด แล้ววนกลับไปทำที่สถานีฐานอีกครั้งในช่วงเวลาไม่เกิน 2 หรือ 3 ชั่วโมง งานนี้ทำการวัดในวงรอบใหม่โดยใช้จุดใดจุดหนึ่งในวงรอบแรกเป็นสถานีฐานทำการวัดต่อๆ ไป

ภาพประกอบ 15 ตำแหน่งวัดความถ่วงและความสูง



แล้วกลับมาวัดที่สถานีฐานนี้อีกครั้งทำเช่นเดียวกันนี้ในวาระอื่นๆ ดังตัวอย่างในภาพประกอบ 16 และตัวอย่างการบันทึกข้อมูลเป็นดังตาราง 1

ภาพประกอบ 16 ตัวอย่างวาระของวัดความถ่วงและความสูง



ตาราง 1 ตัวอย่างตารางบันทึกข้อมูลความถ่วงและความสูงในภาคสนาม

จุดวัด	เวลา (hr:min)	ค่า g ที่อ่าน	ความสูง (ft)	อุณหภูมิ (°c)
P ₀	0917	1643.570	126	32
P ₁	0939	1642.400	122	31
P ₂	0954	1639.920	146	33
P ₃	1008	1638.510	144	32.5
P ₄	1022	1635.260	190	32.5
P ₅	1037	1634.320	216	32.5
P ₆	1049	1637.760	232	32.5
P ₇	1104	1623.710	268	33.5
P ₈	1121	1629.460	296	34.2
P ₀	1138	1643.520	142	33.5

5. วัดค่าสภาพรับไว้ได้ทางแม่เหล็กด้วยแคปปามิเตอร์ (Kappameter) ณ บริเวณที่มีมวล หินโพลี่บนาคใหญ่โดย

5.1 กดสวิทช์ ON/OFF ด้านได้ของเครื่องมือเพื่อเปิดเครื่องดังในภาพประกอบ

17

5.2 หันหน้าปั๊มของเครื่องมือไปในทิศทางที่ไม่มีมวลหินกดสวิทช์ C/M ซึ่งอยู่ด้านข้างของเครื่องมือเพื่อให้เครื่องมือพร้อมที่จะบันทึกข้อมูล

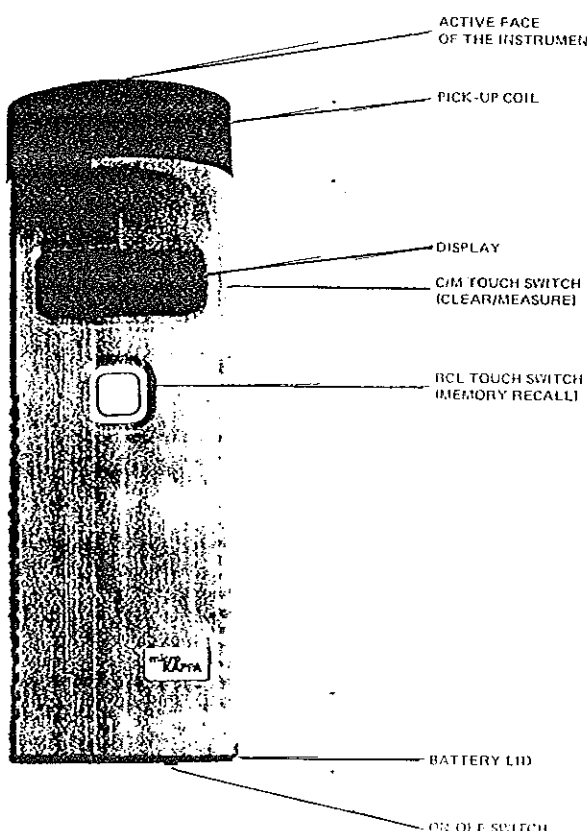
5.3 เสร็จแล้วนำเครื่องมือไปวางลงบนผิวของมวลบริเวณเรียบแล้วกดสวิทช์ C/M อีกครั้ง

5.4 ทำเช่นนี้ประมาณ 2-3 ครั้ง ที่ตำแหน่งต่างๆ บนผิวเรียบของมวลหินก้อนเดียวกัน

5.5 บันทึกผลเหลี่ยมจากการวัด

5.6 ผลที่วัดได้นี้นำไปคูณ ตัวย 10⁻³ จะมีหน่วยเป็น SI

ภาพประกอบ 17 หน้าปั๊มแคปปามิเตอร์ KT-5



6. เก็บตัวอย่างพินสคประมวล 1-4 ก้อนในแต่ละบริเวณที่มีรากพินโผล์ ก้อนละ ประมาณ 1-2 กิโลกรัม เพื่อนำไปวัดค่าความหนาแน่น และวิเคราะห์หาปริมาณโพแทสเซียม(K) ยูเรเนียมสมมูล (eU) และ thoเรียมสมมูล (eTh) ในห้องปฏิบัติการต่อไป โดยจะทำการเก็บตัวอย่างพินสคหลังจากทำการวัดค่าความถ่วงและความสูงในพื้นที่ศึกษาเสร็จเรียบร้อยแล้วทั้งนี้เพื่อลดเวลาสำหรับวัดค่าความถ่วง ในแต่ละวงรอบ

7. เปียนรหัสของจุគัตติค ไว้ที่พินตัวอย่างทุก ๆ ก้อน ทั้งนี้เพื่อสะดวกต่อการกำหนดตำแหน่งของพินตัวอย่างนี้ในแผนที่

ตอนที่ 2 การวิเคราะห์และการศึกษาในห้องปฏิบัติการ

สำหรับการศึกษาในห้องปฏิบัติการนี้ เป็นการนำข้อมูลที่ได้จากการเก็บรวบรวมในภาคสนามมาทำการวิเคราะห์ปรับแก้ข้อมูลโดยแบ่งการศึกษาออกเป็น 5 หัวข้อดังนี้คือ

1. ปรับแก้ข้อมูลการวัดค่าความสูง
2. การวัดค่าความหนาแน่นของพินตัวอย่าง
3. การคำนวณค่าความถ่วง
4. การวิเคราะห์ปริมาณโพแทสเซียม ยูเรเนียมสมมูล และ thoเรียมสมมูล และศึกษาข้อมูลที่ได้จากการบินสำรวจทางอากาศ (กรมทรัพยากรธารี , 2532)
5. การวิเคราะห์ค่าสภาพรับไว้ได้ทางแม่เหล็กและศึกษาข้อมูลที่ได้จากการบินสำรวจที่ระดับความสูง 400 ฟุต และ 5,000 ฟุตเหนือระดับน้ำทะเลเป้ากลาง (กรมทรัพยากรธารี , 2532)

1. ปรับแก้ข้อมูลการวัดความสูง

เนื่องจากค่าระดับความความสูงที่อ่านได้จากในสนามจะเปลี่ยนแปลงไปตาม อุณหภูมิอากาศ ดังนั้นจึงต้องทำการปรับแก้เพื่อหาค่าความสูงจริง ซึ่งจะนำไปใช้ปรับแก้ค่าความถ่วงต่อไป การปรับแก้ความสูงมีขั้นตอนการคำนวณดังต่อไปนี้

1.1 หาค่าความสูงที่แตกต่างของจุគัตที่อยู่ติดกัน โดยใช้ความสัมพันธ์ดังนี้

$$\Delta H_{n+1} = \left(h_{n+1} - h_n \right) \left\{ 1 + 0.0036 \left[\left(\frac{T_{n+1} + T_n}{2} \right) - 10 \right] \right\} \dots\dots (1)$$

เมื่อ $n = 1, 2, 3, \dots$

h_n, h_{n+1} คือ ค่าความสูงที่อ่านได้จากหน้าปั๊มมาตรฐานระดับความสูงที่ชุด n และ

n+1

T_n, T_{n+1} គឺ ជាមុនការណ៍នៃការបង្កើតការងារ

ΔH_{n+1} คือ ความแตกต่างความสูงของจุดวัดที่ $n+1$ เทียบกับจุด n

1.2 ความสูงของจุดวัดที่ $n+1$ สามารถคำนวณได้จาก

เมื่อ $n = 1, 2, 3, \dots$

1.3 ปรับแก้คริพท์เนื้องจากความสูงของจุดวัตถุเปลี่ยนแปลงตามเวลา มีขั้นตอนดังนี้

1.3.1 เสียนกราฟระหว่างความสูงที่ปรับแก้ไขอุณหภูมิแล้วของจุดวัดสถานีฐานในหัวข้อ (1.2) กับเวลาในหน่วยชั่วโมงและคำนวณอัตราการเปลี่ยนแปลงของค่าความสูงที่สถานีฐานของแต่ละวงรอบต่อชั่วโมงเรียกว่าคริฟท์ (drift)

1.3.2 นำค่าคริฟท์ความสูงในข้อ 1.3.1 มาคำนวณค่าความสูงที่เปลี่ยนไปที่จุดวัดใดๆ ในวงรอบ นำค่าความสูงที่เปลี่ยนไปนี้มาหักลบออกจากค่าความสูงของจุดวัดนั้น เรียกว่าการปรับแก้คริฟท์ของความสูง

1.4 นำความสูงที่ทำการปรับแก้คริฟท์แล้วนี้จากข้อ (1.3.2) มาหาค่าความสูงจริงโดยการหักลบค่าความสูงของจุดรัศมีใดๆ ด้วยค่าความสูงที่จุดอ้างอิง (จุดBM001) ที่บ้านพระพุทธชัยເກຫພາ จังหวัดสงานลา ซึ่งได้กำหนดให้ความสูงจริงของจุดอ้างอิง BM001 นี้มีค่าเท่ากับ 0 เมตรเหนือระดับน้ำทะเลเป็นกลาง

2. การวัดความหนาแน่นของทิน

ค่าความหนาแน่นของหิน จะนำไปใช้สำหรับเปลี่ยนหมาดค่าความถ่วงโดยการสร้างแบบจำลองวัตถุพิเศษให้ผู้คน โดยมีขั้นตอนดังนี้

2.1 ย่อຍตัวອ่ายหິນໃໝ່ມີນວລໄມ່ເກີນ 2000 ກຣັມ ທຳຄວາມສະອາດໃຫ້ເຫັນທຶນແລະຜູ່ທີ່ເກະຕືອຍ່ງວາຍນອກຕົວອ່າງທຶນຫລຸດອອກໄປ

2.2 นำตัวอย่างพินไปอบที่อุณหภูมิ 105°C นานประมาณ 1 ชั่วโมง

2.3 ปรับเปลี่ยนชั้งอิเล็กทรอนิกส์ให้อยู่ในระดับแล้วนำตัวอย่างที่ผ่านการอบรม

แล้วไปปั่ง บันทึกค่าเป็น w_2

2.4 นำหินจากข้อ 2.3 ไปใส่ในภาชนะขนาด 16 ลิตร ซึ่งมีน้ำบรรจอยุ่งภายในประมาณ $\frac{3}{4}$ ของภาชนะ เช่นไว้ตัวอย่างคืน เพื่อทำให้ตัวอย่างหินอ่อนตัวด้วยน้ำ

2.5 นำตะขอนแหวนมวลมาติดตั้งเข้ากับเครื่องซึ่งอิเล็กทรอนิกส์แล้วนำตัวอย่างหินที่อ่อนตัวด้วยน้ำนี้ไปปั่ง โดยแหวนให้ตัวอย่างหินคงอยู่ใต้น้ำภายในภาชนะที่บรรจุน้ำเต็ม บันทึกค่าเป็น w_1

2.6 นำตะขอนแหวนมวลออก นำตัวอย่างหินที่อ่อนตัวด้วยน้ำนี้ออกมากจากภาชนะและนำมาซับผ้าให้แห้ง แล้วซึ่งตัวอย่างหินนี้ในอากาศ บันทึกค่าเป็น w_3

2.7 คำนวณหาปริมาตรของหินตัวอย่าง โดยใช้ความสัมพันธ์ตามกฎของอาร์คิมีเดสังนี้

$$v\rho_0 = w_3 - w_1 \quad \dots \dots \dots (3)$$

เมื่อ w_1 คือ น้ำหนักของหินตัวอย่างที่ชั่งในน้ำ

w_3 คือ น้ำหนักของหินตัวอย่างซึ่งอ่อนตัวด้วยน้ำและซับผ้าให้แห้งแล้วที่ชั่งในอากาศ

v คือ ปริมาตรของหินตัวอย่าง

ρ_0 คือ ความหนาแน่นของน้ำ เมื่อกำหนดให้น้ำมีความหนาแน่นเท่ากับ 1

gm/cm^3 น้ำหนักของหินตัวอย่างที่หายไปจะมีค่าเป็นตัวเลขเท่ากับปริมาตรของตัวอย่างหินนั้น

2.8 คำนวณค่าความหนาแน่นแห้ง (ρ_d) ของหินตัวอย่าง โดยใช้ความสัมพันธ์ดังนี้คือ

$$\rho_d = w_2 / v \quad \dots \dots \dots (4)$$

เมื่อ w_2 คือ น้ำหนักของหินตัวอย่างที่ชั่งในอากาศหลังจากอบแห้งแล้วแล้ว

2.9 คำนวณค่าความหนาแน่นเปียก (ρ_w) ของหินตัวอย่าง โดยใช้ความสัมพันธ์ดังนี้คือ

$$\rho_w = w_3 / v \quad \dots \dots \dots (5)$$

3. การคำนวณค่าความถี่วง

การเปลี่ยนแปลงค่าความถ่วงระหว่างจุดอ้างอิงและจุดอื่นๆ จะเป็นผลมาจากการปั้นจัยทางประการนอกเหนือไปจากการเปลี่ยนสภาพธรณีวิทยาได้คืน ปัจจัยที่สำคัญได้แก่ การเปลี่ยนแปลงของค่าที่อ่านได้โดยแกรเวติมิเตอร์เมื่อเวลาผ่านไป โลกไม่ได้มีลักษณะเป็นรูปทรงกลมที่สมบูรณ์ ระดับสูงที่ไม่เท่ากันของจุดวัด และความชุกระของลักษณะภูมิประเทศในบริเวณสำรวจ ด้วยเหตุนี้ค่าความถ่วงระหว่างจุดอ้างอิงและจุดอื่นต้องได้รับการปรับแก้ไปเพื่อตัดการเปลี่ยนแปลงค่าความถ่วงเนื่องจากสถานที่ที่ไม่เกี่ยวข้องออกไป ได้แก่ การแก้ไขคริฟท์ (drift correction) การแก้ไขละติจูด (latitude correction) การแก้ไขฟรี-แอร์ (free-air correction) การแก้ไขบูเกอร์ (Bouguer correction) และการแก้ไขลักษณะภูมิประเทศ (terrain correction) การปรับปรุงแก้ไขค่าความถ่วงนี้ขึ้นตอนดังนี้

3.1 ເປົ້າຍນເວລາທີ່ອໍານັກໃຫ້ອູ້ຢູ່ໃນໜ່ວຍຂອງໜ້ວ່າໂມງ

3.2 นำค่าที่อ่านให้จากตัวนับ(counter)บนแกรเวติเมเตอร์(gravity meter)เปลี่ยนเป็นค่าความถ่วงในหน่วยมิลลิเกล(milligal) สำหรับทุก ๆ จุด โดยใช้ความสัมพันธ์ดังนี้

$$g_{\text{mean}} = \left\{ \left(g_{\text{read}} - 1600 \right) x (1.0186) \right\} + 16291 \text{ mgal} \dots \dots \dots (6)$$

เมื่อ g_{mag} คือ ค่าความถ่วงในหน่วยมิลลิเกล (10^{-5} m/s^2) ซึ่งสัมพันธ์กับ g_{read}

bread คือ ก้าวที่อ่านได้จากหัวนับบนเกรวิตี้มิเตอร์

ค่าคงที่ในสมการนี้เป็นค่าเฉลี่ยในช่วงการอ่านระหว่าง 1600-1700 ของเครื่องมือวัดค่าความถ่วงแบบถูกต้องที่และรองบีร์ก หมายเหตุ G-490

3.3 ປະເທດລາວ

ดำเนินการวิธีมิเตอร์ไปใช้ในที่ต่างๆ สัก 1-2 ชั่วโมง แล้วนำกลับมาวัดค่าความถ่วง ณ ตำแหน่งเดิม หรือแม้แต่ที่ไม่ได้ทำการเปลี่ยนแปลงของค่าความถ่วงเมื่อเวลาผ่านไปนี้เรียกว่าคริฟท์ (drift) ซึ่งเกิดจากสาเหตุสำคัญสองประการคือ 1) การเปลี่ยนแปลงสมบัติของเครื่องมือ เมื่ออยู่หมู่บ้านเปลี่ยนแปลง การยืดของสปริงหรือการกระแทกเครื่องมือในระหว่างการขนย้ายเมื่อไม่ได้ยึดกล้าให้ต่างๆ 2) อิทธิพลจากไหค์ของโลกซึ่งเป็นผลมาจากการเปลี่ยนแปลงศักย์โน้มถ่วงที่โลกได้ฯ บนผิวโลกอันเนื่องมาจากการเคลื่อนที่และการหมุนรอบตัวเองของโลกเทียบกับดวงจันทร์และดาว冥王星 (กิตติชัย วัฒนาภิกร, 2536)

วิธีการแก้ไขเพื่อปรับลดอิทธิพลของคริฟท์ ที่มีต่อค่าความถ่วงทำได้เช่นเดียวกับ การปรับแก้คริฟท์ของความสูง ก่อให้เกิดความถ่วงที่จุดอ้างอิงทุก 1-2 ชั่วโมงเพื่อ ตรวจวัดการเปลี่ยนแปลงของค่าความถ่วงต่อหน่วยเวลา(ชั่วโมง)

3.3.1 ทำการวัดค่า g_{mgal} ในภาคสนามซึ่งกระทำโดยการกลับมาอ่านค่าความถ่วงที่ จุดฐานทุก ๆ ชั่วเวลาหนึ่งคำนวณค่าคริฟท์(การเปลี่ยนแปลง)ของ g_{gal} ต่อหน่วยเวลา(ชั่ว โมง) ของแต่ละวงรอบของจุดวัดฐาน

ตาราง 2 ตัวอย่างการปรับแก้ค่าคริฟท์ของความถ่วง

ตำแหน่ง	เวลา (hr.)	ค่าที่อ่าน (mgal)	ค่าที่ปรับแก้ คริฟท์แล้ว (mgal)	ค่าความถ่วง สัมพัทธ์ (mgal)	ค่าความถ่วง สัมบูรณ์ 9781---.gu
p0	9.28	1673.480	1673.480	0.000	203.6
p1	9.65	1672.289	1672.297	-1.184	191.8
p2	9.90	1669.763	1669.776	-3.705	166.6
p3	10.13	1668.326	1668.345	-5.136	152.2
p4	10.37	1665.016	1665.039	-8.441	119.2
p5	10.62	1664.058	1664.087	-9.393	109.7
p6	10.82	1667.562	1667.596	-5.885	144.8
p7	11.07	1653.251	1653.290	-20.191	001.7
p8	11.35	1659.108	1659.153	-14.328	060.3
p0	11.63	1673.429	1673.480	0.000	203.6

3.3.2 คำนวณค่าเปลี่ยนแปลงของ g_{gal} ที่จุดวัดใดๆจากค่าคริฟท์ ณ จุดอ้างอิงเวลา นั้น ๆ ที่คำนวณได้ในแต่ละวงรอบนำค่า g_{gal} ที่เปลี่ยนแปลงนี้ไปลบออกจากค่า g_{gal} ที่อ่าน ได้ (กิตติชัย วัฒนานิกร, 2526)

3.3.3 ปรับค่าความถ่วงของแต่ละจุดวัดความถ่วงที่ผ่านการปรับแก้คริฟท์แล้วไว้ให้เป็น ค่าความถ่วงสัมบูรณ์ โดยอ้างอิงกับจุดอ้างอิง BM001 ที่บ้านพระพุทธ อําเภอเทพา จังหวัด

stagna (กรีก 716000,759000) ซึ่งมีค่าความถ่วงสัมบูรณ์เท่ากับ $9781242.4 \text{ g}(\mu\text{m/s}^2)$

3.4 ปรับแก้ละตitud (latitude correction)

เป็นการปรับแก้การเปลี่ยนแปลงค่าความถ่วง เนื่องจากการที่โลกไม่ได้เป็นทรงกลมอย่างสมบูรณ์และโลกหมุนรอบตัวเอง ใช้ความสัมพันธ์ (Parasnini, 1986)

$$g_L = g_0 x (1 + \alpha \sin^2 \phi + \beta \sin^2 2\phi) \dots \dots \dots (7)$$

เมื่อ g_L คือค่าความถ่วงสัมบูรณ์ที่ละเอียด ๑

g0 กើឡ 9780318 gu เป็นការគ្មែងសំបុរាណដែលត្រូវបាន

g. คือ ค่าคงที่เท่ากับ 0.0053024

β คือ ค่าคงที่เท่ากับ -0.0000059

❖ គីឡូ កោតាគិច្ចុមនឹងអនុវយកសារ

3.5 การปรับแก้ฟรี-แอร์ (Free-air correction)

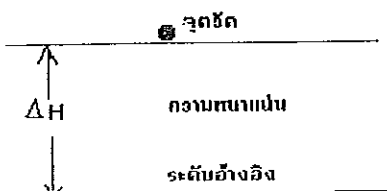
เนื่องจากความถ่วงแปรผลผันกับกำลังสองของระยะทางจากศูนย์กลาง

$g \cong - GM/r^2$ เมื่อ M คือมวลของโลก r คือ ระยะทางจากจุดศูนย์กลางของโลกหรือของโลกมายังจุดวัตถุ และ G เป็นค่าคงตัวสากล ดังนั้นจุดวัตถุจะอยู่ที่ระดับความสูงไม่เท่ากัน ซึ่งให้ค่าความถ่วงไม่เท่ากัน จึงมีความจำเป็นที่จะต้องแก้ไขค่าความถ่วง g ที่อ่านได้ให้เป็นค่าที่อยู่ในระดับมาตรฐาน(datum) เศรษฐกันทั้งนี้ยังไม่สำนึกรึจึงมวลคินหรือมวลหนินซึ่งอยู่ระหว่างจุดวัตถุ กับระดับมาตรฐานด้วยความสัมพันธ์คังข้างล่างนี้ (Paransis, 1986)

เมื่อ FC คือค่าปรับแก้ฟริ-แวร์ ในหน่วย $\mu\text{m}/\text{s}^2$

ΔH คือความสูงของจุดวัดเหนือระดับน้ำทะเลในหน่วย m

ภาคประกอน 18 การปรับแก้บูเกอร์ที่จุดวัด



3.6 การปรับแก้บูเกอร์ (Bouguer correction)

เป็นการปรับแก้ความถ่วงของมวลที่อยู่ระหว่างจุดวัดกับระดับน้ำทะเล(ภาพประกอบ 18) โดยใช้ความสัมพันธ์ (Parasnini, 1986)

เมื่อ BC คือค่าแก้ไขบูเกอร์ ในหน่วย $\mu\text{m}/\text{s}^2$

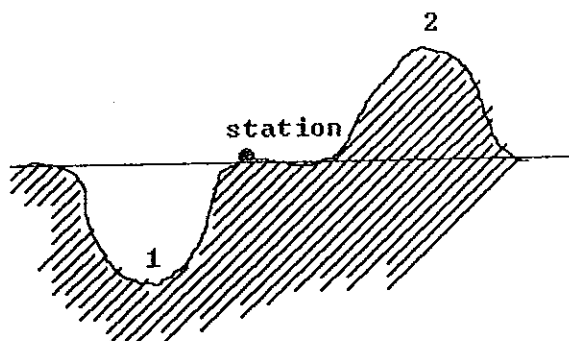
ρ คือความหนาแน่นของชั้นพินท์อยู่ระหว่างระดับน้ำทะเลกับจุดวัดใด ๆ ในที่นี่
กำหนดให้เท่ากับ 2500 kg/m^3

H กือค่าความสูงของจุดวัดเหนือระดับน้ำทะเลในหน่วย m

3.7 การปรับแก้ลักษณะภูมิประเทศ (Terrain correction)

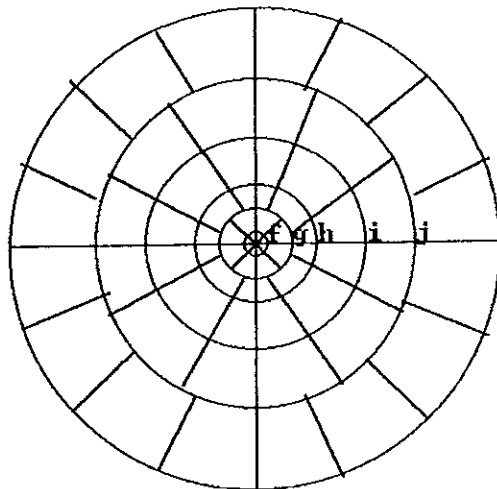
เป็นการปรับแก้ความถ่วงเนื่องจากอิทธิพลภูมิประเทศที่เป็นภูเขาและหุบเหวที่อยู่ใกล้กันจุดวัด

ภาพประกอบ 19 ลักษณะภูมิประเทศ



ในกรณีของภูมิฯ 2 จะมีแรงคึ่งคุกขึ้น ทำให้ค่าความถ่วงของโลกที่จุดวัตถุลดลง ในกรณีของที่ทุบแท 1 มวลที่หายไปจะทำให้ค่าความถ่วงที่จุดวัตถุลดลงเช่นกัน การปรับแก้ไขภูมิประเทศกระทำโดยการใช้แผนภูมิแฮมเมอร์(Hammer chart) ตั้งภาพประกอบ 20 ในแผนภูมินี้จะแบ่งออกเป็นโซน(zone) ได้แก่ โซน B,C,D,E,F,G,H,I และ J โดยแต่ละโซนยังแบ่งออกเป็นห้อง ๆ จำนวน 4,6,6,8,8,12,12,12 และ 16 ห้องตามลำดับ สำหรับโซน B,C,D และ E ได้ประเมินผลต่างความสูงของจุดวัตถุกับความสูงเฉลี่ยของแท่ละห้องไว้ในตอนภาคสนาม

ภาพประกอบ 20 แผนภูมิเชนเนอร์



ตาราง 3 ข้อมูลของโซนและจำนวนห้องในแต่ละโซนของแผนภูมิเชนเนอร์

โซน	r_1 (m)	r_2 (m)	n
B	2.0	16.6	4
C	16.6	53.3	6
D	53.5	170.1	6
E	170.1	390.1	8
F	390.1	894.8	8
G	894.8	1529.4	12
H	1529.4	2614.4	12
I	2614.4	4468.8	12
J	4468.8	6652.2	16

เมื่อ r_1 , r_2 คือ รัศมีวงในและวงนอกตามลำดับ n คือ จำนวนโซนในแต่ละวงวง
แผนภูมนี้ลงบนแผนที่ภูมิประเทศสเกล 1: 50,000 สำหรับโซน F,G,H,I,J โดยให้จุดศูนย์
กลางของวงกลมแผนภูมิอยู่ที่ตำแหน่งที่จุดวัด ประเมินความสูงเฉลี่ยของภูมิประเทศในแต่ละ
ห้อง และนำผลต่างของระดับความสูงเฉลี่ยของภูมิประเทศในแต่ละห้องกับความสูงของจุด
วัดไปคำนวณค่าปรับแก้ภูมิประเทศ TC เนื่องจากแต่ละส่วนของแผนภูมิ ดังนี้
(บรรจุ โลหะวิชาญ, 2537)

$$T = (0.4191 \times 10^{-3}) \left(\frac{1}{n} \right) \left\{ r_2 - r_1 + \left(\sqrt{r_2^2 + z^2} \right) - \left(\sqrt{r_1^2 + z^2} \right) \right\} \dots \dots \dots (10)$$

โดย T คือค่าปริมาณแก๊สของภูมิประเทศต่อหน่วยความหนาแน่น ($\text{gu}/\text{kgm}^{-3}$) n คือจำนวนช่องในแต่ละโซน $r_1(m)$ คือรัศมีวงในของโซน $r_2(m)$ คือ รัศมีวงนอกของโซน $Z(m)$ คือ ผลต่างความสูงของโซนต่างๆกับจุดวัด ในที่นี้ได้นำคอมพิวเตอร์เข้ามาช่วยในการคำนวณ อิทธิพลรวมของภูมิประเทศ ดังสมการ (Parasnini, 1986)

เมื่อ TC คือ กำปรันแก่ภูมิประเทศ

T คือ ค่าปรับแก้ของภูมิประเทศต่อหนึ่ง kg/m^3

ρ คือ ความหนาแน่นเฉลี่ยของภูมิภาคในที่นี่ใช้ 2500 kg/m^3

3.8 ค่าความถ่วงที่ได้รับการแก้ไขดังรายการข้างต้นแล้ว เรียกว่า ค่าคงปักติกูเกอร์

สัมบูรณ์ (Absolute Bouguer Anomaly) แทนด้วย Δg_B (ParASNIS, 1986)

$$\Delta g_B = g_{\text{obs}} - g_L + FC - BC + TC \dots \quad (12)$$

3.9 นำค่ามิคปิกติบูเกอร์สัมบูรณ์ไปพล็อตเป็นแผนที่กอนทัวร์ด้วยโปรแกรมเชอเฟอร์ และตัดภาคตัดขวางความถ่วงจำนวน 5 แนวในทิศ SW-NB โดยแต่ละแนวอยู่ห่างกัน 5 กิโลเมตรผ่านพื้นที่ศึกษาดังนี้

3.9.1 แนว AB ตั้งแต่ 687000 E747692.31N ถึง 720000 E 758076.92N ผ่าน
ควนห้าสือ เขาก้าว เขางู

3.9.2 แนว CD ตั้งแต่ 687000E 753076.92N ถึง 720000E 763461.54N ผ่าน บ้าน
เกาะสะบ้า

3.9.3 ในแนว EF ตั้งแต่ 687000E ,758461.54N ถึง 720000E 768846.15N ผ่านบ้าน
บ้านเจน้อย

3.9.4 แนว GH ตั้งแต่ 687000 E 742307.69N ถึง 720000 E 752692.3N

3.9.5 แนว IR ตั้งแต่ 687000E 736923.08N ถึง 720000E 747307.68N ผ่านบ้านกำ
ไฟล์ได้

4. การวิเคราะห์ปริมาณโพแทสเซียม ยูเรเนียมสมมูล และกอเรียมสมมูลของตัวอย่างหิน และศึกษาข้อมูลที่ได้จากการบินสำรวจทางอากาศของกรมทรัพยากรธรรมชาติ พ.ศ. 2592

วิธีสำรวจค่าการแพ่กัมมันตรังสีเป็นวิธีทางธรรมะที่สำคัญหนึ่งที่ใช้ในการกำหนดขอบเขตของพุกต่อน้ำ เพราะมีนิวเคลียต หินดินดาน มีธาตุกัมมันตรังสีปะปนอยู่เป็นปริมาณสูง ในขณะที่หินตะกอนอื่นๆ มีธาตุกัมมันตรังสีปะปนอยู่น้อย

การศึกษาปริมาณธาตุกัมมันตรังสี มีวิธีค้นนิการดังนี้

4.1 นำหินตัวอย่างมาทำการย่อยและบดให้ละเอียดหนักประมาณ 50-200 กรัม

4.2 บรรจุลงในกระปุก ปิดฝ่าให้สนิทโดยใช้เทปกาวพันรอบฝากล่อง

4.3 นำไปรังสีเพี่ยนระหัสและนำหันหน้ากลับหันหน้าของกระปุกออกแล้ว ไว้

ขั้นตอน

4.4 ทิ้งตัวอย่างไว้ประมาณ 1 เดือนเพื่อจะทำให้เกิดสภาพสมดุลของการถ่ายตัว

4.5 เตรียมสารมาตรฐาน ซึ่งได้กล่าวไว้แล้วในภาคผนวก จ

4.6 เตรียมเครื่องมือให้พร้อมที่จะทำการวิเคราะห์

4.6.1 ต่อเครื่องวิเคราะห์รังสีแกรมมาแบบหลาช่อง (MCA) เข้ากับเครื่อง

คอมพิวเตอร์สำหรับเก็บข้อมูล ส่วนอีกด้านต่อเข้ากับเครื่องขยายสัญญาณที่ต่อมาจากหัววัดรังสีแกรมมากันนิคเยอนานียมบริสุทธิ์ ต่อหัววัดเข้ากับแหล่งจ่ายกระแสไฟฟ้า

4.6.2 เปิดเครื่องมือวัดรังสีแกรมมาหลังจากเปิดเครื่องให้ตรวจสอบในโทรศัพท์ เวลา ว่าอยู่ในระดับปลอดภัยหรือไม่ โดยดูไฟที่ Preamp ถ้าสีเขียวสว่างแสดงว่าอยู่ในระดับปลอดภัยแต่ถ้าไฟสีแดงสว่างให้รีบปิดเครื่อง แล้วเติมในโทรศัพท์เวลา ก่อนนั้นทั้งไว้ประมาณ 4 ชั่วโมง จึงเริ่มเปิดเครื่องใหม่

4.6.3 เมื่อตรวจสอบแล้วไฟสีเขียวสว่างที่ Preamp ให้ป้อนความต่างศักย์สูง (High Voltage) อย่างช้า ๆ ไปที่ 4,000 โวลต์

4.6.4 เปิดเครื่องทั้งไว้ประมาณ 30 นาที ในระหว่างนี้ให้นำ Co-60 ขนาด 1 μCi (สีแสดง) มาวางไว้ในตำแหน่งหัววัด ให้กดปุ่ม Energy ที่เครื่องวิเคราะห์สัญญาณแบบหลาช่อง (MCA) เมื่อยอดของ Co-60 อยู่ที่ตำแหน่ง 1170 และ 1332 KeV แสดงว่าเครื่องมือพร้อมที่จะเริ่มทำงานแล้ว

4.6.5 นำ Co-60 ออกจากตำแหน่งหัววัด ลบข้อมูลของ Co-60 บนหน้าจอ

4.7 นำหินตัวอย่างไปวางในตำแหน่งหัววัด ปิดฝ่าหัววัดแล้วตั้งเวลา 18000 วินาที (5 hr) ตั้งความจำที่ 1/2 เปิดเครื่องให้เริ่มทำงาน

4.8 เมื่อครบเวลาที่ตั้งไว้ให้บันทึกข้อมูลที่อยู่ได้ยอดค่าส่วนใจ ในที่นี้ต้องการข้อมูลได้ยอดของ โพแทสเซียม (K-40) ยูเรเนียมสมมูล (eU) และ thoriumสมมูล (eTh) ในการวัดปริมาณ โพแทสเซียมใช้ยอดสเปกตรัมที่ระดับพลังงาน 1460.8 keV กีอช่อง 494-520 เป็นตัวเปรียบเทียบพลังงานระดับนี้มาจากการ K-40 ที่มีอยู่ในโพแทสเซียมตามธรรมชาติ ในการหาปริมาณยูเรเนียมสมมูล ได้ใช้ยอดสเปกตรัมที่ระดับพลังงาน 1764.5 keV กีอช่อง 605-621 เป็นตัวเปรียบเทียบ รังสีแกมมาที่ระดับพลังงานนี้มาจากการ ^{214}Bi สำหรับการหาปริมาณ thoriumสมมูล ได้ใช้ยอดสเปกตรัมที่ระดับพลังงาน 2614.47 keV กีอช่อง 907-922 เป็นตัวเปรียบเทียบ รังสีแกมมาที่ระดับพลังงานนี้เป็นผลมาจากการ ^{208}Tl ซึ่งเป็นลูกของ ^{232}Th จากนั้นบันทึกข้อมูลเป็นจำนวนนับของรังสีไว้ในเครื่องคอมพิวเตอร์โดยใช้โปรแกรม PC UTIL ทำเช่นเดียวกันนี้กับตัวอย่างอื่น ๆ ทุกตัวอย่าง

4.9 วัครังสีจากสารมาตรฐานซึ่งได้เตรียมเอาไว้แล้วในภาคผนวก ๑ โดยใช้เวลา 18000 วินาที เช่นกันและเก็บข้อมูลในช่วงเดียวกับของพนักงานอย่างและรังสีพื้นหลัง

4.10 วัคครังสีพื้นหลัง (background radiation) ซึ่งเป็นรังสีที่มาจากแหล่งอื่นที่ไม่ใช่จากหินตัวอย่าง โดยใช้เวลา 18000 วินาที เช่นกัน และเก็บข้อมูลให้ยอดในช่วงเดียวกับการฟื้นตัวอย่าง และสารมาตรฐาน จากนั้นนำข้อมูลส่วนนี้ไปหักลบออกจากข้อมูลของหินตัวอย่าง และสารมาตรฐาน

4.11 วิเคราะห์ทักษะความแรงรังสีและความเข้มข้นของสารตัวอย่าง โดยใช้สมการจากกราฟของสารมาตรฐานในภาคผนวก ๑

4.12 คำนวณค่าความผิดพลาด ใช้ความสัมพันธ์

เมื่อ N กิโล จำนวนนับให้ยอดสเปกตรัม

X គឺ ចំណាំនប់ដើម្បីគិតសេក្រវិមានទុកដាក់និងពាក្យយោងអីវិញ

Y กือ จำนวนนับได้ย่อคสเปกตรัมของค่าพื้นหลัง

จะบันทึกจำนวนนับของสารมาตราฐานหรือหินตัวอย่างเป็น $X \pm \sigma_X$

จะบันทึกจำนวนนับของค่าพื้นหลังเป็น $Y \pm \sigma_Y$

จำนวนนับสุทธิเท่ากับ $X - Y \pm \sqrt{\sigma_x^2 + \sigma_y^2}$

4.13 นำข้อมูลไฟแทสเซิร์บ ยูเรเนียมสมมูล และทอเรียมสมมูลที่ได้จากการบินสำรวจชั่งบันทึกไว้ในแผ่นข้อมูลแม่เหล็กของกรมทรัพยากรธรรมชาติและสัตว์ป่า โดยใช้โปรแกรมเชอเฟอร์ เพื่อนำไปใช้ในขั้นตอนการแปลผลข้อมูลต่อไป

5. การวิเคราะห์ค่าสภาพรับไว้ได้ทางแม่เหล็กและศักขารข้อมูลที่ได้จากการบินสำรวจที่ระดับความสูง 400 ฟุตจากระดับน้ำทะเลเป็นคลาสของกรมทรัพยากรธรรมชาติและสัตว์ป่าในการดังนี้

5.1 นำการวัดค่าสภาพรับไว้ได้ทางแม่เหล็กด้วยแคปปามิเตอร์ในตอนภาคสนามกุณด้วย 10^{-3} SI

5.2 บันทึกข้อมูลในข้อ 5.1 ลงบนแผ่นที่รัฐวิทยาของตามคำแนะนำที่เก็บหินด้วยย่าง

5.3 นำข้อมูลที่ได้จากการบินสำรวจชั่งอยู่ในแผ่นข้อมูลแม่เหล็กมาเขียนแผนที่คอนทัวร์

สำหรับความเข้มสนามแม่เหล็กคงที่ได้จากผลต่างของความเข้มสนามแม่เหล็กโลกรวมกับความเข้มเนื่องจากสนามไฟฟ้า และความเข้มเนื่องจากสนามไฟฟ้านี้ที่คำแนะนำต่างๆ บนศิลป์โลกซึ่งอยู่กับค่าคงที่ติดต่อของจิจูดังนี้ (Parkinson, 1983)

เมื่อ x, y, z แทนองค์ประกอบของสนามแม่เหล็กในแนวทิศเหนือ, ทิศตะวันออก และแนวตั้งตามลำดับ

$$x = \sum_{n=1}^{\infty} \sum_{m=0}^n \left\{ (b_n^m + g_n^m) \cos m\phi + (c_n^m + h_n^m) \sin m\phi \right\} \left(\frac{d}{d\theta} \right) P_n^m(\cos\theta)$$

$$y = \sum_{n=1}^{\infty} \sum_{m=0}^n \left\{ m(b_n^m + g_n^m) \sin m\phi - m(c_n^m + h_n^m) \cos m\phi \right\} \left\{ \frac{P_n^m(\cos\theta)}{\sin\theta} \right\}$$

$$z = \sum_{n=1}^{\infty} \sum_{m=0}^n \left\{ [nb_n^m - (n+1)g_n^m] \cos m\phi + [nc_n^m - (n+1)h_n^m] \sin m\phi \right\} P_n^m(\cos\theta)$$

ถ้าใช้ระบบพิกัดแบบทรงกลม r, θ, ϕ เมื่อ r คือรัศมีของโลก θ คือค่าคงที่จุล และ ϕ คือค่าลดลงจิจูด

เมื่อ a คือรัศมีของโลก และ $b_n^m, c_n^m, g_n^m, h_n^m$ เป็นสัมประสิทธิ์

เนื่องจากสัมประสิทธิ์ b และ c มีค่าน้อยกว่า g และ h มากซึ่งไม่น่า b และ c มากนัก โดยใช้ค่าสัมประสิทธิ์ในภาคผนวก ๑

ดังนั้นจะได้สานамໄโคโพตรูมที่ 0, φ คำแห่งใดๆบนผิวโลกดังนี้

$$F = \left(x^2 + y^2 + z^2 \right)^{\frac{1}{2}}$$

นำความเข้มสานามแม่เหล็กนี้ไปลบออกจากความเข้มสานามแม่เหล็กรวมของโลกที่ได้จากการบินสำรวจจะได้ค่าผลิตภัณฑ์ของความเข้มสานามแม่เหล็กรวมของโลกของพื้นที่ศึกษา

5.4 ตัวภาคตัดขวางค่าผลิตภัณฑ์สานามแม่เหล็กรวม และความถ่วงในแนว AB ดังภาพประกอบ 6 ซึ่งเป็นแนวที่ ชงชัย พิรุษมี (2530) ได้สร้างแบบจำลองเอาไว้ โดยใช้ค่าสภาพรับไว้ได้ทางแม่เหล็กและค่าความหนาแน่นของหินในพื้นที่ทำการศึกษาดังตาราง 4

ตาราง 4 ค่าสภาพรับไว้ได้ทางแม่เหล็กและค่าความหนาแน่นเฉลี่ยของหินในพื้นที่ศึกษา

หิน	ค่าสภาพรับไว้ได้ทางแม่เหล็ก k (SI)	ค่าความหนาแน่น ρ (kg/m ³)
แกรนิต	0.001137 ± 0.0337	2536 ± 17
หินอ่อนเชิร์ต	0.00	2488 ± 28
หินอ่อนเกยชิน	0.0004 ± 0.0003	2521 ± 19
หินควอเตอร์นารี	0.00	2100

5.5 ตัวภาคตัดขวางของข้อมูลสานามแม่เหล็กและความถ่วงในแนว AB,CD,BF,GH และ II มาสร้างแบบจำลองฐานร่องของพลูตอนลิวינגด้วยโปรแกรม GMM โดยใช้ค่าสภาพรับไว้ได้ทางแม่เหล็กและค่าความหนาแน่นของหินในตาราง 4

5.6 ใช้ภาคตัดขวางในข้อ 5.5 มาสร้างแบบจำลองของพลูตอนลิวינגใหม่โดยกำหนดให้ค่าสภาพรับไว้ได้ทางแม่เหล็กและค่าความหนาแน่นของหินในตาราง 5

ตาราง 5 ค่าสภารับไว้ได้ทางแม่เหล็กและค่าความหนาแน่นเหลี่ยมที่ได้ปรับปูรุนและนำไปใช้ในการสร้างแบบจำลองพลุตอนลิวิ่ง

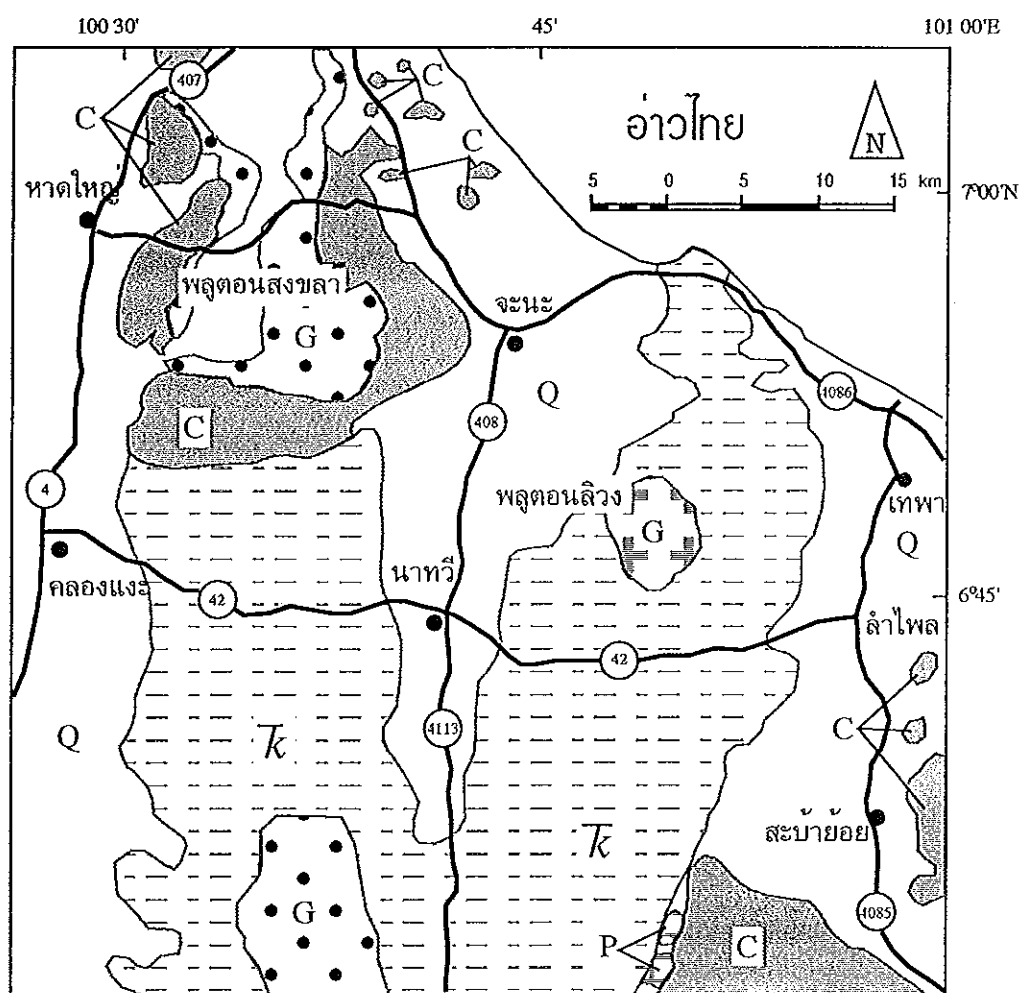
หิน	ค่าสภารับไว้ได้ทางแม่เหล็ก k (SI)	ค่าความหนาแน่น ρ (kg/m^3)
แกรนิต	0.006	2536 ± 17
หมู่หินเซอร์ค	0.00	2488 ± 28
หมู่หินแซนชิน	0.0004 ± 0.0003	2521 ± 19
หินควอเตอร์นารี	0.00	2100

จากตาราง 5 ได้กำหนดให้แกรนิตลิวิ่งมีค่าสภารับไว้ได้ทางแม่เหล็กเป็น 0.006 SI เพื่อที่จะทำให้แบบจำลองนี้สอดคล้องกับค่าความถ่วงที่ได้ศึกษาด้วย แต่ค่าสภารับไว้ได้ทางแม่เหล็กของหินแกรนิตที่ได้จากการวัดมีเพียงตัวแหน่งเดียวและมีค่าน้อยมาก ซึ่งหินแกรนิตลิวิ่งบริเวณนี้มีลักษณะค่อนข้างมุ แลจากการศึกษาหาส่วนประกอบทางเคมีของหินแกรนิตลิวิ่ง(%) โดยน้ำหนัก) โดยระบุชัย พึงรักษ์(2535) พบว่า Fe_2O_3 มีส่วนประกอบอยู่ 1.56% แต่ไม่มีรายงานของ Fe_3O_4 และคาดว่ามีปริมาณน้อย สำหรับค่าสภารับไว้ได้ทางแม่เหล็ก 0.006 SI นี้จะสัมพันธ์กับปริมาณ Fe_3O_4 เท่ากับ 0.37%(โดยน้ำหนัก) ซึ่งคาดว่าเป็นส่วนประกอบของพลุตอนลิวิ่งที่ไม่ได้อัญในสภาพมุ

สำหรับหินแกรนิตส่วนล่าง ได้กำหนดให้มีค่าสภารับไว้ได้ทางแม่เหล็กเป็น 0.000001 SI และมีความหนาแน่นเป็น $2620 \text{ kg}/\text{m}^3$ ซึ่ง มีค่าเท่ากับความหนาแน่นของแกรนิตสูงๆซึ่งตัวแหน่งของแกรนิตสูงๆแลแสดงในภาพประกอบ 21

5.7 เผยแพร่ที่ถอนหัวร์ความลึกของพลุตอนลิวิ่งและแกรนิตสูงๆ

ภาพประกอบ 21 แผนที่ธรณีวิทยาทั่วไปของพื้นที่ไกสีเกียงกับพื้นที่ศึกษา
 (ที่มา: Punggrassami, 1983)



	Granite Pluton
	Granite Songkhla
	Mudstone, sandstone, shale
	Alluvium, eluvium, river gravel, terrace
	Red bed of conglomerate, sandstone

บทที่ ๓

ผลและอภิปรายผล

บทนี้ได้แสดงผลการวิจัยและอภิปรายผลการวิจัยโดยเสนอผลการวิจัยตามลำดับดังนี้

1. ผลการศึกษาความสูง
2. ผลการศึกษาความหนาแน่น
3. แผนที่ความถ่วงของพื้นที่ศึกษา
4. แผนที่ค่าผิดปกติของสนามแม่เหล็กโลกของพื้นที่ศึกษา
5. การแปลความแผนที่ค่าผิดปกติของความถ่วงและค่าผิดปกติของสนามแม่เหล็กรวมของโลกในเชิงปริมาณ
6. ผลการศึกษาแผนที่กัมมันตรังสีและการวิเคราะห์ปริมาณ K,eU และ eTh

1. ผลของการศึกษาความสูง

ความสูงที่ได้จากการศึกษานี้มีวัตถุประสงค์เพื่อนำไปใช้การปรับแก้ค่าความถ่วง เช่นการปรับแก้พรีแอร์และการปรับแก้บีกูเกอร์

ในการศึกษาครั้งนี้ได้ทำการวัดค่าความสูงของจุดวัดโดยใช้มาตรระดับความสูง ทั้งนี้เพื่อความละเอียด รวดเร็ว และมีอุปกรณ์ในห้องปฏิบัติการอยู่แล้ว ถึงแม้ว่าความสูงที่ได้จากการวัดด้วยวิธีนี้จะให้ความแม่นยำน้อยกว่าการทำรังวัดระดับกีต้าม แต่งานนี้จะใช้วลามนา ($\text{ประมาณระยะทาง } 5 \text{ กม./วัน}$)

ความคลาดเคลื่อนของความสูงของมาตรฐานมาตรระดับความสูงในการศึกษาครั้งนี้ที่จุดวัดกำหนดได้จากการเมรีบันทึกการวัดกับการทำรังวัดจำนวน 10 ตำแหน่งคือจุด P74,P75, P76,P78,P79,P81,P82,P83,P84 และ P85 ผลการวัดความสูงแสดงค้างตาราง ๖ และค่าความคลาดเคลื่อนของความสูงที่วัดด้วยมาตรฐานมาตรระดับความสูงจากการทำรังวัดแสดงเป็นกราฟแท่งในภาพประกอบ 22 เมื่อนำความสูงจากห้อง 2 วิธีนี้ไปใช้ในการปรับแก้ค่าความถ่วงภาพประกอบ 23 แสดงภาคตัดขวางผิดปกตินูเกอร์สัมบูรณ์ของจุดวัด ได้ว่าค่าผิดปกตินูเกอร์สัมบูรณ์ซึ่งความสูงของจุดวัดกำหนดจากการทำรังวัดระดับ มีค่าสูงกว่าค่าผิดปกตินูเกอร์สัมบูรณ์ซึ่ง

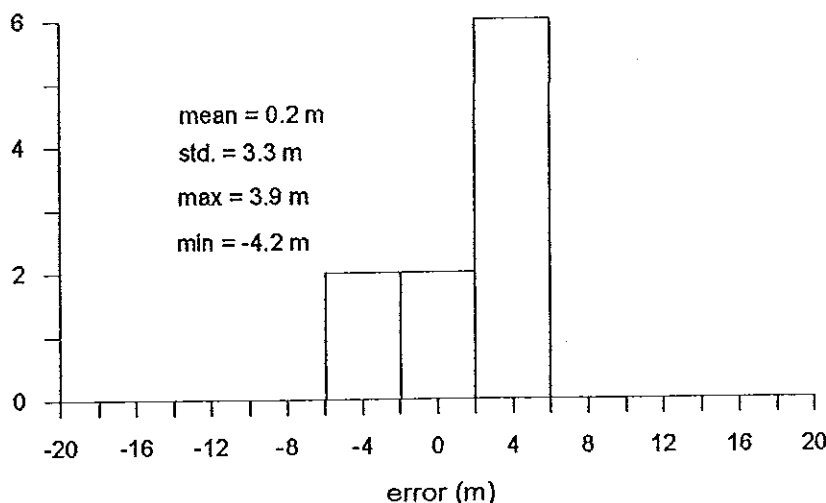
ความสูงของจุดวัดกำหนดจากการใช้มาตราระดับความสูง โดยจะสังเกตุเห็นว่าระยะห่างระหว่างค่าผิดปกติมีเกอร์ทั้งสองจะค่อนข้างสม่ำเสมอและโดยเฉลี่ยประมาณ 40 cm

ตาราง 6 การเปรียบเทียบความสูงที่ได้จากการวัดด้วยมาตราระดับความสูง และการทำรังวัดระดับ

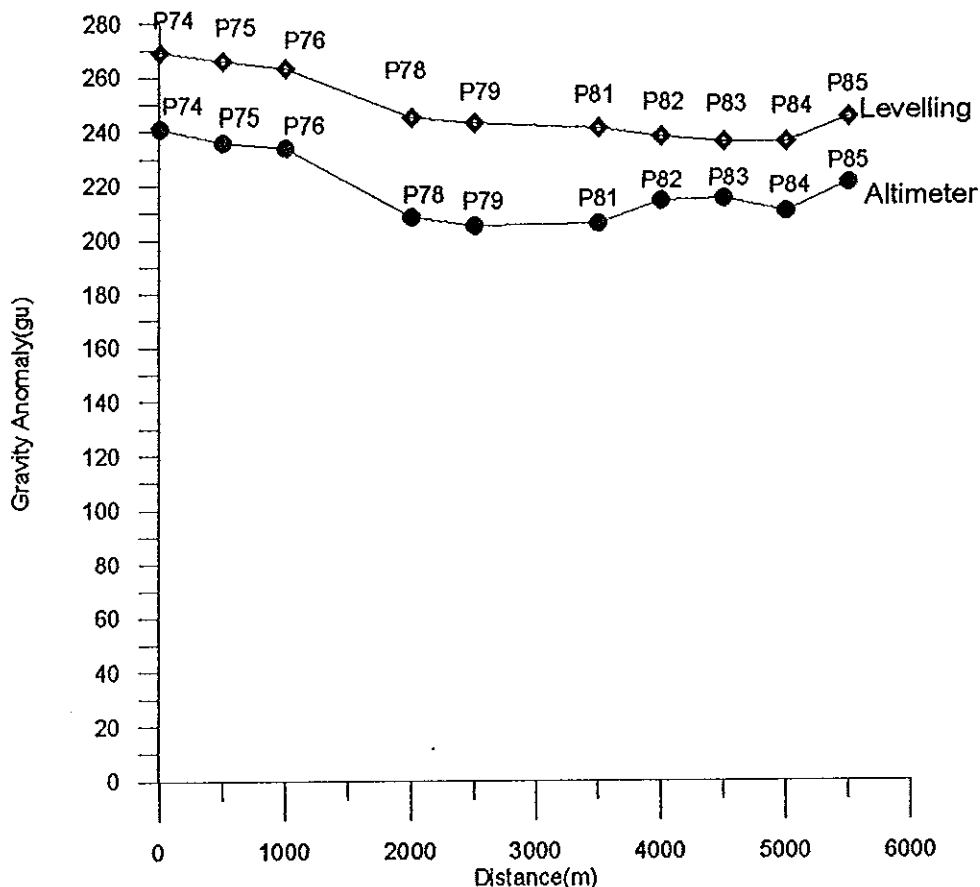
จุดวัด	มาตราระดับความสูง (เมตร)	การทำรังวัด (เมตร)	ความแตกต่าง Δh (เมตร)
P74	23.2	26.1	3.0
P75	22.0	25.6	3.6
P76	23.8	26.5	2.7
P78	18.3	22.2	3.9
P79	14.0	17.2	3.2
P81	17.7	18.2	0.5
P82	18.3	15.5	-2.8
P83	21.3	17.3	-4.1
P84	21.3	17.9	-3.4
P85	23.2	19.0	-4.2

ภาพประกอบ 22 คลาดเคลื่อนของความสูงจากการวัดด้วยมาตราระดับความสูง

No. of Samples



ภาพประกอบ 23 เปรียบเทียบความคล่องตัวพิศปักสัมบูรณ์ที่ได้จากการวัดความสูงด้วยรังวัด และมาตราระดับความสูง

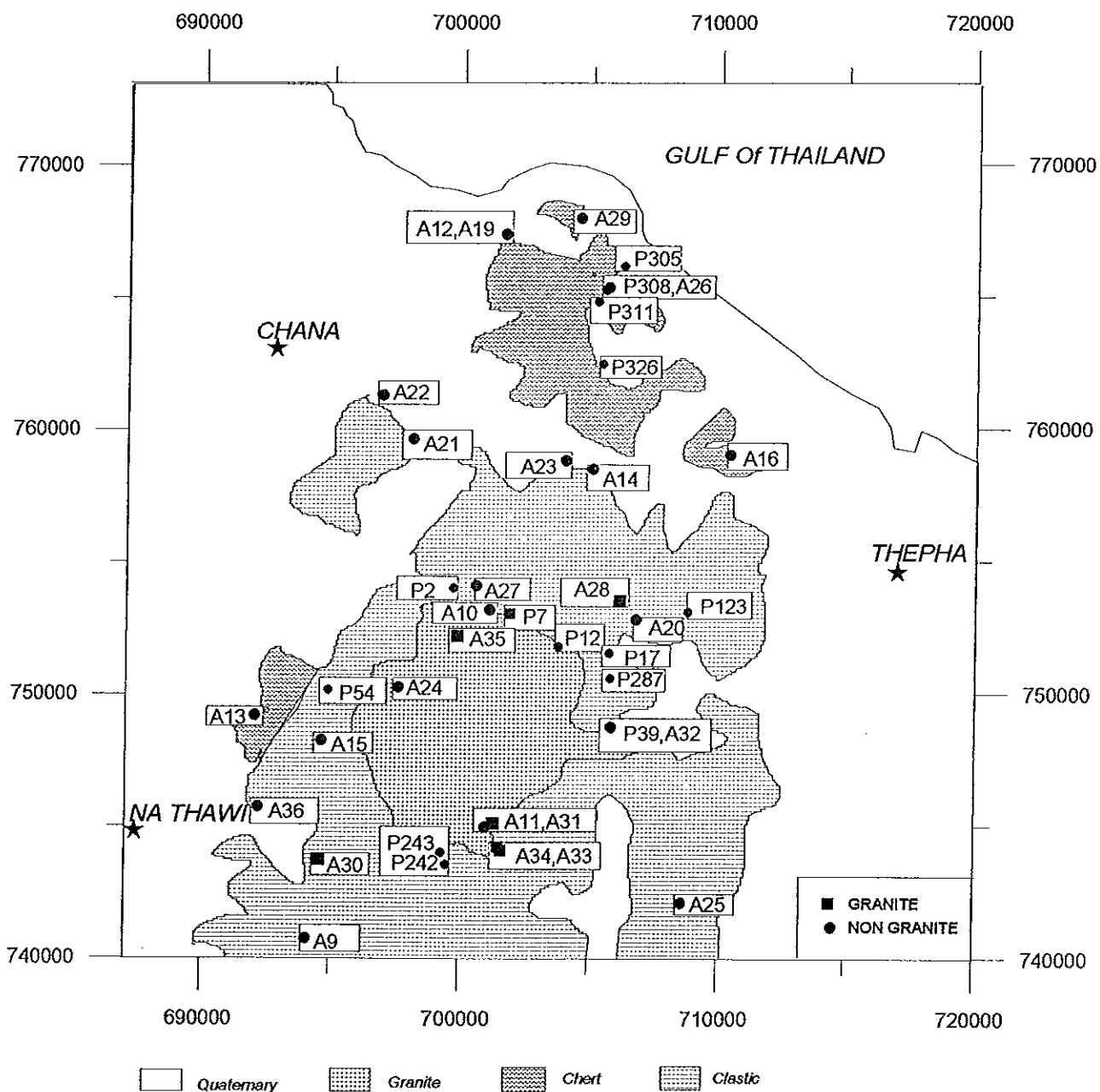


2. ผลการศึกษาความหนาแน่น

การศึกษาความหนาแน่นมีวัตถุประสงค์เพื่อนำความหนาแน่นนี้ไปใช้ในการแปลงความคล่องตัวพิศปักสัมบูรณ์

หินตัวอย่างในบริเวณพื้นที่ที่ทำการศึกษา แบ่งออกเป็น 3 กลุ่มคือ (1) หินแกรนิต (2) หินแมกนีเซียมซิลิ喀ต หินทราย หินดินดานและหินโคลน และ(3) หินเซอร์ค ประกอบด้วยหินเซอร์ค หินโคลน หินดินดาน หินทราย เป็น โดยตัวอย่างหินส่วนใหญ่จะเก็บจากเส้นทางที่ทำการวัดความคล่องตัวรวม 40 ตำแหน่ง และคงในภาพประกอบ 24 แบ่งเป็นหินแกรนิต 7 ตำแหน่ง หินแมกนีเซียมซิลิ喀ต 23 ตำแหน่งและหินเซอร์ค 10 ตำแหน่ง ในแต่ละ

ກາພປະກອບ 24 ຕໍາແນ່ນຂອງທັວອຍ່າງທິນ



คำແໜ່ງຈະເກີນທຶນຕົວຍ່າງປະມາດ 1-4 ກ້ອນ

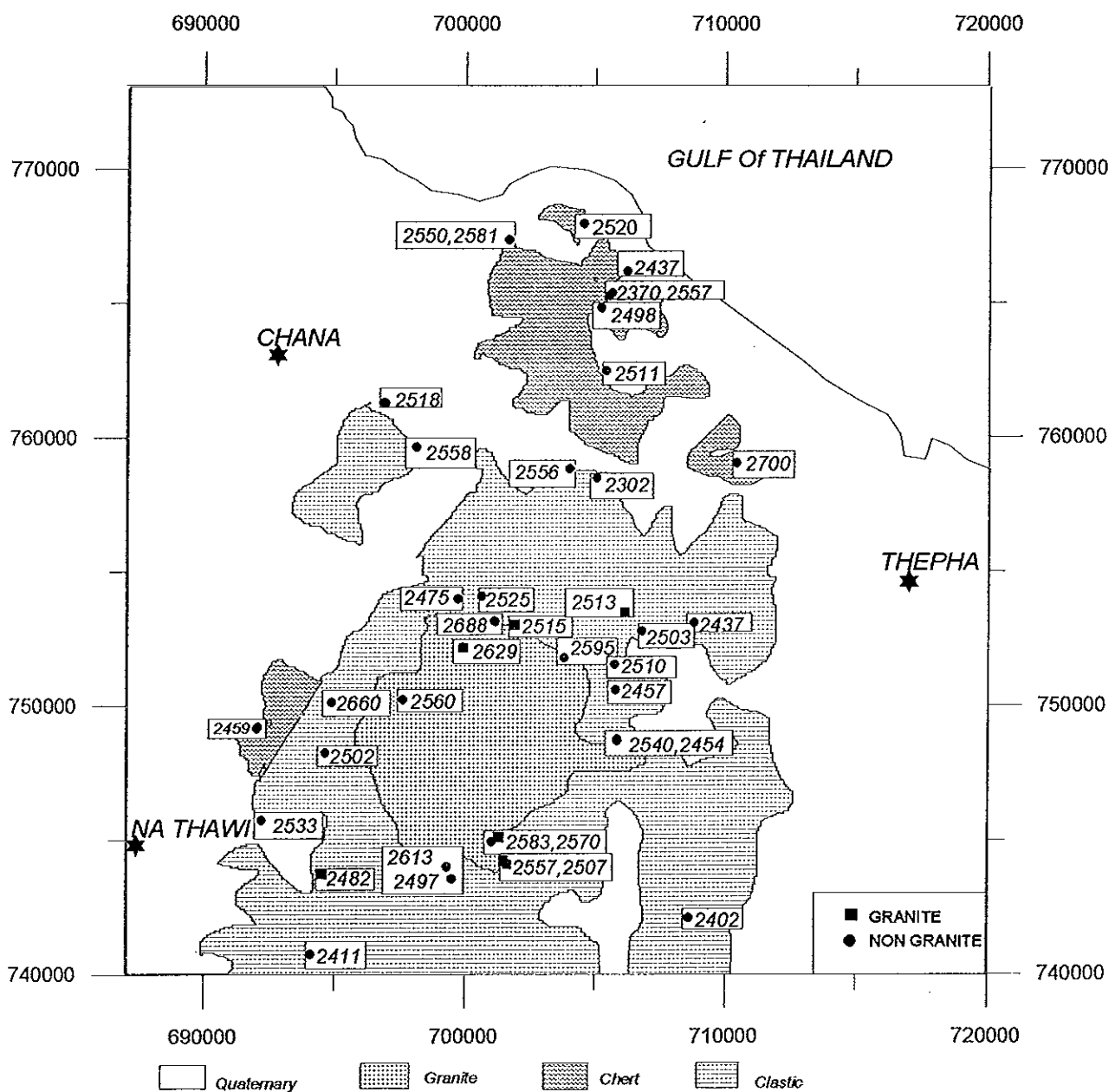
ຄວາມໜານແນ່ນຂອງຕົວຍ່າງທຶນໃນພື້ນທີ່ສຶກຍາແສດງໄວ້ໃນກາພປະກອບ 25 ໂດຍໃຫ້ສັງລັກນົດ **ແຫນທຶນແກຣນິຕ ແລະ** **ແຫນທຶນທະກອນ** ຄວາມໜານແນ່ນແລ້ວຂອງທຶນຕົວຍ່າງແສດງໄວ້ໃນຕາຮາງ 7 ແລະກາພປະກອບ 26

ຕາຮາງ 7 ດ້ວຍຄວາມໜານແນ່ນແລ້ວຂອງທຶນໃນພື້ນທີ່ສຶກຍາວິຊີ

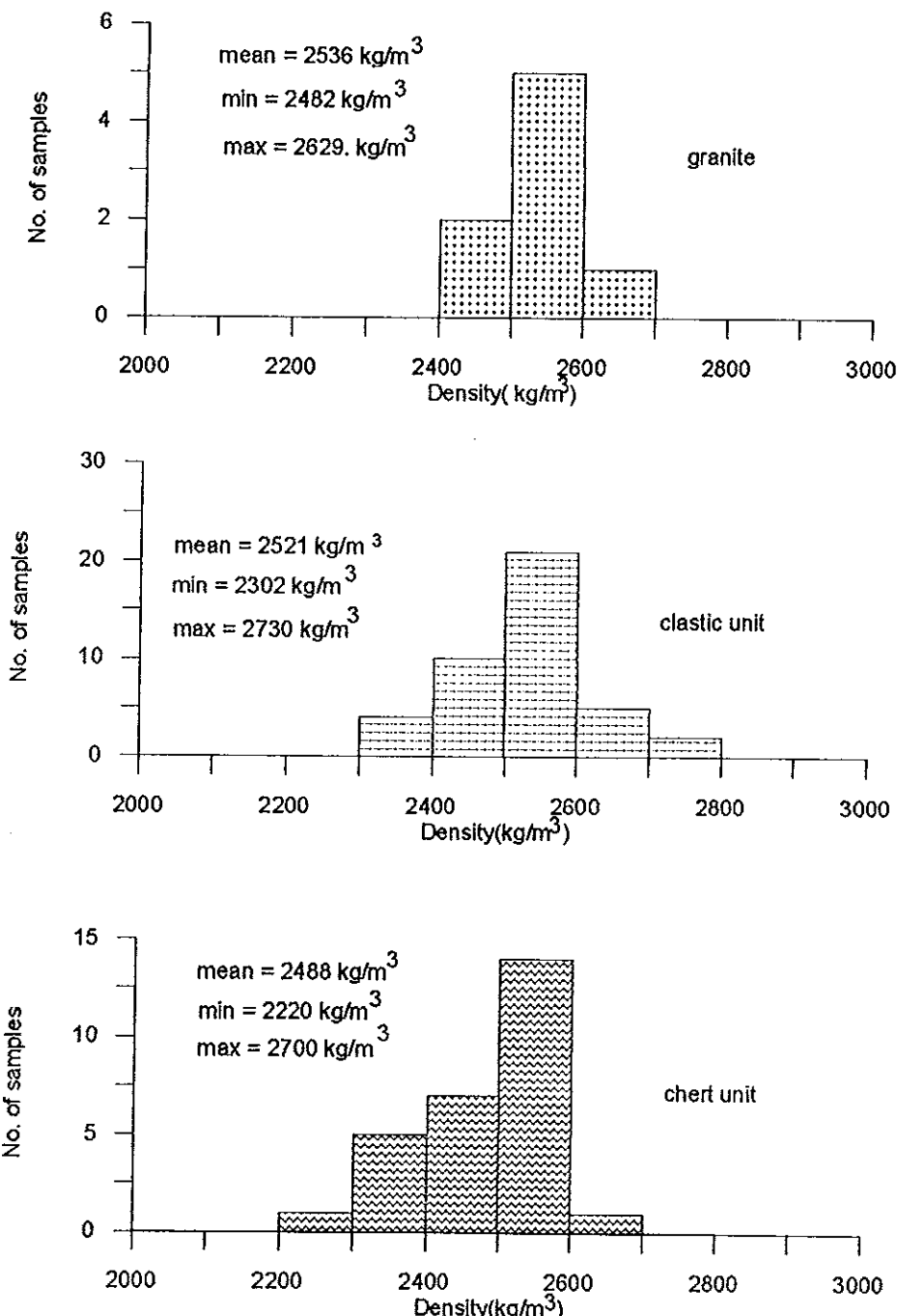
ທຶນ	ຄວາມໜານແນ່ນ (kg/m ³)	ຈຳນວນຕຳແໜ່ງ
	ພິສັນຂອງຄວາມໜານແນ່ນ	
ແກຣນິຕ	2536±17	7
	2482-2629	
ໜູ່ທຶນເສຍເຊື້ນ	2521±19	23
	2307-2688	
ໜູ່ທຶນເຊີ່ຕ	2488±28	10
	2437-2700	

ຈາກຕາຮາງ 7 ທຶນແກຣນິຕມີຄວາມໜານແນ່ນແທ່ກັນ $2536 \pm 17 \text{ kg/m}^3$ ສິ່ງນີ້ຄໍາມາກທີ່ສຸດ ລວມລົງນາເປັນໜູ່ທຶນເສຍເຊື້ນ ($2521 \pm 19 \text{ kg/m}^3$) ແລະໜູ່ທຶນເຊີ່ຕ ($2488 \pm 28 \text{ kg/m}^3$) ຕາມດຳເນັບ ສໍາຫັນທຶນຄວອເທອນເຮັນນີ້ໄປໄດ້ເກີນຕົວຍ່າງທຶນ ເນື່ອງຈາກເປັນທຶນທະກອນທີ່ຈັບຕັກນອຍ່າງຫລວມໆ ແລະຄວາມໜານແນ່ນນີ້ຈຶ່ງອູ່ກັບສ່ວນປະກອບຂອງທຶນແລະຄວາມພຽນ ດີ່ງແມ່ທຶນແກຣນິຕໃນພື້ນທີ່ສຶກຍານີ້ດ້ວຍຄວາມໜານແນ່ນແລ້ວສູງທີ່ສຸດເທົ່ານີ້ມີຄໍາຕ່າງກ່າວຄໍາຄວາມໜານແນ່ນສາມັ້ນຂອງທຶນແກຣນິຕໂດຍໄວ້ໄປໃນບຣິເວລ ໄກສ້ເຄີຍ (2620 kg/m^3) ທັງນີ້ອາງເປັນພະຍາວ່າຕົວຍ່າງທຶນແກຣນິຕໃນພື້ນທີ່ສຶກຍາເປັນທຶນມູ ຈຶ່ງທຳໄໝມີຄໍາຄວາມໜານແນ່ນແລ້ວສູງກວ່າໜູ່ທຶນເສຍເຊື້ນແລະໜູ່ທຶນເຊີ່ຕເພື່ອ ເລີກນ້ອຍ ໂດຍຕົວຍ່າງທຶນແກຣນິຕສ່ວນໃຫຍ່ເກີນຈາກບຣິເວລຮອຍສັນພັບຂອງໜູ່ທຶນເສຍເຊື້ນແລະແກຣນິຕ ຄົວງ ມີບາງຕຳແໜ່ງທີ່ທຶນແກຣນິຕໄປໄໂລໃນໜູ່ທຶນເສຍເຊື້ນ ເຊັ່ນ ຖາງດ້ານຕະວັນທີເຄີຍໄດ້ແລະ ຖາງດ້ານຕະວັນອອກເຄີຍເໜືອຂອງພື້ນທີ່ວິຈິຍ ນອກຈາກນີ້ຢັ້ງພບວ່າທຶນຄວອ້າຕໍ່ໃຊ້ຕໍ່ມີຄໍາຄວາມໜານແນ່ນໄກສ້ເຄີຍກັບທຶນແກຣນິຕ

ภาพประกอบ 25 ความหนาแน่นของตัวอย่างหิน



ภาพประกอบ 26 การกระจายความหนาแน่นของหินย่างหิน



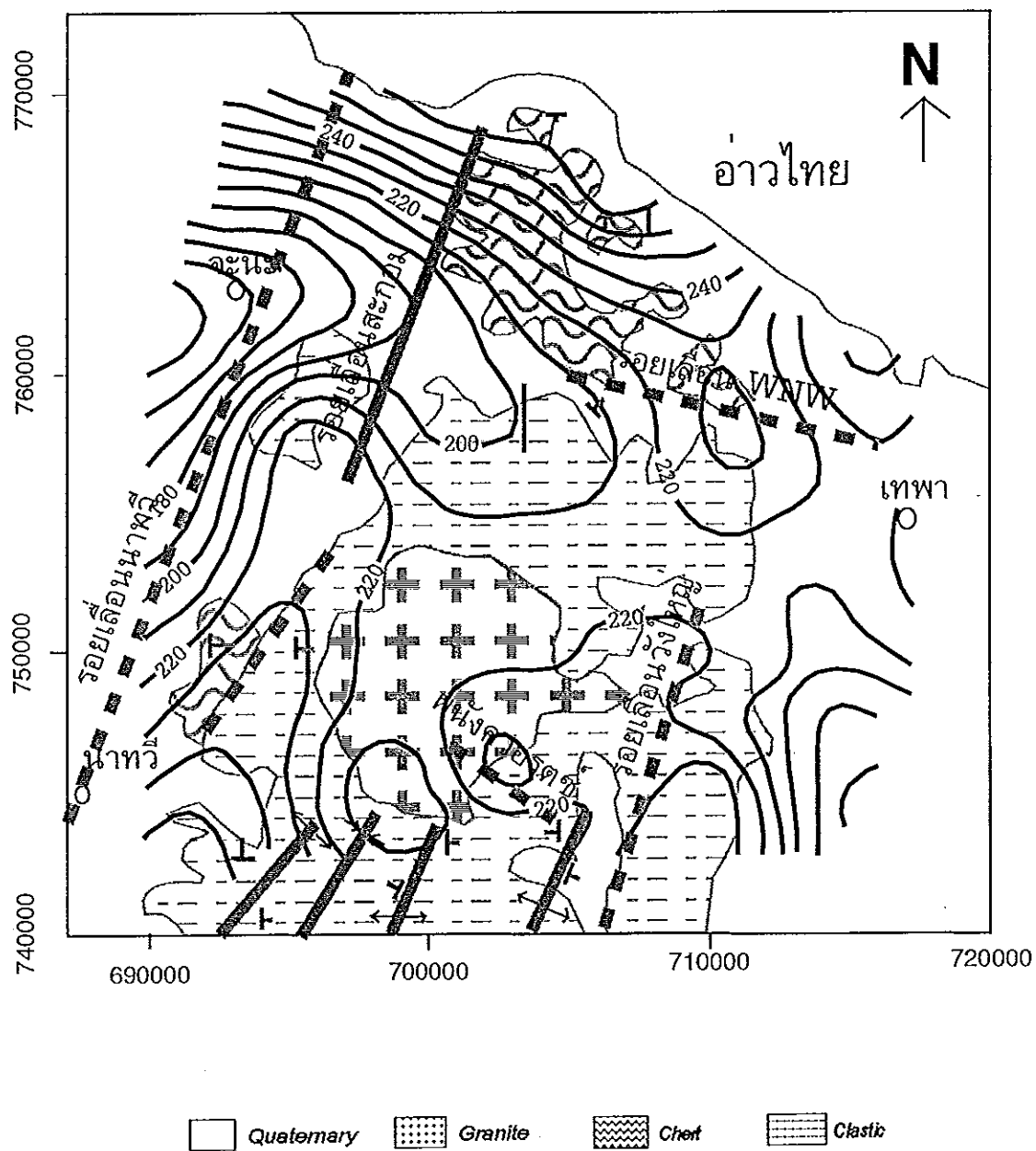
3. แผนที่ความถ่วงของพื้นที่ศึกษา

การศึกษาความถ่วงนี้มีวัตถุประสงค์ เพื่อกำหนดขอบเขตของพุกต่อนลิว แผนที่ตอนทั่วไปค่าผิดปกตินูเกอร์สัมบูรณ์ของพื้นที่ศึกษาวิจัย และลงไว้ในภาพประกอบ 27 ระยะห่างระหว่างเส้นชั้นค่าผิดปกตินูเกอร์เท่ากับ 10 gu โดยทั่วไปค่าผิดปกตินูเกอร์ในพื้นที่ศึกษาวิจัย มีค่าอยู่ระหว่าง 140-280 gu และพบว่า (1) ค่าผิดปกติความถ่วงที่มีค่าสูง (231-280 gu) ปรากฏอยู่ทางด้านเหนือของพื้นที่ศึกษา เช่น บ้านปากบางสะกอม บ้านเขาน้อย ควบลิว และทางด้านตะวันตกเฉียงใต้ของพุกต่อนลิว เช่นที่บ้านรังใหญ่ (2) ค่าผิดปกติความถ่วงที่มีค่าปานกลาง (201-230 gu) พบรอยร่องพุกต่อนลิว หรือบริเวณตรงกลางของพื้นที่ศึกษา มีบางส่วนอยู่ติดชายฝั่งทะเลด้านอ่าวไทย และครอบคลุมเนื้อที่กว้างมากที่สุด ได้แก่ บ้านสะพานไม้แก่นตอก เขางู ควบห่าส้อ ควบลิว บ้านท่าโถ บ้านโล๊ะบอน บ้านสำลອງ และบ้านคลองหมุน และ (3) ค่าผิดปกติความถ่วงที่มีค่าต่ำ (140-200 gu) ปรากฏอยู่ทางด้านตะวันตกเฉียงเหนือของพื้นที่ศึกษา เช่น บ้านหุ่งใหญ่ บ้านใหม่ และบ้านสำไพลใต้ ซึ่งอยู่ทางทิศตะวันออกเฉียงใต้ของพุกต่อนลิวค่อนข้างจะมีบริเวณแคน จะเห็นว่าค่าผิดปกติของความถ่วงบริเวณทิศเหนือหรือบริเวณบ้านหุ่งใหญ่ บ้านปากบางสะกอม บ้านควบคินແຄນมีแนว NW-SB บริเวณทิศตะวันตกหรือบริเวณบ้านใหม่ มีตอนทั่วไปค่าผิดปกติของความถ่วงเอียงในแนว SW-NB ส่วนบริเวณพุกต่อนลิวค่าผิดปกติของความถ่วงมีค่าปานกลาง (201-230 gu) ลักษณะของเส้นตอนทั่วไปค่าผิดปกติของความถ่วงกระชาຍอยู่และมีลักษณะเป็นวงกลม

เมื่อเปรียบเทียบแผนที่ค่าผิดปกติของความถ่วงกับแผนที่ธรณีวิทยาของพื้นที่ศึกษา (ภาพประกอบ 6) จะพบว่าตอนทั่วไปค่าผิดปกติของความถ่วงที่มีค่าสูง (231-280 gu) ปรากฏอยู่ในบริเวณหมู่บ้านเชิง ตอนทั่วไปค่าผิดปกติของความถ่วงที่มีค่าปานกลาง (201-230 gu) ซึ่งค่อนข้างจะมีพื้นที่กว้างที่สุด ปรากฏอยู่ในบริเวณของหมู่บ้านเคนชันและบินแกรนิตหรือพุกต่อนลิวและตอนทั่วไปค่าผิดปกติของความถ่วงที่มีค่าต่ำ (140-200 gu) ปรากฏอยู่ในบริเวณหินตะกอนควาเทอร์นารี แต่มีพื้นที่ปักดูมด้วยตะกอนควาเทอร์นารีบางบริเวณที่มีค่าความถ่วงสูง คาดว่าอาจเป็นเพราะหินซึ่งมีค่าความหนาแน่นสูงวางอยู่ข้างล่างในระดับดิน จะเห็นว่าในบริเวณหินแกรนิต ตอนทั่วไปค่าผิดปกติของความถ่วงไม่ได้มีค่าสูงสุด แต่มีค่าปานกลางค่อนไปในทางสูง และบริเวณที่ตอนทั่วไปค่าผิดปกติของความถ่วงมีค่าปานกลางนี้รวมบริเวณของหมู่บ้านเคนชันด้วย

จากการเปรียบเทียบแผนที่ความถ่วงผิดปกติสัมบูรณ์กับแผนที่โครงสร้างทางธรณีวิทยา (ภาพประกอบ 7) พบร่วมกันอยู่เดือนรังใหญ่ และรอยเลื่อนนาทีควรจะมีความยาวจำกัด

ภาพประกอบ 27 แผนที่ก่อนทั่วราชอาณาจักรคืนบุกรุกในหน่วย gu ซึ่งอนุทัศน์
แผนที่ธรณีวิทยาของพื้นที่ศึกษา



แต่ตรวจไม่พบรอยเลื่อนสะกอມ รอยเลื่อน WNW และรอยเลื่อน南北ของหมู่หินเคลย์ ชั้นทางทิศตะวันตกจากการศึกษาความถ่วง ทั้งนี้อาจจะเป็นเพราะสมบัติทางกายภาพทั้งสองด้านของรอยเลื่อนเหล่านี้ไม่แตกต่างกัน

4. แผนที่ค่าผิดปกติของสนามแม่เหล็กรวมของโลกของพื้นที่ศึกษา

ในการศึกษาค่าผิดปกติของสนามแม่เหล็กรวมของโลกนี้มีวัตถุประสงค์เพื่อกำหนดขอบเขตของพลูตอนลิวинг เช่นกัน

ตอนทั่วรุ่ค่าผิดปกติของสนามแม่เหล็กรวมของโลก(Survey A) ลักษณะเป็นวงรีและมีแนวอยู่ในทิศ NE-SW ดังภาพประกอบ 28 โดยปรากฏอยู่ตรงรอยต่อพลูตอนลิวингกับหมู่หินเคลย์ชั้นทางด้านทิศตะวันออกเฉียงเหนือของพลูตอนลิวинг

ค่าผิดปกติของสนามแม่เหล็กรวมของโลกใน Survey C ในภาพประกอบ 29 ปรากฏในหลายตำแหน่งด้วยกันนอกเหนือจากที่ตำแหน่งเดียวกับค่าผิดปกติของสนามแม่เหล็กรวมของโลกของ Survey A แล้ว ยังตรวจพบในบริเวณ ตะวันออกเฉียงใต้ ทิศใต้ และตะวันตกเฉียงเหนือของพื้นที่ที่ทำการศึกษาอีกด้วย

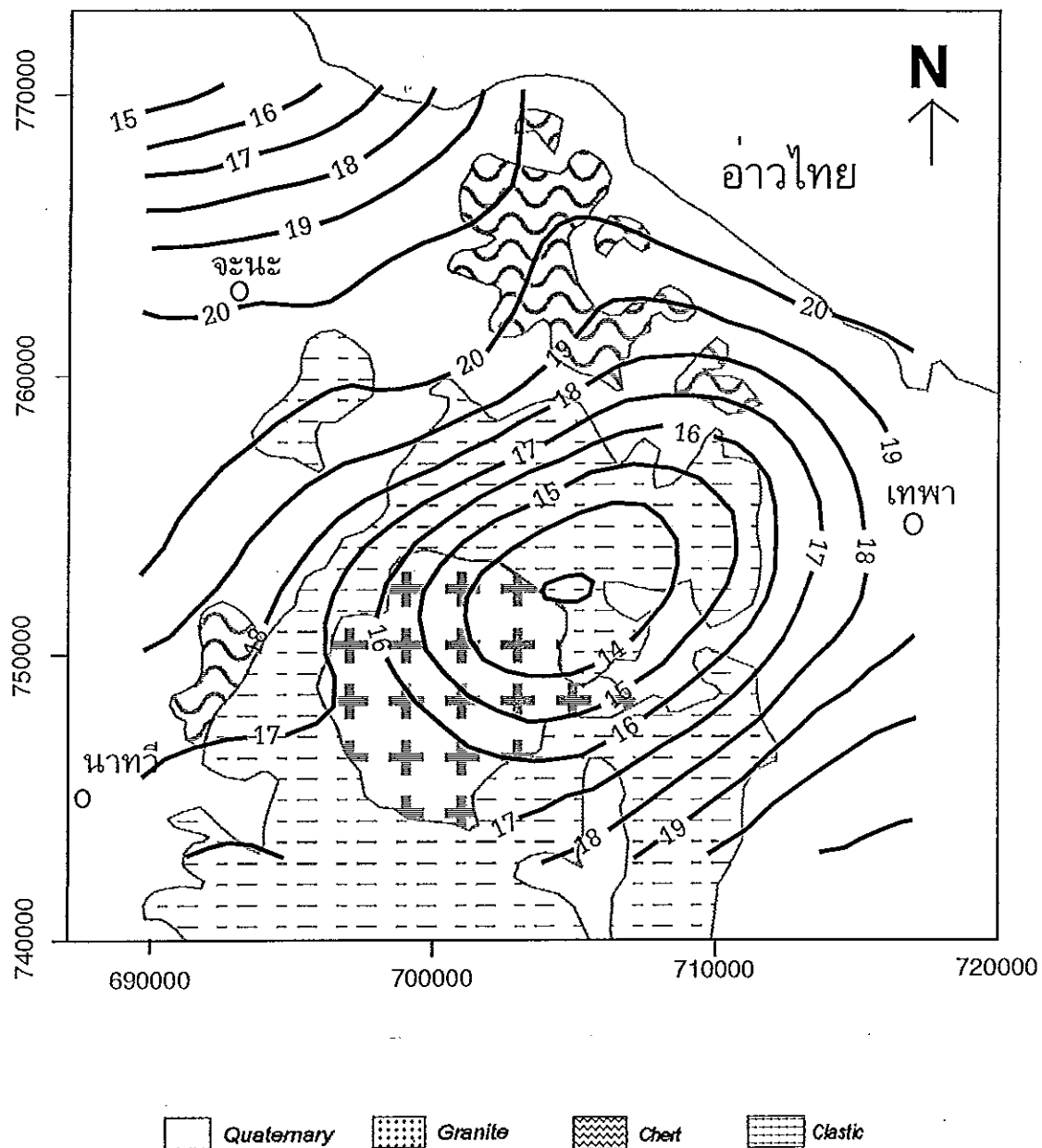
เมื่อเปรียบเทียบแผนที่ค่าผิดปกติของสนามแม่เหล็กรวมของโลก ในภาพประกอบ 29 กับแผนที่ธรณีวิทยาภาพประกอบ 6 พบว่า (1) ค่าผิดปกติของสนามแม่เหล็กโลกต่ำสุด ($10-15 \text{ nT}$) ปรากฏอยู่บริเวณพลูตอนลิวингและหมู่หินเคลย์ชั้นในส่วนที่ติดกับพลูตอนลิวингไปทางทิศตะวันออกเฉียงเหนือ (2) ค่าผิดปกติสนามแม่เหล็กโลกปานกลาง ($16-21 \text{ nT}$) อยู่ในพื้นที่บางส่วนของพลูตอนลิวинг และบางส่วนในหมู่หินเคลย์ชั้นรอบๆ พลูตอนลิวинг และยังพบในบริเวณที่ปักคุณค่าวิกฤตของเทอร์นารีอิกด้วย (3) ค่าผิดปกติสนามแม่เหล็กโลกสูงสุด ($22-27 \text{ nT}$) อยู่บริเวณที่ปักคุณค่าวิกฤตของเทอร์นารีรอบ ๆ หมู่หินเคลย์ชั้น

จากข้อมูลการวัดค่าสภาพรั้น ໄว้ได้ของแม่เหล็กในพื้นที่ศึกษาดังภาพประกอบ 30 พบว่าหินแกรนิตซึ่งໄด่ทำการวัดเพียงตำแหน่งเดียวมี ค่าโดยเฉลี่ย 0.00114 SI หมู่หินเคลย์ชั้น มีค่าโดยเฉลี่ยเท่ากับ 0.0004 SI และหมู่หินเซริทมีค่าโดยเฉลี่ยเท่ากับ 0.00 SI

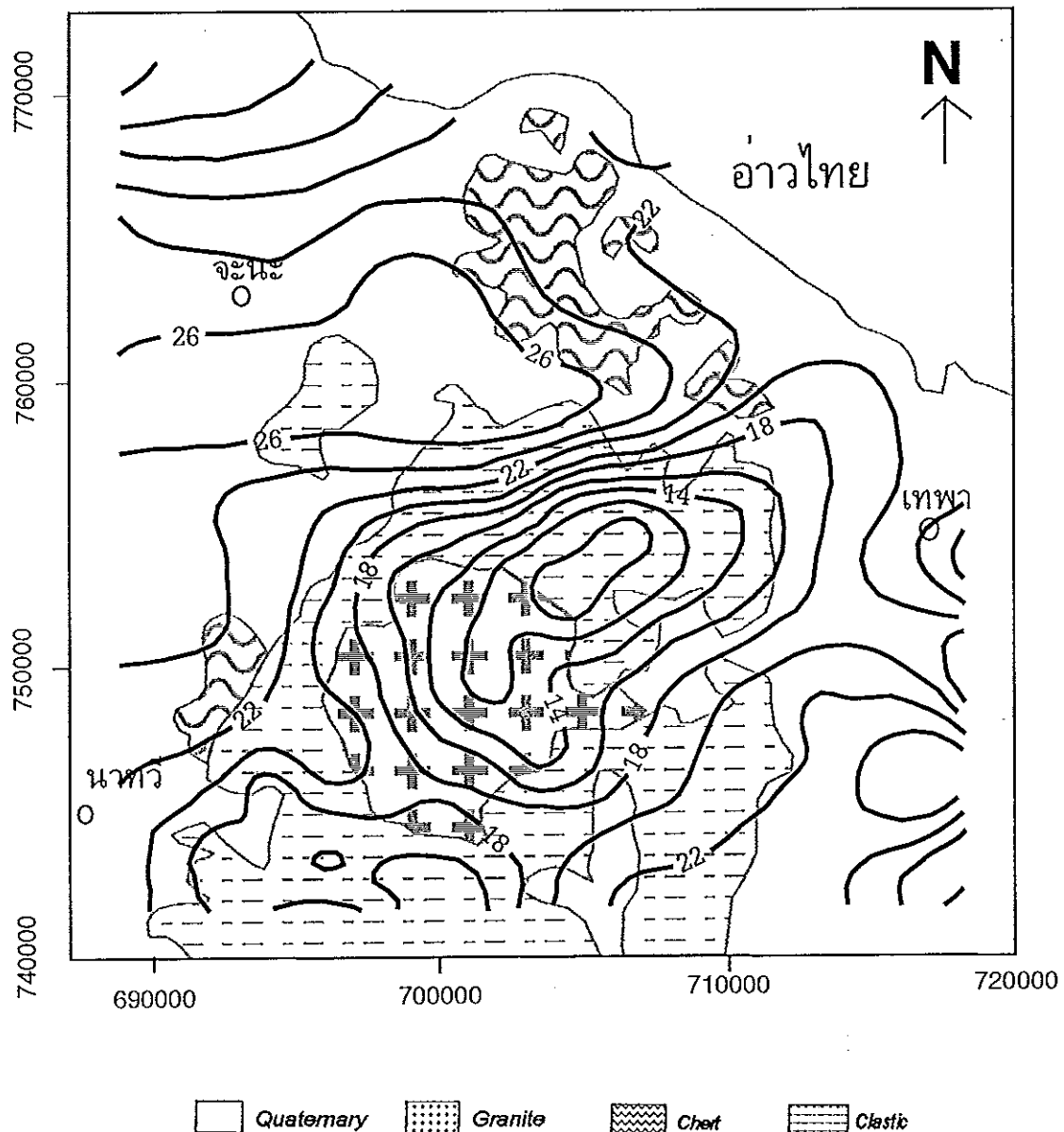
5. การแปลความแผนที่ความถ่วงและแผนที่ค่าผิดปกติของสนามแม่เหล็กรวมของโลกในเชิงปริมาณ

การแปลความผลจากการศึกษาความถ่วงและความเข้มสนามแม่เหล็กรวมของโลก มีวัตถุประสงค์เพื่อกำหนดขอบเขตของพลูตอนลิวингทั้งในแนวราบและในแนวดิ่ง

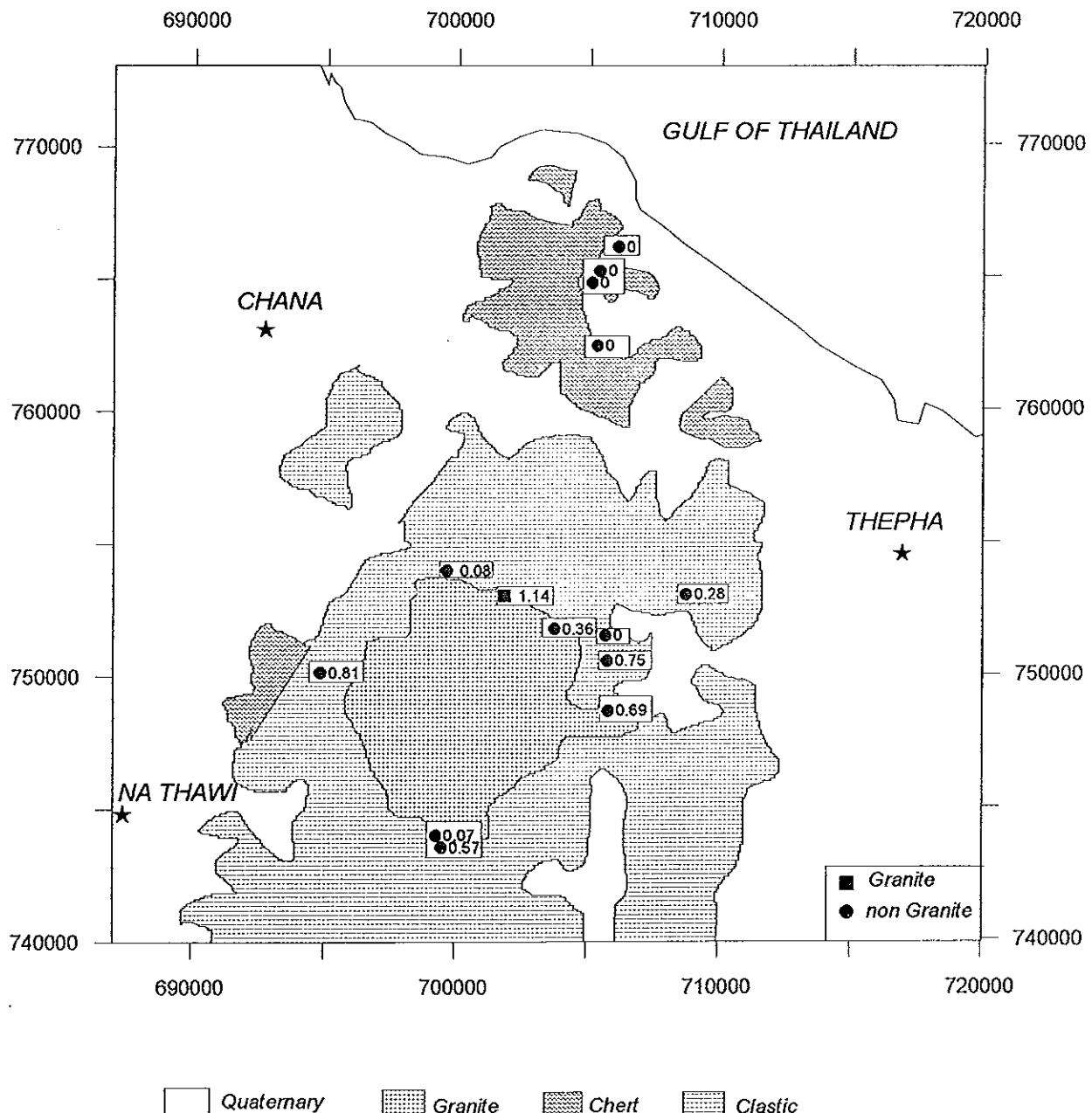
ภาพประกอบ 28 แผนที่กอนทัวร์ค่าผิวปกติของสนามแม่เหล็กโลกรวม (Survey A) ใน
หน่วย mT ซ้อนทับบนแผนที่ธรณีวิทยาของพื้นที่ศึกษา



ภาพประกอบ 29 แผนที่กอนหัวร์ค่าผิดปกติของสนามแม่เหล็กโลกรวม (Survey C) ใน
หน่วย ม.T ซึ่งแสดงแนวที่ชาร์ฟีวิทยาของพื้นที่ศึกษา



ภาพประกอบ 30 ค่าสภาพรับไว้ได้ทางแม่เหล็กของหินทั่วอย่างในพื้นที่ศึกษาวิจัย



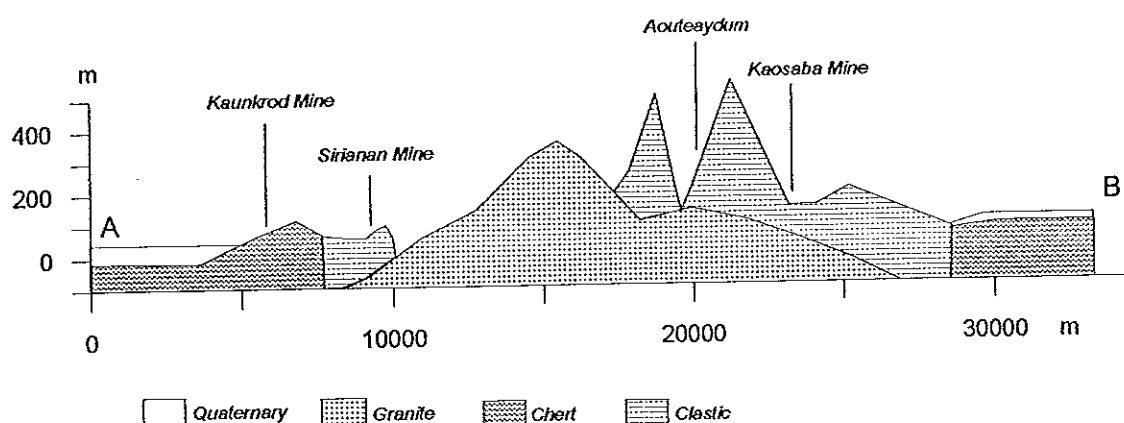
5.1 แบบจำลอง "พลุตอนลิวจ์เดิม"

ทรงชัย พึงรัศมี(2535) ได้ทำการศึกษาด้านธรณีวิทยาของพื้นที่ศึกษานี้ ตลอดจนลักษณะทางธรณีวิทยาแห่งแร่ของเหมืองแร่ในพื้นที่ศึกษา วิเคราะห์ตัวอย่างหิน ตรวจนิคแร่ วิเคราะห์ทางเคมีทางปริมาณของธาตุต่าง ๆ วิเคราะห์ทางเคมีทางปริมาณของธาตุคีบูก

ข้อมูลของพลุตอนลิวจากผลการศึกษาทางธรณีวิทยาแสดงไว้ในแผนที่ธรณีวิทยา (ภาพประกอบ 6) และภาคตัดขวางในแนว AB ในภาพประกอบ 31 ตั้งแต่ 687000 E 747692.3 N ถึง 720000 E, 78076.92 N จากทิศตะวันตกเฉียงใต้ไปตะวันออกเฉียงเหนือ ผ่านหินควอเตอร์นารี เหมืองควนกรดซึ่งอยู่บนหินควอเตอร์นารี หินเซิร์ต เหมืองศิริอนันต์ ซึ่งอยู่บนหินแมกนีติก (พลุตอนลิว) อ่าวเดย์ค่าซึ่งพบว่าเป็นบริเวณที่มีหินแกรนิตโพล (โพลส์ในแนวราบครอบคลุมเนื้อที่ประมาณ $50 \times 50 \text{ m}^2$. ที่ระดับความสูง 100-120 เมตร) เหมืองแกะสะบ้าซึ่งอยู่บนหินแมกนีติก และหินควอเตอร์นารีซึ่งอยู่บนหินเซิร์ต ภาคตัดขวางในแนว AB นี้ค่าผิดปกติของความถ่วงมีค่าปานกลางและมีค่าลดลงจากทิศตะวันตกเฉียงใต้ไปทิศตะวันออกเฉียงเหนือ

ภาพประกอบ 31 ภาคตัดขวางทางธรณีวิทยาในแนว AB

(ที่มา : ทรงชัย พึงรัศมี, 2535)



จากการนำภาคตัดขวางมาสร้างแบบจำลองธรณีวิทยาได้ระดับน้ำทะเลโดยใช้ข้อมูลค่าผิดปกติของความถ่วง และข้อมูลค่าผิดปกติของสนามแม่เหล็กรวมของโลกคัวย

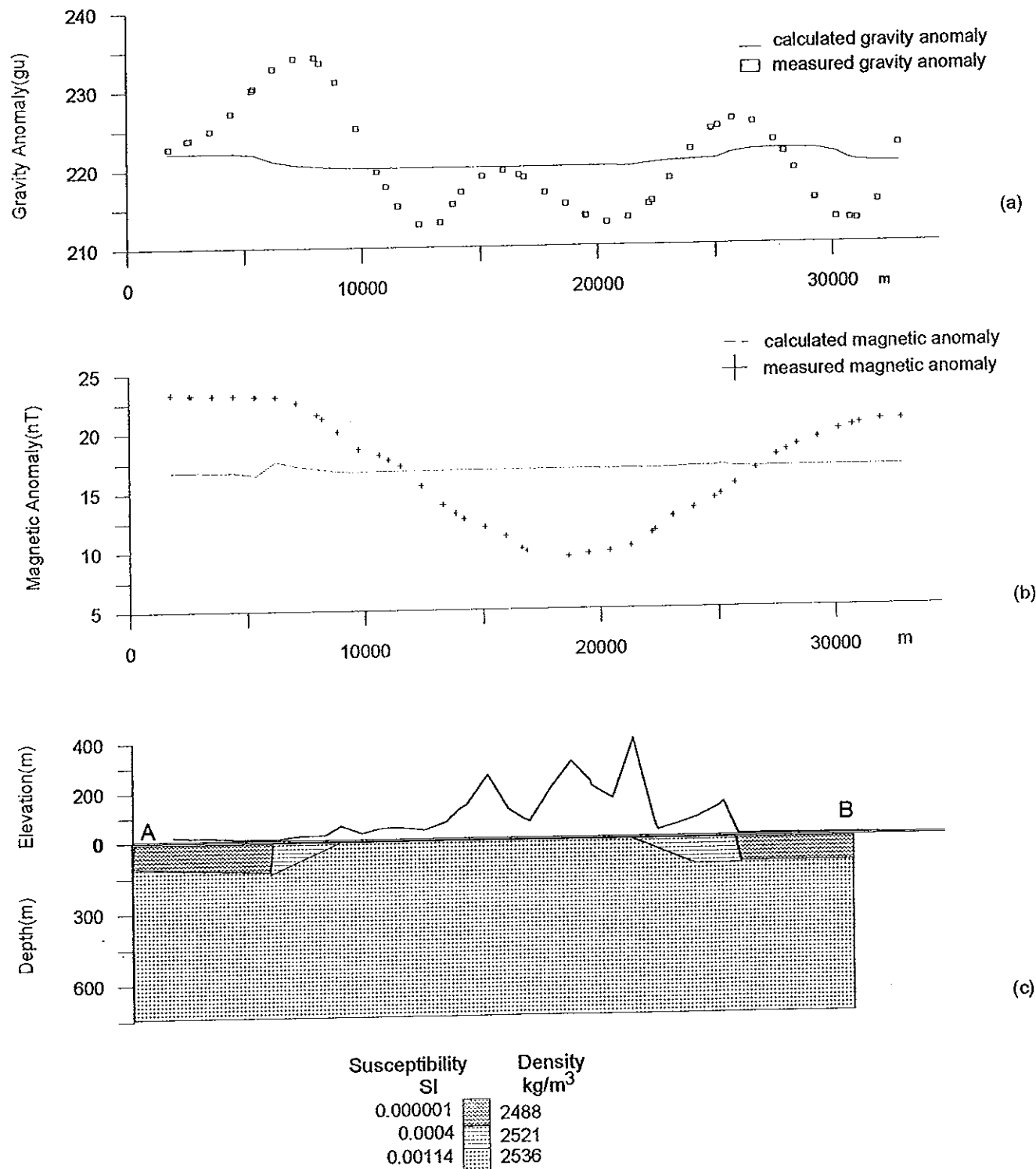
โปรแกรม GMM โดยใช้ค่าความหนาแน่น และค่าสภาพรับไว้ได้ทางแม่เหล็กของหินแกรนิต หมุ่หินแคนชันและหมุ่หินเซอร์ตดังตาราง 4 โดยให้สัญลักษณ์ — แทนค่าผิดปกติของความถ่วงที่คำนวณโดยโปรแกรม GMM จากแบบจำลองของพยุตอนที่สร้างขึ้น-----แทนค่าผิดปกติสำนวนแม่เหล็กรวมของโลกที่คำนวณโดยโปรแกรม GMM จากแบบจำลองของพยุตอนที่สร้างขึ้น □ แทนค่าผิดปกติของความถ่วงที่ได้จากการวัดในสำนวน + แทนค่าผิดปกติของสำนวนแม่เหล็กรวมของโลกที่ได้จากการบินสำรวจ

จากภาคตัดขวางที่กำหนดให้หินแกรนิตมีความต่อเนื่องจากศิวคินไปยังระดับลึกโดยมีหมุ่หินแคนชันและหมุ่หินเซอร์ตขนาดบอซี่ 2 ข้างของหินแกรนิต (งชช. พีร์ร์กมี, 2535) พบว่าค่าผิดปกติของความถ่วงและค่าผิดปกติของสำนวนแม่เหล็กรวมของโลกในแนว AB ที่คำนวณได้จากแบบจำลองของพยุตอนลิวิ่งขึ้นด้านไม่สอดคล้องกับค่าผิดปกติของความถ่วง และค่าผิดปกติของสำนวนแม่เหล็กรวมของโลกที่วัดได้กล่าวคือ ค่าผิดปกติของความถ่วงที่คำนวณได้จากแบบจำลองในแนว AB มีค่าスマ่น้ำสมอประมาณ 223 gu ในขณะที่ค่าผิดปกติของความถ่วงที่วัดได้มีการเปลี่ยนแปลงตลอดแนว กล่าวคือบริเวณทิศตะวันตกเฉียงใต้ของแนวมีค่าประมาณ 234 gu ที่ระยะ 7,500 เมตร และลดต่ำลงเป็นค่าประมาณ 212 gu ที่ระยะ 13,000 และ 21,000 เมตร จาก A บริเวณขอบของพยุตอนลิวิ่งและที่ระยะ 165,000 เมตร จาก A หรือภายในบริเวณพยุตอนลิวิ่งมีค่าผิดปกติของความถ่วงประมาณ 220 gu และมีค่าสูงประมาณ 227 gu ที่ระยะ 26,000 เมตร ลดต่ำลงเป็น 212 gu ที่ระยะ 31,000 เมตร และเพิ่มสูงเป็น 222 gu ที่ปลายตะวันออกเฉียงเหนือของแนว AB ในท่านองเดียวกันค่าผิดปกติสำนวนแม่เหล็กรวมของโลก ที่คำนวณได้จากแบบจำลองพยุตอนมีค่าスマ่น้ำสมอประมาณ 17 nT ตลอดแนว ในขณะที่ค่าผิดปกติสำนวนแม่เหล็กรวมของโลกที่วัดได้ 23 nT ทางทิศตะวันตกเฉียงใต้ของแนว และลดต่ำลงเป็น 10 nT ที่ระยะ 18,000 เมตร หรือภายในบริเวณพยุตอนลิวิ่ง และมีค่าเพิ่มสูงขึ้นเป็นประมาณ 20 nT ที่ปลายด้านตะวันออกเฉียงเหนือของแนว(ปลาย B)

5.2 แบบจำลอง "พยุตอนลิวิ่ง 1"

เนื่องจากค่าความถ่วงผิดปกติและค่าสำนวนแม่เหล็กรวมผิดปกติที่คำนวณจาก การใช้แบบจำลองที่ได้จากการศึกษาทางธรณีวิทยาของ งชช. พีร์ร์กมี (2535) ในแนว AB ไม่สอดคล้องกับข้อมูลค่าผิดปกติของความถ่วงและค่าผิดปกติของสำนวนแม่เหล็กรวม ที่ได้จากการวัดซึ่งได้ปรับปรุงแบบจำลองในแนว AB เสียใหม่ โดยกำหนดค่าในบริเวณซึ่งค่าผิดปกติของความถ่วงมีค่าสูงจะต้องมีมวลหินที่มีความหนาแน่นมาก (มากกว่าแกรนิตลิวิ่ง หมุ่หินแคนชันและหมุ่หินเซอร์ต) แทรกคันตัวขึ้นมาในระดับดิน บริเวณใดที่ค่าผิดปกติของความ

ภาพประกอบ 32 แบบจำลอง "พื้นที่ติดตาม" ในแนว AB



ถ่วงมีค่าต่ำ มวลที่มีความหนาแน่นมากนั้นวางตัวอยู่ในระดับลึก มวลความหนาแน่นมากนี้ กำหนดให้เป็นหินแกรนิตสองขลາ (ความหนาแน่นประมาณ 2620 kg/m^3) ซึ่งปรากฏเป็นแนว เทือกเขาอยู่ห่างจากพื้นที่ศึกษาวิจัยในทางด้านตะวันตกเฉียงเหนือประมาณ 20 กม. ความหนา แน่นและค่าสภารับไว้ได้ทางแม่เหล็กของหินแกรนิตส่วนบน(แกรนิตลิว) หินแกรนิตส่วน ต่าง(แกรนิตสองขลາ) หมู่หินเศษชิ้น หมู่หินเชิร์ต และหินควอเตอร์นาร์ตามในตาราง 4

ภาพประกอบ 33 แสดงภาคตัดขวางของค่าพิคปักติของความถ่วง และค่า

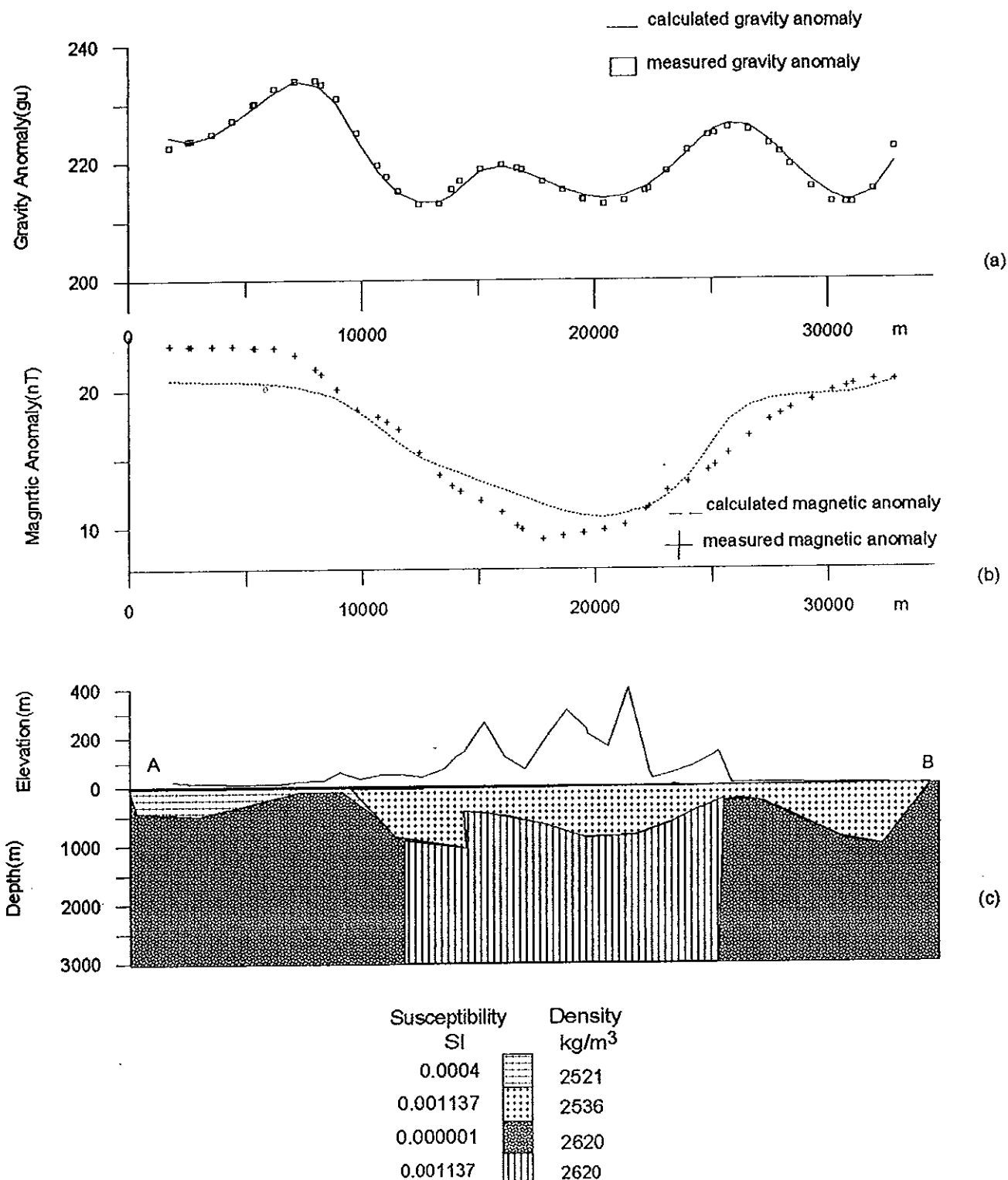
พิคปักติของสนานแม่เหล็กในแนว AB พร้อมภาคตัดขวางของแบบจำลองของพลูตอนลิวที่ ได้ปรับปรุง โดยกำหนดให้มีการแทรกดันขึ้นมาของแกรนิตสองขลາในระดับดินที่ด้านตะวัน ตกเฉียง ได้และตะวันออกเฉียงเหนือของแนวในบริเวณที่ค่าพิคปักติของความถ่วงและสนาน แม่เหล็กรวมมีค่าสูง โดยแบบจำลองที่สร้างขึ้นจะประกอบด้วยหมู่หินเศษชิ้นหนาประมาณ 1 กิโลเมตรยาวประมาณ 30 กิโลเมตรและมีแกรนิตพลูตอนยาวประมาณ 25 กิโลเมตรหนา平均 1 เมตร 800 เมตรแทรกดัน หมู่หินเศษชิ้น โพลีชิ้นมาถึงระดับน้ำทะเลเปานกลาง (0 เมตร) สำหรับในระดับลึกลงไปได้กำหนดให้แกรนิตลิวมีความหนาแน่นเท่ากับแกรนิตสองขลາคือ 2620 kg/m^3 มีลักษณะเป็นคำไปถึงระดับความลึก 30 กิโลเมตร

ค่าพิคปักติของความถ่วงและสนานแม่เหล็กรวมของโลกที่คำนวณได้จากแบบ จำลองสอดคล้องกับค่าพิคปักติทั้งสองที่วัดได้ ซึ่งในแบบจำลองนี้ต้องกำหนดให้พลูตอนลิว มีความลึกต่อเนื่องลงไปถึง 30 กิโลเมตร แต่เนื่องจากอุณหภูมิของโลกจะเพิ่มสูงขึ้นตาม ระดับความลึก 30°C ต่อ 1 กิโลเมตร (มหาวิทยาลัยเชียงใหม่ คณะวิทยาศาสตร์ ภาควิชา ธรณี, 2527) ดังนั้นที่ระดับความลึก 30 กิโลเมตร อุณหภูมิของโลกจะสูงขึ้นเป็น 900°C ซึ่ง สูงกว่าอุณหภูมิคิรี (Curie temperature) ของแกนน้ำไทย (575°C) จะส่งผลให้พลูตอนลิวที่ ระดับลึกสูญเสียอำนาจแม่เหล็ก และค่าพิคปักติของสนานแม่เหล็กที่คำนวณได้จากแบบ จำลอง ไม่สอดคล้องกับค่าพิคปักติที่วัดได้ แบบจำลองลิวพลูตอน 1 จึงไม่เหมาะสม และควร ได้รับการปรับปรุงเพิ่มเติม

5.3 แบบจำลอง "พลูตอนลิว 2"

แบบจำลองของพลูตอนลิว 2 ทั้งนาปรับปรุงจากแบบจำลองพลูตอนลิว 1 โดยกำหนดให้พลูตอนลิวมีความลึกจำกัด โดยจำแนกหินแกรนิตเป็น 2 ส่วนคือแกรนิต พลูตอนลิวซึ่งอยู่ส่วนบนแทรกซ้อนอยู่ในหมู่หินเศษชิ้นยุก ไทรแอสซิค และแกรนิตสองขลາ ซึ่งเป็นฐานรองรับอยู่ข้างล่างแกรนิตพลูตอนและตะกอนไทรแอสซิค ความหนาแน่นของหิน แกรนิตพลูตอนเท่ากับ 2536 kg/m^3 ซึ่งเป็นค่าเฉลี่ยของความหนาแน่นหินตัวอย่างในพื้นที่ที่

ภาพประกอบ 33 แบบจำลอง "พสุตตอนดิว 1" ในแนว AB



ทำการศึกษา ส่วนหินแกรนิตสูงคลาทำหนดให้มีความหนาแน่นเท่ากับ 2620 kg/m^3 (Lohawijarn, 1992) ความหนาแน่นหินหยุ่น 2521 kg/m^3 หินควอเตอร์นารี 2100 kg/m^3 (Lohawijarn, 1992) สำหรับค่าสภาพรับไว้ได้ทางแม่เหล็กของหินแกรนิตพลูตอนที่วัดได้อาจมีค่าน้อยเกินไปเนื่องจากหินมีความผุสูง จึงได้กำหนดให้มีค่าเท่ากับ 0.006 SI สำหรับหินแกรนิตสูงคลาได้ใช้ค่าสภาพรับไว้ได้ทางแม่เหล็กเท่ากับ 0.00 SI (Sano et al., 1985) หินหยุ่นหยุ่นนี้มีค่าสภาพรับไว้ได้ทางแม่เหล็ก 0.0004 SI ซึ่งเป็นค่าที่ได้จากการวัดหินโพลไนพื้นที่ที่ทำการศึกษา ส่วนหินควอเตอร์นารีทำหนดให้มีค่าสภาพรับไว้ได้ทางแม่เหล็กเท่ากับ 0.00 SI

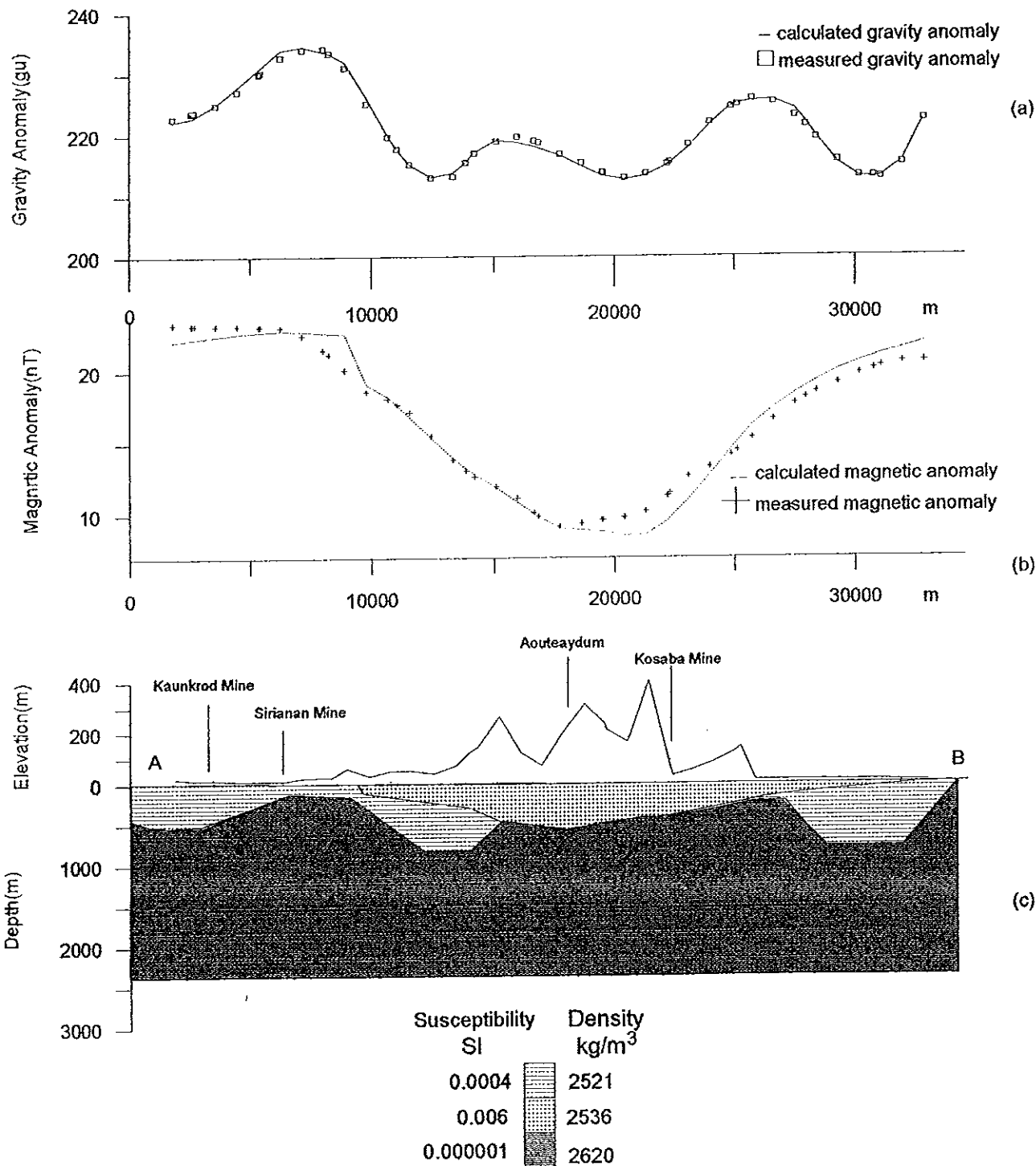
5.3.1 ภาคตัดขวางของมวลพิศปักดิ์ในแนว AB (ภาพประกอบ 34)

ภาคตัดขวางค่าพิศปักดิ์ของความถ่วงในแนว AB นี้มีลักษณะคล้ายคลอนสูกคลื่นที่มีค่าสูงและต่ำสลับกันไป โดยค่าพิศปักดิ์ของความถ่วงที่มีค่าสูงประมาณ 230 gu ปราภูอยู่ที่ระดับ 6,000-9,000 เมตร จากดู A และมีค่าประมาณ 225 gu ที่ระดับ 25,000-28,000 เมตร จากดู A สำหรับค่าพิศปักดิ์ของความถ่วงที่มีค่าต่ำ เกลี้ยงประมาณ 215 gu ปราภูอยู่ระหว่าง 11,000-22,000 เมตร ซึ่งอยู่ประมาณตอนกลางของภาคตัดขวาง AB และอยู่ระหว่าง 29,000-32,000 เมตร ในขณะที่ภาคตัดขวางค่าพิศปักดิ์ของสนามแม่เหล็กรวมของโลกจะมีค่าประมาณ 13 mT บริเวณตอนกลางของภาคตัดขวง (12,000-27,000 เมตร) และมีค่าเพิ่มสูงขึ้นไปทางด้านปลายทั้งสองของภาคตัดขวง กล่าวก็อ้มีค่าประมาณ 25 mT ที่ปลายด้านตะวันตกเฉียงใต้ (A) และ 20 mT ที่ปลายด้านตะวันออกเฉียงเหนือ(B) จึงได้สร้างแบบจำลองให้มีการแทรกดันขึ้นมาของเกรนิตสูงคลา ขึ้นในระดับดินทั้งทางด้านตะวันตกเฉียงใต้ และตะวันออกเฉียงเหนือของภาคตัดขวง AB นี้ ส่วนบริเวณตอนกลางของแนวแกรนิตสูงคลาวงตัวอยู่ในระดับลึก และให้หินหยุ่นหยุ่นหนาประมาณ 700 เมตร ยาวประมาณ 35 กิโลเมตร วางตัวยาวตามแนวนี้ และมีเกรนิตพลูตอนหนาประมาณ 450 เมตร ยาวประมาณ 20 กิโลเมตร แทรกซ้อนอยู่ในหินหยุ่นหยุ่นที่ระดับ 10,000-32,000 เมตร

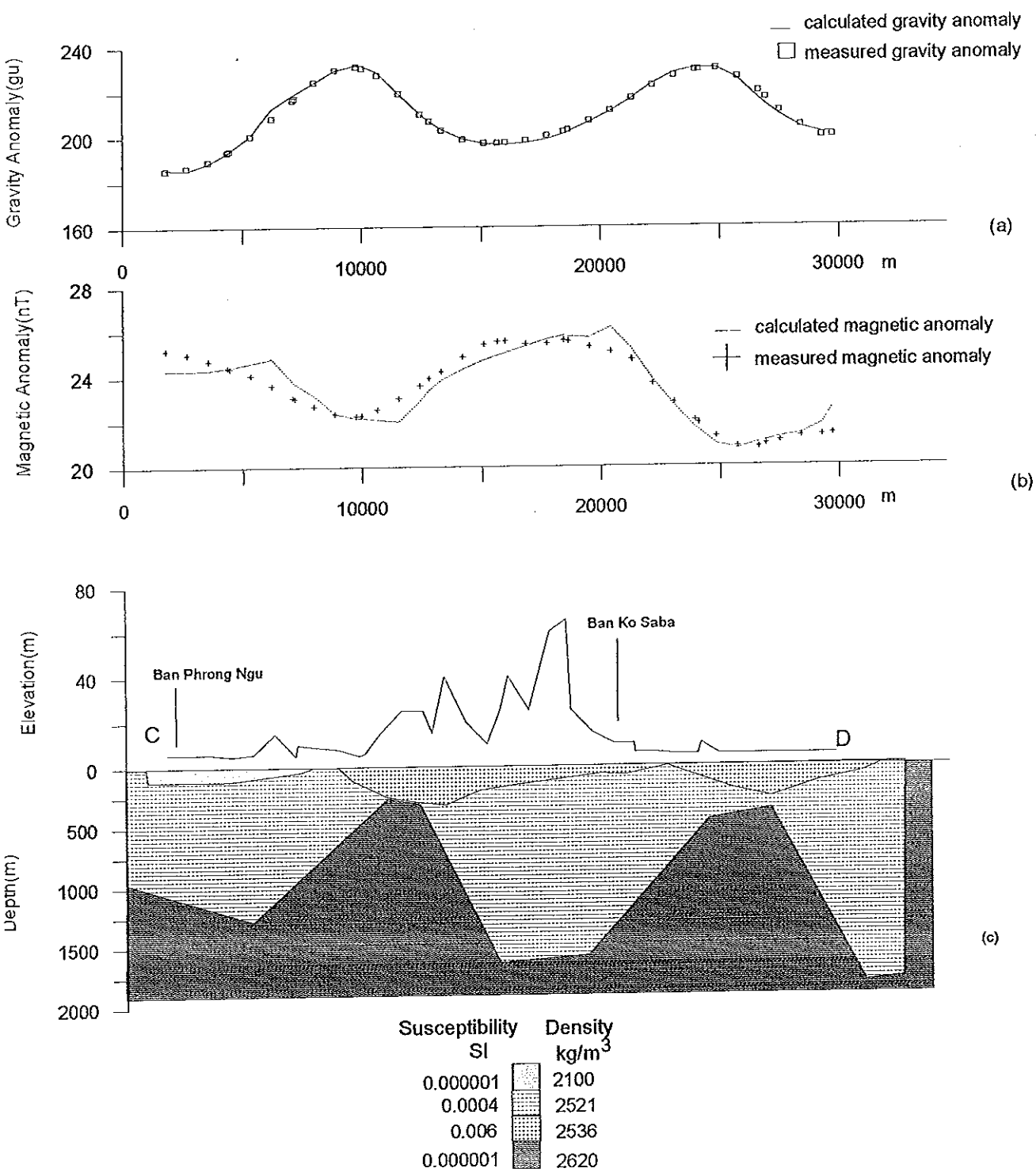
5.3.2 ภาคตัดขวงของมวลพิศปักดิ์แนว CD (ภาพประกอบ 35)

ภาคตัดขวงค่าพิศปักดิ์ของความถ่วงในแนวนี้ยังคงมีลักษณะสูงและต่ำสลับกันไป เช่นกัน โดยค่าพิศปักดิ์มีค่าสูงที่ระดับประมาณ 7,000-12,000 เมตรและที่ระดับ 23,000-26,000 เมตร โดยมีค่าประมาณ 230 และค่าพิศปักดิ์ของความถ่วงที่มีค่าต่ำ ปราภูอยู่ที่ปลายด้านตะวันตกเฉียงใต้(C)ปลายด้านตะวันออกเฉียงเหนือ(D) และที่ระดับ 12,000-21,000 เมตร โดยมีค่าประมาณ 185 gu, 190 gu และ 190 gu ตามลำดับ สำหรับค่าพิศปักดิ์สนามแม่เหล็กรวมของโลกในแนว CD นี้มีลักษณะสูงและต่ำสลับกันเช่นกัน โดยมีค่าสูงที่ปลายด้าน

ภาพประกอบ 34 แบบจำลอง "พุกตองลิว 2" ในแนว AB



ກາພປະກອນ 35 ແນນຈຳຄອງ "ພຸດທອນຄົງ 2 " ໄນແນວ CD



ตะวันตกเฉียงใต้ และที่ระดับ 13,000-22,000 เมตร โดยมีค่าประมาณ 26 nT และมีค่าต่ำที่ระดับ 8,000-12,000 เมตร และปลายด้านตะวันออกเฉียงเหนือ โดยมีค่าประมาณ 22 nT และ 21 nT ตามลำดับ ซึ่งได้สร้างแบบจำลองของแนว CD นี้ให้มีการแทรกคันของแกรนิตสูงคลาทางด้านตะวันตกเฉียงใต้และตะวันออกเฉียงเหนือของแนวในระดับดิน และแกรนิตสูงคลาทางด้านตะวันออกเฉียงใต้และตะวันออกเฉียงเหนือของแนวในระดับดิน และแกรนิตสูงคลาทางด้านตะวันออกเฉียงใต้และตะวันออกเฉียงเหนือของแนว CD โดยมีหินแคนชินซึ่งวางตัวอยู่บนแกรนิตสูงคลามีความหนาประมาณ 1,500 เมตร และยาวประมาณ 30 กิโลเมตร นอกจากนี้ยังให้มีหินควอทอร์นารีหนาประมาณ 100 เมตรยาวประมาณ 7.5 กิโลเมตรปักกุณฑ์บนหินแม่เหล็กและที่ปลายด้านตะวันตกเฉียงใต้ของแนว CD โดยมีหินแกรนิตลิวหนาประมาณ 200 เมตรยาวประมาณ 23 กิโลเมตรแทรกซ้อนเข้ามาในหินแคนชิน และหินแกรนิตลิวนี้เชื่อมต่อกับหินแกรนิตลิวที่ปราภรภูอยู่ในแนว AB

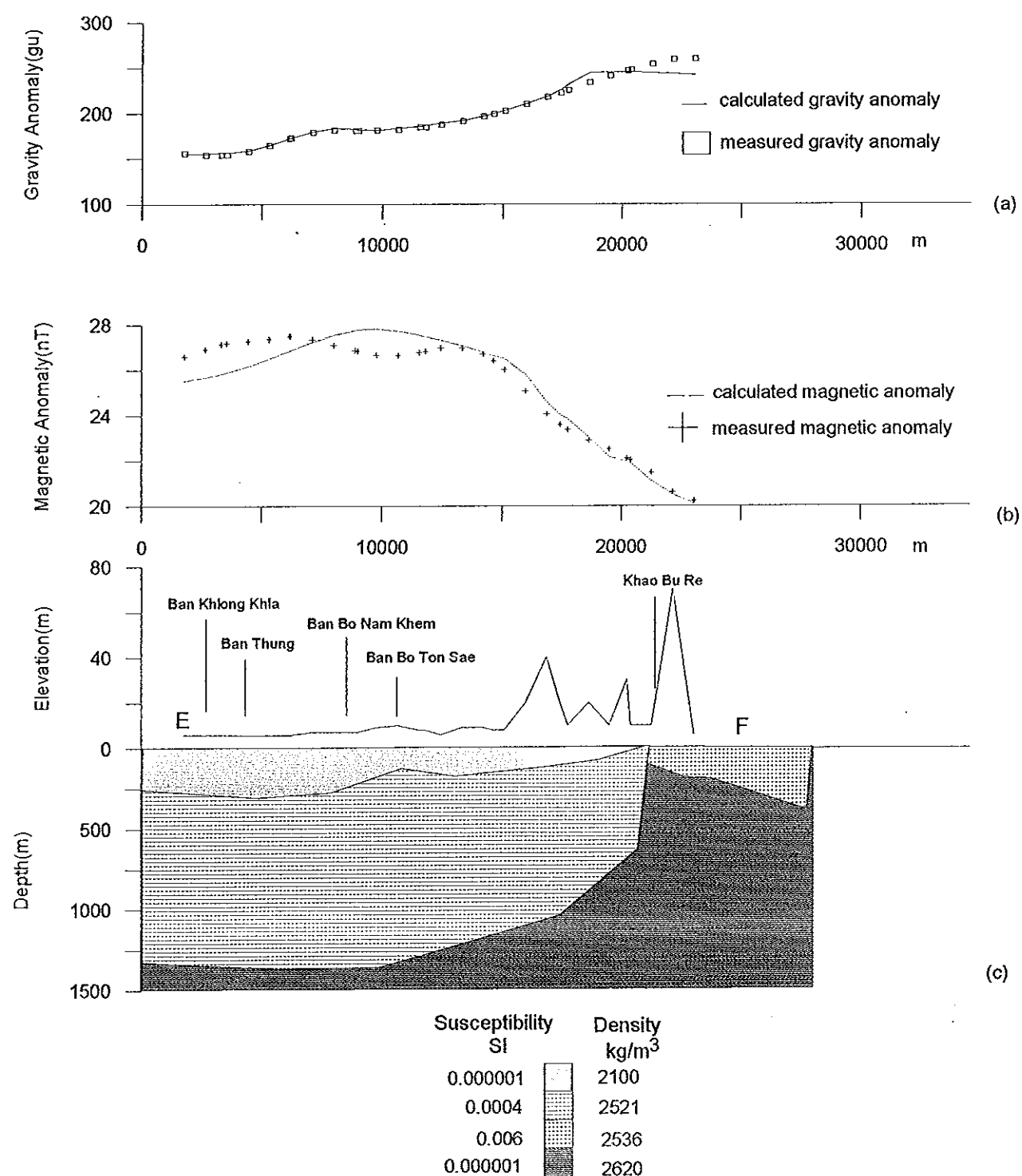
5.3.3 ภาคตัดขวางของมวลผิดปกติแนว BF (ภาพประกอบ 36)

ภาคตัดขวางค่าผิดปกติของความถ่วงในแนว BF นี้มีค่าเพิ่มสูงขึ้นจาก 150 gu ที่ปลายด้านตะวันตกเฉียงใต้เป็น 240 gu ที่ปลายด้านตะวันออกเฉียงเหนือ ในขณะที่ค่าผิดปกติของสนามแม่เหล็กรวมของโลกมีค่าคงที่ประมาณ 27 nT จากปลายด้านตะวันตกเฉียงใต้(ปลายBF)ที่ระดับ 4,500-15,000 เมตร แล้วจึงมีค่าลดลงเป็น 20 nT ที่ปลายด้านตะวันออกเฉียงเหนือ ซึ่งได้สร้างแบบจำลองให้แกรนิตสูงคลาทางตัวอยู่ในระดับลึกที่ปลายด้านตะวันตกเฉียงใต้ และแทรกคันเข้ามาในระดับดินที่ปลายด้านตะวันออกเฉียงเหนือ ได้แก่แนว BF สำหรับทางป่าด้านตะวันออกเฉียงเหนือของแนวนี้ โดยมีหินแคนชินหนาประมาณ 1,200 เมตรยาวประมาณ 20 กิโลเมตร วางตัวอยู่บนหินแกรนิตสูงคลา และมีหินตะกอนควอทอร์นารีหนาประมาณ 250 เมตรยาวประมาณ 20 กิโลเมตร ปักกุณฑ์หินแม่เหล็กซึ่งอยู่ทางด้านตะวันตกเฉียงใต้ของแนว BF สำหรับทางป่าด้านตะวันออกเฉียงเหนือของแนวนี้ได้กำหนดให้มีหินแกรนิตลิวหนาประมาณ 150 เมตรยาวประมาณ 6 กิโลเมตรแทรกคันเข้ามา

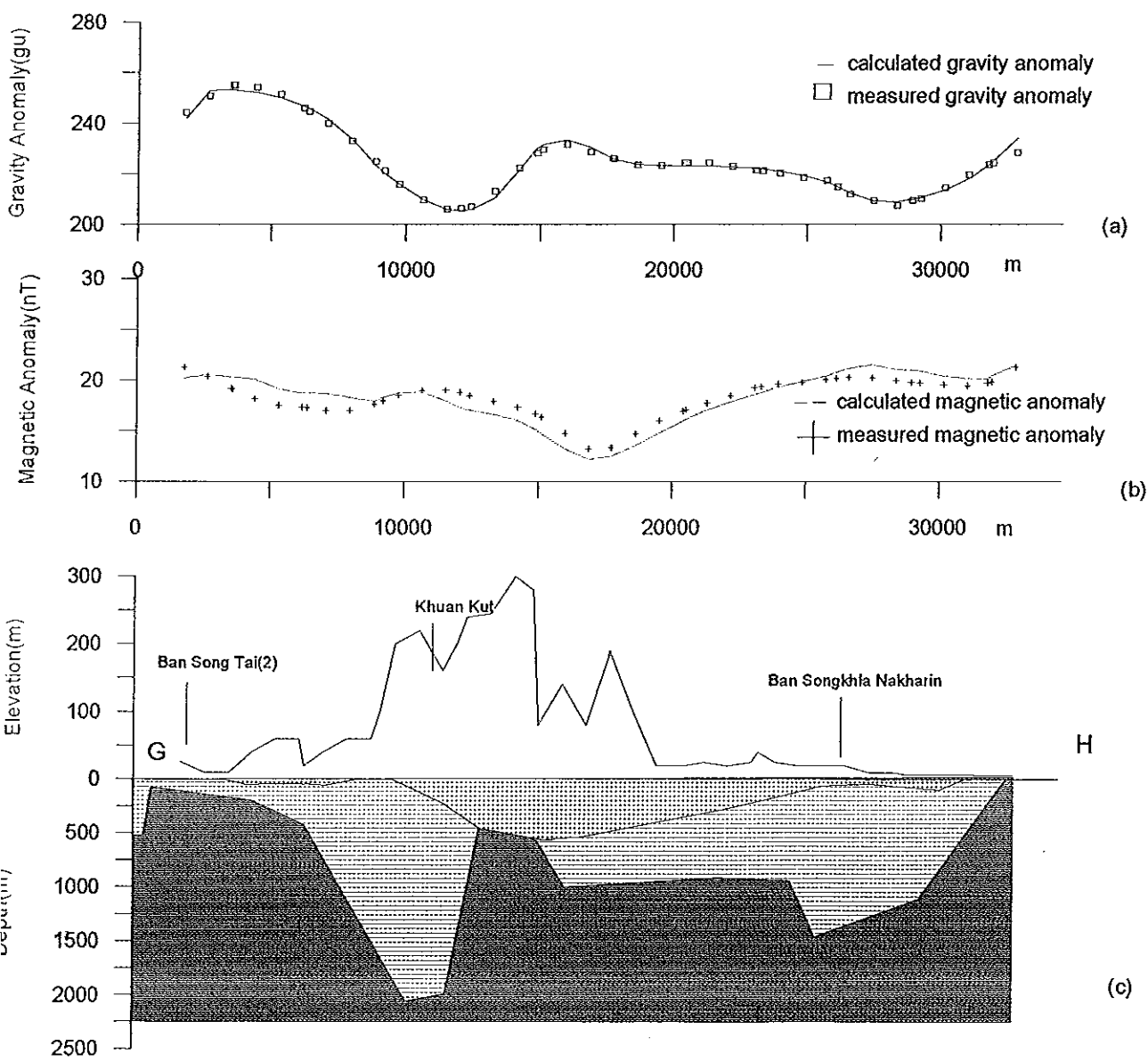
5.3.4 ภาคตัดขวงของมวลผิดปกติในแนว GH (ภาพประกอบ 37)

ภาคตัดขวงค่าผิดปกติของความถ่วงในแนวนี้มีค่าสูงประมาณ 240 gu ทางด้านตะวันตกเฉียงใต้(1,000-7,000 เมตรจากจุด G)และมีค่าต่ำประมาณ 207 gu ที่ระดับ 11,500 เมตร และมีแนวโน้มที่จะเพิ่มสูงขึ้นที่ปลายด้านตะวันออกเฉียงเหนือของแนว ในขณะที่ค่าผิดปกติของสนามแม่เหล็กรวมของโลก มีค่าสูงประมาณ 20 nT ที่ปลายทั้งสองด้านของภาคตัดขวงและมีค่าลดลงค่าลงเข้าหาจุด G จึงได้สร้างแบบจำลองให้มีการแทรกซ้อนของแกรนิตที่ระดับ 17,000 เมตรจากจุด G ซึ่งได้สร้างแบบจำลองให้มีการแทรกซ้อนของแกรนิต

ภาพประกอบ 36 แบบจำลอง "พุกอนคลิง 2" ในแนว BR



ภาพประกอบ 37 แบบจำลอง "พยุทธนลิว 2" ในแนว GH



Susceptibility SI	Density kg/m^3
0.0004	2521
0.006	2536
0.00001	2620

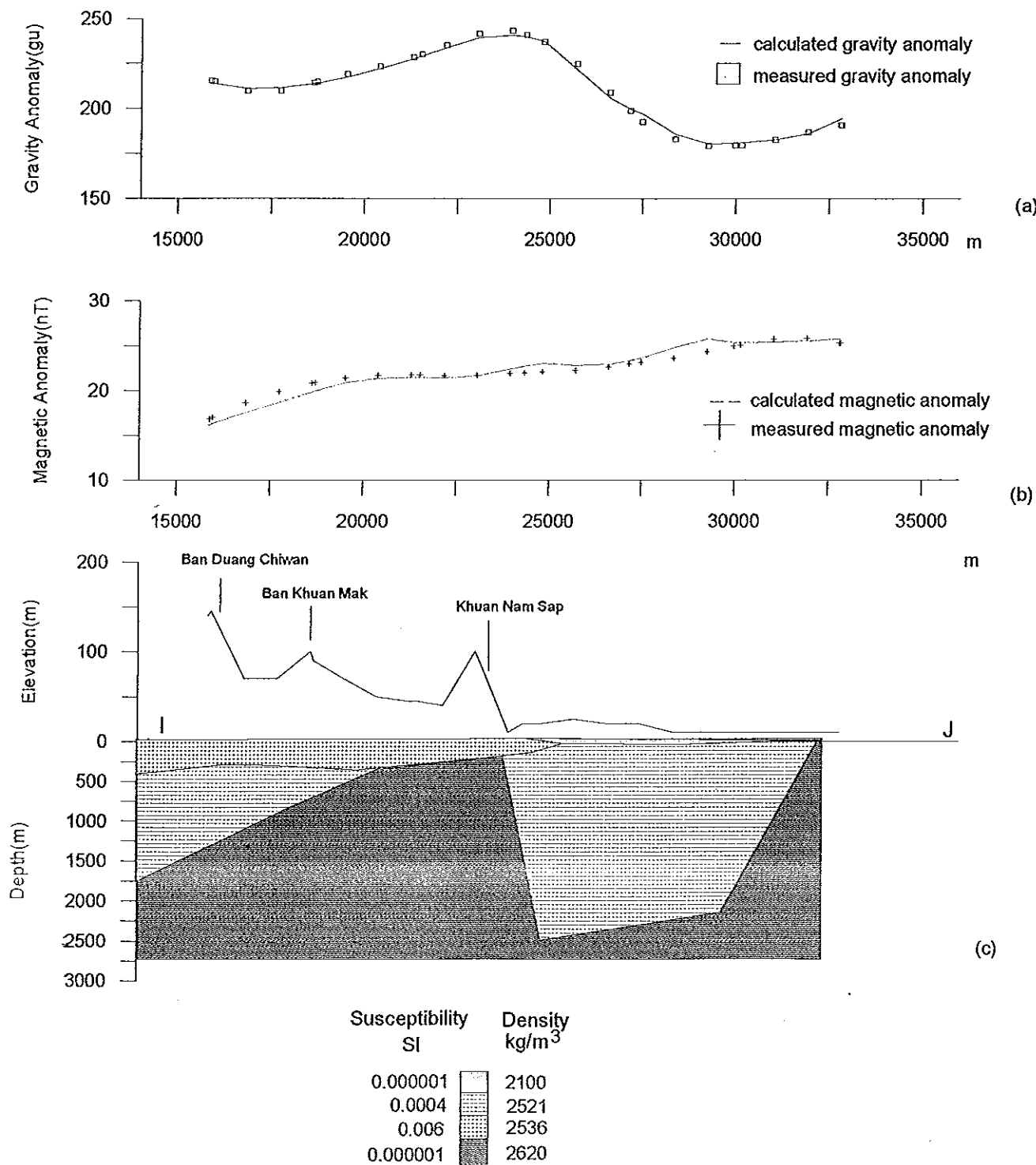
ลงคลาป์ในระดับตื้น ที่ปลายค้านตะวันตกเฉียงใต้หรือที่ระยะ 1,000-10,000 เมตรและที่ระยะ 12,000-15,000 เมตรจาก G ส่วนบริเวณอื่นแกรนิตสูงคลาวงตัวอยู่ในระดับลึกโดยมีหุ่นเคลื่อนที่นานประมาณ 1,500 เมตรยาวประมาณ 30 กิโลเมตรของยุบแกรนิตสูงคลานี้ และมีแกรนิตลิวหินยาวประมาณ 400 เมตร ยาวประมาณ 18 กิโลเมตร(12,000-30,000 เมตร) และต่อเนื่องจากแนว AB แทรกซ้อนเข้ามาอยู่ในหุ่นเคลื่อน

5.3.5 ภาคตัดขวางมวลผิดปกติในแนว II (ภาพประกอบ 38)

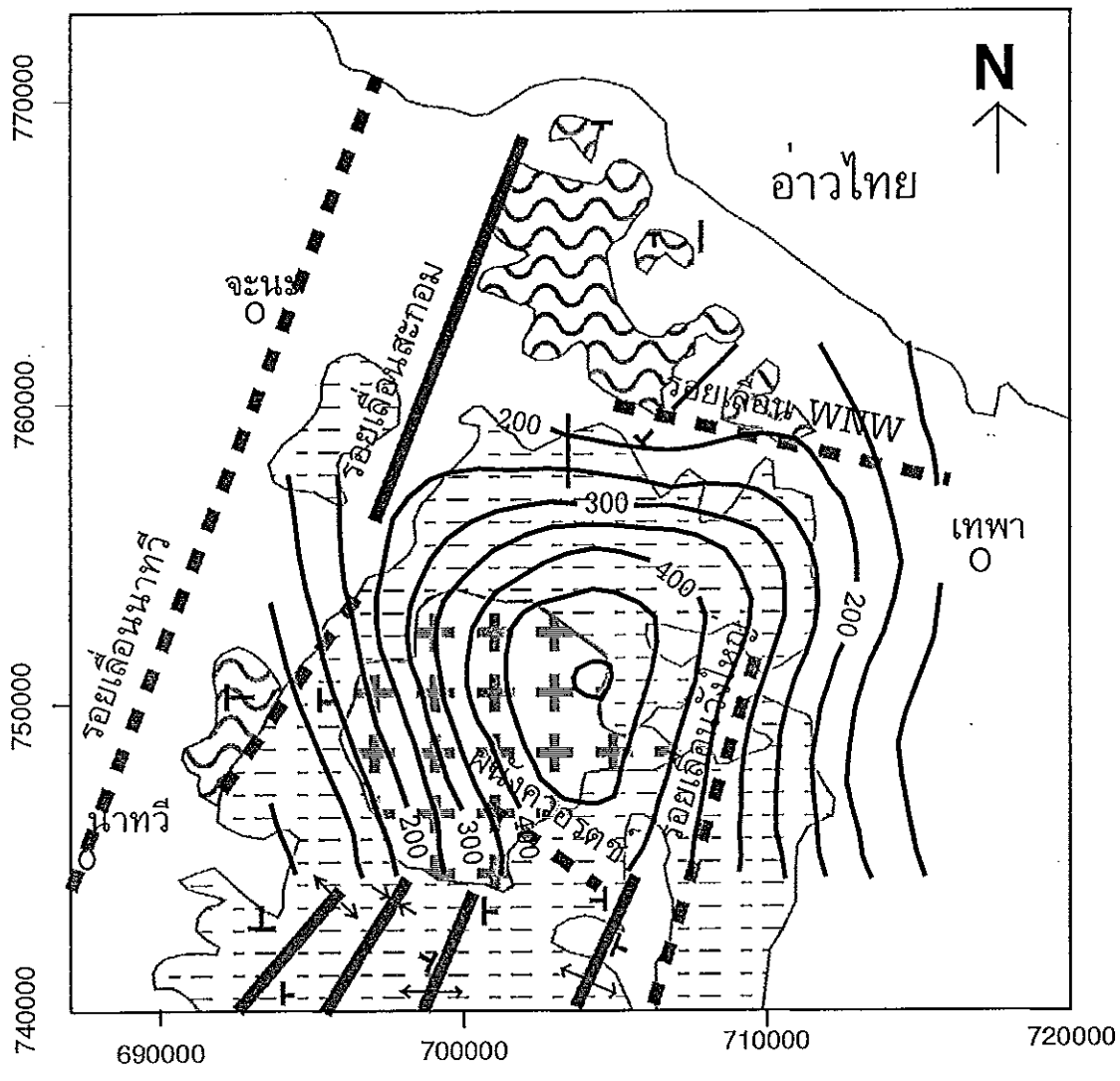
ภาคตัดขวางค่าผิดปกติของความถ่วงในแนวนี้มีค่าเฉลี่ย 210 gu ที่ปลายด้านตะวันตกเฉียงใต้และมีค่าเพิ่มสูงขึ้นเป็น 230 gu ที่ระยะ 22,000-25,500 เมตร และมีค่าลดลงเป็นประมาณ 175 gu ที่ปลายด้านตะวันออกเฉียงเหนือ ในขณะที่ค่าผิดปกติของสถานะแม่เหล็กโลกมีค่าประมาณ 22 nT ที่ปลายด้านตะวันออกเฉียงเหนือ จึงได้สร้างแบบจำลองให้มีหินแกรนิตสองข่ายเดรเกดันซึ่งมานิรัศดันดันที่บริเวณตอนกลางแนว E - W โดยมีหมู่หินเคลื่อนที่ก่อขึ้นบนหน้ากบบริเวณปลายทั้งสองด้านของแนว โดยจะหนาประมาณ 2,000 เมตร ยาวตัวอยู่บนแกรนิตสองข่ายและมีความหนาเพียง 200 เมตรและยาวประมาณ 3 กิโลเมตร ในบริเวณตอนกลางของแนว E - W โดยมีแกรนิตคลิวหนาประมาณ 200 เมตร ยาวประมาณ 10 กิโลเมตร แทรกซ่อนอยู่ในหมู่หินเคลื่อนท่างปลายด้านตะวันตกเฉียงใต้ของแนวนี้ ส่วนที่ปลายด้านตะวันออกเฉียงเหนือของแนวมีหินแกรนิตเรือนรากหนาประมาณ 50 เมตร ยาวประมาณ 4 กิโลเมตร ประกอบด้วยบันหมู่หินเคลื่อน

ค่าผิดปกติของความถ่วงซึ่งคำนวณได้จากแบบจำลองพลุตอนลิวิ่ง 2 นี้ เป็นอิทธิพลหลักจากการนิสัยทางคลาทีวังอยู่ให้หมุนเหยียบชั้นยุกไทรแอสซิค(ความหนาแน่นประมาณ 2620 kg/m^3 และค่าสภารับไว้ได้ทางแม่เหล็ก 0.00 SI) ในบริเวณที่มวลแกรนิตนี้แทรกคันเขินมาอยู่ในระดับดินจะส่งผลให้ค่าผิดปกติของความถ่วงบริเวณนั้นมีค่าสูง ส่วนบริเวณใดที่มีมวลแกรนิตสংขลานี้วังตัวอยู่ในระดับลึกค่าความถ่วงบริเวณนั้นจะมีค่าต่ำส่วนรับค่าผิดปกติของสนามแม่เหล็ก โลกเป็นผลเนื่องมาจากมวลของแกรนิตลิวิ่งซึ่งอยู่ที่ระดับดิน(ความหนาแน่นประมาณ 2536 kg/m^3 และค่าสภารับไว้ได้ทางแม่เหล็ก 0.006 SI) ส่งผลให้ค่าผิดปกติของความถ่วงและค่าผิดปกติของสนามแม่เหล็กโลกที่คำนวณได้จากแบบจำลองพลุตอนลิวิ่ง 2 สอดคล้องกับค่าผิดปกติที่ได้จากการวัดและพิจารณาให้แบบจำลอง "พลุตอนลิวิ่ง2" มีความเหมาะสมสำหรับการกำหนดขอบเขตของพลุตอนลิวิ่งทั้ง ในแนวคิ่งและแนวราบ แผนที่คอนทัวร์ความลึกของแกรนิตลิวิ่งและแกรนิตสংขลานแสดงไว้ดังภาพประกอบ 39 และ 40 ตามลำดับ

ภาพประกอบ 38 แผนจำลอง "พลุตอนลิว 2" ในแนว W-E

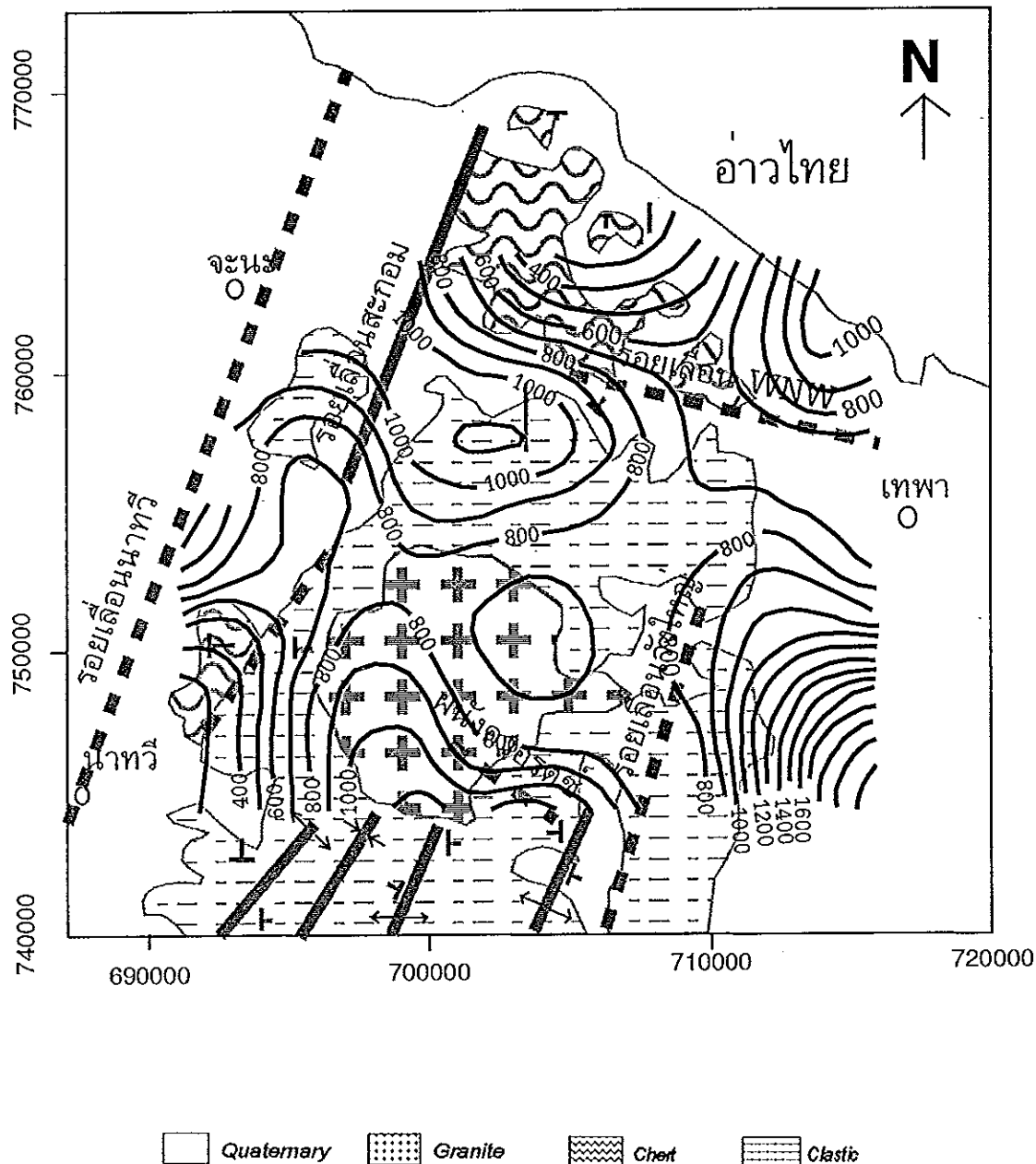


ภาคประกอน 39 แผนที่ถอนหัวร์ความลึกของพุตตอนลิวในหน่วย m ซึ่งอนันนบัน
แผนที่ธรณีวิทยาของพื้นที่ศึกษา



 Quaternary  Granite  Chert  Clastic

ภาพประกอบ 40 แผนที่แสดงทั่วๆ ความลึกของแกรนิตสูงคลานหันไปทาง ๓ ช่องทับบน
แผนที่ธรณีวิทยาของพื้นที่ศึกษา



จากภาพประกอบ 39 และ 40 แสดงให้เห็นว่าตำแหน่งของแกรนิตลิวที่ลึกมากที่สุด (ประมาณ 450 เมตร) ไม่ได้อยู่ตรงกับตำแหน่งของพลุตอนลิวที่ปรากฏในแผนที่ชุมชนวิทยาของพื้นที่ศึกษา (ภาพประกอบ ๑) แต่จะอยู่ติดไปทางทิศตะวันออกเฉียงเหนือ ประมาณ ๕ กิโลเมตรจากตำแหน่งศูนย์กลางของพลุตอนลิว พบว่าก่อนทั่วๆ ความลึกของพลุตอนลิวนี้ สอดคล้องทั้งกับค่อนหัวร์ความถ่วงผิดปกติสัมบูรณ์และค่อนหัวร์ผิดปกติสถานะแม่เหล็กรวมของโลก จากค่อนหัวร์ความลึกนี้สามารถตรวจสอบรอยเลื่อนวังใหญ่และอาจรวมถึงรอยนังควอเรซซึ่ง แต่ตรวจไม่พบรอยเลื่อน WNW รอยเลื่อนสะกออม และรอยเลื่อนที่อยู่ที่ขอบของหมู่หินเกย์ชันทางทิศตะวันตก ส่วนรอยเลื่อนนาหีนน้อยนองแผนที่ค่อนหัวร์ความลึกนี้

๖. ผลจากการศึกษาแผนที่กัมมันตภารังสีและการวิเคราะห์ปริมาณ K, eU, และ eTh

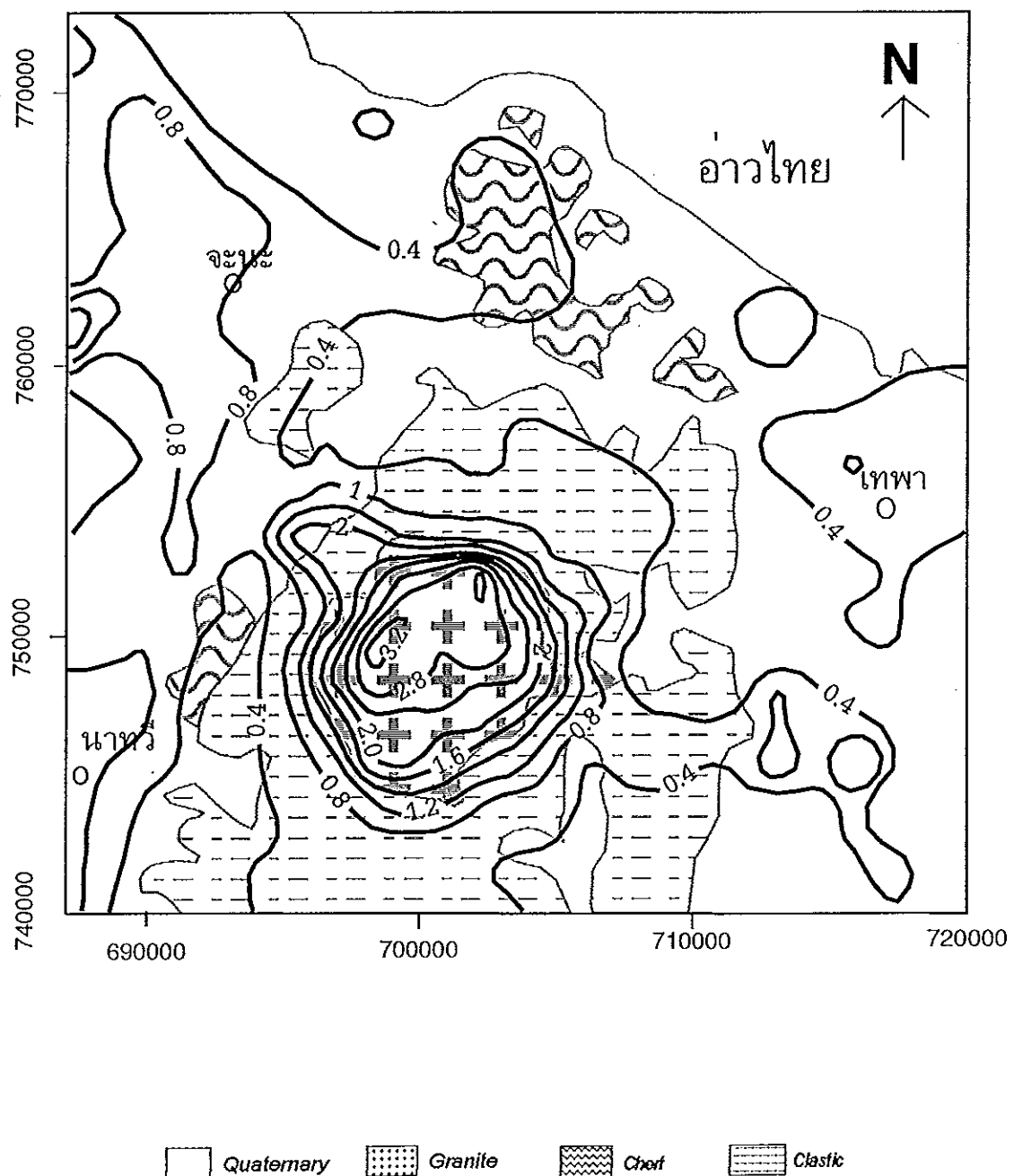
การศึกษาแผนที่กัมมันตภารังสีและการวิเคราะห์ปริมาณ K, eU, และ eTh มีวัตถุประสงค์เพื่อกำหนดขอบเขตของพลุตอนลิว

โดยปกติปริมาณแล็กนอยของสารกัมมันต์รังสีมีอยู่ในหินแสנו สารเหล่านี้จะแร่รังสีอ้อมารวมกับรังสีกอสโนกที่มาจากนอกโลกและรวมเป็นรังสีของสภาพแวดล้อม ซึ่งเปลี่ยนแปลงจากที่หนึ่งไปยังอีกที่หนึ่งเสมอ โดยปกติการกระจายของธาตุกัมมันต์รังสีได้แก่ โลกนี้ไม่แน่นอน ธาตุโพแทสเซียม ยูโรเนียมสมมูล และทอยเรียมสมมูล ในหินพอกแกรนิตมีสูงกว่าปกติ แต่มีหินบางชนิดมีส่วนประกอบของเฟล็คสปาร์และไมกาจะมีปริมาณโพแทสเซียมสูง อันจะทำให้ระดับกัมมันตภารังสีในบริเวณหินเหล่านี้สูงขึ้น เพื่อให้แน่ใจว่า กัมมันตภารังสีซึ่งสูงได้มาจากหินแกรนิตเท่านั้นไม่ใช่หินตะกอนหรือหินอื่นๆ จึงได้ทำการเก็บตัวอย่างหินมาวิเคราะห์ในห้องปฏิบัติการ

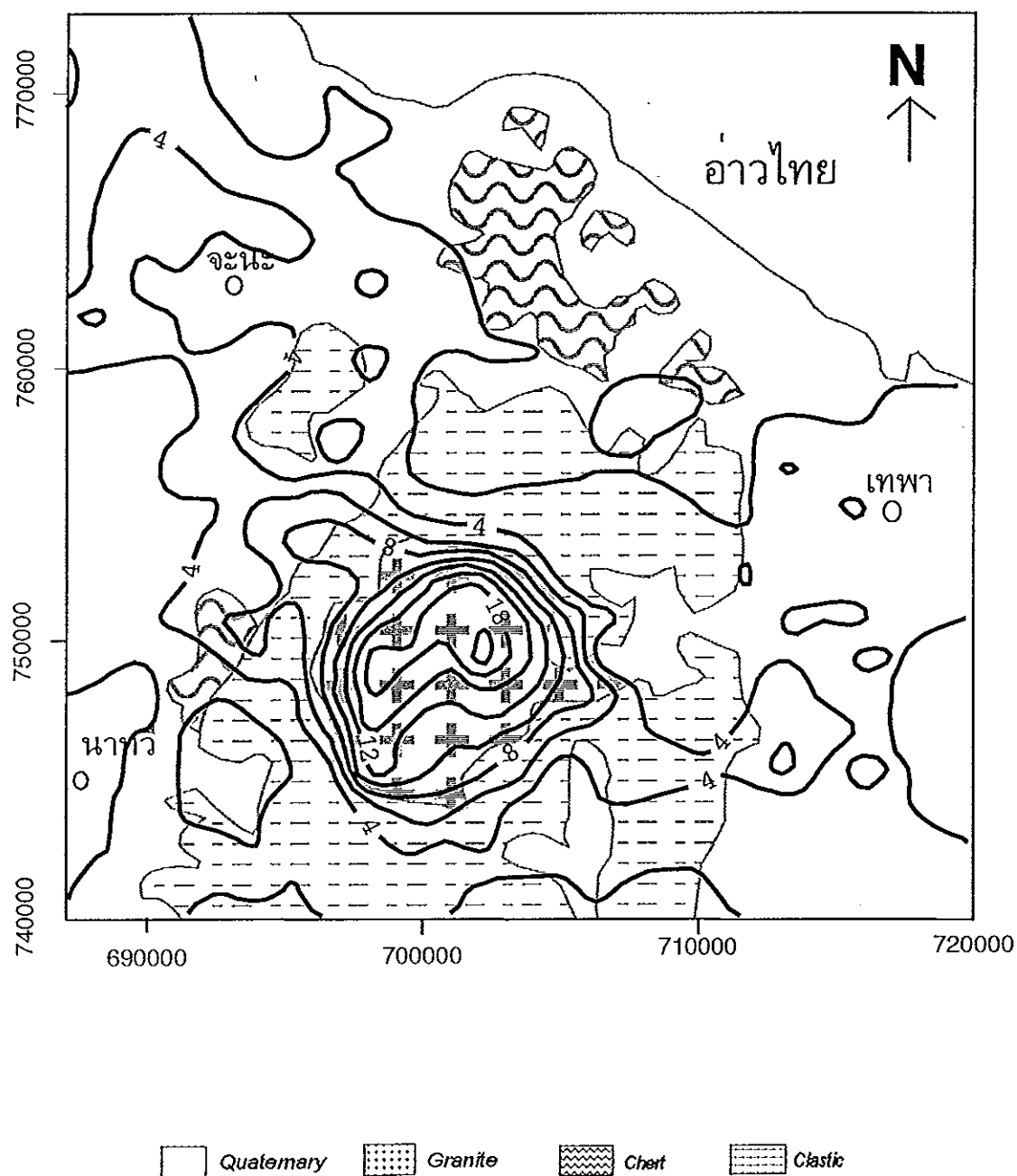
๖.๑ ผลการศึกษาปริมาณกัมมันตภารังสี จากการบินสำรวจ

ผลจากการศึกษาแผนที่กัมมันตภารังสีจากการบินสำรวจทางอากาศที่ระดับความสูง 122 เมตรของกรมทรัพยากรธรณี พ.ศ. 2532 พบว่าพลุตอนลิวเป็นบริเวณที่มีปริมาณความเข้มของโพแทสเซียม (K) มากกว่า ๑% ปริมาณความเข้มของยูโรเนียมสมมูล (eU) มากกว่า ๖ ppm และปริมาณความเข้มของทอยเรียมสมมูล (eTh) มากกว่า ๑๔ ppm ดังภาพประกอบ 41, 42 และ 43 ตามลำดับ มีขอบเขตของพลุตอนลิวในแนวราบปรากฏเป็นพื้นที่วงกลมได้ก่อขึ้นซึ่งดัดเจน โดยมีเส้นผ่าศูนย์กลางประมาณ ๙ กิโลเมตร

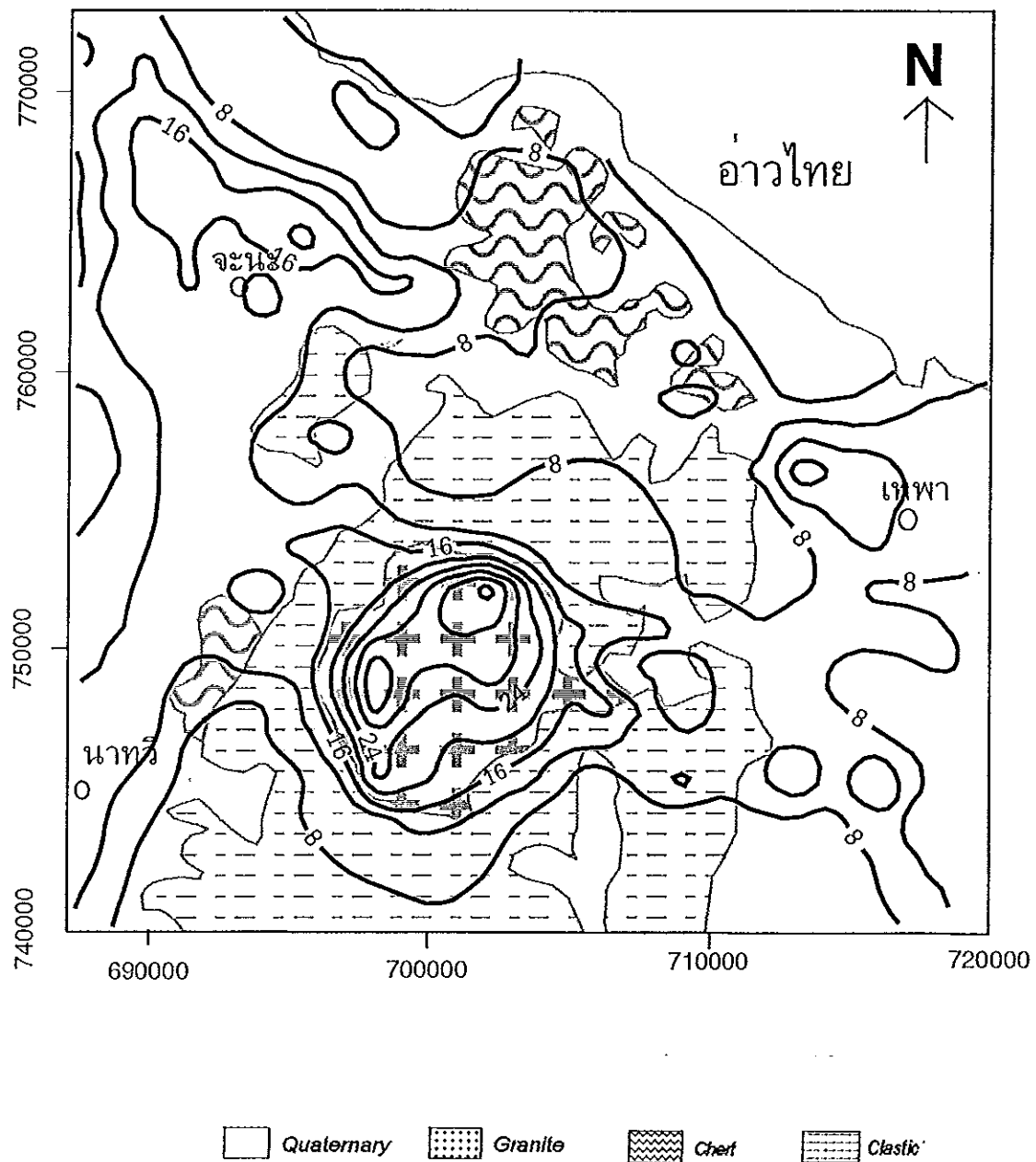
ภาพประกอบ 41 แผนที่ค่อนหัวร์โพแทสเซียม (K) ในหน่วยร่องคล่องช้อนหินแคนท์รัฐ
วิทยาของพื้นที่ศึกษา



ภาพประกอบ 42 แผนที่ค่อนทั่วญี่ปุ่นสมมูล (eU) ในหน่วย ppm ซึ่งอนทับแผนที่
ธรณีวิทยาของพื้นที่กีกามา



ภาพประกอบ 43 แผนที่ค่อนข่าวร์ทอเรียมสมมุต ($e\text{Th}$) ในหน่วย ppm ชื่อทับแผนที่
ธรณีวิทยาของพื้นที่ศึกษา



6.2 การวิเคราะห์เพื่อหาปริมาณความเข้มของไฟแกสเชี่ยม ผู้เรียนสมบูรณ์ และก่อเรียงสมบูรณ์

ได้เก็บตัวอย่างหินโพลีไนบิเวกเพ็นท์ศึกษามาวิเคราะห์ในห้องปฏิบัติการ เพื่อตรวจประเมินคุณภาพความเข้มข้นของโพแทสเซียม ยูเรเนียมสมมูล และทอเรียมสมมูล โดยใช้สเปกโตรมิเตอร์รังสีแกมมา ทั้งนี้เพื่อกำหนดให้ชัดเจนว่าเป็นราดักกัมมันตรังสีตันกำเนิดชนิดใด และมีปริมาณมากน้อยเพียงใด

ตาราง 8 ความแรงรังสีและปริมาณความเข้มข้นของโพแทสเซียม ยูเรเนียมสมมูลและทอเรียมสมมูล ในหินแกรนิต

ตัวอย่าง	K (Bq/Kg)	eU (Bq/Kg)	eTh (Bq/Kg)	K (%)	eU (ppm)	eTh (ppm)
A28	2143.72 ±18.63	66.18 ±1.86	497.46 ±65.84	6.95 ±0.06	16.13 ±0.45	34.18 ±4.34
A30	1824.50 ±23.60	61.65 ±2.44	338.95 ±66.62	5.91 ±0.08	15.02 ±0.59	23.22 ±4.39
A31	1972.77 ±17.87	105.45 ±2.35	501.51 ±65.87	6.39 ±0.06	25.70 ±0.57	34.47 ±4.34

ตัวอย่าง	K (Bq/Kg)	eU (Bq/Kg)	eTh (Bq/Kg)	K (%)	eU (ppm)	eTh (ppm)
A33	1806.59 ± 11.74	52.26 ± 1.15	462.92 ± 63.92	5.85 ± 0.04	12.74 ± 0.28	31.80 ± 4.18
A34	2935.88 ± 16.68	73.18 ± 1.52	439.68 ± 63.95	9.51 ± 0.05	17.83 ± 0.37	30.19 ± 4.20
A35	1586.44 ± 9.12	80.02 ± 1.19	497.46 ± 62.99	5.14 ± 0.03	19.50 ± 0.29	34.18 ± 4.14
P7	1554.99 ± 8.24	125.18 ± 1.37	540.77 ± 62.82	5.04 ± 0.03	30.51 ± 0.33	37.18 ± 4.13
เฉลี่ย	1974.99 ± 15.13	80.56 ± 1.70	468.39 ± 64.53	6.40 ± 0.05	19.63 ± 0.41	32.17 ± 4.24

จากตาราง 8 ปริมาณความเข้มข้นของ โพแทสเซียมเฉลี่ย $6.40 \pm 0.05\%$ ยูเรียมสมมูลเฉลี่ย $19.63 \pm 0.41\text{ ppm}$ และทอเรียมสมมูลเฉลี่ย $32.17 \pm 4.24\text{ ppm}$ ทั้งปริมาณ โพแทสเซียม ยูเรเนียมสมมูล และทอเรียมสมมูล มีค่าสูงกว่าที่เกรยกางานไว้โดยยังชัย พิ่งรักษ์มี(2535) ว่า หินแกรนิตบริเวณนี้มีปริมาณ โพแทสเซียมเฉลี่ย 3.34 เปอร์เซ็นต์และโดย กิตติชัย วัฒนาธนกร และคณะ(2527) ว่า หินแกรนิตมีค่าปริมาณธาตุ โพแทสเซียม 3.3-3.8 เปอร์เซ็นต์ ยูเรเนียมสมมูล 4-5 ppm และทอเรียมสมมูล 15-18 ppm

ตาราง 9 ความแรงรังสีและปริมาณความเข้มข้นของ โพแทสเซียม ยูเรเนียมสมมูลและ ทอเรียมสมมูลในหินทินเทิร์ต

ตัวอย่าง	K (Bq/Kg)	eU (Bq/Kg)	eTh (Bq/Kg)	K (%)	eU (ppm)	eTh (ppm)
A12	138.72 ± 17.01	9.53 ± 0.27	126.93 ± 60.42	0.45 ± 0.06	2.32 ± 0.07	8.56 ± 3.96
A13	198.86 ± 28.11	6.37 ± 0.42	197.11 ± 62.00	0.64 ± 0.09	1.55 ± 0.10	13.41 ± 4.07

ตัวอย่าง	K (Bq/Kg)	eU (Bq/Kg)	eTh (Bq/Kg)	K (%)	eU (ppm)	eTh (ppm)
A16	329.22 ± 44.72	27.60 ± 1.30	285.42 ± 64.49	1.07 ± 0.14	6.73 ± 0.32	19.52 ± 4.24
A19	76.59 ± 18.18	0.00	163.82 ± 66.13	0.25 ± 0.06	0.00	9.02 ± 4.04
A26	205.71 ± 30.15	7.94 ± 0.51	136.23 ± 61.55	0.67 ± 0.10	1.93 ± 0.13	6.51 ± 4.00
A29	227.29 ± 11.33	26.08 ± 2.31	97.31 ± 60.99	0.74 ± 0.04	6.36 ± 0.56	11.11 ± 4.36
P305	413.43 ± 43.00	11.57 ± 0.49	136.39 ± 61.12	1.34 ± 0.12	2.82 ± 0.12	9.21 ± 4.01
P308	334.09 ± 48.60	19.20 ± 1.26	137.76 ± 62.98	1.08 ± 0.16	4.68 ± 0.31	9.31 ± 4.14
P311	298.32 ± 47.88	19.36 ± 1.37	253.42 ± 65.44	0.97 ± 0.16	4.72 ± 0.33	17.31 ± 4.31
P326	0.00	5.71 ± 0.31	94.32 ± 60.51	0.00	1.39 ± 0.08	6.30 ± 3.97
เฉลี่ย	359.16 ± 36.99	12.91 ± 0.71	162.87 ± 62.56	1.16 ± 0.12	3.15 ± 0.17	11.05 ± 4.11

ตาราง 10 ความแรงรังสีและปริมาณความเข้มข้นของ ไนเตรตเชิง ยูเรเนียมสมมูลและ ทอเรียมสมมูลในหมู่หินศรีชิน

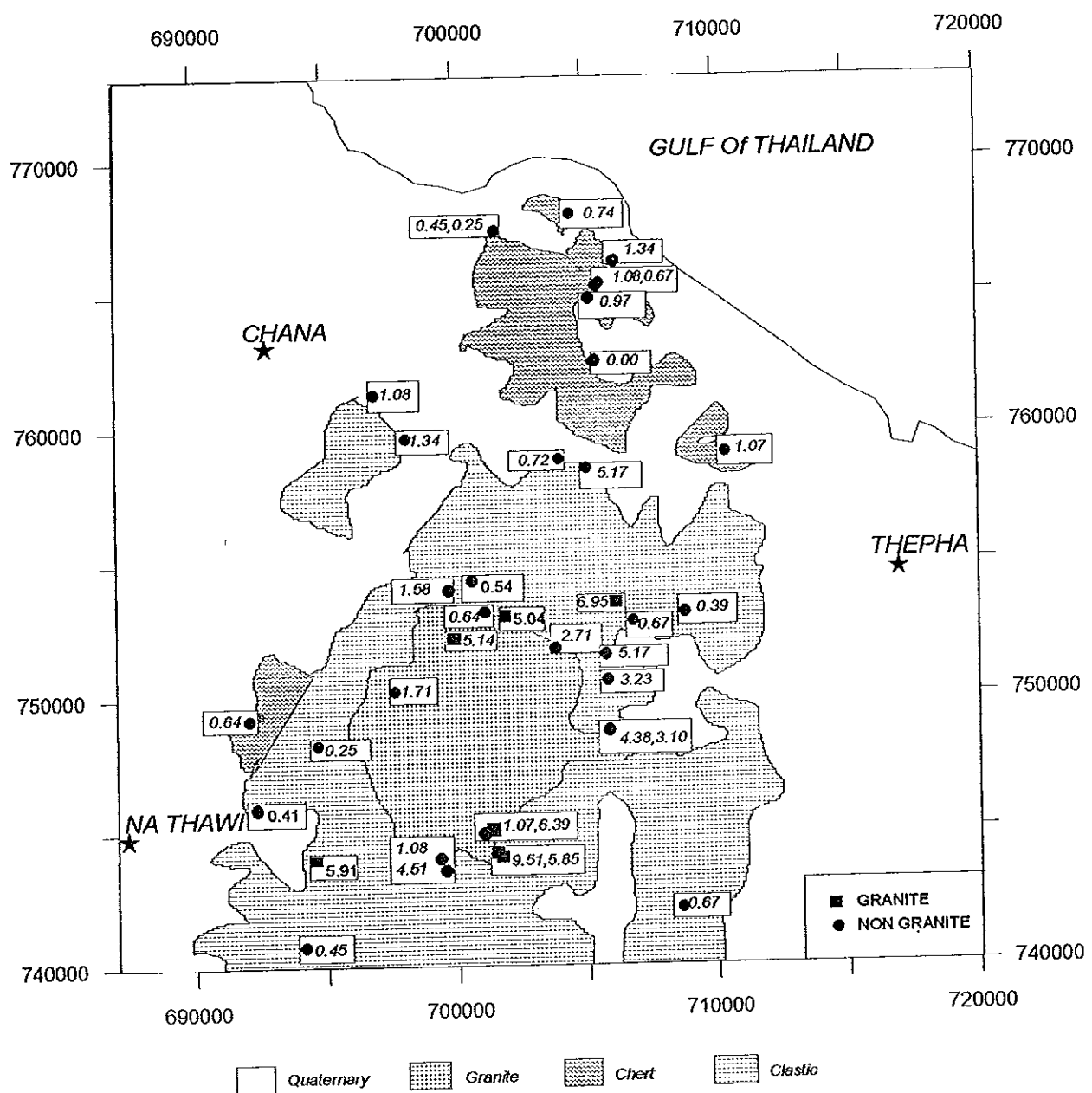
ตัวอย่าง	K (Bq/Kg)	U (Bq/Kg)	Th (Bq/Kg)	K (%)	U (ppm)	Th (ppm)
A9	236.82 ± 3.71	9.53 ± 0.27	153.13 ± 61.24	0.45 ± 0.06	2.32 ± 0.07	8.05 ± 0.95

គ្រាមីនាំង	K (Bq/Kg)	eU (Bq/Kg)	eTh (Bq/Kg)	K (%)	eU (ppm)	eTh (ppm)
A10	1271.99 ± 9.51	6.37 ± 0.42	226.38 ± 62.06	0.64 ± 0.09	1.55 ± 0.10	10.14 ± 1.53
A11	1285.21 ± 5.57	27.60 ± 1.30	223.04 ± 60.94	1.07 ± 0.14	6.73 ± 0.32	10.41 ± 1.97
A14	1775.64 ± 19.70	21.81 ± 1.14	373.98 ± 65.82	5.17 ± 0.32	5.32 ± 0.28	18.31 ± 2.59
A15	314.53 ± 6.57	0.00	215.32 ± 62.99	0.25 ± 0.06	0.00	11.39 ± 1.70
A20	35.04 ± 1.20	7.94 ± 0.51	67.33 ± 59.96	0.67 ± 0.10	1.93 ± 0.13	0.00
A21	187.95 ± 3.81	11.57 ± 0.49	133.09 ± 61.29	1.34 ± 0.12	2.82 ± 0.12	9.34 ± 1.36
A22	53.21 ± 3.00	19.20 ± 1.26	134.20 ± 62.22	1.08 ± 0.16	4.68 ± 0.31	7.28 ± 1.80
A23	222.20 ± 8.48	7.48 ± 0.87	147.85 ± 63.66	0.72 ± 0.03	1.82 ± 0.21	12.08 ± 2.47
A24	528.38 ± 3.47	15.98 ± 0.36	179.79 ± 60.71	1.71 ± 0.01	3.89 ± 0.21	6.72 ± 0.87
A25	207.40 ± 5.16	5.86 ± 0.50	152.58 ± 62.12	0.67 ± 0.02	1.43 ± 0.12	5.43 ± 1.28
A27	166.59 ± 2.17	4.79 ± 0.22	127.79 ± 60.53	0.54 ± 0.01	1.17 ± 0.05	5.85 ± 0.87
A32	956.50 ± 9.38	27.57 ± 0.92	179.21 ± 61.98	3.10 ± 0.03	6.72 ± 0.22	14.29 ± 1.88
A36	126.95 ± 3.76	0.00	155.77 ± 61.97	0.41 ± 0.01	0.00	7.51 ± 1.44

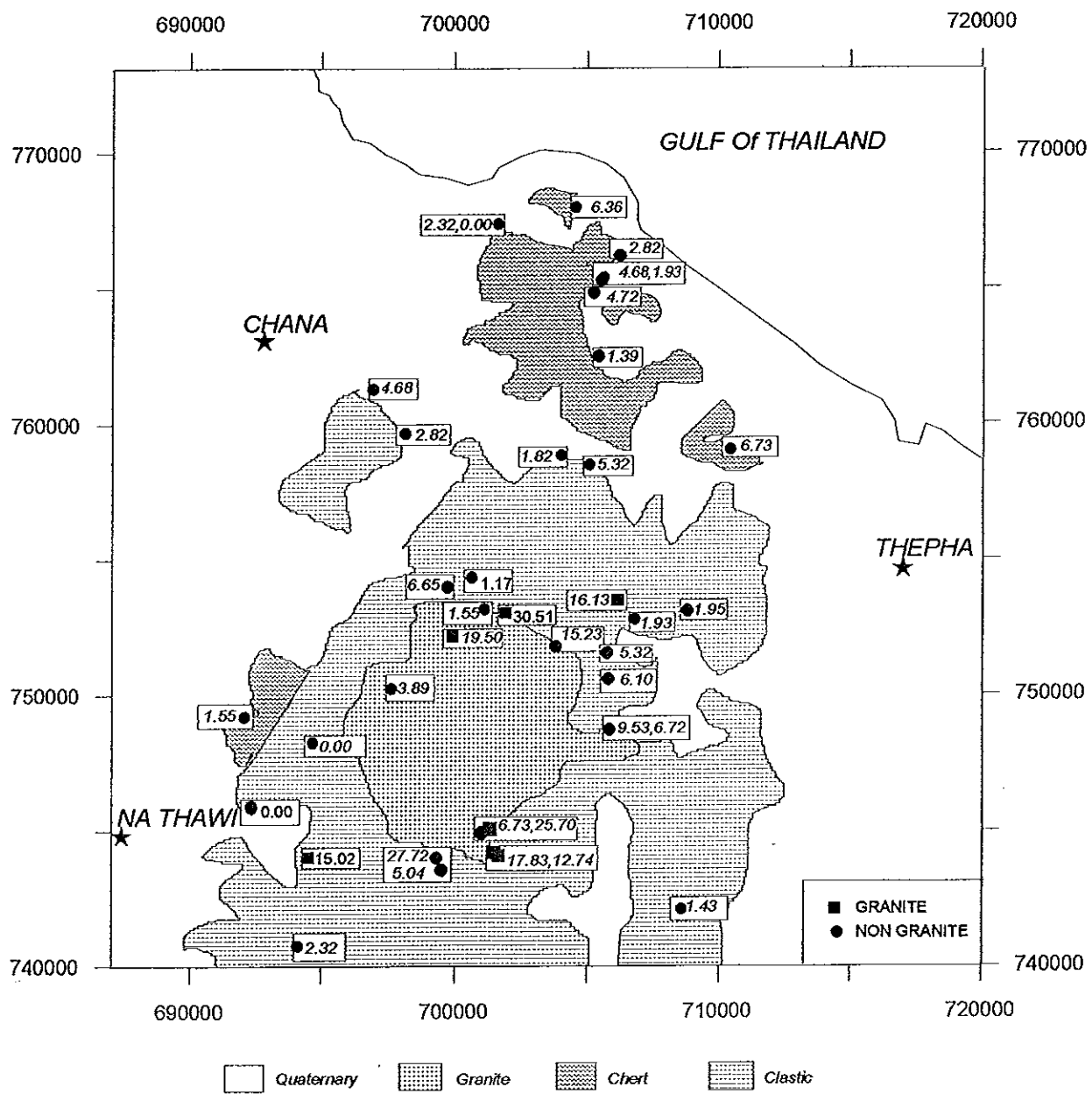
ตัวอย่าง	K (Bq/Kg)	eU (Bq/Kg)	eTh (Bq/Kg)	K (%)	eU (ppm)	eTh (ppm)
P2	486.50 ± 5.96	27.27 ± 0.82	220.87 ± 62.05	1.58 ± 0.02	6.65 ± 0.20	7.65 ± 1.29
P12	837.17 ± 19.06	62.49 ± 2.90	355.63 ± 68.33	2.7 ± 0.06	15.23 ± 0.71	17.38 ± 3.21
P17	1596 ± 97.60	21.18 ± 1.14	281.12 ± 64.35	5.17 ± 0.32	5.32 ± 0.28	19.22 ± 4.23
P39	1352.49 ± 8.66	39.10 ± 0.86	267.11 ± 62.00	4.38 ± 0.03	9.53 ± 0.21	11.15 ± 1.44
P123	118.88 ± 2.40	80.2 ± 0.36	104.12 ± 60.61	0.39 ± 0.01	1.95 ± 0.09	8.31 ± 1.20
P242	1391.87 ± 15.14	20.67 ± 1.05	272.29 ± 63.98	4.51 ± 0.05	5.04 ± 0.26	9.61 ± 1.82
P243	334.09 ± 10.73	113.73 ± 3.5	217.69 ± 65.22	1.08 ± 0.03	27.72 ± 0.85	0.00
P287	995.47 ± 24.71	25.020 ± 2.17	308.37 ± 69.25	3.23 ± 0.08	6.10 ± 0.53	16.96 ± 3.50
เฉลี่ย	596.01 ± 8.39	20.45 ± 0.91	204.39 ± 62.88	1.93 ± 0.03	4.98 ± 0.22	13.92 ± 4.13

จากตาราง 8,9 และ 10 พบร่วมกันว่าความเข้มข้นของ โพแทสเซียม ยูเรเนียมสมบูรณ์ และ ทอเรียมสมบูรณ์ ในหินแกรนิตมีปริมาณกว่าในหินที่มีเชิร์ตและหินแคนธ์ชิน

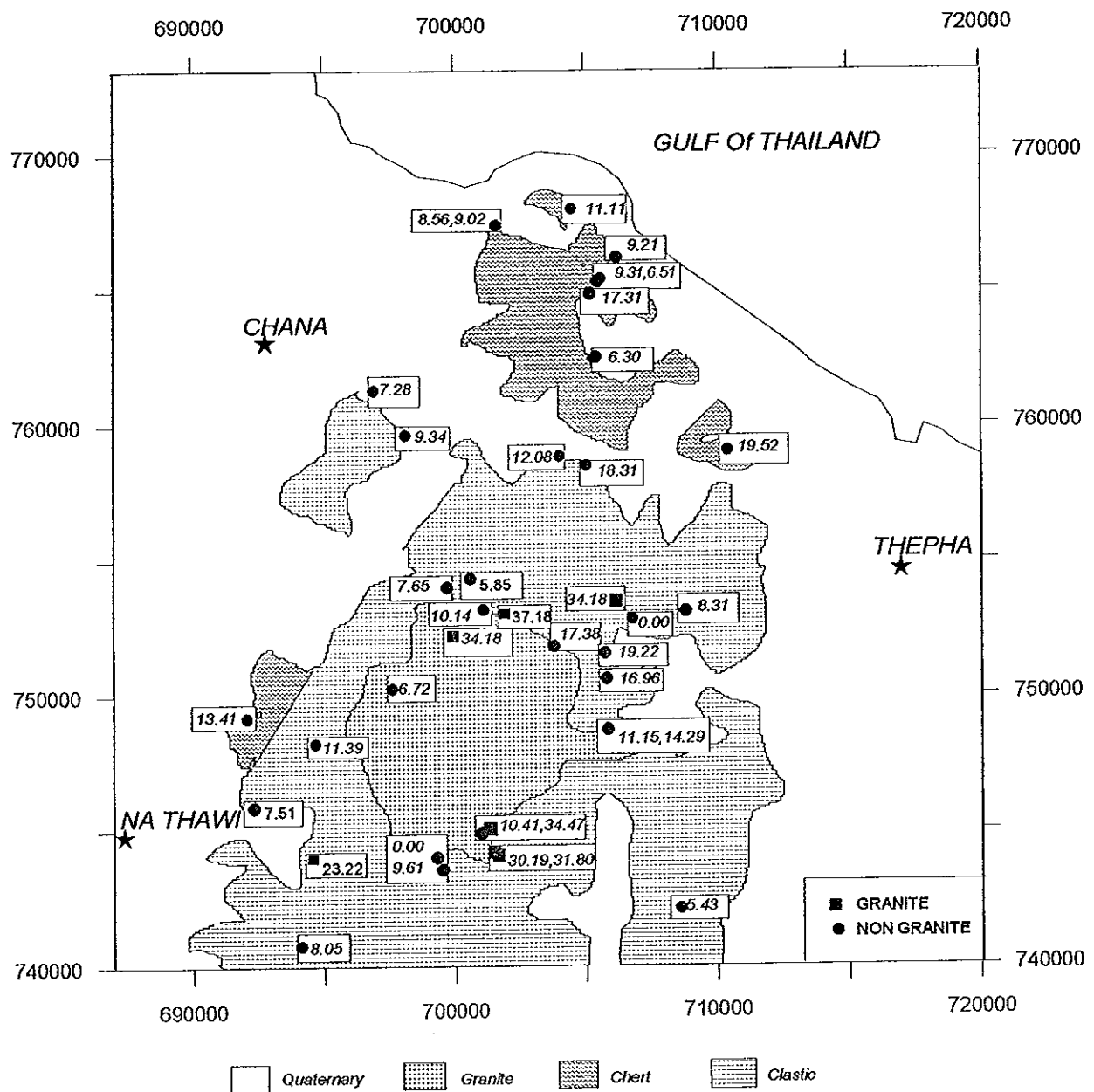
ภาพประกอบ 44 ค่าความเข้มของ K ในตัวอย่างหินจากการวิเคราะห์ด้วย
สเปกโตรนิเตอร์รังสีแกมมา



ภาพประกอบ 45 ค่าความชื้นของ EP ในตัวอย่างหินจากการวิเคราะห์ด้วย
สเปกโตรมิเตอร์รังสีแกมมา



ภาพประวัติ 46 ค่าความเข้มของ eTh ในตัวอย่างหินจากการวิเคราะห์ด้วย
สเปกตรومิเตอร์รังสีแกมมา



บทที่ 4

บทวิจารณ์และสรุป

ได้จำแนกบทวิจารณ์และสรุปผลออกเป็นข้อ ๆ ดังต่อไปนี้

1. ข้อวิจารณ์ความสูงของจุดวัดในพื้นที่ศึกษาวิชัยซึ่งอ่านจากมาตรฐานระดับความสูง
2. ข้อวิจารณ์ค่าความหนาแน่นของหินหัวอย่าง ในพื้นที่ศึกษาวิชัย
3. ข้อวิจารณ์ค่าผิดปกติของความถ่วง
4. ข้อวิจารณ์ค่าผิดปกติของสนามแม่เหล็กรวมของโลก
5. ข้อวิจารณ์ผลการแปลความค่าผิดปกติของความถ่วงและค่าผิดปกติของความเข้มสนามแม่เหล็กรวมของโลก
6. ข้อวิจารณ์ค่าผิดปกติของกัมมันตภาพรังสี

1. ข้อวิจารณ์ค่าความสูงของจุดวัดในพื้นที่ศึกษา ซึ่งอ่านจากมาตรฐานระดับความสูง

จากการวัดค่าความสูงของพื้นที่โดยใช้นาฬิกาเล็กกระหัตต์ น้ำหนักเบา สามารถพาเกลื่อนที่ได้สะ俗ก ถึงแม้ว่าความคลาดเคลื่อนของความสูงจุดวัด ซึ่งได้จากการอ่านมาตรฐานระดับความสูงของจุดวัดที่เลือกจำนวน 10 จุดจะมีพิสัยค่อนข้างกว้าง กล่าวคือระหว่าง -4.2 m ถึง 3.9 m แต่จะมีค่าเฉลี่ยที่ก่อนข้างคืบเชิงเท่ากับ 0.2 m และการนี่ยงเบนมาตรฐานเท่ากับ 3.3 m โดยพบว่าภาคตัดขวางของค่าผิดปกติของความถ่วงมีลักษณะคล้ายกับภาคตัดขวางของค่าผิดปกติของความถ่วงซึ่งความสูงได้จากการทำรังวัตระดับแต่มีค่าต่ำกว่าโดยเฉลี่ยประมาณ 40 cm ซึ่งจะส่งผลให้แบบจำลองทางชีววิทยาของภาคตัดขวางหั้งสองคล้ายกัน

2. ข้อวิจารณ์ค่าความหนาแน่นของหินหัวอย่างในพื้นที่ศึกษา

ความหนาแน่นของหินหัวอย่างหิน ซึ่งเก็บมาจากหินโ碌ในบริเวณพื้นที่ศึกษาจำนวน 40 ตัวແเน่ง โดยแต่ละตัวແเน่งได้เก็บรวมมาประมาณ 1-4 ตัวหัวอย่าง เป็นคังนีคือ หินแกรนิตดิว หมุหินเกรชิน และหมุหินเซอร์ต มีค่าความหนาแน่นเฉลี่ยเท่ากับ $2536 \pm 17 \text{ kg/m}^3$, $2521 \pm 19 \text{ kg/m}^3$ และ $2488 \pm 28 \text{ kg/m}^3$ ตามลำดับ เป็นที่น่าสังเกตว่าความหนาแน่นเฉลี่ยของ

หินแกรนิตลิวมีค่า�้อยกว่าของหินแกรนิตทั่วไป เช่นหินแกรนิตสังขลา (2620 kg/m^3) หันนี้อาจเนื่องจากหินแกรนิตลิวมีลักษณะค่อนข้างผุ นอกจากนี้ยังพบว่าหินแกรนิตลิว หมู่หินเสบชิน และหมู่หินเซร์ทมีค่าความหนาแน่นใกล้เคียงกันซึ่งทำให้ค่าพิเศษปักติของความถ่วงเหนือบริเวณพลูตอนลิวไม่สูงอย่างเด่นชัด

3. ข้อวิจารณ์ค่าพิเศษปักติความถ่วง

ถึงแม้ว่าค่าพิเศษปักติของความถ่วงเหนือบริเวณพลูตอนลิวไม่สูงอย่างเด่นชัดนี้ ออกจากความหนาแน่นของหินโ碌ในพื้นที่ศึกษามีค่าไม่แตกต่างกันมากนัก แต่สามารถกำหนดขอบเขตของพลูตอนลิวได้จากบริเวณที่ก้อนหัวร์ค่าพิเศษปักติของความถ่วงมีค่าประมาณ $201-230 \text{ gu}$ ในขณะที่ค่าพิเศษปักติของความถ่วงบนหมู่หินเซร์ทเท่ากับ $231-280 \text{ gu}$ และหมู่หินเสบชินเท่ากับ $190-210 \text{ gu}$

4. ข้อวิจารณ์ค่าพิเศษปักติของสนามแม่เหล็กรวมของโลก

ค่าพิเศษปักติของสนามแม่เหล็กโลกในพื้นที่ศึกษา ที่ได้จากการบินสำรวจทางอากาศ (survey C) มีค่าก้อนหัวร์ค่อนข้างต่ำ โดยของพลูตอนลิวมีค่าก้อนหัวร์ต่ำคือประมาณ $10-16 \text{ nT}$ โดยปรากฏเป็นเส้นก้อนหัวร์ต่ำและมีลักษณะปีกอยู่ด้านตะวันออกเฉียงเหนือของพลูตอนลิวในขณะที่ค่าพิเศษปักตินบนหมู่หินเซร์ทเท่ากับ $22-26 \text{ nT}$ และบนหมู่หินเสบชินเท่ากับ $18-26 \text{ nT}$

ค่าสภาพรับໄร์ได้ทางแม่เหล็กของหินแกรนิตจากการวัดเพียง 1 ตำแหน่งในตาราง 4 พบว่ามีค่าเบี่ยงเบนมาตรฐานสูงกว่าข้อมูลที่รับได้ และดูว่าข้อมูลมีความเป็นนัยสำคัญต่ำ หันนี้จากการนำค่ามาเฉลี่ย 3 ครั้งให้ผลการวัดลดลงเรื่อยๆ ซึ่งอาจจะเป็นผลมาจากการพยายามแม่เหล็กหรือสถานะเหตุอื่นในขณะที่ทำการวัด

5. ข้อวิจารณ์ผลการแปลความค่าพิเศษปักติของความถ่วง และค่าพิเศษปักติของความเข้มสนามแม่เหล็กรวมของโลก

ผลจากการศึกษาด้านความถ่วงและความเข้มสนามแม่เหล็กรวมของโลกได้แสดงเป็นแผนที่ก้อนหัวร์ค่าพิเศษปักตินูเกอร์สัมบูรณ์(ค่าพิเศษปักติของก้อนหัวร์) และแผนที่ก้อนหัวร์ค่าพิเศษปักติของสนามแม่เหล็กรวมของโลก แผนที่จะประกอบด้วยเส้นก้อนหัวร์ที่ลากฟันธุตต่างๆ ที่มีค่าพิเศษปักตินูเกอร์สัมบูรณ์และ ค่าพิเศษปักติของสนามแม่เหล็กโลกเท่ากัน

ขอนเบตของพลุตอนลิวในแนวคั่ง ได้จากการแบ่งความหมายค่าผิวปูดติของความถ่วง และค่าผิวปูดติของสานามแม่เหล็กรวมของโลกของพื้นที่ศึกษาวิจัย บนภาคตัดขวางซึ่งมีพิศอยู่ในแนว SW-NB จำนวน 5 แนว แต่ละแนวห่างกัน 5 กิโลเมตร แล้วสร้างแบบจำลองของพลุตอน โดยอาศัยโปรแกรม GMM และข้อมูลทางธรรพ์วิทยาของพื้นที่ศึกษา

ค่าผิวปูดติของความถ่วงและค่าผิวปูดติของสานามแม่เหล็กรวมของโลกในแนว AB คำนวณได้จากแบบจำลองพลุตอนลิวเดิม(ธงชัย พึงรัศมี,2535)ไม่สอดคล้องกับค่าผิวปูดติที่วัดได้ เมื่อใช้ค่าพารามิเตอร์ที่ได้จากการวัดในพื้นที่ศึกษา และพบว่าแบบจำลองของพลุตอนลิวที่เหมาะสม จะเป็นแกรนิตลิวซึ่งแทรกดันเข้ามาในพื้นตะกอนยุคไทรแอฟซิก(หมู่หินเสบชั้น) และวางอยู่บนพื้นแกรนิตสังขola ซึ่งมีความหนาแน่นมากกว่า แต่มีค่าสภาพรับไว้ได้ทางแม่เหล็กและอาชุน้อยกว่าพื้นที่แกรนิตลิว(ความหนาแน่น 2620 kg/m³ ค่าสภาพรับไว้ได้ทางแม่เหล็ก 0.00001 SI และอาชุนกูแรสซิก) ซึ่งค่าผิวปูดติของความถ่วงและค่าผิวปูดติสานามแม่เหล็กรวมของโลก ที่คำนวณได้จากแบบจำลองสอดคล้องกับค่าผิวปูดติที่วัดได้มีลักษณะเป็นรูปหัวใจง่าย มีความลึกประมาณ 450 เมตร

6. ข้อวิจารณ์ค่ากัมมันตภาพรังสีผิวปูดติ

แผนที่ก้อนหัวร์ค่าผิวปูดติของก้อนมันตรังสีทั้ง 3 ชนิดกือ ไฟแทสเซียม ยูเรเนียม สมมูล และท่อเรียมสมมูล พบว่าสามารถกำหนดขอบเขตของพลุตอนลิวในแนวราบได้ชัดเจน กล่าวก็อ้มมีลักษณะเป็นพื้นที่วงกลมที่มีเส้นผ่าศูนย์กลางประมาณ 9 กิโลเมตร ปรากฏอยู่เหนือพลุตอนลิวบนแผนที่ธรรพ์วิทยาของพื้นที่ศึกษา(ภาพประกอบ 6)

การวิเคราะห์ ปริมาณไฟแทสเซียม ยูเรเนียมสมมูล และท่อเรียมสมมูลโดยเครื่องสเปกต์โรมิเตอร์รังสีแกมมาพบว่าพื้นแกรนิตลิวมีปริมาณไฟแทสเซียม ยูเรเนียมสมมูลและท่อเรียมสมมูลสูงกว่าหมู่หินเสบชั้นและหมู่หินเชิร์ต โดยพื้นแกรนิตลิวมีปริมาณไฟแทสเซียมและลีด 6.40±0.05 เมอร์เซ็นต์ ปริมาณยูเรเนียมสมมูลเฉลี่ย 19.63 ±0.41 ppm และปริมาณท่อเรียมสมมูลเฉลี่ย 32.17±4.24 ppm ในขณะที่หมู่หินเสบชั้นมีปริมาณไฟแทสเซียมเฉลี่ย 1.93±0.03 เมอร์เซ็นต์ปริมาณยูเรเนียมสมมูลเฉลี่ย 4.98±0.22 ppm และปริมาณท่อเรียมสมมูลเฉลี่ย 13.92±4.13 ppm หมู่หินเชิร์ตมีปริมาณไฟแทสเซียมเฉลี่ย 1.16±0.12 เมอร์เซ็นต์ ปริมาณยูเรเนียมสมมูลเฉลี่ย 3.15±0.17 ppm และปริมาณท่อเรียมสมมูลเฉลี่ย 11.05±4.11 ppm ดังนั้นบริเวณที่เส้นก้อนหัวร์ของไฟแทสเซียม, ยูเรเนียมสมมูลและท่อเรียมสมมูล มีค่าสูงจึงปรากฏอยู่เหนือบริเวณพลุตอนลิวเท่านั้น

สรุปผลการวิจัย

วิธีทางธุรกิจสืบค้านความถ่วง ซึ่งใช้ประโยชน์จากการเปลี่ยนแปลงของค่าความหนาแน่น ระเบียนวิธีแม่เหล็กซึ่งใช้ประโยชน์จากการเปลี่ยนแปลงของค่าสภาพรับไว้ได้ทางแม่เหล็ก และระเบียนวิธีก้มมันตรังสีซึ่งใช้ประโยชน์จากการปริมาณก้มมันตราหัวรังสีจากหินและแร่ สามารถนำมาใช้สำหรับการกำหนดขอบเขตของพุกต่อนลิวิ้ง จังหวัดสงขลา ทั้งในแนวคิ่งและแนวราบ โดยพบว่าพุกต่อนลิวิ้ง ซึ่งแทรกซ้อนเข้ามาในหินตะกอนยุคไทรแอสซิก มีรูปร่างของด้วยหงาย มีความลึกประมาณ 450 เมตรและมีเส้นผ่าศูนย์กลางประมาณ 14-20 กิโลเมตรที่ระดับน้ำทะเลปานกลาง และพบว่าตอนทั่วทั่วที่ค่าผิวคลุมตื้นก้มมันตราหัวรังสี (โพแทสเซียม ยูเรเนียมสมมูล และทองเรียมสมมูล) สามารถกำหนดขอบเขตของพุกต่อนลิวิ้ง ในระดับตื้น (ระดับผิวดิน) โดยปรากฏอยู่เหนือบริเวณที่มีหินโพล่าของแกรนิตลิวิ้ง ทั้งนี้เนื่องจากก้มมันตราหัวรังสีถูกดูดกลืนไว้ได้โดยง่าย โดยคินซึ่งหนาไม่เกินหกเมตร นอกจากนี้ผลจากการศึกษาพุกต่อนลิวิ้ง จังหวัดสงขลา ด้วยวิธีธุรกิจสืบคันรังนี้ ได้ทราบพบว่าจะมีหินฐาน ซึ่งมีความหนาแน่นมาก แต่มีค่าสภาพรับไว้ได้ทางแม่เหล็กน้อย วงต่ออยู่ที่หินลิวิ้ง ทั้งนี้เนื่องจากหินตะกอนยุคไทรแอสซิก ซึ่งในการศึกษาครั้งนี้ได้กำหนดให้หินฐานนี้เป็นหินแกรนิตสงขลา ซึ่งไม่เป็นที่ออกขายแนวโน้ม-ใต้ ตั้งแต่อำเภอเมือง จังหวัดสงขลา ถึง อำเภอจะนะ จังหวัดสงขลา และอยู่ห่างจากที่ศึกษาไปทางด้านตะวันตกเฉียงเหนือประมาณ 20 กิโลเมตร

ข้อเสนอแนะ

เนื่องจากความแตกต่างของสมบัติทางกายภาพของพุกต่อนลิวิ้งกับหินข้างเคียง เช่น ค่าสภาพรับไว้ได้ทางแม่เหล็กและความหนาแน่น จะเป็นตัวกำหนดขอบเขตที่ถูกต้องของพุกต่อนลิวิ้งจากผลการแปลความข้อมูลความถ่วงและสนามแม่เหล็กโลก ดังนั้นในอนาคตควรเพิ่มตำแหน่งการวัดค่าสภาพรับไว้ได้ทางแม่เหล็กที่ตำแหน่งหินโพล่าต่างๆของพุกต่อนลิวิ้ง และควรมีการจำแนกการวัดค่าความหนาแน่นของหินแกรนิตเนื้อคอคอก และหินแกรนิตเนื้อเทา โดยจะต้องเดือยขนาดของหัวอย่างหินให้ใหญ่กว่าขนาดของแร่เฟลค์สปาร์ที่มีอยู่ในหัวอย่างหินแกรนิตให้เหมาะสม

บรรณานุกรม

กิตติศัย วัฒนานิกร. 2524. เอกสารประกอบการสอนกระบวนการวิชาฟิสิกส์พื้นฐานในทาง
ธรรมวิทยา. พิมพ์ครั้งที่ 1. ม.ป.ท. : ม.ป.พ.

-----, 2526. การสำรวจทรัพย์ฟิสิกส์สำหรับนักธรรมวิทยาและวิศวกร. พิมพ์ครั้งที่ 1.
กรุงเทพฯ : มิตรนราการพิมพ์.

-----, 2527. การศึกษาสารกันมันตัวรังสีอย่างเป็นระบบในหินชนิดต่างๆ ในบริเวณภาค
เหนือของประเทศไทย. ม.ป.ท. : ม.ป.พ.

-----, 2536. ธรรมดีฟิสิกส์ โครงสร้าง รูปทรงและสมบัติของโลก. พิมพ์ครั้งที่ 1.
เชียงใหม่ : สาขาฟิสิกส์ประยุกต์ คณะวิทยาศาสตร์ มหาวิทยาลัยเชียงใหม่.

ทรงษย พึงรัศมี. 2531. ธรรมดีวิทยาทั่วไป. พิมพ์ครั้งที่ 1. กรุงเทพฯ : โอด.อส.พรีน ดี.ส.
ไฮส.

-----, 2527. เอกสารคำสอนวิชา ดำเนินคของแหล่งแร่. สาขาวิชา : ภาควิชา
วิศวกรรมเหมืองแร่ คณะวิศวกรรมศาสตร์ มหาวิทยาลัย.(สำเนา)

-----, 2535. ธรรมดีวิทยาแหล่งแร่คีบูกบริเวณหินแกรนิตคลิง อำเภอจะนะ-นาทวี-
เทหา จังหวัดสงขลา. สาขาวิชา : ภาควิชาวิศวกรรมเหมืองแร่ คณะวิศวกรรมศาสตร์
มหาวิทยาลัยสงขลานครินทร์.

ทรัพยากรธรรม. 2532. ข้อมูลรังสีและสนามแม่เหล็กรวมของโลกจากการบินสำรวจ
(แผ่นบันทึกข้อมูล) กรุงเทพฯ : กรมทรัพยากรธรรม.

เกิดทุน ทองเจม. 2537. "การวิเคราะห์ใช้ไฟฟ้ากัมมันต์รังสีและจำแนกชนิดสารประกอบ
พื้นฐานในผู้คนภูเขาไฟปีนาฏโภ", โครงการฟิสิกส์. (สำเนา)

ปัญญา ชาڑศิริ วสันต์ พงศาพิชญ์ และชัยยุทธ ขันทปราบ. 2534. "แนวหินแกรนิตในประเทศไทย : หลักฐานใหม่ $^{40}\text{Ar} / {^{39}\text{Ar}}$ ", วิวัฒนาการธรณี. 36(มกราคม 2534) 43-62.

มหาวิทยาลัยเชียงใหม่, คณะวิทยาศาสตร์, ภาควิชาธรณีวิทยา. 2527. ธรณีวิทยาเล่ม 1. พิมพ์ครั้งที่ 1. กรุงเทพฯ : ไทยวัฒนาพาณิช.

ยงยุทธ ตรังคชสาร. 2523. ธรณีวิทยาและแหล่งแร่ในบริเวณจังหวัดสงขลา. สงขลา : สำนักงานทรัพยากรธรรมชาติและสิ่งแวดล้อม.

วรรณา โภหะวิจารณ์. 2537. "การสำรวจแกรนิต". สงขลา : ห้องปฏิบัติการธรณีฟิสิกส์ ภาควิชาฟิสิกส์ คณะวิทยาศาสตร์ มหาวิทยาลัยสงขลานครินทร์.(ดำเนิน)

แผนที่ทหาร, กรม. แผนที่ภูมิประเทศ 1/50,000 คำดับชุด L7017

Am,K. 1972. "The Arbitrarily Magnetized dyke ; Internation by charateristics", Geoexploration. 10(1972), 63-90.

Al-Rawi,F.and Brooks,M. 1992. "A deep crustal model to explain regional aeromagnetic and gravity anomalies in southwest England", Tectonophysics. 212(1992), 109-115.

Bott,M.H.P. and Smithson,S.B. 1967. "Gravity Investigations of Subsurface Shape and Mass Distributions of Granite Batholiths", Geological Society of America Bulletin. 78(1967), 859-878.

Bunopas,S.1982."Paleogeographic history of western Thailand and adjacent parts of South-East Asia-A plate tectonics interpretation,"Ph.D.Thesis, Victoria University of Wellington, New Zealand. reprinted 1982, Geological Survey Division, Department of Mineral Resources, Thailand.

Department of Mineral Resources, 1989. Aeromagnetic Map (Survey A, Survey C) 1/50,000, Bangkok.

Enmark,T. 1980. "A Preliminary model of the deep structure of the Arvidsjaur granite intrusion in Northern Sweden," In Development of Optimization Procedures for Gravity and Magnetic Interpretation and Their Application to Some Geological Structures in Northern Sweden, pp.36-76. Sweden : University of Lulea.

-----,and Nisca,D.H. 1982. " The Gallejaur Intrusion in Northern Sweden A Geophysical Study ", In Development of Optimization Procedures for Gravity and Magnetic Interpretation and Their Application to Some Geological Structures in Northern Sweden, pp.36-76. Sweden : University of Lulea.

Enmark,T., et al. 1980. " A combined Geological, Petrophysical and Geophysical of the Nottrask Gabbro, Northern Sweden, In Development of Optimization Procedures for Gravity and Magnetic Interpretation and Their Application to Some Geological Structures in Northern Sweden, pp. 77-129. Sweden : University of Lulea.

-----, and Parasnus,D.S. 1980. " Ambiguity in gravity interpretation and the deep structure of the Jorn-Bastutrask area of the skellefte field in Northern Sweden ", In In Development of Optimization Procedures for Gravity and Magnetic Interpretation and Their Application to Some Geological Structures in Northern Sweden, pp.26- 35. Sweden : University of Lulea.Geological Research Project Prince of Songkhla University. 1980. Some Triassic and Associated strata of southern Thailand. s.l. : s.n.

Ishihara, S., Sawata, H., Arpornsuwan, S., Busarcome, P., and Bungbrakearti, N., 1979.

"The magnetic-series and ilmenite-series granitoids and their bearing on tin

ภาคผนวก

ภาคผนวก ก

ข้อมูลความถ่วงที่ได้จากการวัดใน อำเภอจะนะ เทพา นาทวี และอำเภอสะบ้าย้อย

gravimeter:LACOARSE & ROMBERGE G-490

$$g_{\text{lat}} : 9780318 * (1 + 0.0053024 * [\sin(\text{lat})]^2) - 0.0000059 * [\sin^2(2\text{lat})]^2$$

$$\text{FC} : 3.072 * \text{H}$$

$$\text{BC} : 0.0004191 * 2500 * \text{H}$$

$$\text{TC} : \text{T} * 2500$$

$$\text{BA} : g_{\text{obs}} - g_{\text{lat}} + \text{FC} - \text{BC} + \text{TC}$$

$$\text{density} : 2500 \text{ kg/m}^3$$

STN	X-GRID	Y-GRID	LAT	g_obs	g_lat	H	FC	BC	TC	BA
			(deg)	(gu)	(gu)	(m)	(gu)	(gu)	(gu)	(gu)
	9781	9780								

P0	699000	754600	6.824	203.6	47.0	23.087	71	21	2.02	208
p1	699350	754450	6.823	191.8	46.7	20.978	64	19	1.61	192
p2	699700	754000	6.819	166.6	45.8	28.331	87	26	1.83	183
p3	700000	753600	6.815	152.2	45.1	27.165	83	25	2.38	168
p4	700500	753500	6.814	119.2	44.9	41.816	128	39	1.98	166
p5	700950	753000	6.810	109.7	43.9	49.841	153	46	4.31	177
p6	701400	753200	6.811	144.8	44.3	54.679	168	50	5.35	223
p7	701900	753050	6.810	1.7	44.0	66.018	203	61	4.27	104
p8	702250	752800	6.808	60.3	43.5	74.671	229	69	4.00	181
p0	702350	754600	6.824	203.6	47.0	23.087	71	21	2.02	208
p8	702250	752800	6.808	60.3	43.5	74.671	229	69	4.00	181

p9	702350	752500	6.805	66.3	42.9	74.601	229	69	3.12	187
p10	702900	752150	6.802	79.8	42.3	65.657	202	61	3.52	182
p11	703400	751950	6.800	97.3	41.9	58.668	180	54	3.17	185
p12	703800	751800	6.799	126.5	41.6	39.689	122	37	3.89	174
p13	704300	751650	6.797	121.8	41.3	45.077	138	42	7.04	184
p14	704800	751550	6.797	138.0	41.1	42.517	131	39	6.29	195
p8	702250	752800	6.808	60.3	43.5	74.671	229	69	4.00	181
p14	704800	751550	6.797	138.0	41.1	42.517	131	39	6.29	195
p15	705100	751250	6.794	163.0	40.5	32.880	101	30	3.92	197
p16	700400	751450	6.796	141.3	40.9	39.392	121	36	7.44	193
p17	750750	751550	6.797	154.8	41.1	36.998	114	34	5.19	198
p18	707350	751550	6.797	164.6	41.1	38.232	117	35	2.60	208
p19	706750	751300	6.794	194.4	40.6	27.737	85	26	4.22	218
p20	707200	751200	6.793	201.9	40.5	25.145	77	23	3.76	219
p21	707200	751000	6.792	200.9	40.1	29.205	90	27	3.56	227
p22	706850	750600	6.788	210.5	39.3	22.712	70	21	1.87	222
p23	706750	750200	6.784	193.6	38.5	25.527	78	24	1.91	212
p24	706550	749750	6.780	191.1	37.7	23.590	72	22	1.78	206
p25	706500	749300	6.776	172.8	36.8	29.714	91	27	1.32	201
p26	706500	748800	6.772	159.4	35.9	34.457	106	32	1.06	199
p27	706500	748250	6.767	158.4	34.8	33.721	104	31	1.21	197
p28	706450	747850	6.763	162.6	34.1	31.243	96	29	0.97	197
p29	706500	747400	6.759	168.6	33.2	29.425	90	27	1.10	200
p30	706850	746950	6.755	171.5	32.3	29.598	91	27	0.73	204
p31	706700	746350	6.750	171.3	31.2	25.125	77	23	1.36	195
p14	704800	751550	6.797	138.0	41.1	42.517	131	39	6.29	195
p30	706850	746950	6.755	171.5	32.3	29.598	91	27	0.73	204

p32	706100	746750	6.753	156.3	32.0	39.773	122	37	1.72	212
p33	705650	746600	6.752	131.9	31.7	43.054	132	40	11.18	204
p34	705200	746800	6.754	94.0	32.1	54.927	169	51	3.76	184
p35	704700	746800	6.754	102.7	32.1	46.665	143	43	2.31	173
p36	704200	746950	6.755	80.4	32.3	53.417	164	49	2.46	165
p37	703750	747200	6.757	54.3	32.8	68.148	209	63	3.83	172
p30	706850	746950	6.755	171.5	32.3	29.598	91	27	0.73	204
p30	706850	746950	6.755	171.5	32.3	29.598	91	27	0.73	204
p38	706000	748800	6.772	124.1	35.9	48.657	149	45	1.50	194
p39	705600	748800	6.772	106.6	35.9	48.964	150	45	1.91	178
p40	705050	749000	6.774	94.4	36.2	50.219	154	46	2.22	168
p41	704550	748850	6.772	106.2	36.0	41.269	127	38	2.31	161
p26	698600	748800	6.772	159.4	35.9	29.598	91	27	1.06	188
p0	699000	754600	6.824	203.6	47.0	23.087	71	21	2.02	208
p42	698600	754250	6.821	209.6	46.3	23.313	72	21	1.17	215
p43	698150	754100	6.820	210.0	46.0	20.408	63	19	1.23	209
p44	697750	753950	6.818	221.1	45.7	18.150	56	17	0.99	215
p45	697350	753600	6.815	214.4	45.1	21.819	67	20	1.14	217
p46	697050	753200	6.811	209.5	44.3	22.786	70	21	0.81	215
p47	696750	752600	6.806	213.1	43.1	22.488	69	21	1.08	219
p48	696650	752350	6.804	208.5	42.7	20.879	64	19	0.79	212
p49	696450	751900	6.800	200.8	41.8	25.785	79	24	1.08	216
p50	696150	751500	6.796	198.0	41.0	24.218	74	22	1.21	210
p51	695900	751100	6.792	204.7	40.3	21.298	65	20	0.99	211
p52	695600	750700	6.789	204.2	39.5	21.043	65	19	0.90	211
p53	695300	750300	6.785	197.7	38.7	25.389	78	23	1.39	215
p54	694900	750150	6.784	185.4	38.4	34.287	105	32	1.63	222

p55	694700	749750	6.780	218.2	37.7	20.166	62	19	1.58	226
p56	694400	749250	6.776	209.0	36.7	20.526	63	19	1.36	218
p57	693500	749250	6.776	219.3	36.7	20.101	62	19	1.03	227
p58	693350	749200	6.775	231.3	36.6	17.246	53	16	0.81	233
p0	699000	754600	6.824	203.6	47.0	23.087	71	21	2.02	208
<hr/>										
p43	698150	754100	6.820	210.0	46.0	20.408	63	19	1.23	209
p59	698150	753600	6.815	202.0	45.1	20.971	64	19	1.30	203
p60	698200	753100	6.811	186.0	44.1	24.592	76	23	1.39	196
p61	697900	752650	6.807	178.1	43.2	21.361	66	20	1.36	182
p62	697850	752200	6.802	156.1	42.4	27.651	85	25	1.30	174
p63	698050	751800	6.799	149.8	41.6	27.504	84	25	1.91	169
p64	698150	751300	6.794	134.6	40.6	34.692	107	32	2.16	171
p65	698200	750800	6.790	109.5	39.7	41.022	126	38	2.79	161
p66	698500	750400	6.786	87.0	38.9	49.796	153	46	3.83	159
p43	698150	754100	6.820	210.0	46.0	20.408	63	19	1.23	209
<hr/>										
p43	698150	754100	6.820	210.0	46.0	20.408	63	19	1.23	209
p67	699000	754000	6.819	185.9	45.8	23.344	72	22	1.50	192
p68	699450	753900	6.818	185.3	45.6	24.597	76	23	1.50	194
p69	699400	753350	6.813	160.9	44.6	30.386	93	28	1.80	183
p70	699500	752600	6.806	144.9	43.1	32.887	101	30	2.02	174
p71	699800	752450	6.805	119.4	42.8	44.111	136	41	3.15	175
p43	698150	754100	6.820	210.0	46.0	20.408	63	19	1.23	209
<hr/>										
p43	698150	754100	6.820	210.0	46.0	20.408	63	19	1.23	209
p72	697750	754550	6.824	235.0	46.9	12.438	38	11	4.09	219
p73	697700	755050	6.828	244.0	47.8	12.463	38	11	0.70	224
p74	697900	755500	6.832	237.5	48.7	17.134	53	16	0.77	226

p75	698150	755850	6.835	237.0	49.4	15.591	48	14	1.06	222
p76	698500	756250	6.839	231.7	50.1	16.854	52	16	1.17	219
p77	698600	756450	6.841	231.2	50.5	17.618	54	16	1.17	220
p78	699000	756600	6.842	227.1	50.8	9.856	30	9	1.34	199
p79	699500	757000	6.846	240.9	51.6	4.715	14	4	1.25	201
p80	699850	757250	6.848	238.2	52.1	8.768	27	8	1.72	207
p81	700200	757500	6.850	237.6	52.6	6.496	20	6	1.25	200
p82	700300	757750	6.853	242.6	53.0	7.597	23	7	1.50	207
p83	701000	757700	6.852	235.2	52.9	10.192	31	9	1.63	206
p84	701400	757450	6.850	232.0	52.5	9.567	29	9	1.74	202
p85	701850	757500	6.850	237.5	52.6	10.924	34	10	2.82	211
p86	702000	758000	6.855	244.6	53.5	12.437	38	11	2.18	220
p87	702050	758400	6.858	248.7	54.3	11.811	36	11	1.85	222
p43	698150	754100	6.820	210.0	46.0	20.408	63	19	1.23	209
p87	702050	758400	6.858	210.0	54.3	11.811	36	11	1.85	183
p88	702450	758500	6.859	214.3	54.5	10.292	32	9	1.67	184
p89	702800	758700	6.861	210.4	54.9	9.026	28	8	2.05	177
p90	703250	758700	6.861	213.0	54.9	9.425	29	9	2.18	181
p91	703700	758850	6.863	209.2	55.2	12.833	39	12	2.27	184
p92	704200	758800	6.862	207.4	55.1	10.560	32	10	1.89	177
p93	704700	758750	6.862	212.8	55.0	10.959	34	10	1.96	183
p94	705200	758650	6.861	198.1	54.8	17.613	54	16	1.89	183
p95	705500	758250	6.857	211.4	54.0	11.013	34	10	2.24	183
p96	705750	758000	6.855	203.8	53.5	18.487	57	17	2.07	192
p97	706200	757750	6.853	220.6	53.0	10.623	33	10	2.31	193
p98	706700	757850	6.854	228.8	53.2	8.025	25	7	2.24	195
p99	707200	758050	6.855	249.0	53.6	4.836	15	4	1.76	208
p100	707650	758200	6.857	250.3	53.9	4.234	13	4	1.45	207

p101	707950	758550	6.860	259.8	54.6	1.558	5	1	1.28	210
p102	708050	758100	6.856	252.2	53.7	5.285	16	5	1.56	211
p103	708200	757600	6.851	239.7	52.8	4.018	12	4	2.71	198
p104	708400	757200	6.848	238.3	52.0	6.562	20	6	3.06	203
p105	708300	756700	6.843	233.1	51.0	8.031	25	7	4.60	204
p87	702050	758400	6.858	210.0	54.3	11.811	36	11	1.85	183
p105	708300	756700	6.843	233.1	51.0	8.031	25	7	4.60	204
p106	708250	756200	6.839	219.7	50.1	13.824	42	13	3.30	203
p107	708350	755750	6.835	206.8	49.2	15.222	47	14	4.05	194
p108	708450	755250	6.830	199.5	48.2	19.558	60	18	8.87	202
p109	708400	754850	6.826	194.2	47.5	24.249	74	22	8.18	207
p110	708500	754400	6.822	193.1	46.6	19.113	59	18	11.64	199
p111	708400	753900	6.818	177.6	45.6	23.466	72	22	4.58	187
p112	708750	753450	6.814	183.5	44.8	20.603	63	19	4.40	187
p113	708350	753200	6.811	190.2	44.3	19.018	58	18	7.22	194
p114	708100	752550	6.806	186.5	43.0	16.178	50	15	4.88	183
p115	707750	752450	6.805	180.1	42.8	17.560	54	16	2.88	178
p116	707250	752100	6.802	173.1	42.2	20.960	64	19	2.64	179
p117	707350	751600	6.797	164.2	41.2	25.920	80	24	2.20	181
p118	707850	751350	6.795	167.5	40.7	22.209	68	20	1.87	176
p119	708300	751450	6.796	176.9	40.9	18.304	56	17	1.65	177
p120	708750	751700	6.798	195.9	41.4	17.078	52	16	1.89	193
p121	708900	752100	6.802	200.8	42.2	17.503	54	16	2.31	199
p122	708850	752600	6.806	204.5	43.1	17.931	55	17	3.30	203
p123	708800	753100	6.811	184.4	44.1	28.964	89	27	4.47	207
p105	708300	756700	6.843	233.1	51.0	8.031	25	7	4.60	204
p120	708750	751700	6.798	195.9	41.4	17.078	52	16	1.89	193

p124	709200	751750	6.798	205.9	41.5	17.822	55	16	3.12	206
p125	709250	751450	6.796	209.4	40.9	15.353	47	14	22.33	224
p126	709950	751400	6.795	214.5	40.8	10.979	34	10	2.49	200
p127	710200	750950	6.791	180.8	40.0	24.291	75	22	2.35	195
p128	710300	750750	6.789	213.5	39.6	14.023	43	13	2.02	206
p129	711000	750550	6.788	214.8	39.2	8.867	27	8	2.27	197
p130	711200	750700	6.789	207.6	39.5	11.720	36	11	3.28	197
p131	711800	750850	6.790	214.3	39.8	5.384	17	5	2.60	189
p132	712350	751000	6.792	216.9	40.1	5.546	17	5	1.43	190
p133	712400	751300	6.794	221.6	40.6	3.730	11	3	1.56	191
p134	712950	751600	6.797	219.9	41.2	5.285	16	5	0.81	191
p135	713200	751750	6.798	224.4	41.5	2.879	9	3	1.87	191
p136	713900	751800	6.799	228.2	41.6	2.454	8	2	0.40	192
p137	714200	752050	6.801	231.4	42.1	1.438	4	1	0.29	193
p138	714850	752250	6.803	234.6	42.5	1.532	5	1	0.20	196
p139	715250	752450	6.805	239.6	42.8	1.036	3	1	0.18	199
p140	715750	752400	6.804	247.8	42.7	0.398	1	0	0.09	206
p141	716150	752500	6.805	251.7	42.9	0.494	2	0	0.11	210
p142	716500	752900	6.809	253.7	43.7	1.395	4	1	0.11	213
bm00	716750	759150	6.865	242.4	55.7	0.000	0	0	0.00	187
p120	708750	751700	6.798	195.9	41.4	17.078	52	16	1.89	193
p102	708050	758100	6.856	252.2	53.7	5.285	16	5	1.56	211
p143	708550	758350	6.858	267.9	54.2	5.549	17	5	1.72	227
p144	708900	758500	6.859	266.9	54.5	5.835	18	5	1.74	227
p145	709200	758100	6.856	273.0	53.7	6.453	20	6	1.52	235
p146	709600	757750	6.853	268.6	53.0	7.065	22	7	1.80	233
p147	709900	757400	6.849	269.8	52.4	6.343	19	6	2.24	233
p148	710300	757100	6.847	255.4	51.8	14.998	46	14	2.02	238

p149	710400	756800	6.844	257.8	51.2	12.261	38	11	3.89	237
p150	711150	756800	6.844	257.5	51.2	14.223	44	13	3.10	240
p151	711450	756750	6.844	266.6	51.1	10.818	33	10	1.83	241
p152	712200	756800	6.844	270.7	51.2	6.723	21	6	1.12	235
p153	712500	756400	6.840	263.9	50.4	5.590	17	5	1.01	227
p154	712850	756750	6.844	257.4	51.1	6.629	20	6	0.75	221
p155	713300	756550	6.842	255.2	50.7	7.237	22	7	6.31	226
p156	713800	756500	6.841	255.0	50.6	6.515	20	6	0.22	219
p157	714250	756350	6.840	255.0	50.3	11.142	34	10	0.24	229
p158	714450	756300	6.840	254.1	50.2	6.446	20	6	0.20	218
p159	715250	756400	6.840	250.9	50.4	2.442	8	2	0.20	206
p160	715700	756300	6.840	249.8	50.2	1.740	5	2	0.13	203
p161	715950	755950	6.836	249.9	49.6	5.624	17	5	0.09	212
p162	716400	755800	6.835	254.6	49.3	2.316	7	2	0.04	210
bm00	716750	759150	6.865	242.4	55.7	0.285	1	0	0.00	187
<hr/>										
p157	714250	756350	6.840	255.0	50.3	11.142	34	10	0.24	229
p163	714250	755800	6.835	254.1	49.3	10.386	32	10	0.15	227
p164	714100	755350	6.831	250.3	48.4	6.894	21	6	0.42	217
p165	714200	754900	6.827	249.5	47.6	5.605	17	5	0.51	215
p166	713950	754500	6.823	245.6	46.8	2.488	8	2	0.48	205
p167	713400	754050	6.819	242.6	45.9	3.637	11	3	0.46	205
p168	713250	753750	6.816	242.9	45.3	1.762	5	2	0.79	202
p169	713400	753200	6.811	238.6	44.3	2.445	8	2	0.97	201
p170	713250	752800	6.808	230.7	43.5	3.820	12	4	0.44	196
p171	713550	752400	6.804	226.7	42.7	3.191	10	3	0.68	191
p172	713550	751900	6.800	226.6	41.8	6.670	20	6	0.57	200
p135	713200	751750	6.798	224.4	41.5	3.142	10	3	1.87	192
p170	713250	752800	6.808	230.7	43.5	3.820	12	4	0.44	196

p173	713850	753100	6.811	233.9	44.1	3.595	11	3	0.46	198
p174	714350	753050	6.810	237.1	44.0	0.946	3	1	0.44	196
p175	714800	753000	6.810	241.5	43.9	-0.711	-2	-1	0.35	196
p176	715300	752900	6.809	246.0	43.7	0.607	-2	-1	0.13	208
p178	716100	753050	6.810	255.6	44.0	0.050	0	0	0.13	212
p142	716500	752900	6.809	253.7	43.7	0.820	3	1	0.11	212
<hr/>										
p173	713850	753100	6.811	233.9	44.1	3.595	11	3	0.46	198
p179	713000	753000	6.810	231.8	43.9	3.822	12	4	1.08	197
p180	712750	753350	6.813	239.8	44.6	6.676	21	6	1.47	211
p181	712500	753700	6.816	242.3	45.2	4.217	13	4	1.98	208
p182	712150	754100	6.820	240.2	46.0	7.046	22	6	3.54	213
p183	712250	754500	6.823	240.4	46.8	5.277	16	5	1.76	207
p184	712600	754900	6.827	249.9	47.6	3.481	11	3	1.45	211
p185	712750	755350	6.831	252.9	48.4	5.647	17	5	1.06	218
p186	712600	755750	6.835	252.3	49.2	8.485	26	8	1.21	223
p187	712550	756250	6.839	258.7	50.1	6.037	19	6	1.23	223
p153	712500	758700	6.861	263.9	54.9	5.595	17	5	1.01	222
<hr/>										
p144	708900	758500	6.859	266.9	54.5	5.835	18	5	1.74	227
p188	709200	758700	6.861	273.7	54.9	1.618	5	1	1.63	224
p189	709600	758800	6.862	262.2	55.1	10.167	31	9	1.83	231
p190	710100	758900	6.863	270.2	55.3	4.743	15	4	1.25	226
p191	710400	759200	6.866	256.3	55.8	14.059	43	13	2.75	233
p192	710500	759700	6.870	278.3	56.8	6.645	20	6	0.99	237
p193	710800	760000	6.873	274.3	57.4	5.986	18	6	0.73	230
p194	711200	760250	6.875	272.4	57.9	3.885	12	4	0.42	223
p195	711250	760750	6.880	268.9	58.8	5.881	18	5	0.24	223
p196	711300	761200	6.884	272.1	59.7	2.131	7	2	0.20	217

p197	711300	761700	6.888	275.1	60.7	4.452	14	4	0.20	224
p198	711350	762250	6.893	278.4	61.8	5.228	16	5	0.09	228
p199	711400	752650	6.807	275.5	43.2	3.244	10	3	0.09	239
bm00	716750	759150	6.865	242.4	55.7	-0.165	-1	-0	0.00	186
<hr/>										
p31	706700	746350	6.750	171.3	33.64	25.000	77	23	1.36	193
p200	706850	746000	6.750	173.3	33.64	21.956	67	20	0.99	188
p201	707000	745500	6.745	168.2	32.66	20.805	64	19	0.70	181
p202	706850	745100	6.742	162.9	31.88	25.018	77	23	0.59	185
p203	706600	744800	6.739	162.6	31.30	27.869	86	26	0.70	192
p204	706350	744450	6.736	160.6	30.61	22.215	68	20	0.75	179
p205	706150	744000	6.731	146.9	29.74	28.697	88	26	0.97	180
p206	706000	743550	6.727	149.3	28.86	23.356	72	22	0.73	171
p207	705850	743100	6.723	155.8	27.98	20.326	62	19	0.73	172
p208	708250	743550	6.727	198.7	28.86	22.970	71	21	1.19	220
p209	708100	744000	6.731	194.2	29.74	23.630	73	22	0.99	216
p210	708000	744500	6.736	179.5	30.71	28.034	86	26	0.64	210
p211	707900	744950	6.740	180.7	31.59	28.309	87	26	0.77	211
p212	707850	745400	6.744	190.8	32.47	24.279	75	22	0.90	211
p31	706700	746350	6.750	171.3	33.64	25.000	77	23	1.36	193
<hr/>										
p202	706850	745100	6.742	162.9	31.88	25.018	77	23	0.59	185
p213	707450	745400	6.744	177.8	32.47	20.218	62	19	1.03	190
p214	707900	745500	6.745	192.9	32.66	24.586	76	23	0.66	214
p215	708300	745750	6.748	192.0	33.15	25.630	79	24	0.40	214
p216	708750	745800	6.748	201.1	33.25	28.566	88	26	0.55	230
p217	709300	745800	6.748	215.5	33.25	31.835	98	29	1.43	252
p218	709700	745500	6.745	222.4	32.66	28.553	88	26	0.55	252
p219	710100	745400	6.744	224.1	32.47	35.054	108	32	0.64	268

p220	710250	745000	6.741	230.6	31.69	32.430	100	30	0.66	269
p221	710500	744750	6.738	231.2	31.20	34.474	106	32	0.37	274
p222	710900	744500	6.736	234.8	30.71	38.997	120	36	1.91	290
p202	706850	745100	6.742	162.9	31.88	25.018	77	23	0.59	185
p202	706850	745100	6.742	162.9	31.88	25.018	77	23	0.59	185
p223	705750	744350	6.735	143.0	30.42	30.496	94	28	1.47	180
p224	705600	744650	6.738	142.0	31.00	29.140	90	27	3.08	177
p225	705200	744800	6.739	134.5	31.30	31.182	96	29	5.19	175
p226	704650	744750	6.738	95.7	31.20	34.558	106	32	6.47	145
p227	704300	744900	6.743	70.0	32.08	77.486	238	71	5.52	210
p229	703500	745200	6.743	47.7	32.08	83.213	256	77	4.55	199
p230	703150	745400	6.744	26.5	32.47	88.266	271	81	3.32	187
p231	702750	745400	6.744	22.2	32.47	94.218	289	87	4.25	197
p232	702250	745500	6.745	21.6	32.66	98.320	302	91	4.55	205
p233	701850	745400	6.744	25.5	32.47	96.381	296	89	3.30	204
p204	706350	744450	6.736	160.6	30.61	25.018	77	23	0.75	185
p205	706150	744000	6.731	146.9	29.74	28.697	88	26	0.97	180
p234	702500	742850	6.721	67.5	27.50	31.290	96	29	3.30	111
p235	702200	743200	6.724	39.7	28.18	42.537	131	39	2.44	105
p236	702000	743550	6.727	38.9	28.86	42.173	130	39	2.42	103
p237	701700	743950	6.731	14.4	29.64	53.337	164	49	2.38	102
p238	701500	744350	6.735	-58.4	30.42	93.282	287	86	3.12	115
p239	699150	742250	6.715	-17.5	26.33	74.549	229	69	2.68	119
p240	699350	742600	6.719	-9.6	27.01	68.370	210	63	3.12	113
p241	699400	743100	6.723	-25.2	27.98	75.066	231	69	3.45	112
p242	699500	743550	6.727	-69.6	28.86	96.958	298	89	8.45	118

p243	699300	744000	6.731	-9.8	29.74	67.551	208	62	6.05	112
p244	698900	744250	6.734	-0.7	30.22	74.193	228	68	3.70	132
p245	698400	744300	6.734	25.0	30.32	55.707	171	51	5.65	120
p246	697950	744300	6.734	30.7	30.32	52.647	162	49	7.04	121
p205	706150	744000	6.731	146.9	29.74	28.697	88	26	0.97	180
p201	707000	745500	6.745	168.2	32.66	20.805	64	19	0.70	181
p247	707450	745800	6.748	168.2	33.25	20.074	62	19	0.73	179
p248	707900	746150	6.748	175.2	33.16	17.380	53	16	0.44	180
p249	708350	746250	6.749	184.4	33.35	14.538	45	13	0.53	183
p250	708700	746500	6.751	178.0	33.83	17.883	55	16	0.73	183
p251	709000	746800	6.754	174.4	34.40	19.594	60	18	0.46	183
p252	709250	747250	6.758	165.3	35.26	23.446	72	22	0.59	181
p253	709750	747250	6.758	171.3	35.26	20.752	64	19	0.51	181
p254	710200	747450	6.759	178.9	35.64	18.407	57	17	0.55	183
p255	710500	747800	6.763	184.2	36.31	15.531	48	14	0.40	182
p256	710750	748050	6.765	177.4	36.79	21.178	65	20	1.12	187
p257	711200	748150	6.766	185.7	36.98	15.193	47	14	0.46	182
p258	711600	748050	6.765	171.9	36.79	18.070	56	17	0.35	174
p259	712050	748050	6.765	165.3	36.79	18.317	56	17	0.42	168
p260	712500	748150	6.766	151.9	36.98	24.144	74	22	0.31	167
p261	712950	748300	6.767	145.1	37.27	19.805	61	18	0.18	151
p262	713400	748300	6.767	135.0	37.27	22.022	68	20	0.11	145
p263	713950	748250	6.767	127.9	37.17	23.432	72	22	0.13	141
p264	714450	748250	6.767	125.1	37.17	21.866	67	20	0.04	135
p265	714900	748300	6.767	119.9	37.27	24.083	74	22	0.04	134
p178	716000	753050	6.810	151.6	46.38	20.805	64	19	0.13	150
p251	709000	746800	6.75	174.4	34.4	19.59	60	18	0.46	183
p266	709050	747400	6.76	164.7	35.5	20.57	63	19	0.77	174
p267	709050	747900	6.76	178.3	36.5	20.79	64	19	0.81	187

p268	709050	748300	6.77	191.9	37.3	15.79	48	15	0.84	189
p269	709400	748700	6.77	195.6	38.0	16.65	51	15	0.75	194
p270	709600	749200	6.78	193.1	39.0	14.89	46	14	0.59	187
p271	709800	749600	6.78	198.8	39.8	23.25	71	21	0.97	210
p272	709950	750050	6.78	199.0	40.6	21.15	65	20	1.45	205
p273	710250	750300	6.79	215.1	41.1	17.45	54	16	0.79	212
p274	710750	750400	6.79	213.4	41.3	20.90	64	19	0.79	218
p275	711150	750500	6.79	214.4	41.5	19.13	59	18	0.84	215
p276	711600	750600	6.79	215.8	41.7	16.76	51	15	1.23	211
p131	711800	750850	6.79	214.3	42.2	19.59	60	18	2.60	217
p131	711800	750850	6.79	214.3	42.2	19.59	60	18	2.60	217
p277	709200	749200	6.78	203.5	39.0	23.96	74	22	0.51	216
p278	708800	749050	6.77	186.2	38.7	28.69	88	26	0.70	210
p279	708400	749050	6.77	175.3	38.7	35.15	108	32	0.84	213
p280	707900	749050	6.77	150.8	38.7	38.26	118	35	0.95	195
p281	707400	748950	6.77	158.5	38.5	37.09	114	34	0.84	201
p282	706900	748900	6.77	155.4	38.4	37.65	116	35	0.73	199
p283	707250	749500	6.78	167.1	39.6	35.57	109	33	0.53	204
p284	707100	749950	6.78	200.0	40.4	27.51	85	25	1.47	220
p285	707000	750350	6.79	204.9	41.2	26.50	81	24	1.21	222
p22	706850	750600	6.79	218.2	41.7	19.59	60	18	1.87	220
p22	706850	750600	6.79	218.2	41.7	19.59	60	18	1.87	220
p286	706250	750550	6.79	175.3	41.6	33.38	103	31	2.24	208
p287	705800	750600	6.79	132.1	41.7	45.83	141	42	3.98	193
p288	705400	750850	6.79	169.5	42.2	17.46	54	16	3.96	169
p289	704950	750900	6.79	143.0	42.3	32.57	100	30	1.98	173
p290	704600	751100	6.79	120.6	42.6	36.29	111	33	11.24	167

p291	704200	751350	6.79	130.3	43.1	29.62	91	27	3.72	155
p292	703800	751550	6.80	129.5	43.5	28.39	87	26	3.94	151
p12	703800	751800	6.80	134.2	44.0	19.59	60	18	3.89	136
p276	711600	750600	6.79	215.8	41.7	16.10	49	15	1.23	210
p293	711550	750100	6.78	247.3	40.7	24.52	75	23	1.03	260
p294	711700	749700	6.78	207.1	40.0	35.06	108	32	0.84	243
p295	711100	749500	6.78	199.4	39.6	31.11	96	29	0.88	228
p296	712550	749250	6.78	199.3	39.1	25.84	79	24	0.48	216
p297	712950	749150	6.77	193.3	38.9	25.18	77	23	0.26	209
p298	713400	748900	6.77	185.4	38.4	21.23	65	20	0.18	193
p299	713850	748850	6.77	171.0	38.3	24.52	75	23	0.13	186
p300	714300	749000	6.77	163.9	38.6	21.89	67	20	0.13	172
p301	714700	749050	6.77	157.8	38.7	23.86	73	22	0.07	170
p302	715100	748950	6.77	144.6	38.5	23.21	71	21	0.04	156
p265	714900	748300	6.77	119.9	37.3	23.86	73	22	0.04	134
p199	711400	752650	6.81	275.5	45.6	3.0	9	3	0.09	236
p303	706600	767100	6.94	334.1	73.7	7.4	23	7	0.88	277
p304	706500	766600	6.93	327.8	72.7	1.9	6	2	0.64	260
p305	706200	766200	6.93	323.5	71.9	35.3	108	33	6.03	333
p306	706050	765750	6.92	321.8	71.0	1.1	3	1	0.81	254
p307	705900	765300	6.92	316.9	70.2	0.8	3	1	1.01	249
p308	705500	765300	6.92	310.3	70.2	2.8	9	3	1.03	247
p309	705050	765500	6.92	304.4	70.5	2.0	6	2	1.52	240
p310	704900	765250	6.92	302.8	70.1	-1.6	-5	-1	1.25	231
p311	705200	764850	6.92	299.2	69.3	0.5	1	0	1.32	232
p312	705300	764400	6.91	292.8	68.4	6.6	20	6	0.88	239
p313	705450	763850	6.91	301.1	67.3	0.1	0	0	0.79	235

p314	705650	763400	6.90	289.3	66.4	-1.8	-6	-2	0.48	219
p315	705650	762950	6.90	284.7	65.6	0.8	2	1	0.68	21
p316	705900	762500	6.90	284.0	64.7	0.3	1	0	0.75	221
p317	706100	762050	6.89	283.1	63.8	-0.5	-2	-0	0.51	219
p318	706200	761600	6.89	287.2	62.9	0.6	2	1	0.55	226
p319	706250	761200	6.88	271.0	62.2	3.2	10	3	0.46	216
p320	706500	760750	6.88	274.0	61.3	3.3	10	3	0.42	220
p321	706600	760300	6.88	270.6	60.4	2.2	7	2	0.57	216
p322	706750	759850	6.87	262.0	59.5	3.0	9	3	0.81	210
p323	707150	759550	6.87	258.3	59.0	6.9	21	6	0.64	215
p324	707550	759500	6.87	264.9	58.9	2.4	7	2	0.84	212
p325	707950	759100	6.86	267.9	58.1	2.3	7	2	0.70	216
p102	708050	758100	6.86	252.2	56.1	3.0	9	3	1.56	204
<hr/>										
p316	705900	762500	6.90	284.0	64.7	0.3	1	0	0.75	221
p326	705400	762500	6.90	249.9	64.7	15.7	48	14	0.81	220
p327	705050	762150	6.89	254.3	64.0	13.0	40	12	0.73	219
p328	704550	762100	6.89	268.2	63.9	6.1	19	6	0.46	218
p329	704400	761700	6.89	275.0	63.1	1.9	6	2	0.70	217
p330	704150	761500	6.89	266.6	62.7	1.7	5	2	0.81	208
p331	703650	761400	6.89	260.0	62.5	4.4	14	4	1.34	208
p332	703150	761300	6.88	261.6	62.4	4.6	14	4	0.97	210
p333	702700	761500	6.89	259.5	62.7	5.7	17	5	1.01	210
p334	702300	761650	6.89	264.5	63.0	1.7	5	2	1.36	207
p335	701850	761800	6.89	257.3	63.3	5.2	16	5	0.59	206
p336	701500	762150	6.89	250.7	64.0	3.6	11	3	0.35	195
p337	701150	762300	6.89	247.5	64.3	3.4	10	3	0.46	191
p338	700800	762150	6.89	245.6	64.0	2.5	8	2	0.35	187
p339	700300	762200	6.89	247.9	64.1	3.0	9	3	0.22	190

c782	699800	762200	6.89	246.2	64.1	-0.5	-2	-0	0.18	181
p340	701550	765000	6.92	258.3	69.6	0.7	2	1	0.22	190
p341	702100	765500	6.92	255.4	70.5	9.1	28	8	2.33	207
p342	702550	765150	6.92	255.2	69.9	9.5	29	9	2.73	209
p343	703050	765250	6.92	273.8	70.1	5.0	16	5	1.58	216
p344	703400	765500	6.92	284.8	70.5	4.9	15	4	0.99	226
p345	703800	765750	6.92	289.0	71.0	8.0	25	7	1.30	236
p346	704200	765600	6.92	287.8	70.7	14.3	44	13	1.01	249
p347	704650	765500	6.92	298.5	70.5	7.9	24	7	1.01	246
p310	704900	765250	6.92	302.8	70.1	0.3	1	0	1.25	235
<hr/>										
p310	704900	765250	6.92	302.8	70.1	0.3	1	0	1.25	235
p348	706750	765550	6.92	325.2	70.6	1.2	4	1	0.66	258
p349	707000	765600	6.92	323.6	70.7	-2.1	-6	-2	0.79	249
p350	707500	765500	6.92	325.6	70.5	-2.3	-7	-2	0.37	250
p351	707600	765750	6.92	329.5	71.0	-1.8	-6	-2	0.35	255
p352	707950	766050	6.93	337.0	71.6	-3.7	-11	-3	0.13	258
p303	706600	767100	6.94	334.1	73.7	0.3	1	0	0.88	262

ภาคผนวก ฯ

ความหนาแน่นของหินตัวอย่างในพื้นที่ศึกษาวิจัย

รหัส	ตำแหน่ง	ความหนาแน่น kg/m ³	หิน
A9	694100E,40750N	2411	หินหินเสยชิน
A10	70110E,753175N	2688	---
A11	701000E,744950N	2583	---
A12	701600E,767400N	2550	หินหินเชร์ต
A13	692050E,749200N	2459	---
A14	705050E,758500N	2302	หินหินเสยชิน
A15	694650E,748250N	2502	---
A16	710400E,759050N	2700	หินหินเชร์ต
A19	701600E,767400N	2581	---
A20	706800E,752800N	2503	หินหินเสยชิน
A21	698100E,759650N	2558	---
A22	696900E,761300N	2518	---
A23	704000E,758850N	2556	---
A24	697600E,750250N	2560	---
A25	708600E,742100N	2402	---
A26	705600E,765400N	2557	หินหินเชร์ต
A27	700600E,754100N	2525	หินหินเสยชิน
A28	706150E,753500N	2513	แกรนิต
A29	704500E,768000N	2520	หินหินเสยชิน
A30	694550E,743750N	2482	แกรนิต
A31	701300E,745100N	2570	---
A32	705850E,748750N	2454	หินหินเสยชิน
A33	701600E,744100N	2507	แกรนิต
A34	701500E,744200N	2557	แกรนิต

รหัส	ตำแหน่ง	ความหนาแน่น kg/m ³	ทิศ
A35	699900E,752200N	2629	---"---
A36	692200E,745750N	2533	ที่ดินเคลื่อน
P2	699700E,754000N	2350	---"---
P2_1	---"---	2580	---"---
P2_2	---"---	2540	---"---
P2_3	---"---	2430	---"---
P7	701900E,753050N	2530	แกรนิต
P7_1	---"---	2500	---"---
7_2	---"---	2510	---"---
P12_1	703800E,751800N	2620	ที่ดินเคลื่อน
P12_2	---"---	2560	---"---
P12_3	---"---	2570	---"---
P12_4	---"---	2630	---"---
P17	750750E,751550N	2520	ที่ดินเชือก
P17_1	---"---	2500	---"---
P39	705600E,748800N	2540	ที่ดินเคลื่อน
P54	694900E,750150N	2730	---"---
P54_1	---"---	2590	---"---
P123	708800E,753100N	2470	---"---
P123_1	---"---	2410	---"---
P123_2	---"---	2430	---"---
P242	699500E,743550N	2540	---"---
P242_1	---"---	2530	---"---
P242_2	---"---	2540	ที่ดินเคลื่อน
P242_3	---"---	2330	---"---
P242_4	---"---	2620	แกรนิต
P242_5	---"---	2420	---"---
P243	699300E,744000N	2630	---"---

รหัส	ตำแหน่ง	ความหนาแน่น kg/m ³	ทิศ
P243_1	---"---	2730	---"---
P243_2	---"---	2550	แกรนิต
P243_3	---"---	2540	หุ่ยหินเคลือบชั้น
P287	705800E,750600N	2370	---"---
287_1	---"---	2500	---"---
P287_2	---"---	2500	---"---
P305	706200E,766200N	2390	หุ่ยหินเชิร์ต
P305_1	---"---	2380	---"---
P305_2	---"---	2440	---"---
P305_4	---"---	2540	---"---
P305_5	---"---	2530	---"---
P308_1	705500E,765300N	2220	---"---
P308_2	---"---	2460	---"---
P308_3	---"---	2430	---"---
P311	705200E,764850N	2530	---"---
P311_1	---"---	2430	---"---
P311_2	---"---	2530	หุ่ยหินเชิร์ต
P311_3	---"---	2500	---"---
P326	705400E,762500N	2560	---"---
P326_1	---"---	2590	---"---
P326_2	---"---	2560	---"---
P326_3	---"---	2370	หุ่ยหินเชิร์ต
P326_4	---"---	2580	---"---
P326_5	---"---	2340	---"---
P326_6	---"---	2580	---"---

ภาคผนวก ค

พารามิเตอร์ที่ใช้สำหรับสร้างแบบจำลอง "พลุตอนลีวิ่ง 2" ด้วยโปรแกรม GMM มีดัง
ต่อไปนี้

15	;Total number of bodies in model
41040.0	;Magnitude of terrestrial field
-5.0	;Inclination of terrestrial field
3.0	;Declination of terrestrial field
2620.0	;Surrounding density
.000001	;Surrounding susceptibility

1	;Internal body number
2521.0	;density of body, 0=surrounding
.000001	;suscept. of body, 0=surrounding
.0000	;Remanent/induced magnetization
.0	;Inclination of remanence, positive down
.0	;Declination of remanence, pos. clockwise
21	;Surrounding body, = 21 if none
4965.4	;strike length
747417.9	;N-coordinate of body reference point
17.5	;strike angle from North anti-clockw.

18	;Number of corners in body
685673.8	.0 ;E-coord & depth of corner 1
721068.5	.0 ; --- " --- 2 (with strike=0.0)
718935.8	813.8 ; --- " --- 3 --- " --
716881.9	827.4 ; --- " --- 4 --- " --

714415.9	351.6	;	---	"	---	5	--	"	--
711604.5	406.0	;	---	"	---	6	--	"	--
709338.5	786.6	;	---	"	---	7	--	"	--
707672.3	881.8	;	---	"	---	8	--	"	--
706072.5	813.8	;	---	"	---	9	--	"	--
705206.3	705.1	;	---	"	---	10	--	"	--
701274.0	555.5	;	---	"	---	11	--	"	--
700807.3	841.0	;	---	"	---	12	--	"	--
699086.7	868.2	;	---	"	---	13	--	"	--
696020.8	147.7	;	---	"	---	14	--	"	--
693476.0	120.5	;	---	"	---	15	--	"	--
689810.3	501.2	;	---	"	---	16	--	"	--
687756.4	555.5	;	---	"	---	17	--	"	--
685956.5	362.6	;	---	"	---	18	--	"	--

2 ;Internal body number
 2521.0 ;density of body, 0=surrounding
 .000400 ;suscept. of body, 0=surrounding
 .0000 ;Remanent/induced magnetization
 .0 ;Inclination of remanence, positive down
 .0 ;Declination of remanence, pos. clockwise
 21 ;Surrounding body, = 21 if none
 4794.2 ;strike length
 752848.0 ;N-coordinate of body reference point
 17.5 ;strike angle from North anti-clockw.
 16 ;Number of corners in body
 719531.6 .0 ;E-coord & depth of corner 1
 716267.6 1112.9 ; --- " --- 2 (with strike=0.0)
 712333.6 1452.8 ; --- " --- 3 -- " --

711470.6	939.3	;	---	"	---	4	--	"	--
708667.8	922.6	;	---	"	---	5	--	"	--
703069.3	1004.1	;	---	"	---	6	--	"	--
701936.3	528.3	;	---	"	---	7	--	"	--
699736.8	419.6	;	---	"	---	8	--	"	--
698603.8	1982.9	;	---	"	---	9	--	"	--
697071.1	2037.3	;	---	"	---	10	--	"	--
693142.1	406.0	;	---	"	---	11	--	"	--
691475.6	174.9	;	---	"	---	12	--	"	--
687606.6	66.1	;	---	"	---	13	--	"	--
687340.1	501.2	;	---	"	---	14	--	"	--
685473.8	528.3	;	---	"	---	15	--	"	--
685140.8	.0	;	---	"	---	16	--	"	--

4 ;Internal body number
 2536.0 ;density of body, 0=surrounding
 .006000 ;suscept. of body, 0=surrounding
 .0000 ;Remanent/induced magnetization
 .0 ;Inclination of remanence, positive down
 .0 ;Declination of remanence, pos. clockwise
 1 ;Surrounding body, = 21 if none
 4365.9 ;strike length
 750589.8 ;N-coordinate of body reference point
 17.5 ;strike angle from North anti-clockw.
 10 ;Number of corners in body
 695837.3 .0 ;E-coord & depth of corner 1
 719491.8 .0 ; --- " --- 2 (with strike=0.0)
 712612.3 228.1 ; --- " --- 3 -- " --
 711232.1 338.0 ; --- " --- 4 -- " --

708182.8	631.7	;	---	"	---	5	--	"	--
705544.1	612.5	;	---	"	---	6	--	"	--
704654.1	691.5	;	---	"	---	7	--	"	--
701588.1	582.7	;	---	"	---	8	--	"	--
700439.8	536.3	;	---	"	---	9	--	"	--
696041.1	114.7	;	---	"	---	10	--	"	--

5 ;Internal body number
 2521.0 ;density of body, 0=surrounding
 .000400 ;suscept. of body, 0=surrounding
 .0000 ;Remanent/induced magnetization
 .0 ;Inclination of remanence, positive down
 .0 ;Declination of remanence, pos. clockwise
 21 ;Surrounding body, = 21 if none
 5170.8 ;strike length
 756803.7 ;N-coordinate of body reference point
 17.5 ;strike angle from North anti-clockw.

8	;Number of corners in body								
681613.5	.0	;	---	"	---	1	;E-coord & depth of corner		
709301.0	.0	;	---	"	---	2	(with strike=0.0)		
705224.5	.0	;	---	"	---	3	--	"	--
704772.0	617.7	;	---	"	---	4	--	"	--
701541.0	1026.3	;	---	"	---	5	--	"	--
693339.0	1382.2	;	---	"	---	6	--	"	--
689645.5	1381.9	;	---	"	---	7	--	"	--
681694.5	1283.5	;	---	"	---	8	--	"	--

7 ;Internal body number

2521.0 ;density of body, 0=surrounding
 .000400 ;suscept. of body, 0=surrounding
 .0000 ;Remanent/induced magnetization
 .0 ;Inclination of remanence, positive down
 .0 ;Declination of remanence, pos. clockwise
 21 ;Surrounding body, = 21 if none
 4721.7 ;strike length
 752860.9 ;N-coordinate of body reference point
 17.5 ;strike angle from North anti-clockw.
 12 ;Number of corners in body
 685900.9 .0 ;E-coord & depth of corner 1
 718064.9 .0 ; --- " --- 2 (with strike=0.0)
 717995.9 1785.3 ; --- " --- 3 --- " --
 716392.4 1814.8 ; --- " --- 4 --- " --
 712394.5 365.5 ; --- " --- 5 --- " --
 709814.3 439.0 ; --- " --- 6 --- " --
 704713.9 1577.2 ; --- " --- 7 --- " --
 700993.6 1638.4 ; --- " --- 8 --- " --
 697693.3 292.1 ; --- " --- 9 --- " --
 696313.3 267.6 ; --- " --- 10 --- " --
 690684.8 1285.1 ; --- " --- 11 --- " --
 686005.1 1028.8 ; --- " --- 12 --- " --

8 ;Internal body number
 2536.0 ;density of body, 0=surrounding
 .006000 ;suscept. of body, 0=surrounding
 .0000 ;Remanent/induced magnetization
 .0 ;Inclination of remanence, positive down
 .0 ;Declination of remanence, pos. clockwise

7 ;Surrounding body, = 21 if none
 4493.0 ;strike length
 755096.8 ;N-coordinate of body reference point
 17.5 ;strike angle from North anti-clockw.

10 ;Number of corners in body
 692929.2 .0 ;E-coord & depth of corner 1
 707870.7 .0 ; --- " --- 2 (with strike=0.0)
 706106.0 71.8 ; --- " --- 3 -- " --
 705025.5 71.8 ; --- " --- 4 -- " --
 701305.5 157.5 ; --- " --- 5 -- " --
 699865.5 206.4 ; --- " --- 6 -- " --
 698448.5 316.6 ; --- " --- 7 -- " --
 697188.5 292.1 ; --- " --- 8 -- " --
 695988.5 255.4 ; --- " --- 9 -- " --
 694608.3 120.7 ; --- " --- 10 -- " --

9 ;Internal body number
 2521.0 ;density of body, 0=surrounding
 .000400 ;suscept. of body, 0=surrounding
 .0000 ;Remanent/induced magnetization
 .0 ;Inclination of remanence, positive down
 .0 ;Declination of remanence, pos. clockwise
 21 ;Surrounding body, = 21 if none
 5133.0 ;strike length
 741519.5 ;N-coordinate of body reference point
 17.5 ;strike angle from North anti-clockw.
 9 ;Number of corners in body
 700533.4 .0 ;E-coord & depth of corner 1

721699.4	.0	;	---	"	---	2 (with strike=0.0)			
719088.4	2116.3	;	---	"	---	3	--	"	--
713177.4	2661.5	;	---	"	---	4	--	"	--
711618.4	228.8	;	---	"	---	5	--	"	--
709255.9	369.7	;	---	"	---	6	--	"	--
707357.3	859.1	;	---	"	---	7	--	"	--
703104.4	1830.3	;	---	"	---	8	--	"	--
701098.4	1508.3	;	---	"	---	9	--	"	--

10 ;Internal body number
 2536.0 ;density of body, 0=surrounding
 .006000 ;suscept. of body, 0=surrounding
 .0000 ;Remanent/induced magnetization
 .0 ;Inclination of remanence, positive down
 .0 ;Declination of remanence, pos. clockwise
 2 ;Surrounding body, = 21 if none
 4154.9 ;strike length
 745935.0 ;N-coordinate of body reference point
 17.5 ;strike angle from North anti-clockw.
 11 ;Number of corners in body
 697600.2 .0 ;E-coord & depth of corner 1
 719063.0 .0 ;---
 " | --- | 2 (with strike=0.0) || 718130.0 | 66.1 | ; | --- | " | --- | 3 | -- | " | -- |
715528.7	25.4	;	---	"	---	4	--	"	--
713662.5	38.9	;	---	"	---	5	--	"	--
712065.0	174.9	;	---	"	---	6	--	"	--
709865.5	270.1	;	---	"	---	7	--	"	--
707466.5	365.2	;	---	"	---	8	--	"	--
704733.5	528.3	;	---	"	---	9	--	"	--

703398.7 596.3 ; --- " --- 10 -- " --
 699605.5 247.2 ; --- " --- 11 -- " --

11 ;Internal body number
 2536.0 ;density of body, 0=surrounding
 .006000 ;suscept. of body, 0=surrounding
 .0000 ;Remanent/induced magnetization
 .0 ;Inclination of remanence, positive down
 .0 ;Declination of remanence, pos. clockwise
 21 ;Surrounding body, = 21 if none
 4153.1 ;strike length
 744132.3 ;N-coordinate of body reference point
 17.5 ;strike angle from North anti-clockw.
 5 ;Number of corners in body
 691535.2 .0 ;E-coord & depth of corner 1
 696687.4 .0 ; --- " --- 2 (with strike=0.0)
 695467.4 52.5 ; --- " --- 3 -- " --
 694401.2 38.9 ; --- " --- 4 -- " --
 692468.2 52.5 ; --- " --- 5 -- " --

12 ;Internal body number
 2620.0 ;density of body, 0=surrounding
 .006000 ;suscept. of body, 0=surrounding
 .0000 ;Remanent/induced magnetization
 .0 ;Inclination of remanence, positive down
 .0 ;Declination of remanence, pos. clockwise
 21 ;Surrounding body, = 21 if none
 4474.2 ;strike length
 763909.3 ;N-coordinate of body reference point

17.5 ;strike angle from North anti-clockw.

4 ;Number of corners in body

704109.8	.0	;E-coord & depth of corner	1	
710918.8	.0	;	--- " ---	2 (with strike=0.0)
710873.8	399.6	;	--- " ---	3 --- " --
705252.3	185.2	;	--- " ---	4 --- " --

13 ;Internal body number

2536.0	;	density of body, 0=surrounding
.006000	;	suscept. of body, 0=surrounding
.0000	;	Remanent/induced magnetization
.0	;	Inclination of remanence, positive down
.0	;	Declination of remanence, pos. clockwise
7	;	Surrounding body, = 21 if none
4289.9	;	strike length
759239.4	;	N-coordinate of body reference point
17.5	;	strike angle from North anti-clockw.

6 ;Number of corners in body

706444.8	.0	;E-coord & depth of corner	1	
716105.7	.0	;	--- " ---	2 (with strike=0.0)
715325.3	59.5	;	--- " ---	3 --- " --
713488.8	133.0	;	--- " ---	4 --- " --
711448.7	255.4	;	--- " ---	5 --- " --
709828.8	194.2	;	--- " ---	6 --- " --

14 ;Internal body number

2100.0	;	density of body, 0=surrounding
.000001	;	suscept. of body, 0=surrounding

.0000 ;Remanent/induced magnetization
 .0 ;Inclination of remanence, positive down
 .0 ;Declination of remanence, pos. clockwise
 5 ;Surrounding body, = 21 if none
 4818.7 ;strike length
 758590.3 ;N-coordinate of body reference point
 17.5 ;strike angle from North anti-clockw.

10 ;Number of corners in body
 686902.0 .0 ;E-coord & depth of corner 1
 704742.5 .0 ; --- " --- 2 (with strike=0.0)
 702719.5 64.0 ; --- " --- 3 --- "
 700480.0 119.9 ; --- " --- 4 --- "
 696732.5 166.5 ; --- " --- 5 --- "
 694584.5 129.2 ; --- " --- 6 --- "
 692885.0 203.8 ; --- " --- 7 --- "
 691613.7 278.4 ; --- " --- 8 --- "
 688543.2 306.4 ; --- " --- 9 --- "
 686860.7 259.8 ; --- " --- 10 --- "

15 ;Internal body number
 2536.0 ;density of body, 0=surrounding
 .006000 ;suscept. of body, 0=surrounding
 .0000 ;Remanent/induced magnetization
 .0 ;Inclination of remanence, positive down
 .0 ;Declination of remanence, pos. clockwise
 9 ;Surrounding body, = 21 if none
 4997.9 ;strike length
 741576.6 ;N-coordinate of body reference point

17.5 ;strike angle from North anti-clockw.

10 ;Number of corners in body

700672.8	.0	;E-coord & depth of corner	1						
715351.9	.0	;	---	"	---	2 (with strike=0.0)			
713925.8	134.9	;	---	"	---	3	--	"	--
712794.8	197.8	;	---	"	---	4	--	"	--
711355.8	239.7	;	---	"	---	5	--	"	--
709281.4	362.3	;	---	"	---	6	--	"	--
707091.9	295.6	;	---	"	---	7	--	"	--
705783.7	303.0	;	---	"	---	8	--	"	--
702483.9	473.5	;	---	"	---	9	--	"	--
700921.8	690.5	;	---	"	---	10	--	"	--

16 ;Internal body number

2100.0	;density of body, 0=surrounding
.000001	;suscept. of body, 0=surrounding
.0000	;Remanent/induced magnetization
.0	;Inclination of remanence, positive down
.0	;Declination of remanence, pos. clockwise
7	;Surrounding body, = 21 if none
4728.3	;strike length
753097.4	;N-coordinate of body reference point
17.5	;strike angle from North anti-clockw.

5 ;Number of corners in body

686166.1	.0	;E-coord & depth of corner	1						
693222.6	.0	;	---	"	---	2 (with strike=0.0)			
692714.1	41.0	;	---	"	---	3	--	"	--

689678.6 112.8 ; --- " --- 4 -- " --

686255.8 120.7 ; --- " --- 5 -- " --

17 ;Internal body number

2100.0 ;density of body, 0=surrounding

.000001 ;suscept. of body, 0=surrounding

.0000 ;Remanent/induced magnetization

.0 ;Inclination of remanence, positive down

.0 ;Declination of remanence, pos. clockwise

21 ;Surrounding body, = 21 if none

4914.5 ;strike length

745491.9 ;N-coordinate of body reference point

17.5 ;strike angle from North anti-clockw.

4 ;Number of corners in body

713239.4 .0 ;E-coord & depth of corner 1

720749.1 .0 ; --- " --- 2 (with strike=0.0)

717511.1 51.0 ; --- " --- 3 -- " --

714370.1 51.0 ; --- " --- 4 -- " --

ภาคผนวก ๔

ค่ามagnetic g_n^m และ h_n^m ในหน่วย nT

(ที่มา : Parkinson, 1983)

n	m	g_n^m	h_n^m	n	m	g_n^m	h_n^m
1	0	-30001		6	1	57	-15
1	1	-1950	5634	6	2	47	98
				6	3	-194	75
2	0	-2038		6	4	6	-44
2	1	3035	-2136	6	5	17	2
2	2	1652	-179	6	6	-104	27
3	0	1293		7	0	65	
3	1	-2156	-38	7	1	-55	-71
3	2	1244	261	7	2	7	-24
3	3	851	-235	7	3	17	9
				7	4	-17	8
4	0	919		7	5	-1	12
4	1	777	189	7	6	16	-17
4	2	411	-265	7	7	9	-14
4	3	-428	69				
4	4	224	-289	8	0	13	
				8	1	8	12
5	0	-216		8	2	-4	-21
5	1	354	74	8	3	-5	11
5	2	261	147	8	4	-12	-20
5	3	-66	-149	8	5	0	10

n	m	g_n^m	h_n^m	n	m	g_n^m	h_n^m
5	4	-173	-71	8	6	-1	7
5	5	-52	101	8	7	10	-13
				8	8	3	-13
6	0	51					

ภาคผนวก จ

การเตรียมสารความเข้มข้นมาตรฐาน

(ที่มา : เทคทุน ทองเจม, 2537)

การเตรียมสารมาตรฐานเริ่มจาก การหาข้อมูลของปริมาณนิวเคลียร์กัมมันตรังสี ในธรรมชาติของหินและดิน เพื่อจะได้เตรียมสารตัวอย่างที่ครอบคลุมความเข้มข้นได้อย่างเหมาะสม ปริมาณนิวเคลียร์กัมมันตรังสีในธรรมชาติของหินและดินมีปริมาณเฉลี่ย ดังนี้

K	2.3 percent
U	3.0 ppm
Th	11.4 ppm

สารตัวอย่างที่ครอบคลุมความเข้มข้น ได้อย่างเหมาะสมคือ

โซเดียม(K)	2%, 4% และ 6% ตามลำดับ
ยูเรเนียม(U)	2, 4 และ 6 ppm ตามลำดับ
โทเรียม(Th)	5, 10 และ 15 ppm ตามลำดับ

ตัวอย่าง แสดงการคำนวนหาปริมาณความแรงรังสีของ K-40, U และ Th

กำหนดให้ปริมาณน้ำหนักรวมมีเท่ากับ 100 กรัม และให้ความเข้มข้นของ K เท่ากับ 2 % ความเข้มข้นของ U เท่ากับ 2 ppm และความเข้มข้น Th เท่ากับ 5 ppm

โดยค่า Natural Abundance ของ

$K-40 = 0.01167$ (K = 100%)	$T_{1/2} = 1.28 \times 10^9$ ปี
$U^{238} = 99.275\%$	$T_{1/2} = 4.51 \times 10^{9}$ ปี
$U^{235} = 0.720\%$	$T_{1/2} = 7.1 \times 10^8$ ปี
$Th = 100\%$	$T_{1/2} = 4.51 \times 10^9$ ปี

Gamma-Ray Spectrometry Measurement Material (S)

Matrix	Reference	Activity or Concentration	Confidence Interval	Standard code
	Analyte			
Potassium Sulfate	K	448 mg/g	445-451	RG K-1
Th-Ore,Diluted with Silica	K	0.2 mg/g	0.1-0.3	RGTh-1
	Th	800 μ g/g	784-816	
	U	6.3 μ g/g	5.9-6.7	
U-Ore,Diluted with Silica	U	400 μ g/g	398-402	RG U-1

จากตารางแสดงให้เห็นว่า

$$\text{RGTh-1 } 1 \text{ g มี Th} = 800 \text{ } \mu\text{g} \quad \text{U} = 6.3 \text{ } \mu\text{g} \quad \text{K} = 0.2 \text{ mg}$$

$$\text{RGU-1 } 1 \text{ g มี Th} = 0 \text{ g} \quad \text{U} = 400 \text{ } \mu\text{g} \quad \text{K} = 0 \text{ g}$$

$$\text{RGK-1 } 1 \text{ g มี Th} = 0 \text{ g} \quad \text{U} = 0 \text{ g} \quad \text{K} = 448 \text{ mg}$$

$$\text{น้ำหนักมวลของ Th} = 232.0381 \text{ g/mol}$$

$$\text{U} = 238.0289 \text{ g/mol}$$

$$\text{K} = 39.102 \text{ g/mol}$$

วิธีคำนวณ

เริ่มเตรียมสารมาตรฐานที่มี Th เป็น 5 ppm โดยหาอัตราส่วนของ Th ในสารมาตรฐานหั้งหมก 100 g = $\frac{5}{10^6} \times 100 \text{ g}$

$$\text{จะได้อัตราส่วนของ Th} = 5 \times 10^{-4} \text{ g}$$

$$\text{ในสารมาตรฐานจะมีจำนวนอะตอมของ Th} = \frac{6.02252 \times 10^{23} \times 5 \times 10^{-4}}{232.0381} \text{ อะตอม}$$

$$= 1.2977 \times 10^{18} \text{ อะตอม}$$

$$\text{หาก } \lambda \text{ จากสมการ } T_{1/2} = \frac{0.693}{\lambda}$$

$$= 4.87248 \times 10^{-18} \text{ วินาที}^{-1}$$

จากสมการความแรงรังสี $A = \lambda N$

โดยค่า $N = \text{จำนวนอะตอมของธาตุกัมมันตรังสี}$

$\lambda = \text{ค่าคงที่ของการสลายตัว}$

แทนค่าต่างๆ ในสมการความแรงรังสี

$$\text{จะได้ } A = \lambda N \quad \text{Bq}$$

$$= 1.2977 \times 10^{18} \times 4.87248 \times 10^{-18} \quad \text{Bq}$$

$$= 6.323 \text{ Bq}/100 \text{ g}$$

เทียบความแรงรังสีในอัตราส่วนต่อ 1 กิโลกรัม จะได้ความแรงรังสีของสาร

มาตรฐาน Th ความเข้มข้น 5 ppm ในสารทั้งหมด 100 g มีค่า = 63.23 Bq/Kg

สำหรับ U และ K-40 ก็ใช้วิธีคำนวณเดียวกัน ได้ค่าความแรงรังสีตั้งตารางต่อไปนี้

ตารางแสดงค่าความแรงรังสีที่คำนวณได้ของสารกัมมันตรังสีความเข้มข้นต่างๆ

ชนิดของสาร และความเข้ม ^{ขั้น}	มวลของธาตุ กัมมันตรังสี (ใน 100g)	จำนวนอะตอม ของธาตุ กัมมันตรังสี	ค่าคงที่ของการ สลายตัว	ค่าความแรง รังสี (Bq/Kg)
Th 5 ppm	5×10^{-4}	8.82466×10^{17}	4.87248×10^{-18}	63.2302
Th 10 ppm	1×10^{-3}	1.764932×10^{18}	4.87248×10^{-18}	126.4646
Th 15 ppm	1.5×10^{-3}	2.647398×10^{18}	4.87248×10^{-18}	189.6969
U 2 ppm	2×10^{-4}	5.190975×10^{17}	1.58093×10^{-18}	8.20657
U 4 ppm	4×10^{-4}	1.038195×10^{18}	1.58093×10^{-18}	16.41314
U 6 ppm	6×10^{-4}	1.55729×10^{18}	1.58093×10^{-18}	24.61971
K 2 percent	2.334×10^{-4}	3.594845×10^{18}	1.71679×10^{-17}	617.15940
K 4 percent	4.668×10^{-4}	7.189690×10^{18}	1.71679×10^{-17}	1234.31879
K 6 percent	7.002×10^{-4}	1.078453×10^{19}	1.71679×10^{-17}	1851.47733

ตัวอย่าง แสดงการคำนวณหาปริมาณของ RGK-1, RGU-1, RGTh-1 และ Silica Sand ที่จะต้องนำมาใช้ทดสอบความเข้มข้นให้ได้ตามต้องการ

กำหนดให้ปริมาณน้ำหนักรวมมีค่าเท่ากับ 100 กรัม และให้ความเข้มข้นของ K เท่ากับ 2 % ความเข้มข้นของ U เท่ากับ 2 ppm และความเข้มข้นของ Th เท่ากับ 5 ppm

โดยค่า Natural Abundance ของ

$$K-40 = 0.01167 \text{ (K = 100\%)} \quad T_{1/2} = 1.28 \times 10^9 \text{ ปี}$$

$$U^{238} = 99.275 \% \quad T_{1/2} = 4.51 \times 10^{9.1} \text{ ปี}$$

$$U^{235} = 0.720 \% \quad T_{1/2} = 7.1 \times 10^8 \text{ ปี}$$

$$\text{Th} = 100 \% \quad T_{1/2} = 4.51 \times 10^9 \text{ ปี}$$

วิธีคำนวณ

เริ่มเตรียมสารมาตรฐานที่มี Th เข้มข้น 5 ppm โดยหาน้ำหนักของ Th ในสารมาตรฐานทั้งหมด $100 \text{ g} = \frac{5}{10^6} \times 100 \text{ g}$

$$\text{จะได้น้ำหนักของ Th} = 5 \times 10^{-4} \text{ g}$$

จากตารางค่า Gamma-Ray Spectrometry Measurement Material พบว่า

Th 800 mg ได้มาจากการ RGTh-1 1 g

$$\text{Th } 5 \times 10^{-4} \text{ g ได้มาจากการ RGTh-1} = \frac{1 \times 5 \times 10^{-4}}{800 \times 10^{-6}} \text{ g} \\ = 0.625 \text{ g}$$

แต่เนื่องจากใน RGTh-1 มี U และ K ผสมอยู่ด้วย

$$\text{จาก RGTh-1 } 0.625 \text{ g มี} \quad U = 0.625 \times 6.3 \times 10^{-6} \text{ g} \\ = 3.9375 \times 10^{-6} \text{ g} \\ \text{และมี} \quad K = 0.625 \times 0.2 \times 10^{-3} \text{ g} \\ = 1.25 \times 10^{-4} \text{ g}$$

วิธีคำนวณหาน้ำหนักของ RGU-1

เริ่มเตรียมสารมาตรฐานที่ U เข้มข้น 2ppm โดยหาน้ำหนักของ U ในสารมาตรฐานทั้งหมด $100 \text{ g} = \frac{2}{10^6} \times 100 \text{ g}$

$$\text{จะได้น้ำหนักของ U} = 2 \times 10^{-4} \text{ g}$$

$$\begin{aligned} \text{แต่เนื้องจากใน RGTh-1 มี U} &= 3.9375 \times 10^{-6} \text{ g} \\ \text{ต้องการ U อีก} &= 2 \times 10^{-4} - 3.9375 \times 10^{-6} \text{ g} \\ &= 1.960625 \times 10^{-4} \text{ g} \end{aligned}$$

$$\begin{aligned} \text{แต่เนื้องจากใน RGU-1 มี U } 400 \text{ mg} \\ \text{นั่นคือ } U 400 \times 10^{-6} \text{ g ได้มาจาก RGU-1} &= 1 \text{ g} \\ U 1.960625 \times 10^{-4} \text{ g ได้มาจาก RGU-1} &= \frac{1 \times 1.960625 \times 10^{-4}}{400 \times 10^{-6}} \text{ g} \\ &= 0.49015625 \text{ g} \end{aligned}$$

วิธีคำนวณหน้าหนักของ RGK-1

$$\begin{aligned} \text{เริ่มเตรียมสารมาตรฐานที่มี K เข้มข้น 2 percent โดยนำหนักของ K ในสาร} \\ \text{มาตรฐานทั้งหมด } 100 \text{ g} &= \frac{2}{10^2} \times 100 \text{ g} \\ \text{จะได้น้ำหนักของ K} &= 2 \text{ g} \\ \text{แต่เนื้องจากใน RGTh-1 มี K} &= 1.25 \times 10^{-4} \text{ g} \\ \text{ต้องการ K อีก} &= 2 - 1.25 \times 10^{-4} \text{ g} \\ &= 1.999875 \text{ g} \end{aligned}$$

$$\begin{aligned} \text{เนื้องจากใน RGK-1 มี K } 448 \text{ mg} \\ \text{นั่นคือ K } 448 \text{ mg ได้มาจาก RGK-1} &= 1 \text{ g} \\ K 1.999875 \text{ g ได้มาจาก RGK-1} &= \frac{1 \times 1.999875}{448 \times 10^{-3}} \text{ g} \\ &= 4.464007 \text{ g} \end{aligned}$$

สรุปปริมาณสารต่างๆ

$$\begin{aligned} RGTh-1 &= 0.625 \text{ g} \\ RGU-1 &= 0.49015625 \text{ g} \\ RGK-1 &= 4.464007 \text{ g} \\ \text{ต้องใส่ Silica Sand} &= 100 - (0.625 + 0.490156 - 4.464007) \\ &= 94.420837 \text{ g} \end{aligned}$$

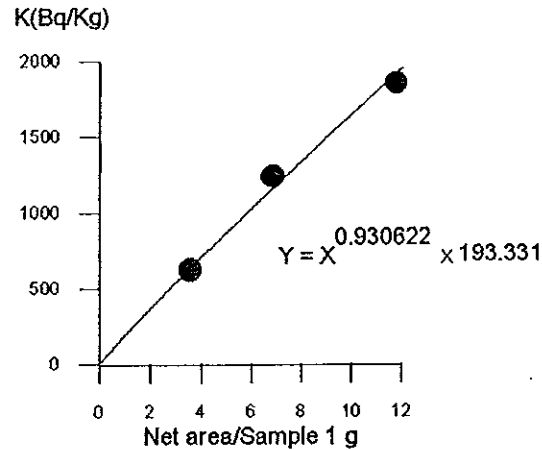
สำหรับค่าความเข้มข้นอื่นๆที่ใช้วิธีเดียวกัน ให้ค่าดังตารางต่อไปนี้

น้ำหนักรวม (g)	สาร	ความเข้มข้น	มวล(g)
100	Thorium(Th)	5 ppm	0.625
	Uranium(U)	2 ppm	0.49015625
	Potassium(K)	2 percent	4.464007
	Silica Sand	-	94.420837
100	Thorium(Th)	10 ppm	1.25
	Uranium(U)	4 ppm	0.9803125
	Potassium(K)	4 percent	8.928133
	Silica Sand	-	88.841674
100	Thorium(Th)	15 ppm	1.875
	Uranium(U)	6 ppm	1.4704687
	Potassium(K)	6 percent	13.392020
	Silica Sand	-	83.262511

ตารางแสดงพื้นที่สเปกตรัมรังสีแกนนาต่อน้ำหนัก 1 กรัม และความแรงรังสีของโพแทสเซียม(Bq/Kg) ในสารมาตรฐาน

Sample	Weight	Net area /Sample 1 g	Bq/Kg
Std1	100	3.59 ± 0.19	617.15940
Std2	100	6.85 ± 0.26	1234.31879
Std3	100	11.76 ± 0.34	1851.47733

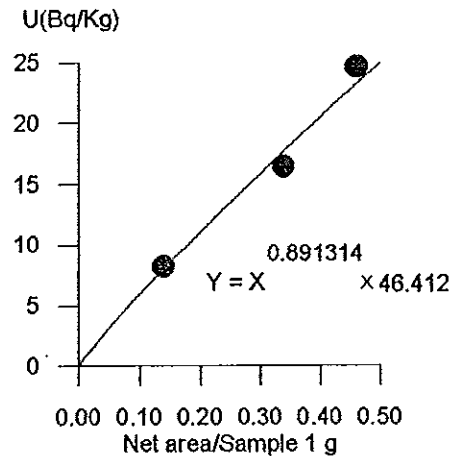
กราฟแสดงพื้นที่สเปกตรัมรังสีแกมมาต่อน้ำหนัก 1 กรัม และความแรงรังสีของโพแทสเซียม(Bq/Kg) ในสารมาตรฐาน



ตารางแสดงพื้นที่สเปกตรัมรังสีแกมมาต่อน้ำหนัก 1 กรัม และความแรงรังสีของยูเรเนียมสมมูล(Bq/Kg) ในสารมาตรฐาน

Sample	Weight	Net area /Sample 1 g	Bq/Kg
Std1	100	0.14 ± 0.04	8.20657
Std2	100	0.34 ± 0.06	16.41314
Std3	100	0.46 ± 0.68	24.61971

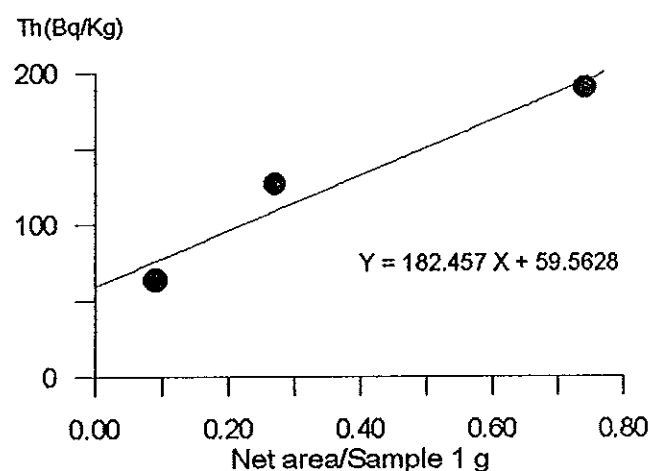
กราฟแสดงพื้นที่สเปกตรัมรังสีแกมมาต่อน้ำหนัก 1 กรัม และความแรงรังสีของยูเรเนียมสมมูล(Bq/Kg) ในสารมาตรฐาน



ตารางแสดงพื้นที่สเปกตรัมรังสีแกมมาต่อน้ำหนัก 1 กรัม และความแรงรังสีของทองเรียมสมมูล (Bq/Kg) ในสารมาตรฐาน

Sample	Weight	Net area /Sample 1 g	Bq/Kg
Std1	100	0.18±0.04	63.2302
Std2	100	0.36±0.06	126.4646
Std3	100	0.90±0.09	189.6969

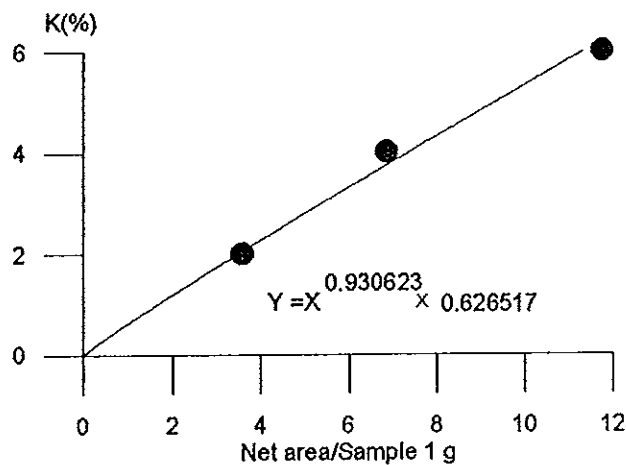
กราฟแสดงพื้นที่สเปกตรัมรังสีแกมมาต่อน้ำหนัก 1 กรัม และความแรงรังสีของทองเรียมสมมูล (Bq/Kg) ในสารมาตรฐาน



ตารางแสดงพื้นที่สเปกตรัมรังสีแกมมาต่อน้ำหนัก 1 กรัม และปริมาณความเข้มข้นของโพแทสเซียม(%) ในสารมาตรฐาน

Sample	Weight	Net area /Sample 1 g	%
Std1	100	3.59±0.19	2
Std2	100	6.85±0.26	4
Std3	100	11.76±0.34	6

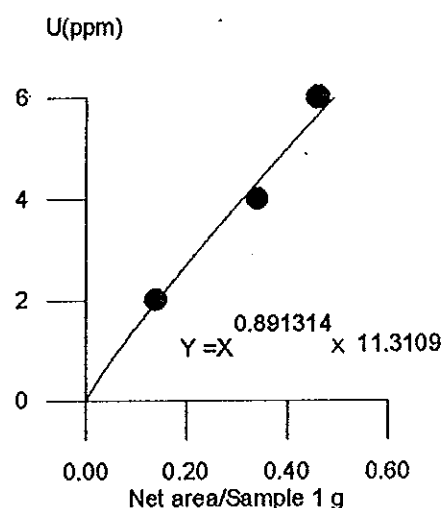
ตารางแสดงพื้นที่สเปกตรัมรังสีแกมมาต่อน้ำหนัก 1 กรัม และปริมาณความเข้ม
ขั้นของโพแทสเซียม(%) ในสารมาตรฐาน



ตารางแสดงพื้นที่สเปกตรัมรังสีแกมมาต่อน้ำหนัก 1 กรัม และปริมาณความเข้ม
ขั้นของยูเรเนียมสมบูล(ppm) ในสารมาตรฐาน

Sample	Weight	Net area /Sample 1 g	ppm
Std1	100	0.14±0.04	2
Std2	100	0.34±0.06	4
Std3	100	0.46±0.68	6

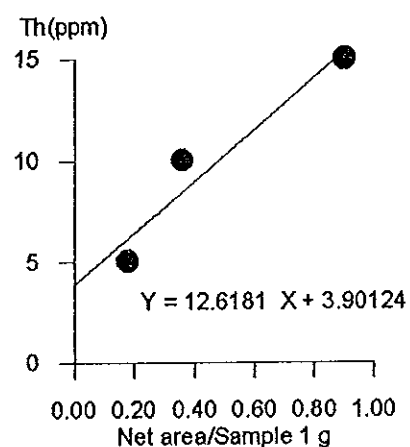
กราฟแสดงพื้นที่สเปกตรัมรังสีแกมมาต่อน้ำหนัก 1 กรัม และปริมาณความเข้ม
ขั้นของยูเรเนียมสมมูล(ppm) ในสารมาตรฐาน



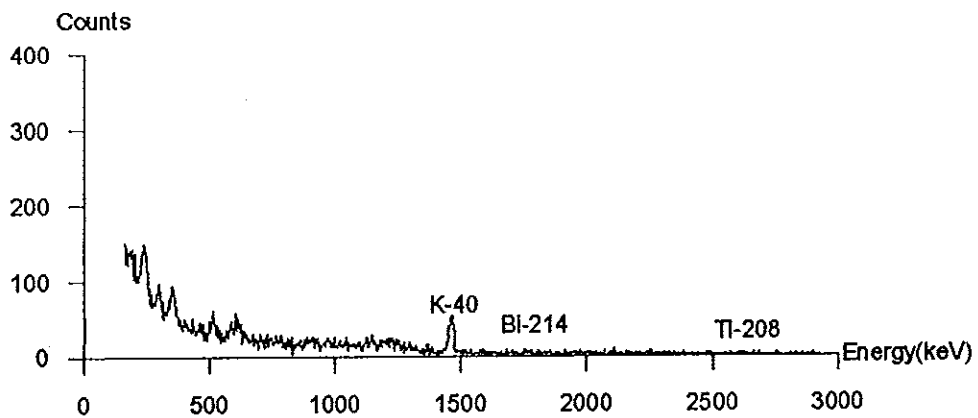
ตารางแสดงพื้นที่สเปกตรัมรังสีแกมมาต่อน้ำหนัก 1 กรัม และปริมาณความเข้ม^{*}
ขั้นของทอยเรียมสมมูล (ppm) ในสารมาตรฐาน

Sample	Weight	Net area /Sample 1 g	ppm
Std1	100	0.18±0.04	5
Std2	100	0.36±0.06	10
Std3	100	0.90±0.09	15

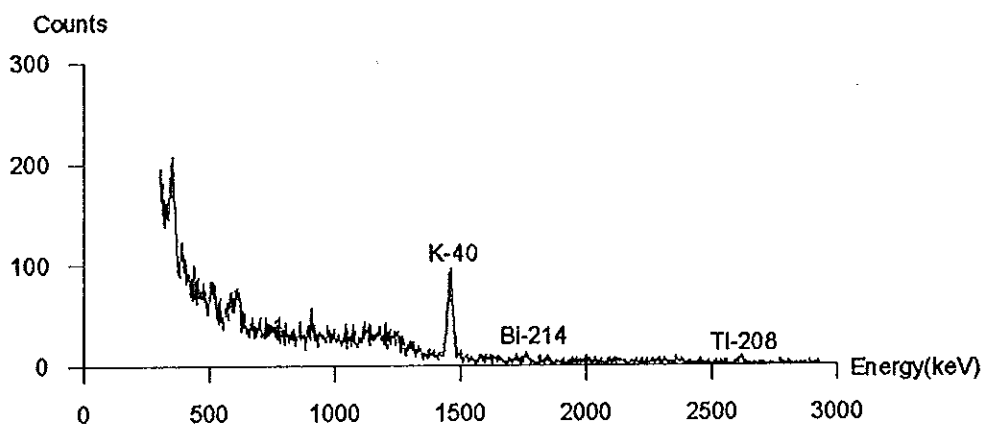
กราฟแสดงพื้นที่สเปกตรัมรังสีแกมมาต่อน้ำหนัก 1 กรัม และปริมาณความเข้มข้นของท่อเรียนสมมูล (ppm) ในสารนาคราunan



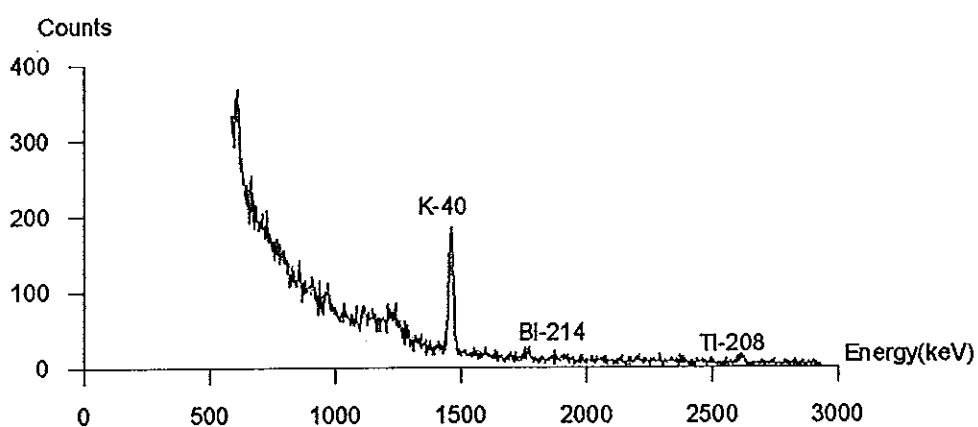
**ภาคผนวก ณ
สเปกตรัมรังสีแกนماของสารมาตรฐานและของพินตัวอย่าง**



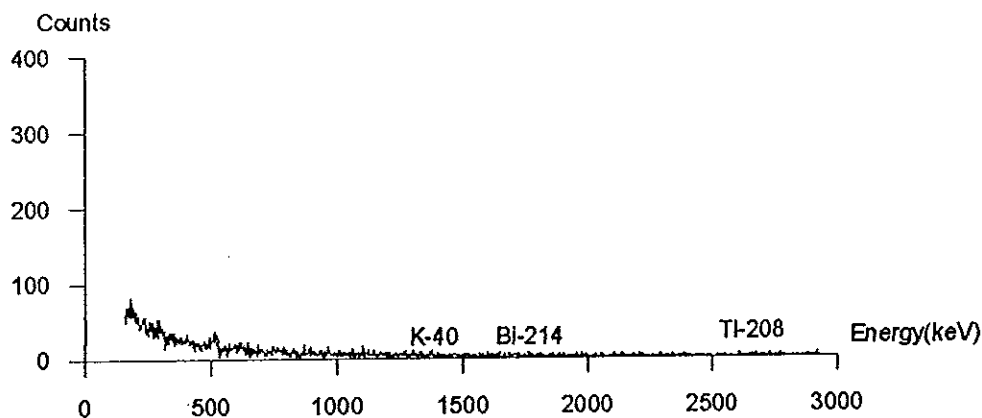
ภาพประกอบ 1 スペกตรัมรังสีแกมมาของสารมาตรฐานตัวที่ 1



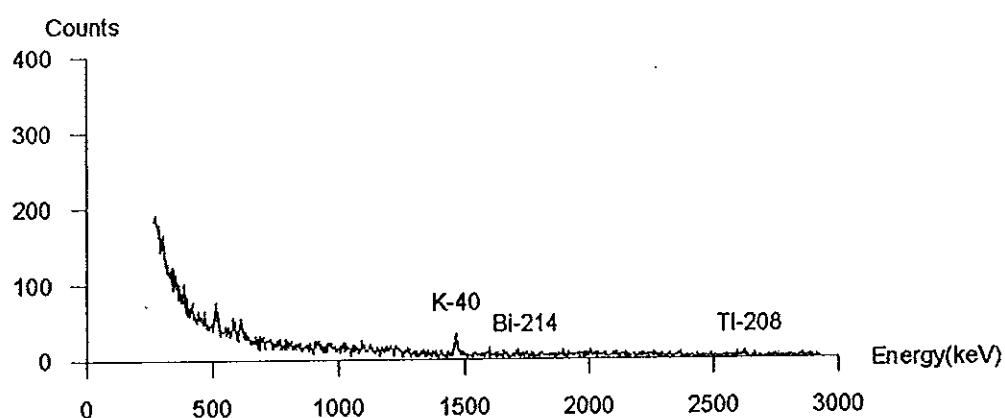
ภาพประกอบ 2 スペกตรัมรังสีแกมมาของสารมาตรฐานตัวที่ 2



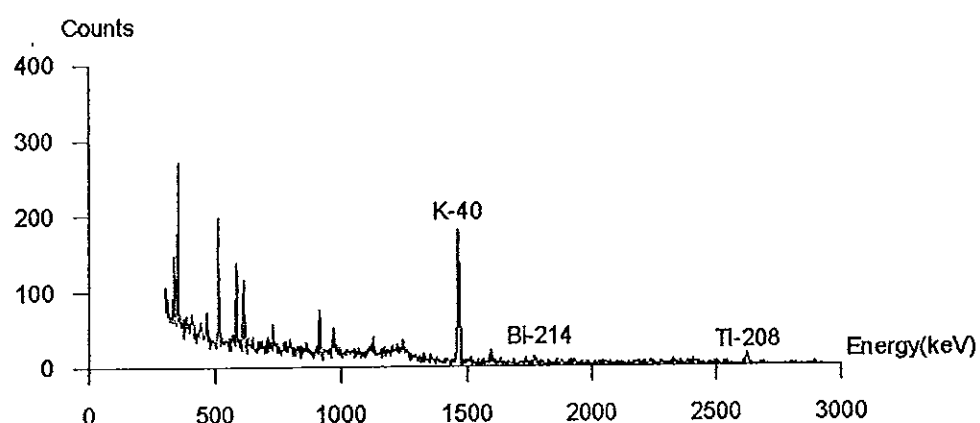
ภาพประกอบ 3 スペกตรัมรังสีแกมมาของสารมาตรฐานตัวที่ 3



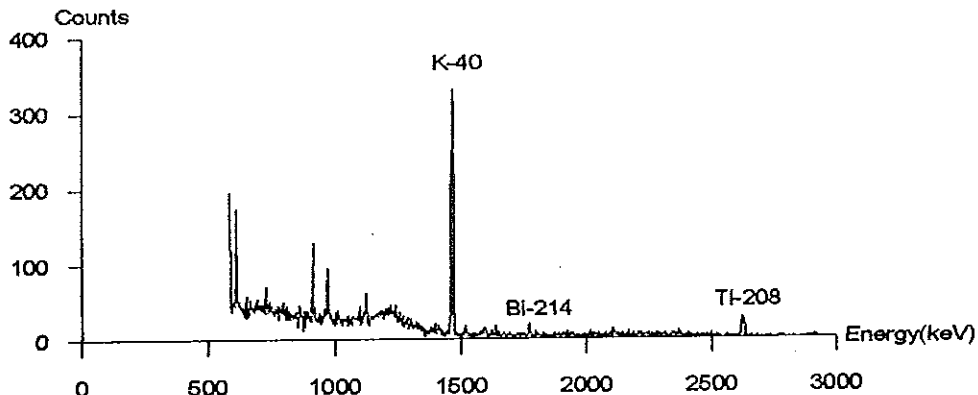
ภาพประกอบ 4 สเปกตรัมรังสีแกมมาของรังสีพื้นหลัง



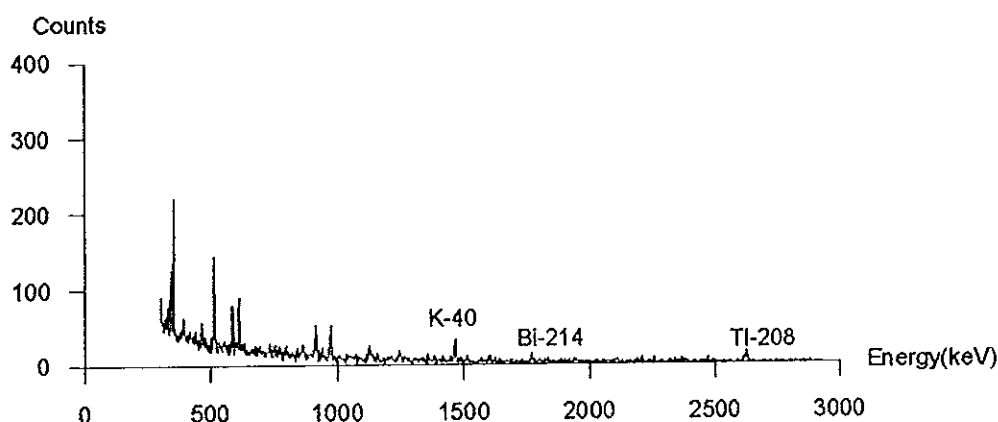
ภาพประกอบ 5 สเปกตรัมรังสีแกมมาของสารตัวอย่าง(A9)



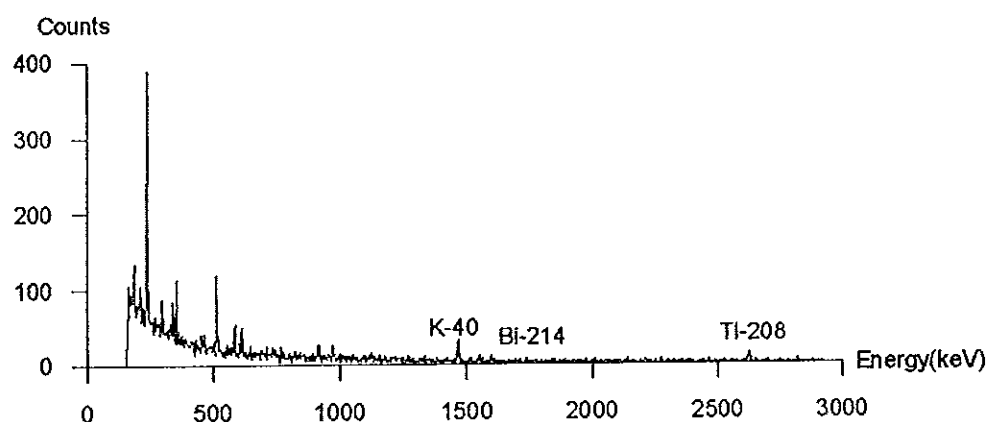
ภาพประกอบ 6 สเปกตรัมรังสีแกมมาของสารตัวอย่าง(A10)



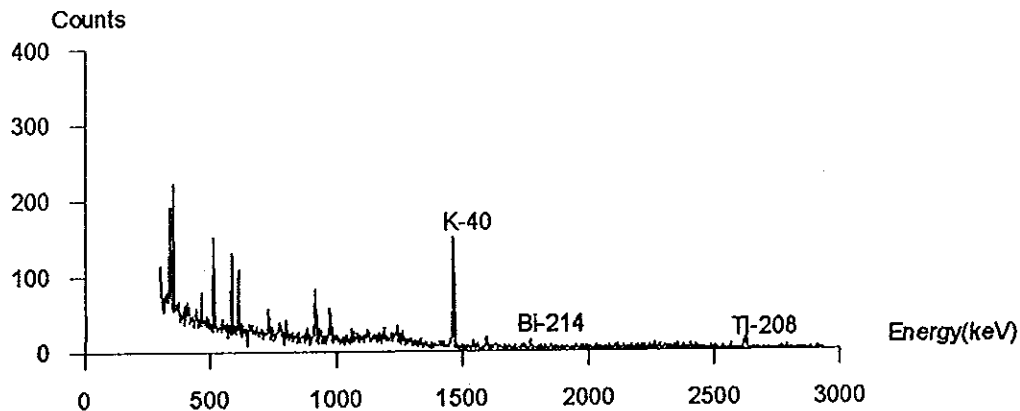
ภาพประกอบ 7 สเปกตรัมรังสีแกมมาของสารตัวอย่าง(A11)



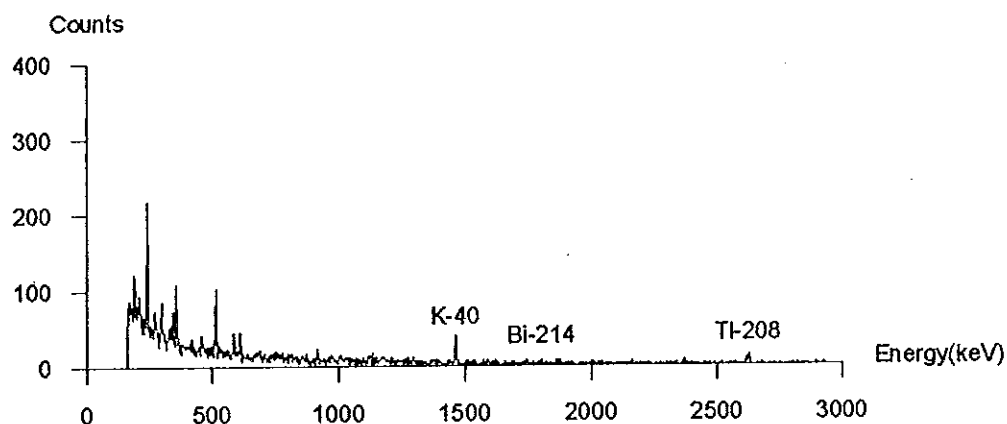
ภาพประกอบ 8 สเปกตรัมรังสีแกมมาของสารตัวอย่าง(A12)



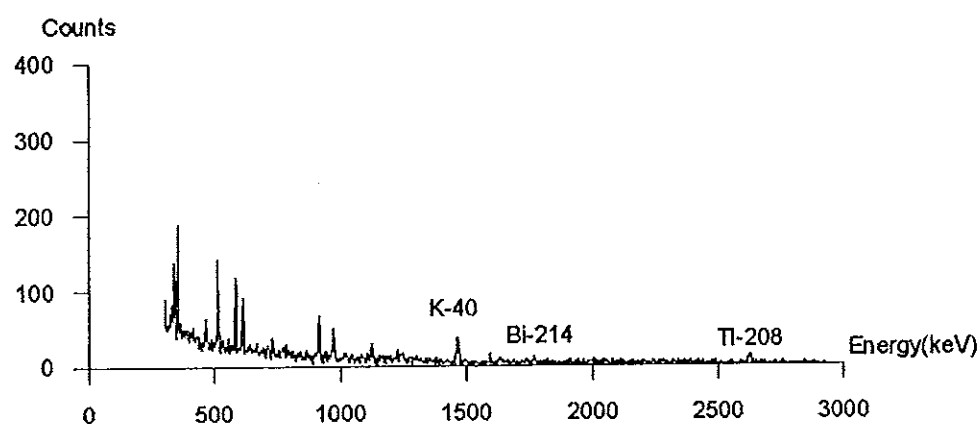
ภาพประกอบ 9 สเปกตรัมรังสีแกมมาของสารตัวอย่าง(A13)



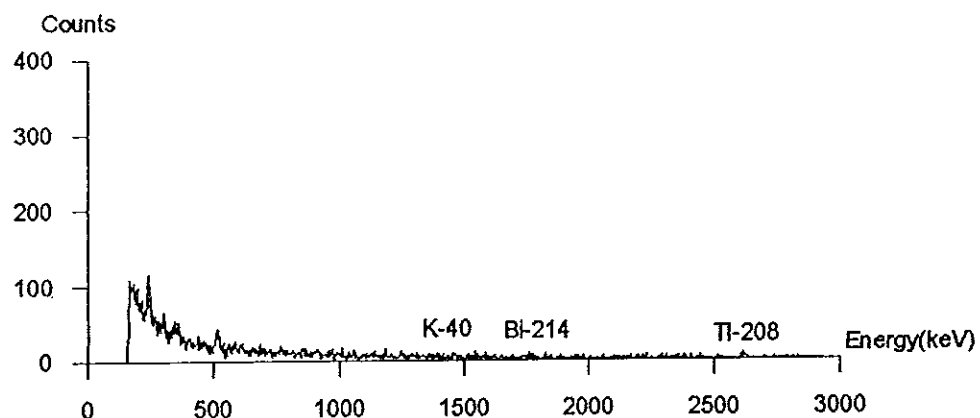
ภาพประกอบ 10 สเปกตรัมรังสีแกมมาของสารตัวอย่าง(A14)



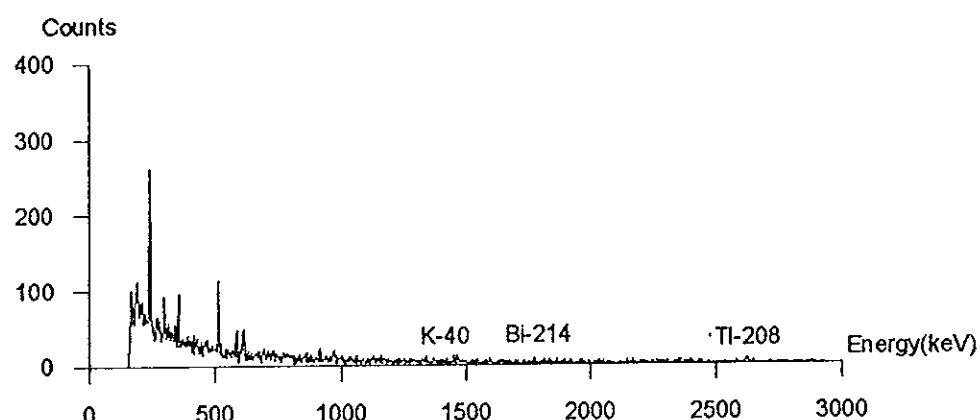
ภาพประกอบ 11 สเปกตรัมรังสีแกมมาของสารตัวอย่าง(A15)



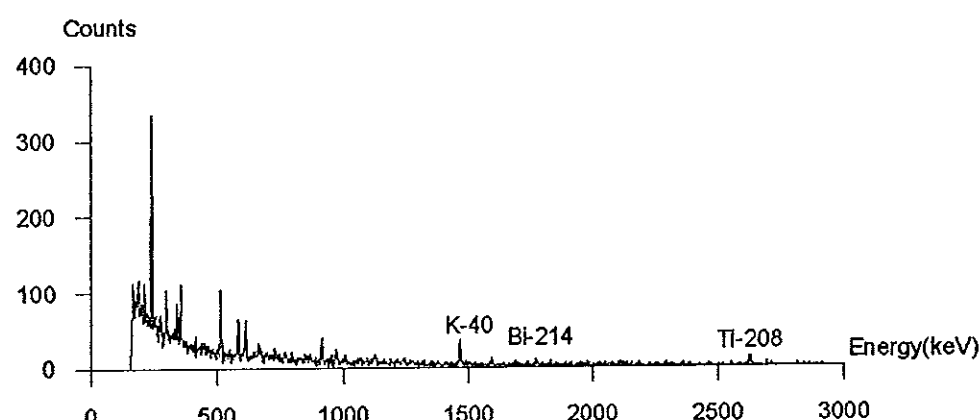
ภาพประกอบ 12 สเปกตรัมรังสีแกมมาของสารตัวอย่าง(A16)



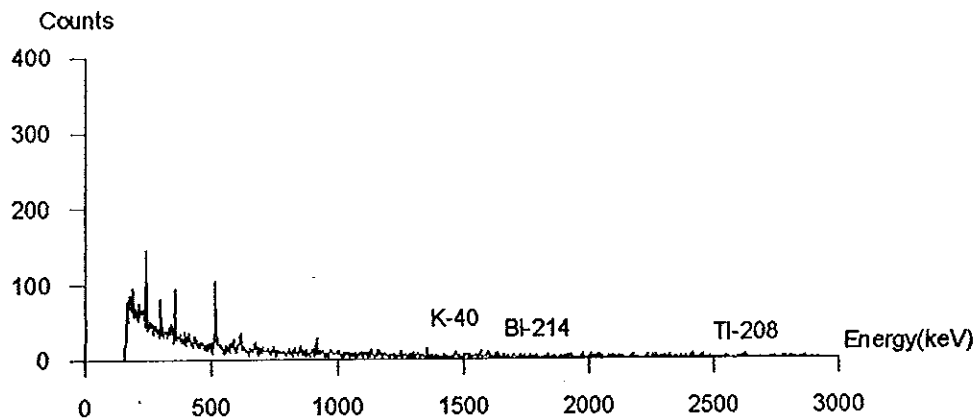
ภาพประกอบ 13 สเปกตรัมรังสีแกมมาของสารตัวอย่าง(A19)



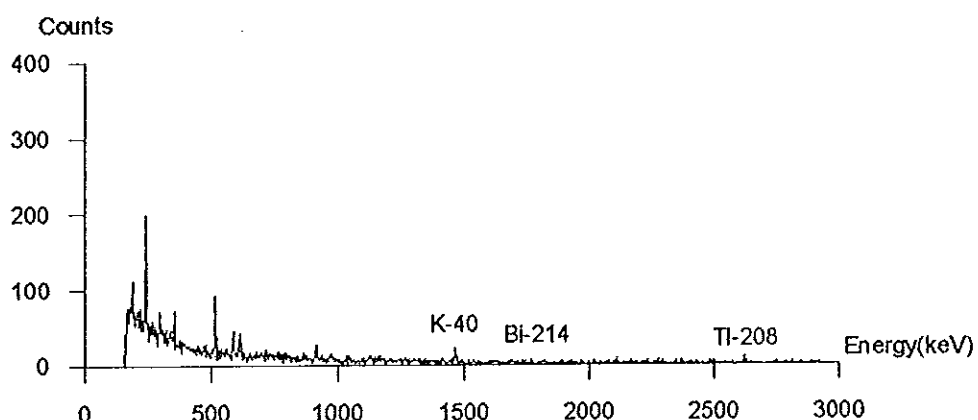
ภาพประกอบ 14 สเปกตรัมรังสีแกมมาของสารตัวอย่าง(A20)



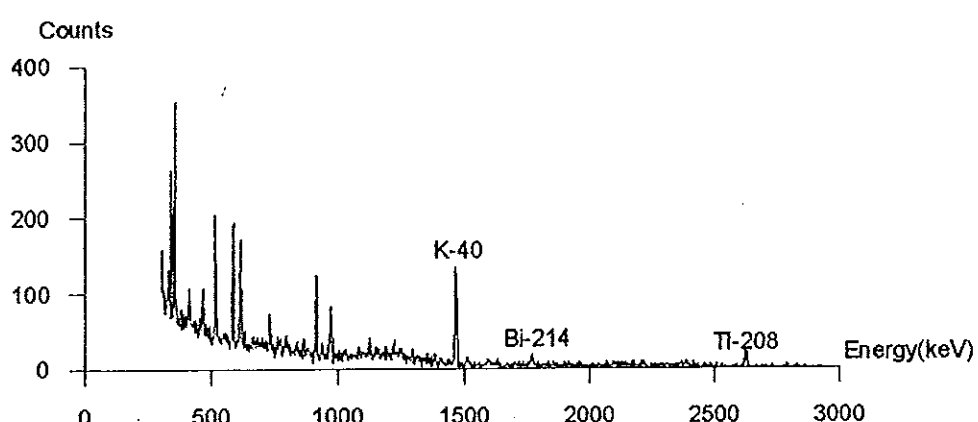
ภาพประกอบ 15 สเปกตรัมรังสีแกมมาของสารตัวอย่าง(A21)



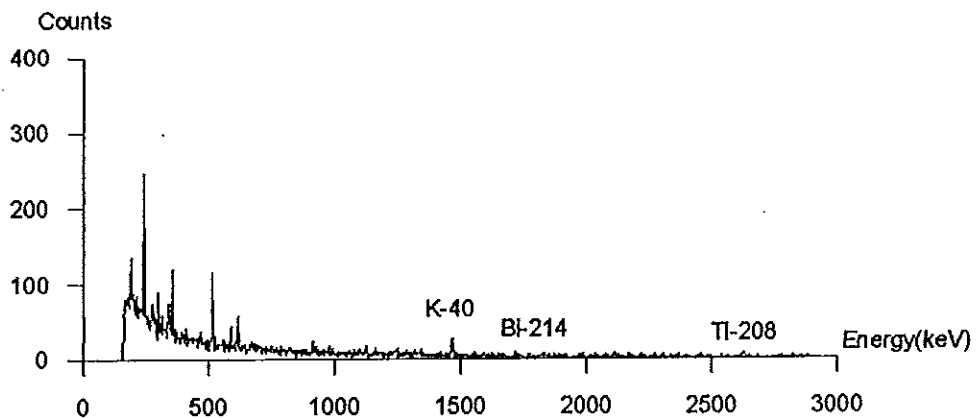
ภาพประกอบ 16 สเปกตรัมรังสีแกมมากของสารตัวอย่าง(A22)



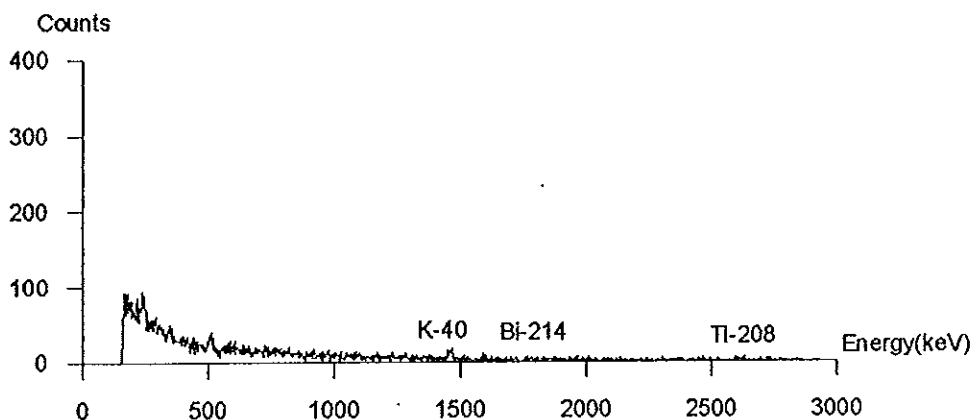
ภาพประกอบ 17 สเปกตรัมรังสีแกมมากของสารตัวอย่าง(A23)



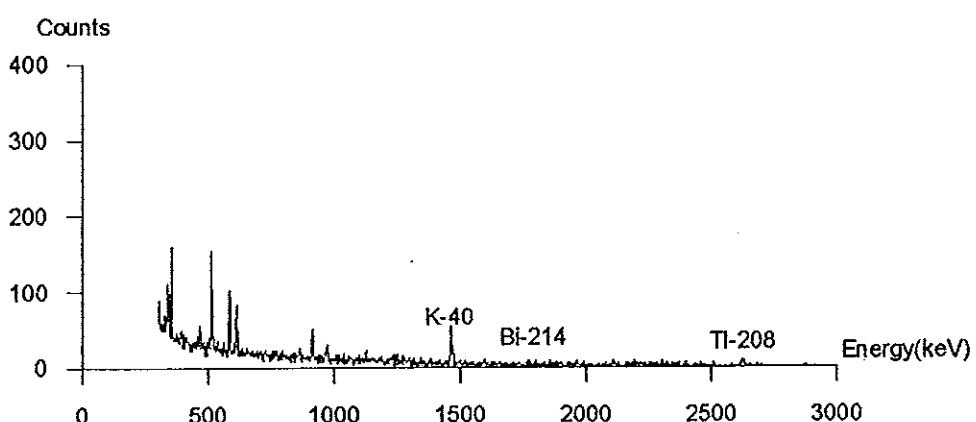
ภาพประกอบ 18 สเปกตรัมรังสีแกมมากของสารตัวอย่าง(A24)



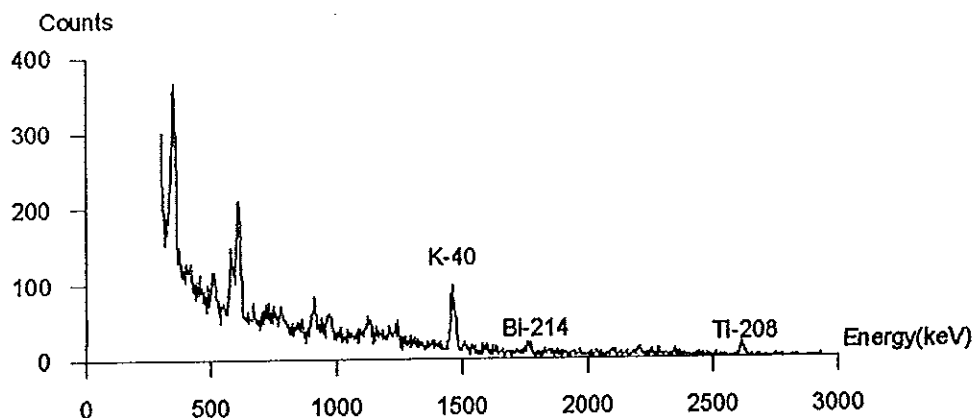
ภาพประกอน 19 สเปกตรัมรังสีแกมมาของสารตัวอย่าง(A25)



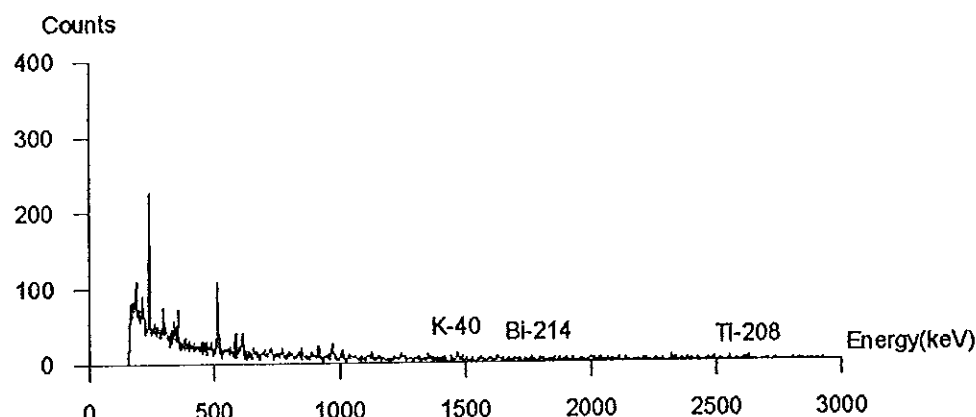
ภาพประกอน 20 สเปกตรัมรังสีแกมมาของสารตัวอย่าง(A26)



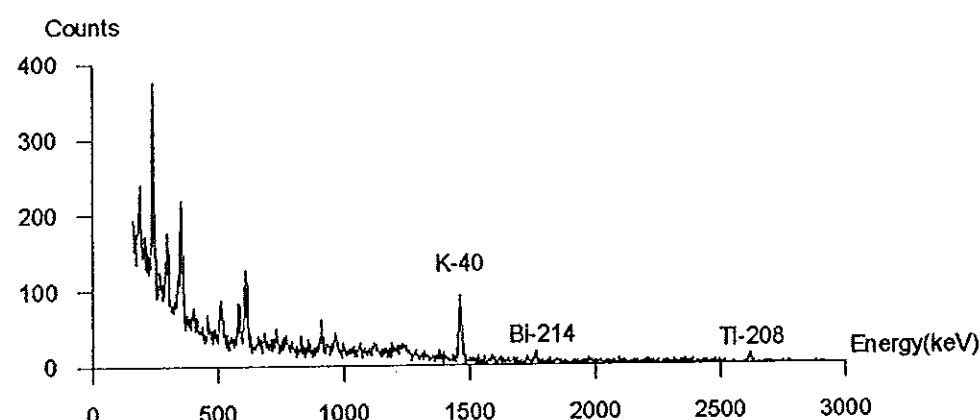
ภาพประกอน 21 สเปกตรัมรังสีแกมมาของสารตัวอย่าง(A27)



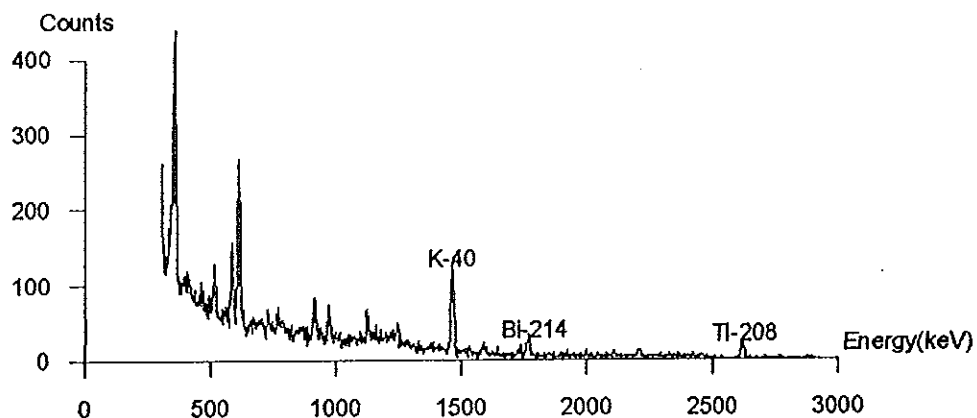
ภาพประกอน 22 สเปกตรัมรังสีแกมมากของสารตัวอย่าง(A28)



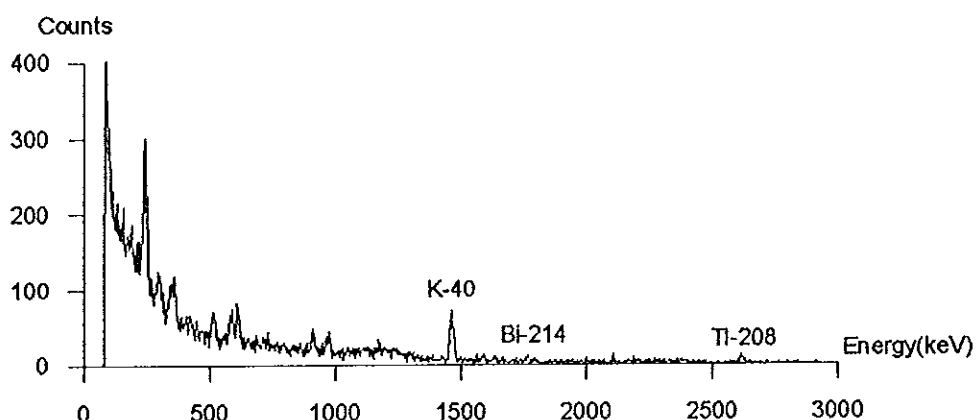
ภาพประกอน 23 สเปกตรัมรังสีแกมมากของสารตัวอย่าง(A29)



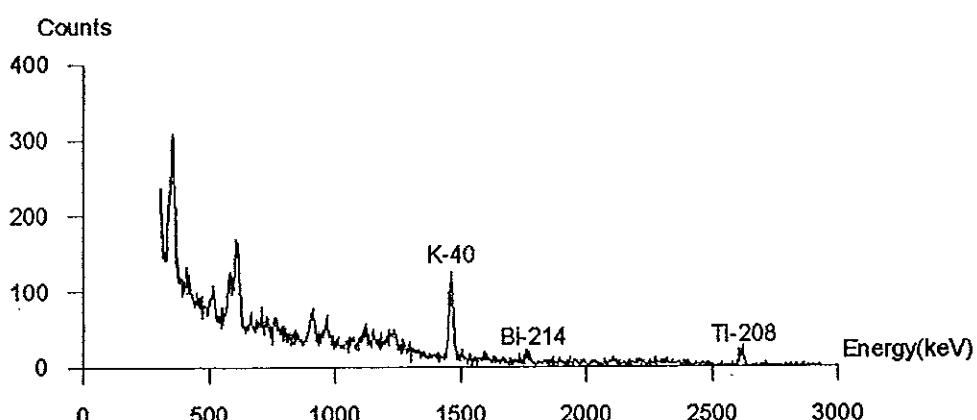
ภาพประกอน 24 สเปกตรัมรังสีแกมมากของสารตัวอย่าง(A30)



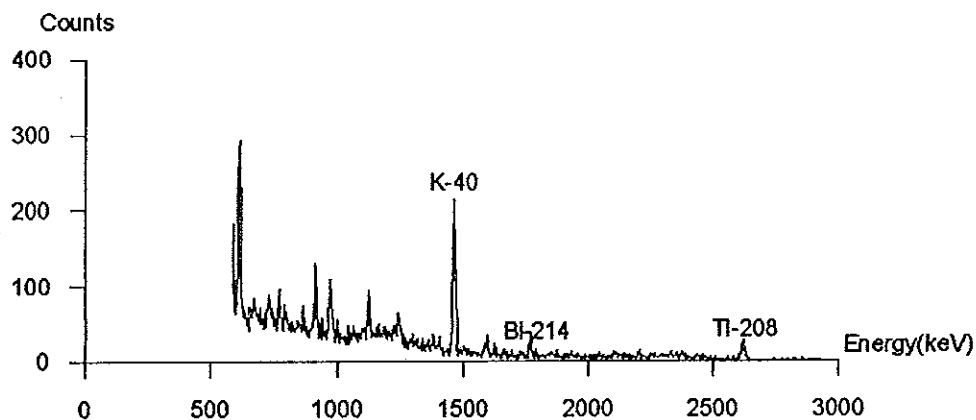
ภาพประกอบ 25 สเปกตรัมรังสีแกมมาของสารตัวอย่าง(A31)



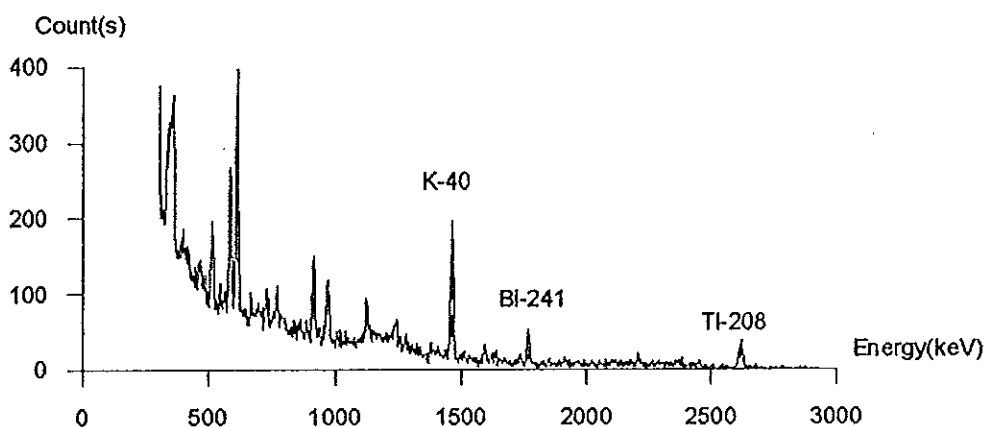
ภาพประกอบ 26 สเปกตรัมรังสีแกมมาของสารตัวอย่าง(A32)



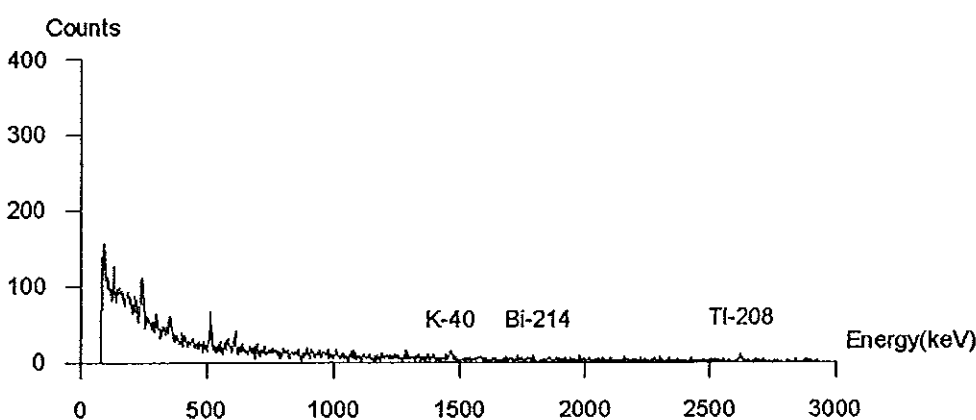
ภาพประกอบ 27 สเปกตรัมรังสีแกมมาของสารตัวอย่าง(A33)



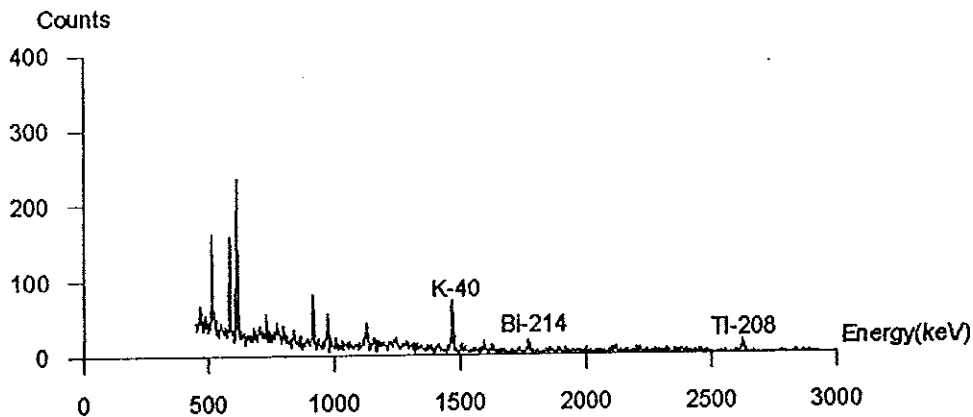
ภาพประกอบ 28 สเปกตรัมรังสีแกมมาของสารตัวอย่าง(A34)



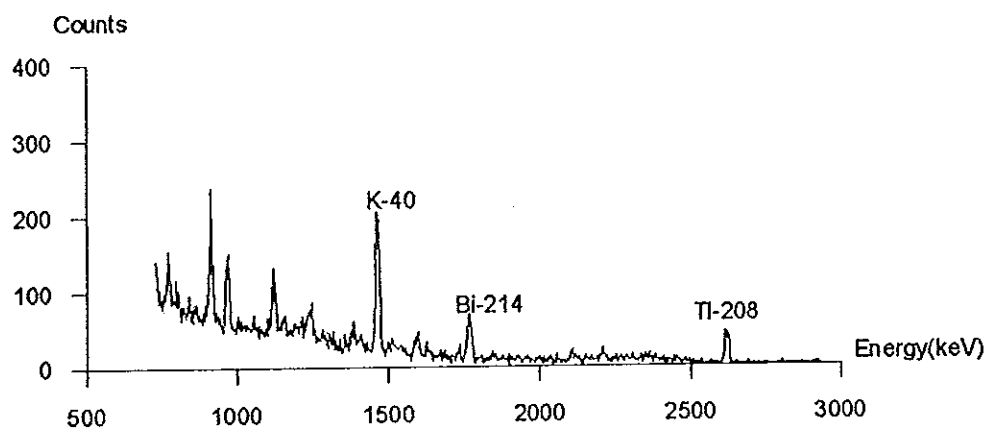
ภาพประกอบ 29 สเปกตรัมรังสีแกมมาของสารตัวอย่าง(A35)



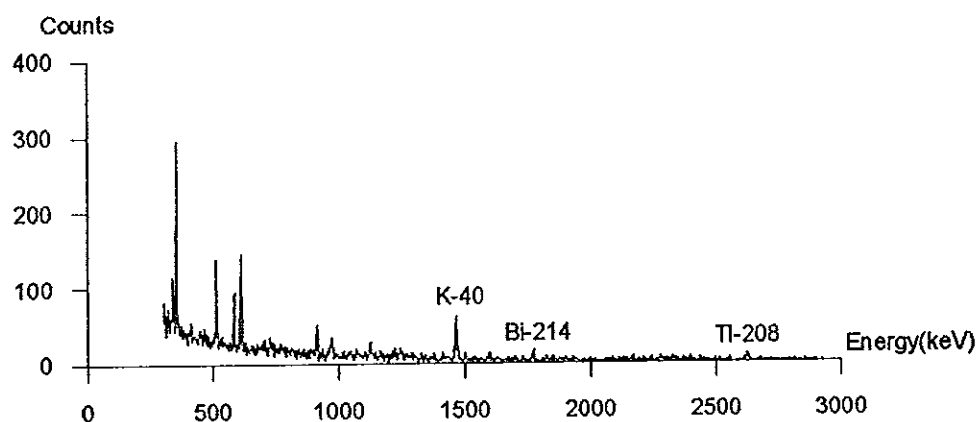
ภาพประกอบ 30 สเปกตรัมรังสีแกมมาของสารตัวอย่าง(A36)



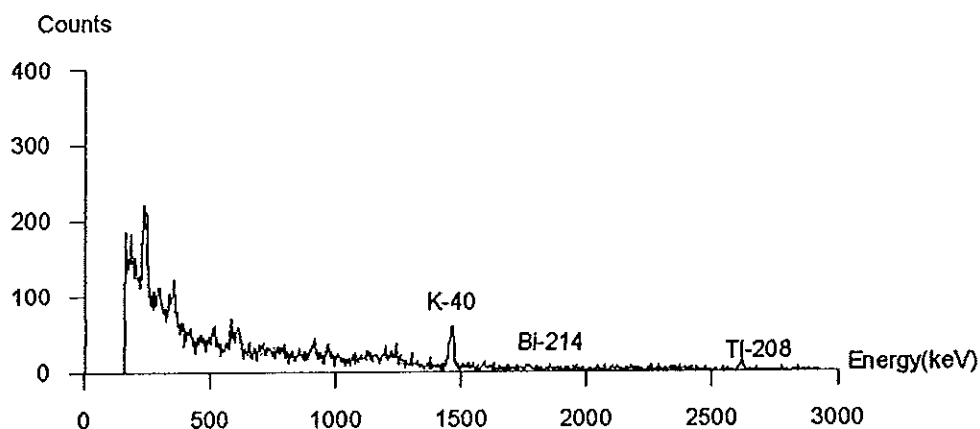
ภาพประกอบ 31 สเปกตรัมรังสีแกมมาของสารตัวอย่าง(p2)



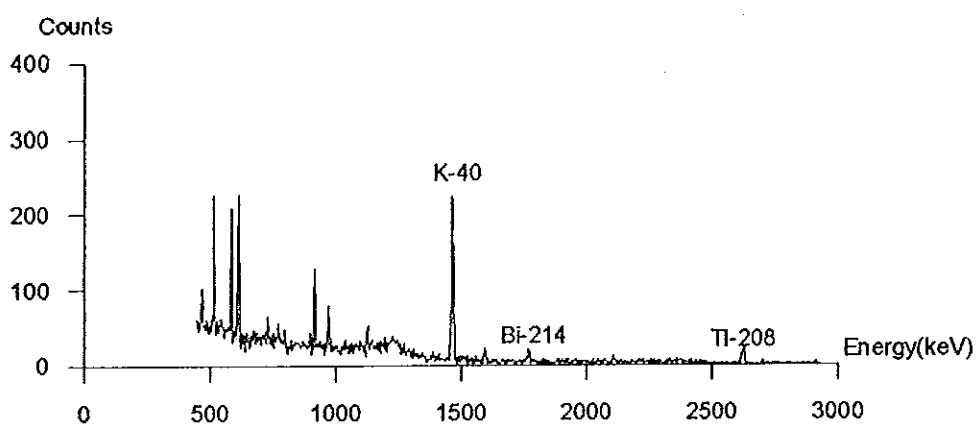
ภาพประกอบ 32 สเปกตรัมรังสีแกมมาของสารตัวอย่าง(p7)



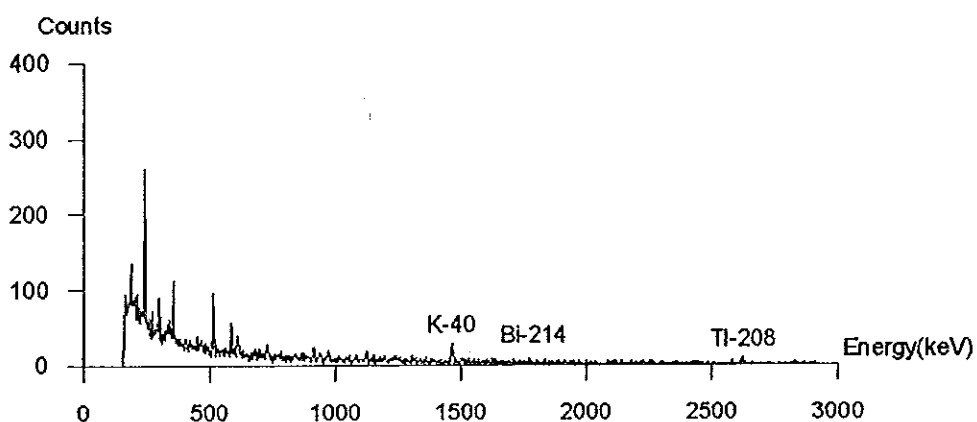
ภาพประกอบ 33 สเปกตรัมรังสีแกมมาของสารตัวอย่าง(p12)



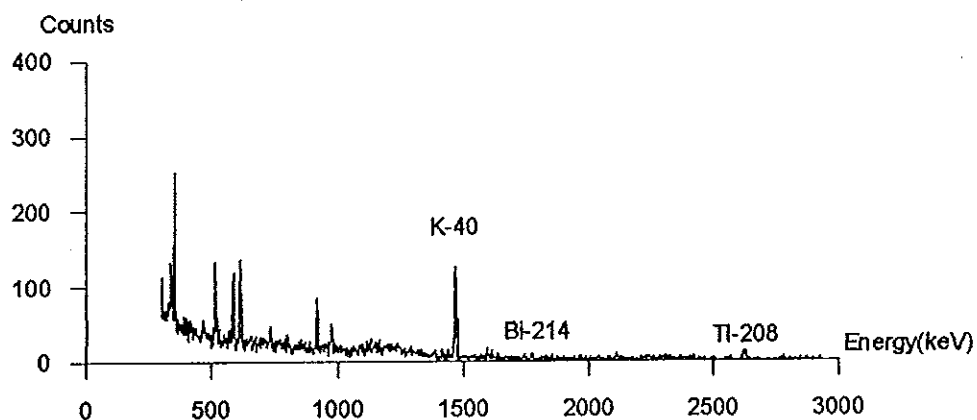
ภาพประกอบ 34 スペกตรัมรังสีแกมนาของสารตัวอย่าง(p17)



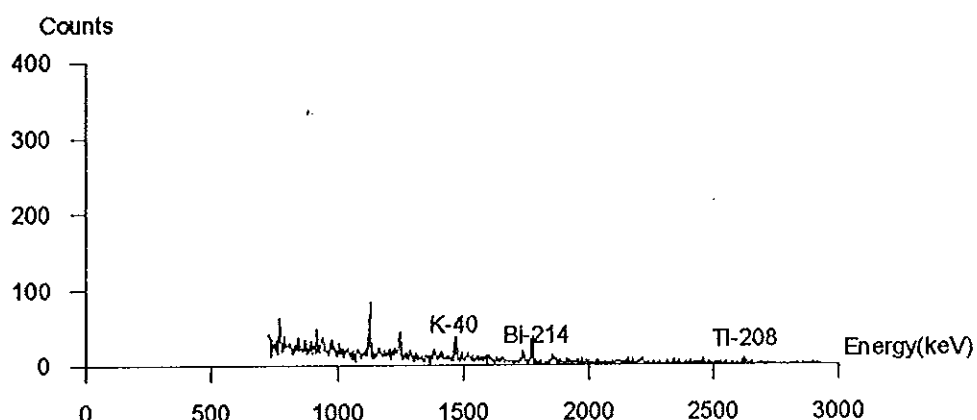
ภาพประกอบ 35 スペกตรัมรังสีแกมนาของสารตัวอย่าง(p39)



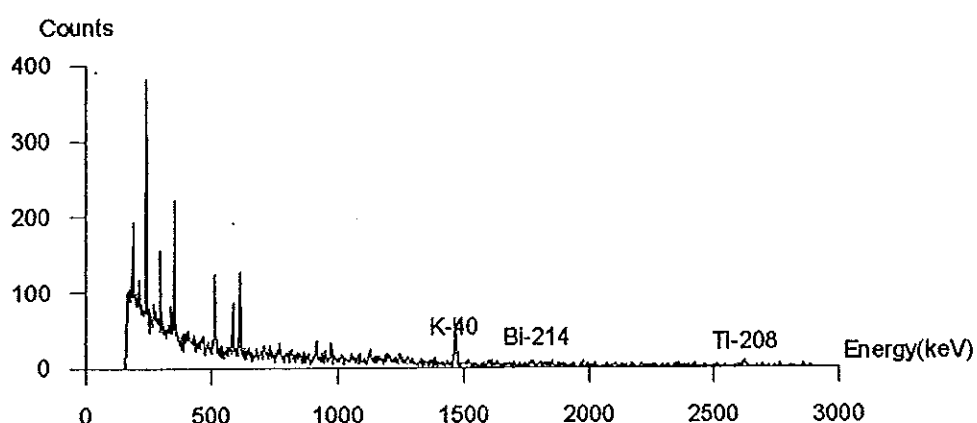
ภาพประกอบ 36 スペกตรัมรังสีแกมนาของสารตัวอย่าง(p123)



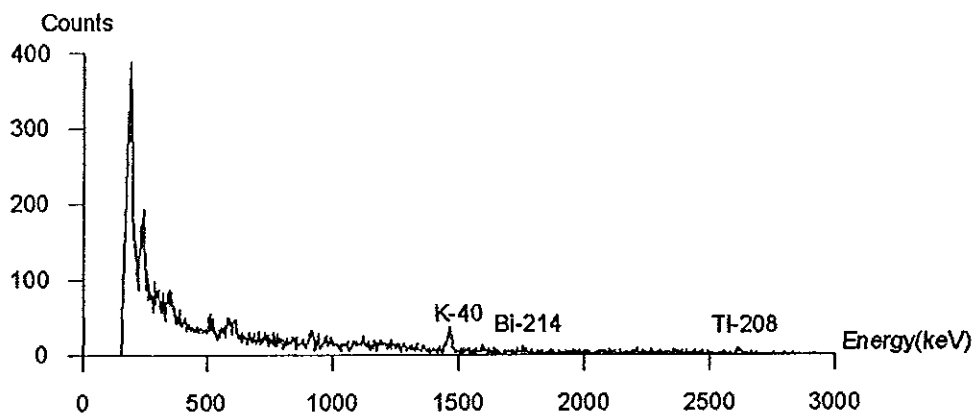
ภาพประกอบ 37 สเปกตรัมรังสีแกมนาของสารตัวอย่าง(p242)



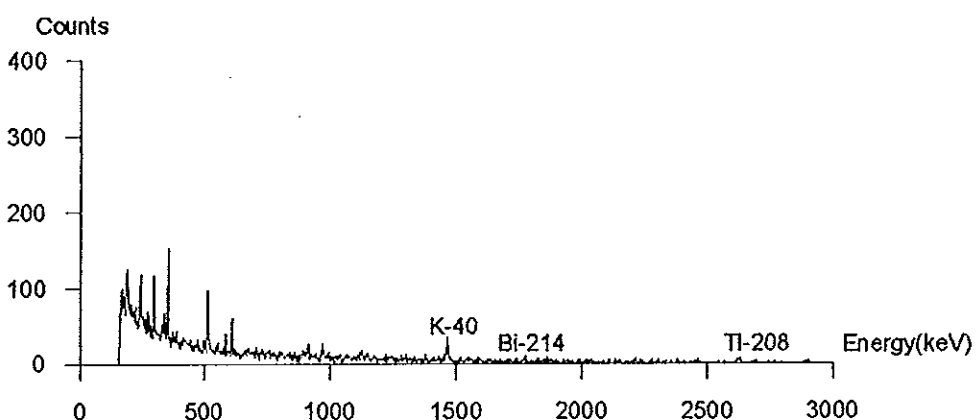
ภาพประกอบ 38 สเปกตรัมรังสีแกมนาของสารตัวอย่าง(p243)



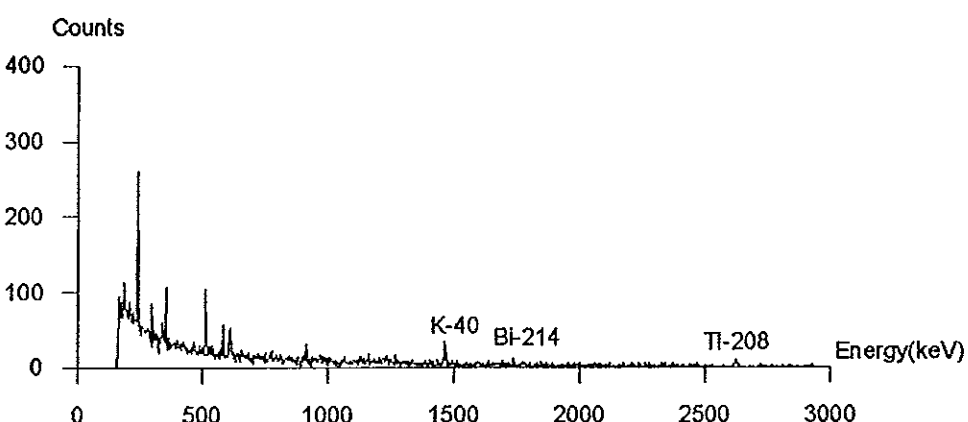
ภาพประกอบ 39 สเปกตรัมรังสีแกมนาของสารตัวอย่าง(p287)



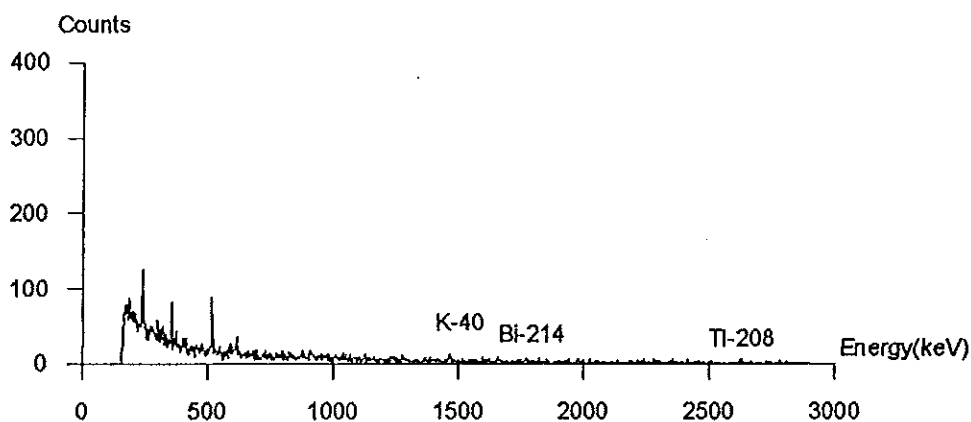
ภาพประกอบ 40 สเปกตรัมรังสีแกมมาของสารตัวอย่าง(p305)



ภาพประกอบ 41 สเปกตรัมรังสีแกมมาของสารตัวอย่าง(p308)



ภาพประกอบ 42 สเปกตรัมรังสีแกมมาของสารตัวอย่าง(p311)



ภาพประกอบ 43 สเปกตรัมรังสีแกนมาของสารตัวอย่าง(p326)

ประวัติผู้เขียน

ชื่อ นางสาวพวงพิพิญ ร่างเล็ก

วัน เดือน ปีเกิด 30 ตุลาคม พ.ศ. 2512

วุฒิการศึกษา

วุฒิ

วิทยาศาสตร์บัณฑิต(ศึกษาศาสตร์)

เกียรตินิยมอันดับ 2

ชื่อสถาบัน

มหาวิทยาลัยสงขลานครินทร์

ปีที่สำเร็จการศึกษา

2534

ทุนการศึกษา

ทุนมูลนิธิ มหาวิทยาลัยสงขลานครินทร์ ตั้งแต่ เดือนมิถุนายน พ.ศ. 2536 ถึง

เดือนพฤษจิกายน พ.ศ. 2537